

جزوه سی تی

مقاله، جزوه، کتاب، پژوهش و ...

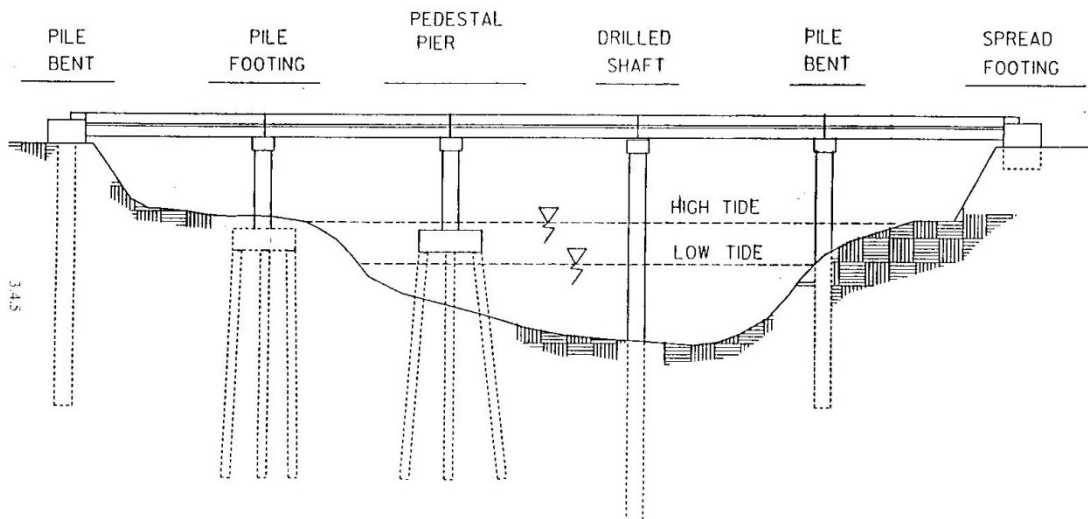


janzvecity.ir

فصل ۱:

فونداسیون ها و انواع آنها

(ملاحظات و مخاطرات اجرایی)



جزوه درس مهندسی پی (کارشناسی عمران)

استاد: عبدالالمتن ستايش



برای ارسال نظرات و پیشنهادات به سایت شخصی اینجانب رجوع نموده و یا نظرات و یا پیشنهادات خود را به آدرس پست الکترونیک زیر ارسال نمایید:

Website: www.ams.ir, Email: a_matin_s@yahoo.com

۱-۱ | مقدمه

مهندسی ژئوتکنیک زیرمجموعه ای از مهندسی عمران در زمینه مسائل مرتبط با بکارگیری و بررسی رفتار خاک و مصالح خاکی می باشد. مهندسی ژئوتکنیک متشكل از دو بخش کلی مکانیک خاک و مهندسی پی است. در واقع مهندسی پی شامل بکارگیری اصول مکانیک خاک در طراحی شالوده ساختمان ها و ابنيه در تماس با خاک می باشد.

کلیه سازه هایی که بر روی زمین بنا می شوند از جمله ساختمان ها، پل ها، خاکریز ها از دو بخش تشکیل می شوند:

۱- سازه فوقانی^۱: بخش نمایان سازه

۲- سازه زیرین^۲: بخش مدفعون سازه

بخش سازه زیرین به عنوان حائل بین سازه فوقانی و زمین تکیه گاه عمل می کند. یعنی بار سازه فوقانی را به زمین منتقل می نماید. مبحث مهندسی پی بررسی تاثیر متقابل سازه زیرین و زمین تکیه گاه می شود.

۲-۱ | تعریف فونداسیون و اهمیت آن

طبق تعریف، پی یا فونداسیون عبارت است از سازه زیرین و بخشی از خاک مجاور آن که تحت تاثیر سازه و بارهای وارد بر آن می باشد. مبحث ۷ مقررات ملی ساختمان نیز تعریف مشابهی از پی ارائه کرده است:

مجموعه بخش هایی از سازه و خاک در تماس با آن که انتقال بار بین سازه و زمین از طریق آن صورت می گیرد فونداسیون نامیده می شود. در واقع وظیفه فونداسیون انتقال بارهای بخش های فوقانی به خاک زیر آن می باشد به نحوی که تنش های بیش از حد و نیز نشست های اضافی ایجاد نکردد.

۳-۱ | مهندسی پی

مهندسي پي شامل تحليل و طراحی فونداسیون (شالوده ساختمانهای متعارف) یا سازه های در تماس با خاک (ابنیه حائل) با بکارگیری اصول مکانیک خاک و مکانیک سازه توأم با قضاوت مهندسی می باشد. مهندسی پی مباحثی همچون محاسبه ظرفیت برابری، طراحی انواع مختلف فونداسیون مانند فونداسیون های منفرد، نواری، گسترده، عمیق (شمغ) را شامل می گردد که در رابطه با هر کدام از آنها در بخش های آتی توضیحاتی ارائه خواهد شد.

علاوه بر طراحی فونداسیون های متعارف (فونداسیون ساختمان ها)، طراحی سازه های حائل نیز جزء مبحث مهندسی پی می باشد.

¹ Superstructure

² Substructure

مهندس پی به کسی گفته می شود که به وسیله آموزش و تجربه کافی در اصول علمی و قضاوت مهندسی مهارت یافته است تا پی را طراحی نماید. می توان گفت که قضاوت مهندسی بخش خلاق کار طراحی پی می باشد. در واقع قضاوت مهندسی در طرح بی همان گرددآوری و به هم آمیختن تجارب، مطالعه کارهای دیگران در شرایط نسبتاً مشابه و جمع آوری اطلاعات ژئوتکنیکی مخصوص ناحیه تحت بررسی برای ایجاد طراحی اقتصادی، علمی، ایمن سازی برای سازه زیرین می باشد.

حداقل مراحل لازم برای طراحی یک فونداسیون عبارتند از:

- گرددآوری اطلاعات سازه ای شامل موقعیت اجزاء باربر و میزان بارگذاری. معمولاً تخمین تقریبی از بار (یا بارهای) شالوده توسط کارفرما تامین می شود.
- بررسی وضعیت فیزیکی محل و برنامه ریزی برای شناسایی های محلی. قبل از هر گونه اقدامی برای طراحی پی، می بایست اطلاعات کافی از شرایط فیزیکی و ژئوتکنیکی محل جمع آوری گردد. اطلاعات این مرحله با انجام آزمایش‌های صحرائی و آزمایشگاهی کامل می گردد.
- تعیین پارامترهای طراحی خاک بر مبنای آمیزه ای از داده های آزمایشات، اصول علمی و قضاوت مهندسی. در این مرحله می توان از تحلیل های ساده یا پیچیده کامپیوتری استفاده کرد.
- انتخاب سیستم پی و طراحی آن با استفاده از پارامترهای طراحی بدست آمده از مرحله قبل. پی طرح شده می بایست از طرفی اقتصادی و از طرف دیگر ایمن و پایدار باشد و کلیه ضوابط فنی در آن لحاظ گردیده باشد.

مهندس پی می بایست در کلیه مراحل فوق تجربه داشته و در آنها مشارکت نماید. در عمل اغلب چنین حالتی وجود دارد. معمولاً یک شرکت ژئوتکنیکی متخصص عملیات شناسایی و آزمایشات خاک مسئول انجام مراحل ۱ تا ۳ می گردد. سپس نتایج حاصله و خروجی مرحله ۳ به کارفرما، که غالباً یک مهندس پی متخصص در طراحی اجزاء سازه زیرین است، تحویل می گردد. نقص عمده در این روش دقیق و قطعی انگاشتن پارامترهای خاک است که معمولاً از طریق آزمایش‌های خاک با کیفیت متغیر بدست آمده و شدیداً آمیخته به قضاوت مهندسی می باشد. از این‌رو مهندس پی و مشاور ژئوتکنیک می بایست به صورتی بسیار نزدیک با یکدیگر کار نمایند و بخصوص مهندس پی می بایست از واقعیت تقریبی بودن روش های تعیین پارامترهای خاک بخوبی آگاه باشد.

۱-۴ | انواع فونداسیون ها

پی ها بر اساس عمق و نوع عملکرد طبقه بندی می شوند. در حالت کلی چنانچه لایه‌ی مقاوم در عمق کمی از سطح زمین قرار گرفته باشد، پی در نزدیکی سطح زمین بنا می گردد. در غیر اینصورت برای رسیدن به لایه‌ی مقاوم عمق پی افزایش می یابد. به طور کلی می توان پی ها را به چهار دسته تقسیم نمود:

۱- پی های کم عمق موسوم به پی های سطحی^۱

به پی هایی اطلاق می گردد که نسبت عمق به عرض آنها مساوی یا کمتر از واحد است، در عین حال در بعضی مراجع پی های با نسبت عمق تا ۴ الی ۵ هم بعنوان پی کم عمق طبقه بندی می شوند.

¹ Shallow Foundations

۲- پی های نیمه عمیق^۱ (پی های چاهی)**۳- پی های عمیق^۲**

این پی ها عمدتاً شامل پی های شمعی می باشد. در مبحث ۷ مقررات ملی ساختمان ، معیار دیگری برای پی عمیق عنوان شده است و آن عبارت است از اینکه هرگاه نسبت عرض به ارتفاع پی کمتر از یک ششم باشد و عمق آن از سه متر تجاوز نماید به آن پی عمیق می گویند.

۴- پی های ویژه

شامل هرگونه پی که جزء دسته بندی فوق نباشد از قبیل پی های صندوقه ای ، مهارها ، ستونهای شنی و سنگی و غیره.

۱-۶ انواع فونداسیون های سطحی

پی های سطحی از متداول ترین فونداسیون ها به خصوص برای پروژه های ساختمانی و دیوارها بوده و اغلب عمق استقرار آن ها کمتر از عرضشان است. این پی ها پس از گودبرداری و پی کنی و برداشتن خاک های نباتی، ضمن عبور از عمق یخبدان و لایه های نامناسب سطحی و در پاره ای موارد با حفاری بیشتر جهت احداث طبقاتی در زیرزمین، اجرای می شوند و به لحاظ آنالیز و طراحی سازه ای شامل پی های منفرد، نواری (با بارگذاری ممتد و خطی) و تیرهای متکی (با بارگذاری مرکز و منقطع) بر زمین می باشند.

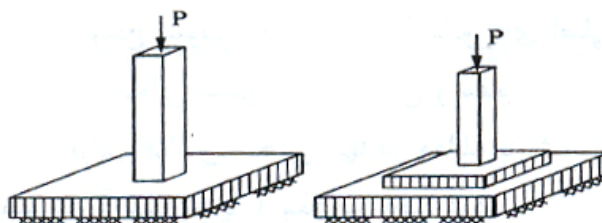
دسته بندی های متفاوتی از فونداسیون های سطحی در مراجع مختلف یافت می شود. باولز^۳ انواع کلی فونداسیون های سطحی را به صورت زیر دسته بندی می نماید:

- پی های منفرد: پی هایی که بار یک ستون تکی یا یک دیوار را حمل می نمایند.
- پی های مرکب: پی هایی که بار دو تا چهار ستون را حمل می نمایند.
- پی های گستردۀ: نوعی شالوده است که بار چندین ستون با فواصل نامنظم یا چندین ردیف ستون موازی را حمل می نماید و در زیر بخشی از ساختمان و یا کل آن قرار می گیرد.

فونداسیون های سطحی به صورت مشروح تری نیز دسته بندی شده اند (مبحث ۷ مقررات ملی ساختمان):

(الف) فونداسیون منفرد: فونداسیون منفرد بار یک ستون را تحمل نموده و از ساده ترین، معمول ترین و عمدتاً کم هزینه ترین نوع فونداسیون ها می باشد. در پلان به شکل مربع، مستطیل و یا دایره بوده که انتخاب شکل تا حدودی به مقطع ستون و همچنین نوع بارهای وارده اعم از محوری، لنگر در یک و یا دو جهت بستگی دارد. از نقطه نظر ضخامت، پروفیل پی های منفرد و یا تک ممکن است به صورت ثابت، پله ای و یا شیب دار باشند. این پی ها از مصالح بنایی، بتُنی وزنی و یا بتُن مسلح ساخته می شوند. در صورت نمودن فونداسیون های منفرد غالباً در آن ها از یک سفره آرماتور مستقر در قسمت زیرین پی استفاده می شود. یک نمونه فونداسیون منفرد در شکل ۱-۱ نشان داده شده است.

¹ Pier Foundations² Deep Foundations³ Bowels



شکل ۱-۱ فونداسیون منفرد

• چه موقعی می توان از شالوده منفرد استفاده کرد؟

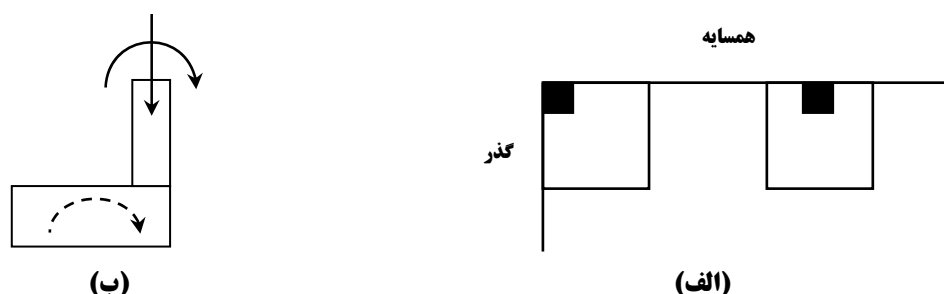
(الف) زمانی که حجم بار وارد بر شالوده در مقایسه با مقاومت مجاز خاک آنقدر زیاد نباشد که منجر به ابعاد بزرگ و غیر متعارف شالوده شود.

$$\uparrow\uparrow A = \frac{P \uparrow}{\downarrow q_{all}}$$

(ب) زمانی که ستون روی شالوده خروج از مرکزیت ایجاد نکرده باشد. به عبارتی ستون در مرکز شالوده یا حدوداً در مرکز شالوده قرار گرفته باشد.

با توجه به بند فوق می توان نتیجه گرفت که در سازه های بتُنی که پای ستون گیردار است نمی توان از این نوع فونداسیون ها استفاده نمود زیرا لنگر پای ستون باعث ایجاد خروج از مرکزیت می شواد در حالی که این فونداسیون قادر به انتقال لنگر نیست. علاوه بر این در صورت وجود برون محوری، فشار در یک طرف فونداسیون بزرگتر از طرف دیگر می شود که این اختلاف فشار باعث نشست نامساوی دو طرف و در نتیجه کج شدن^۱ فونداسیون می شود. البته در بعضی موارد فونداسیون های منفرد را برای خروج از مرکزیت نیز طراحی و اجرا می کنند لیکن این کار توصیه نمی شود. در بعضی کتب استفاده از فونداسیون منفرد تحت بار برون محور فقط در خاک های متراکم و یا بستر سنگی مجاز دانسته شده است به شرطی که شالوده هم برای بار محوری ستون و هم برای لنگر گیرداری طراحی شده باشد. البته در این حالت نیز عدم قطعیت زیادی در رابطه با تخمین واقعی لنگر ها و خروج از مرکزیت ها وجود دارد.

از بحث فوق می توان نتیجه گیری نمود که فونداسیون منفرد در مجاورت حریم گذر یا ملک شخص دیگری قرار دارد استفاده از این فونداسیون ممکن نیست.



شکل ۲-۱ فونداسیون منفرد قرار گرفته در مجاورت حریم یا گذر

¹ tilting

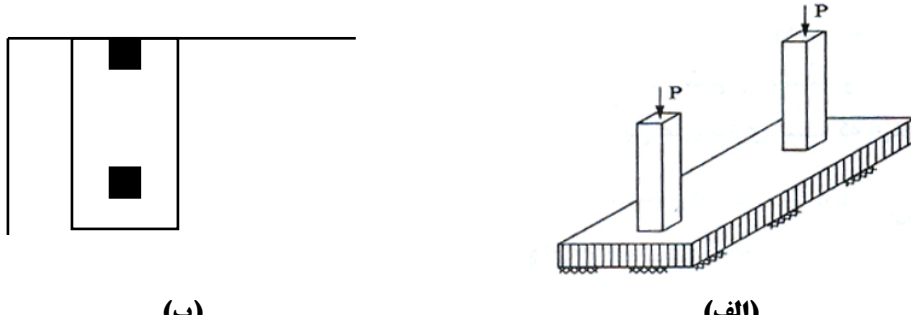
هر چند مطابق آنچه بیان شد، فونداسیون های منفرد دارای خروج از مرکزیت در عمل کاربرد چندانی ندارند، در فصول بعدی روابط نظری محاسبه ظرفیت باربری و نشست فونداسیون های منفرد قرار گرفته تحت بارهای مایل و برون محور مورد بررسی قرار خواهد گرفت.

کلاف^۱ (شناز)

وقتی که در یک ساختمان از فونداسیون های منفرد استفاده می شود، آن ها را باید توسط کلاف هایی به یکدیگر متصل نمود. کلاف ها به هیچ وجه برای جلوگیری از نشست های نامساوی نیستند و وظیفه آن ها بستن شالوده های منفرد به یکدیگر و جلوگیری از بازی کردن آن ها مخصوصاً در مقابل تکان های ناشی از زلزله می باشد.

شناز یا کلاف: عنصری است غیر سازه ای یا سازه ای درجه ۲ که هیچ نقشی در تحمل بارهای وارد و انتقال آن ها به زمین نداشته و نمی تواند نشست های نامتجانس (نشست نسبی) را کنترل کند. تنها وظیفه شناز به هم کلاف کردن شالوده و جلوگیری از حرکت افقی آن ها نسبت به یکدیگر است.

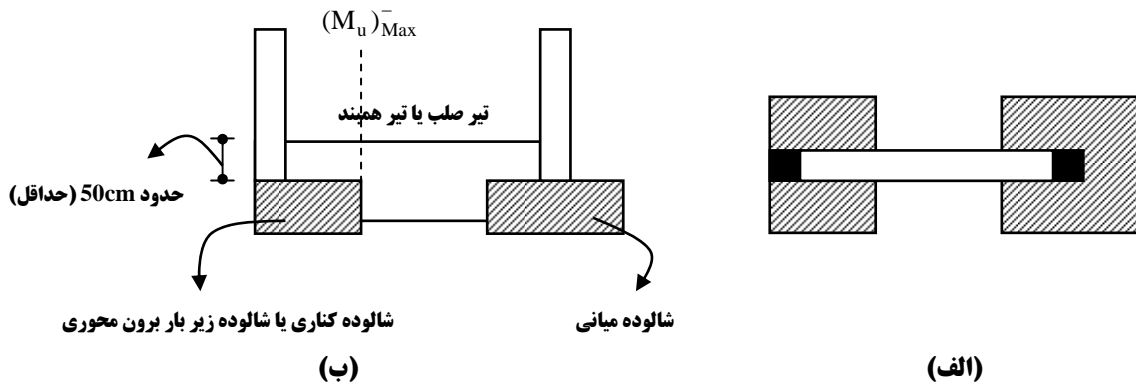
(ب) فونداسیون دو ستونی: اگر دو ستون بهم نزدیک باشند (به نحوی که فاصله شالوده های منفرد آنها کمتر از نصف فاصله دو ستون گردد)، اقتصادی و مناسب است که از شالوده دو ستونی استفاده شود (شکل ۳-۳). کاربرد اصلی این نوع شالوده در مواردیست که نمی توان یک ستون را به طور مرکزی بر روی شالوده منفرد قرار داد مانند ستونهای کناری (در نوار مرزی ساختمانهای محدود). شالوده دو ستونی می تواند به صورت مستطیلی، ذوزنقه ای، باسکولی، T شکل، حفره ای و تیری طرح شود. این شالوده ها به نحوی طراحی می شوند که مرکز هندسی آنها بر نقطه اثر برآیند بارهای وارد منطبق گردد.



شکل ۳-۳ فونداسیون دو ستونی (الف) نمای سه بعدی (ب) فونداسیون قرار گرفته در مجاورت حریم

در فونداسون های باسکولی برای مقابله با خروج از مرکزیت ستون کناری، آن را توسط یک تیر صلب یا تیر همبند) به داخل شالوده داخلی مجاور متصل می نمایند (شکل ۱-۴). اینکار ممکن است برای جلوگیری از نشست نامساوی ستونها مورد توجه قرار گیرد.

¹ Tie



شكل ٤-٤ فونداسيون باسكولي (الف) پلان (ب) عناصر تشکیل دهنده فونداسيون باسكولي

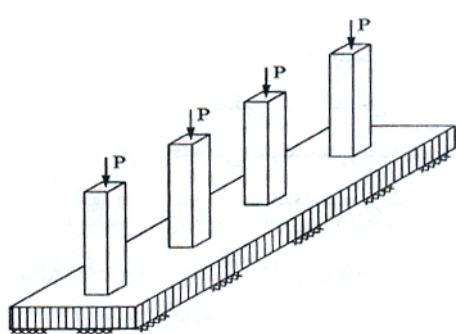
نکات مربوط به شالوده باسکولی:

۱. تیر صلب بایستی بالاتر از سطح زمین قرار گرفته باشد (حداقل ۵ تا ۱۰ سانتی متر) تا در انتقال بار به زمین مشارکت نداشته باشد. تنها وظیفه این تیر به هم بستن شالوده ها به منظور جلوگیری از واژگون شدن شالوده کناری است.
 ۲. ارتفاع تیر صلب بایستی به گونه ای اختیار شده باشد که ممان اینرسی آن حداقل به اندازه ممان اینرسی شالوده زیر بار پرون محور باشد به همین علت ارتفاع تیر صلب از ارتفاع شالوده بیشتر است.

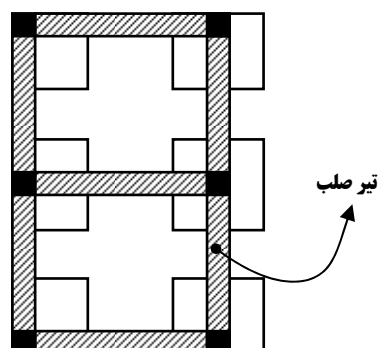
ممان، اینر سی، تیر صلب \geq ممان اینر سی، شالوده کناری

توجه: در اجرا مشاهده می شود به غلط به جای شالوده باسکولی از شالوده ای که ارتفاع شناز آن برابر ارتفاع شالوده و میلگرد بیشتر است استفاده ممکن نیست.

نکته: استفاده از شالوده های تک و باسکولی در مناطقی مثل تهران که ساختمان ها به صورت متراکم در کنار هم ساخته می شوند و شالوده ها خروج از مرکزیت دارند به کل مردود و ممنوع است. زیرا با توجه به شکل (۱-۵) روبرو برای رفع مشکل شالوده های تک باید تیر صلب به صورت روبرو اجرا شود اما ملاحظه می شود که پی باسکولی شامل بیش از ۲ ستون خواهد شد حال آنکه کلیه روابط شالوده باسکولی، ب منای دو ستون محاسبه شده است.



شکا، ۱-۶ فونداسیون نواری

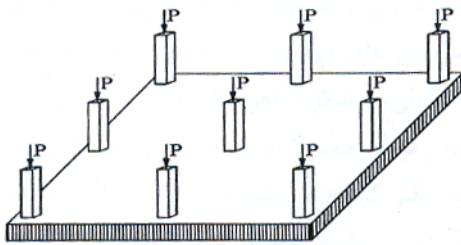


شکل ۱-۸

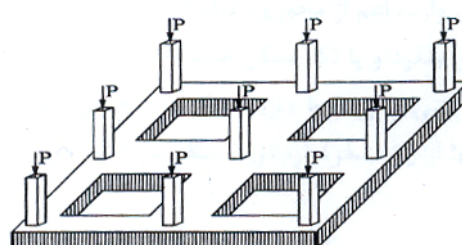
(پ) فونداسیون نواری: با اتصال فونداسیون های ستون های یک ردیف و یا برای فونداسیون زیر یک دیوار باربر فونداسیون نواری ایجاد می گردد که نسبت طول به عرض آن بسیار زیاد است شکل (۱-۶). این فونداسیون ها ممکن است با مصالح

بنایی، بتن وزنی و یا بتن مسلح اجرا شوند. در صورت مسلح نمودن این فونداسیون‌ها، آرماتورهای اصلی در راستای طول قرار گرفته و آرماتورهای عرضی عرپی معمولاً نقش فرعی و مقابله با تغییر شکل‌های مربوط به نشت است و یا حرارتی را دارند. برای افزایش سختی آن‌ها در مقابل با نشت غیر یکنواخت می‌توان آن‌ها را در مقطع عرضی به صورت **T** شکل و یا **T** معکوس اجرا کرد.

(ت) فونداسیون شبکه‌ای: به لحاظ اقتصادی (کاهش هزینه قالب‌بندی) گاهی مقرن به صرفه است که شالوده‌های یک ردیف در هم ادغام و شالوده به صورت نواری اجرا گردد. چنانچه این نوارها در هر دو امتداد عمود برهم قرار گیرند شالوده شبکه‌ای بوجود می‌آید (شکل ۱-۷). عملکرد این شالوده‌ها مرکب بوده و متفاوت از عملکرد شالوده‌های منفرد است که توسط کلاف به یکدیگر متصل می‌شوند. کلافها کلاً نقشی در جلوگیری از نشت شالوده‌های منفرد ندارند (قادر به حمل برش و خمش نمی‌باشند) و تنها صلابت جانبی سازه را افزایش می‌دهند.



شکل ۱-۸ فونداسیون شبکه‌ای



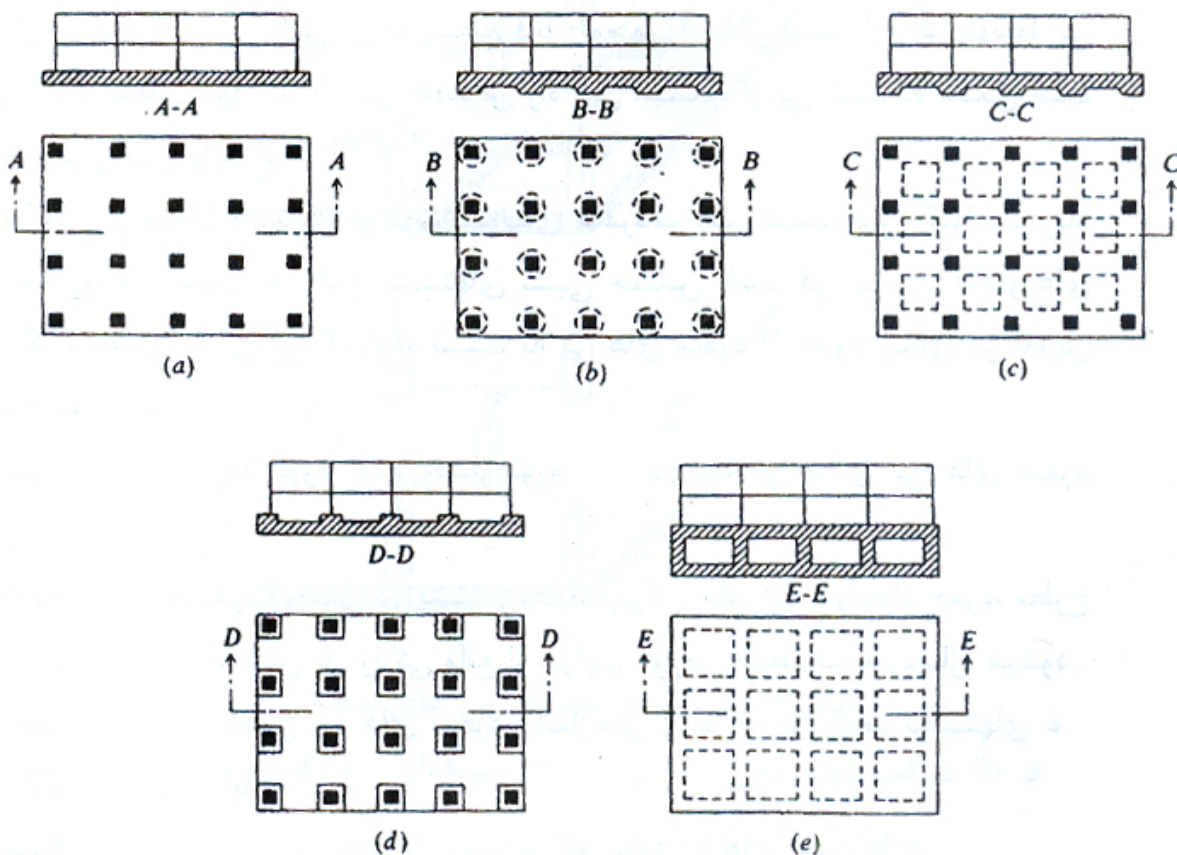
شکل ۱-۷ فونداسیون شبکه‌ای

(ث) شالوده‌های گسترده: در صورت اجرای پروژه‌های بزرگتر و سنگین‌تر بر روی زمین‌های با مقاومت کمتر و یا در صورت تفاوت قابل ملاحظه بار دیوارها و ستون‌های مجاور، جهت ایجاد عکس العمل یکنواخت و به حداقل رساندن نشت های غیر یکنواخت، مقابله با عوارض موضعی و نقاط ضعف موضعی و نقاط ضعف موردي در خاک بستر، در صورتی که استفاده از فونداسیون‌های منفرد و یا نواری میسر نباشد و یا بخش عمده زمین زیر بنا با توسط فونداسیون‌های منفرد، نواری و یا شبکه ای اشغال شود، تمام محدوده زیربنا به ساخت فونداسیون اختصاص داده می‌شود و تمامی بارهای دیوارها و ستون‌ها توسط یک سیستم یکپارچه دالی تحمل می‌شود (شکل ۱-۸). به این سیستم، فونداسیون گسترده و یا به اصطلاح فرانسوی، رادیه جنرال گفته می‌شود و معمولاً دو سفره آرماتور در پایین و بالای فونداسیون در دو جهت طولی و عرضی در آن به کار گرفته می‌شود. فونداسیون گسترده نیز به اشكال مختلف در پلان و مقطع اجرا شده که چند سیستم سازه‌ای آن را در شکل ۹-۱ دیده می‌شود.

پی‌های گسترده دال‌های بتونی یکپارچه‌ای هستند که در پاره‌ای موارد با تلفیق تیرهای سخت کننده، دال‌های کف و سقف و دیوارهای پیرامونی یا میانی زیرزمینی، بار ستون‌ها و یا دیوارهای مختلف را حمل می‌کنند. کاربردهای فونداسیون‌های گسترده در یک یا چند مورد زیر ممکن است مورد ملاحظه قرار گیرد:

۱. بارهای روسازه نسبتاً بزرگ بوده و شرایط خاک بستر ضعیف است به قسمی که مساحت فونداسیون‌های سطحی به اندازه کافی بزرگ و سطح قابل توجهی از پلان (50%) توسط فونداسیون‌های منفرد اشغال شود که در این خصوص راه حل استفاده از فونداسیون گسترده ممکن است اقتصادی‌تر و ایمن‌تر باشد.
۲. خاک بستر متغیر و استفاده از فونداسیون‌های منفرد موجب نشت غیر یکنواخت زیاد شده و یا روسازه نسبت به وقوع نشت های نسبت حساس باشد. در این مورد فاکتورهای پیوستگی، سختی نسبی فونداسیون گسترده نسبت به فونداسیون‌های منفرد تا حدود زیادی در تعديل نشت ها موثر است.

۳. زمین زیر بنا مستعد تورم بوده و فشار تورم موجب جابجایی جدی فونداسیون های منفرد می شود.
۴. احتمال وقوع عوارض موضعی در بستر از جمله ریزش چاه، قنات و ایجاد حفره، مطرح بوده که فونداسیون گسترده با نقش پل زدگی مانع از سرایت عوارض نامطلوب به سازه می شود.
۵. ضعیف استحکام و سختی پی های منفرد و شنازهای رابط که نمی تواند نشت های غیر یکنواخت را تعدیل نماید.
۶. احتمال تخمین نادرست بارهای روسازه که وقوع بارهای غیر عادی ایجاد غیر یکنواختی در توزیع تنش و نشت را ممکن است به دنبال داشته باشد.
۷. بارهای جانبی به طور یکدست در روسازه توزیع نشده و ممکن است جابجایی های افقی بیش از حد مجاز به فونداسیون های منفرد را به همراه داشته که فونداسیون گسترده با یکپارچگی مانع چنین وضعیتی خواهد شد.
۸. کف زیر سازه پایین تر از تراز آب زیرزمینی واقع شده و آب بندی کف مهم می باشد. بکارگیری فونداسیون گسترده موجب جلوگیری از نفوذ آب به زیر زمین شده و علاوه بر این تا حدودی با زیر فشار مقابله می شود.
۹. جهت افزایش باربری و تقلیل نشت، راه حل پی شناور (گودبرداری و پی سازی جای آن) مطرح شده که در این راستا تلفیق فونداسیون گسترده با دیوارها و سقف زیرزمین می تواند راه حل مطلوبی باشد.



شکل ۱-۹ انواع مختلف فونداسیون های گسترده (a) سیستم دال تخت (b) سیستم دال پایین (c) سیستم دال دیوار (دال کف، دال سقف و دیوارهای میانی و جانبی (d) سیستم جعبه ای

۲-۴ فونداسیون های نیمه عمیق

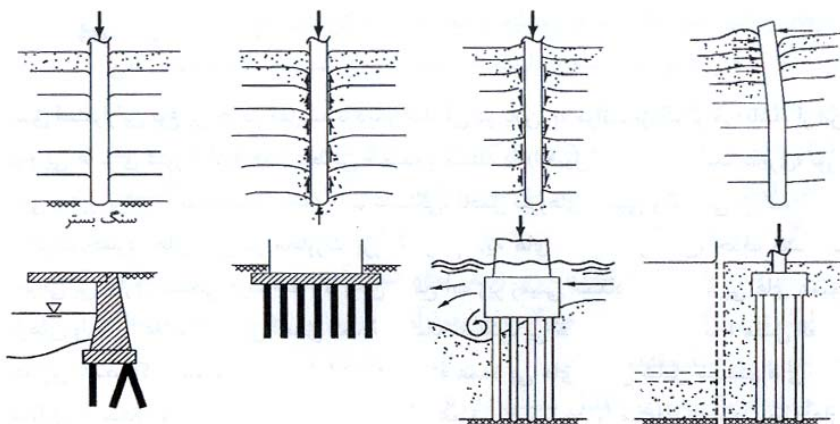
از آنجایی که در پاره ای موارد اجرای فونداسیون های سطحی مشکلات عدم تامین توان باربری، نشست های اضافی (به خاطر نسبتاً سست بودن لایه های سطحی و تمرکز توزیع تنش حاصل از بارگذاری در اعمق سطحی) و عدم تامین پایداری کافی در اثر بارهای جانبی و یا لنگرها را بدنبال دارند باید راه حل های دیگری را انتخاب نمود. از آنجا که استفاده از پی های عمیق معمولاً به عنوان انتخاب نهایی در مهندسی پی قلمداد شده و علی رغم قابلیت های کافی به لحاظ تامین باربری و پایداری، کنترل نشست، معمولاً اجرای پی های عمیق مقرن به صرفه نبوده و معضلات و صعوبت اجرایی خاص خود را به همراه دارد. در نتیجه از راه حل های میانه پی سازی می توان استفاده از پی های نیمه عمیق را نام برد که در ذیل دو مورد از آن توضیح داده می شود:

پی های چاهی: که اگر عمق استقرار پی آنها (D_f) بیش از ۱۰ برابر عرض آن ها است که جهت اجرا می توان از امکانات موجود استفاده نموده و با حفر چاه و رسیده به لایه متراکم و قطور نمودن قسمت انتهایی چاه ضمن برآورده نمودن شرایط باربری مناسب، از لایه های نشست پذیر عبور نمود. به علاوه برای سازه ای که تحت نیروهای برکنش و یا کشش واقع می شوند، پی های نیمه عمیق چاهی گزینه مطلوبی بوده و در مقابله با کشش می توان از نیروهای مقاوم وزن پی، مقاومت برشی خاک اطراف و نیز از مقاومت سقف پی استفاده نمود.

همچنین برای پی های گسترده در روی زمین به صورت سطحی اگر معضلات توان باربری و نشست مطرح باشد می توان عمق استقرار پی گسترده را در اعماق پایین تر اختیار نمود تا بخشی از تنش های وارد از روسازه با وزن خاک برداشته شده حاصل از حفاری جبران نمود. این امر به بهبود توان باربری حاصل می انجامد. به این دسته از پی های نیمه عمیق اصطلاحاً پی های شناور اطلاق می گردد.

۳-۴ فونداسیون های عمیق

عمق استقرار این نوع فونداسیون ها در مقایسه با دیگر ابعاد آن در پلان، به مرتب بزرگتر می باشد. از این نوع فونداسیون ها برای عبور از لایه های سطحی ضعیف و مسئله دار (از قبیل معضلات نشست پذیری، توری زایی و فروریزشی)، مصنونیت در مقابل آب شستگی، تحمل نیروهای جانبی و کششی بزرگ، مقابله با اثرات حفاری های آتی در مجاورت پروژه، تراکم لایه های ضعیف در عمق، حذف مشکلات اجرایی پی سازی سطحی در شرایط بالا بودن سطح آب زیرزمینی استفاده می شود. پی های عمیق بارهای وارد را علاوه بر عکس العمل کف که مشابه عملکرد پی های سطح است، با عکس العمل جداری (اصطکاکی) نیز تحمل می نمایند. دو دسته عمدی پی های عمیق شامل سیستم های لاغر متداول یا شمع و سیستم قطورتر یا پایه های عمیق یا کیسون را می توان نام برد. روش های مختلفی برای اجرای پی های عمیق مطرح است. شمع های کوبیدنی از نوع چوبی، بتنی و یا فولادی که از طریق انواع چکش ها، جک ها و ویبراتورهای کوبنده، به زمین رانده می شوند. شمع ها و پایه های درجا توسط حفاری چاه و یا گمانه و سپس ریختن مصالح بنایی، بتنی وزنی و یا مسلح و یا استقرار مقاطع پیش ساخته در مجاری حفاری شده اجرا می گردد. شمع های کوبیدنی-درجا نیز شامل مواردی می شوند که ابتدا یک پوسته و یا غلاف به زمین رانده شده و سپس داخل آن با بتن پر می شود. پوسته و یا غلاف پس از بتن ریزی در محل باقی مانده و یا بیرون کشیده می شود. شکل ۱۰-۱ چند نمونه از پی های عمیق را نشان می دهد.



شکل ۱-۱۰ نمونه هایی از کاربردهای فونداسیون های عمیق

۴-۴-۱ فونداسیون های ویژه

dal سطحی به عنوان پی گستردگی جهت تامین پاره ای ضروریات اجرایی، فنی، اقتصادی و سرویس دهی ممکن است به طور خاصی در عمل مورد استفاده قرار گیرد که چند نمونه آن در شکل ۱۱-۱ نشان داده شده است.

- **پی های شناور^۱**: پی های شناور در مواردی کاربرد دارند که با وجود لایه های نشست پذیر و یا ضعیف تا عمق قابل توجهی وجود داشته و استفاده از شمع هم امکان پذیر نباشد. در آن صورت می توان پی گستردگی سازه را در عمق پایین تر مستقر و با برداشت خاک حاصل از گودبرداری با بار ثقلی حاصله از رو سازه مقابله و یا حتی فشار رو سازه با میزان خاک حاصل از حفاری معادل نمود. از نظر تطوری در چنین وضعیتی خاک در عمق کف پی به پایین تحت تاثیر بارگذاری جدید و اضافه فشار نبوده بنابراین نشست قابل توجهی اتفاق نمی افتد و نشست حاصله عمدتاً در اثر برگشت تورم حاصل از خاکبرداری پس از احداث بنا می باشد. معمولاً یک متر مکعب خاک را می توان به لحاظ وزنی معادل دو طبقه ساختمان مسکونی معمولی در هر متر مربع به حساب آورد. البته باید توجه داشت که در صورت بالا بودن سطح آب زیرزمینی، شناوری پی ممکن است مشکل جدی بوده و معضلات اجرایی گودبرداری در آب نیز مطرح باشد.
- **پی های باکسی با جعبه ای^۲**: در مواردی که سازه سنگین تر و از اهمیت ویژه ای برخوردار باشد، سیستم فونداسیون باید از صلبیت خمی ویژه ای برخوردار بوده که بدین ترتیب تلفیق dal های کف و سقف و نیز دیوارهای اطراف و میانی زیرزمین، ملاحظات خاص تحلیل، طراحی سازه ای و اجرای پی های شناور را مطرح می سازد.
- **پی های فولادی یا پروفیله^۳**: استفاده از پی های فولادی در مواردی است که بارهای حاصل از رو سازه سنگین و زمین بستر سخت و یا سنگی باشد و راه حل های استفاده از بتن مسلح پاسخگوی وضعیت سیستم های معمول پی سازی نبوده که در این صورت استفاده از پروفیل های فولادی بال پهن در دو لایه عمود و بر روی یکدیگر با قالب بتنی درجا در اطراف به کار گرفته می شود. در موارد بارهای کمتر و در دسترس نبودن پروفیل های بال پهن فولادی و یا پی سازی موقتی در بستر های سست، می توان از دو ردیف الوارهای چوبی متعامد روی هم محصور در بتن استفاده کرد.

^۱ Floating (Buoyant) Foundations

^۲ Box Foundations

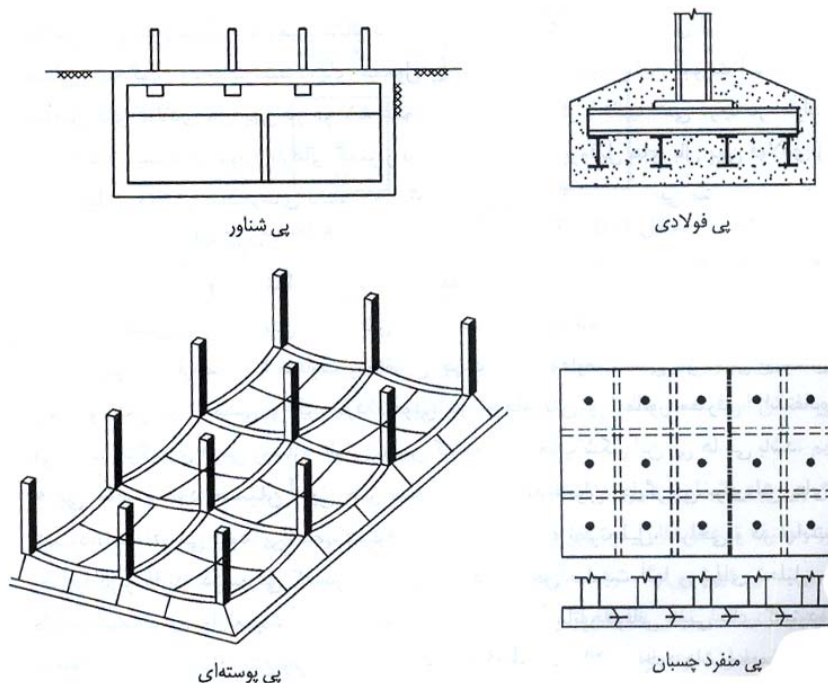
^۳ Grillage

- **پی های سلوی و پوسته ای^۱**: بر اساس استفاده از عملکرد، شکل پی در ساختار پی های شناور و یا تقلیل وزن مرده بتن در پی های حجیم مدفون، و نیز تامین سختی کافی در طبقات مختلف زیرزمین از صفحات متناوب و متقطع جهت تامین مقاومت کافی در مقابل نیروهای برشی و لنگر خمشی و نیز صرفه جویی در احجام بتن و آرماتور مصرفی استفاده می شود. ویژگی هیا فرمی روسازه عاملی تعیین کننده در انتخاب شکل این پی ها می باشد.
- **پی های منفرد چسبنان^۲**: پی های منفرد چسبان به عنوان جایگزینی برای پی های گستردۀ استفاده می شود. پی های گستردۀ معضلاتی از نقطه نظر تحلیل، طراحی و در نهایت اجرا را در بر دارند. در صورتی که در پی های منفرد با فرض صلبیت آن ها روش های تحلیل و طراحی، ساده و معمول می باشد. در اجرا نیز با وجود شبکه آرماتور فوقانی در پی های گستردۀ، معضلات دسترسی برای بتن ریزی و عبور بتن از شبکه آرماتور بالای وجود داشته و مضافاً به این که با توجه به ابعاد قابل توجه پی گستردۀ در سطح، مشکلاتی نیز در اجرای یکپارچه بتن مطرح است لذا برای تسهیل در طراحی و اجرا می توان بجای پی گستردۀ، یک ردیف پی های منفرد، مجاور را جایگزین آن نمود که به صورت منقطع در قسمت بالایی و متصل در قسمت پایینی بوده و لذا به علت عدم پیوستگی در بالا، لنگری رد و بدل نشده و مانند پی های منفرد نبازی به سفره آرماتور پایین مطرح می شود. جهت سهولت بیشتر در اجرا و ایفای نقش شناز می توان یک سفره مشترک حداقل آرماتور در پایین پی های مجاور منظور نموده و سپس در صورت لزوم هر بی تک، آرماتور اضافی منظور گردد. سیستم پی های منفرد در زیر یکپارچه شده و علی رغم مجاورت و سراسری بودن پلان فونداسیون، مدل پی منفرد را می توان در تحلیل، طراحی و اجرا به کار گرفت.
- **تلفیق پی گستردۀ و پی های عمیق**: اگرچه پی گستردۀ در میان پی های سطحی راه حل نسبتاً مناسبی به شمار می رود ولی ایراداتی از قبیل معضلات اجرایی و بتن ریزی یکپارچه، غیر اقتصادی بوده و در نهایت وقوع نشست های زیاد را به دنبال دارد. به طور کلی وقوع نشست در خاک اعم از تحکیمی و آنی را می توان تابعی از شدت بارگذاری (q) و عرض پی (B) محسوب نمود (اسلامی و همکاران، ۱۳۸۳). در این صورت با توجه به عرض نسبتاً زیاد پی های گستردۀ در مقایسه با پی های نواری و منفرد و منطقه تاثیر تنش نسبتاً زیاد در زیر پی معضلات نشست در زیر پی های گستردۀ ممکن است برای سازه های مهم و سنگین از محدوده مجاز نشست ها تجاوز نماید. به علاوه برای پروژه های سنگین فشارهای بزرگی را به زمین وارد می سازند و معضلات باربری نیز به صورت قابل توجهی مطرح خواهد بود. در این خصوص می توان با تلفیق پی گستردۀ به همراه پی های عمیق و مشارکت در باربری، یکی از کاملترین انواع فونداسیون ها را اجرا نمود. بر اساس فرضیه رادیه معادل و تجارت حاصله از کنترل نشست با استفاده از پی های عمیق می توان با انتخاب گزینه مناسب پی گستردۀ و تغییر در تعداد شمع ها و اندرکنش مطلوب پی گستردۀ و شمع که اصطلاحاً به پی گستردۀ مرکب موسوم است، اثرات توان افزایش توان برابری و نیز کاهش نشست را ایجاد نمود که چنین مفهومی توسط پولوس^۳ در شکل ۱۲-۱ نشان داده شده است.
- **فونداسیون های صندوقه ای**: فونداسیون های صندوقه ای معمولاً از یک ستون توخالی قطور از جنس بتن مسلح ساخته شده و با روشهای مختلف در زمین نصب می شوند. در عمل از این نوع بی ها برای سازه های دریابی استفاده شده و بصورت پیش ساخته می باشند به نحویکه بتوان آنها را بصورت شناور به محل مورد نظر حمل و سپس آنرا تثبیت نمود. تثبیت صندوقه در محل با پر کردن آن از آب و یا مصالح وزین دیگر انجام می شود.

¹ Cellular or Shell Foundations

² Attached single Foundations

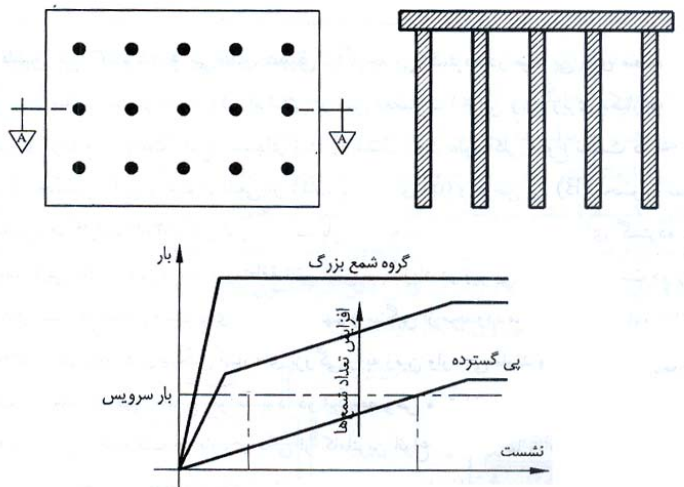
³ Poulos, 1980



شکل ۱۱-۱ چند نمونه از پی های گستردۀ خاص

۵-۱ | ضوابط کلی و ملاحظات دیگر در طراحی فونداسیون ها:

ابعاد و اجزاء پی می بايستی بنحوی طرح شوند که هم تنش تماس با خاک در حد اینم باشد و هم نشسته را به یک مقدار قابل قبول محدود نماید اما مشکلات نشست اضافی عمومی بوده و تا حدودی مخفی باقی مانده اند زیرا تنها موارد بسیار دیدنی انتشار یافته اند. تعداد اندکی ساختمانهای مدرن در اثر نشستهای اضافی فرو می ریزند. اما وقوع فروریختگی ها جزئی یا گسیختگی موضعی در یک عضو سازه ای چندان غیر معمول نیست، بیشتر آسیبها که روی می دهنده شامل ترکهای ناخوشایند در دیوار و کف، کف های ناهموار (خیز هاوشیب ها) درها و پنجره های چفت شده و غیره می باشند. تغییرپذیری خاک همراه با بارهای پیش بینی نشده یا حرکت های بعدی خاک (نظیر لزله ها) می توانند به مشکلاتی از نشست منجر شوند که مهندس، کنترل اندکی برآنها دارد. عبارت دیگر آخرین روش های موجود طراحی ممکن است احتمال مشکلات نشست (ضریب خطر) را به مقدار زیادی کاهش دهنده، اما عموماً یک پروژه خالی از خطر بدست نمی دهد. با این همه بطور منطقی برخی مشکلات نتیجه مستقیم طراحی ضعیف یا بی دقیقه ای ساده یا عدم توانائی مهندسی می باشند. یک عامل عمدۀ که کار طراحی پی را مشکل می سازد آن است که پارامترهای خاک مورد استفاده در طراحی قبل از شروع پروژه بدست می آیند. بعداً هنگام اجرایی برخاکی بنا می شود که خواص آن به مقدار زیادی نسبت به حالت اولیه اصلاح شده است که این اصلاح یا بواسطه روند اجرا یا احداث پی ایجاد می گردد این بدان معنی است که خاک ممکن است حفاری و یا جایگزین گشته و متراکم گردد. حفاری درجهت برداشتن بار از روی خاک زیرین بوده و سبب انبساط آن را فراهم می نماید کوبش شمع معمولاً خاک را متراکم تر می نماید. هریک از این وقایع یا مستقیماً خواص خاک را تغییر داده (جایگزین خاک) یا پارامترهای مقاومتی برآورده شده اولیه را اصلاح می نمایند.



شکل ۱۲-۱ اثرات قوام افزایش توان باربری و کاهش نشست با تلفیق پی گستردگی و شمع

به طور کلی ضوابط زیر در طراحی پی ها باید مد نظر قرار گیرند:

- ۱- عمق پی ها می بایست به قدر کافی زیاد باشد تا از بیرون زدگی جانبی مصالح از زیر پی برای شالوده ها و پی های گستردگی جلوگیری شود. بطور مشابه در گود برداری پی می بایست این نکته مد نظر باشد که مشکل بیرون زدگی مصالح پی می تواند برای شالوده های ساختمان موجود در نواحی مجاور گود اتفاق بیفت و ضرورت دارد که تدبیر مقتضی در نظر گرفته شود. تعداد ترکهای ناشی از نشست که به هنگام گود برداری برای سازه های مجاور مالکین ساختمانهای موجود یافت می شوند بسیار قابل توجه می باشد.
- ۲- عمق شالوده ها می بایست زیربخشی از خاک باشد که دارای تغییرات حجمی فصلی ناشی از بخ زدگی، ذوب شدن بخ و رشد گیاهان می باشد. اکثر آبین نامه های ساختمانی محلی مقررات مربوط به حداقل عمق پی را در بردارد.
- ۳- در پی ممکن است لازم شود شرایط خاک منبسط شونده در نظر گرفته شود در چنین شرایطی بنای ساختمان در جهت حبس بخار آب موجود در خاک است که به طرف بالا حرکت می نماید. این بخار آب به تدریج فشرده شده و خاک واقع در بخش درونی زیر دال کف و پی ساختمان را حتی در شرایطی که تغییر محیطی به طور عادی روی می دهد اشباع می نماید.
- ۴- علاوه بر ملاحظات مربوط به مقاومت فشاری، سیستم پی می بایست در برابر واژگونی، لغزش و هر نوع بالا زدگی (شناوری) ایمن باشد.
- ۵- سیستم پی باید در برابر خوردگی یا تخریب ناشی از تماس با مواد مضر موجود در خاک محافظت گردد.
- ۶- سیستم پی باید بتواند تغییرات بعدی را در ناحیه یا هندسه ساختمان را تحمل کند و در صورت لزوم به ایجاد تغییرات در سازه فوقانی و بارگذاری به سادگی قابل اصلاح باشد.
- ۷- پی می بایست توسط نیروی انسانی موجود در محل قابل ساخت باشد.
- ۸- اجرا و توسعه محل می بایست مطابق با استاندارهای محیط زیستی محل باشد از جمله اینکه می بایست تعیین شود که آیا ساختمان از طریق تماس با زمین در معرض آسودگی است یا خیر.

۱-۶ | شمع

شمع چیزی جز یک ستون مستقر شده در زمین برای تحمل بارهای واردہ از طرف سازه و انتقال آن به لایه مقاوم تر زمین که در عمق زیاد قرار دارد نیست. اجرای شمع زیر انواع فونداسیون در موردی که خاک زیر پی برای تحمل بارهای واردہ توان کافی نداشته باشد، استفاده می‌شود. شمع بارهای واردہ از پی و بنا را در عمق خاک عبور داده و آنرا به خاک مقاومتر (در عمق بیشتر) منتقل می‌کند. شمع‌ها را ممکن است از لحاظ نوع جنس آنها یا بر اساس نحوه انتقال بار به زمین و یا روش ساخت دسته بندی کرد. از نظر نوع جنس آن‌ها را به شمع‌های چوبی، بتنی و فلزی تقسیم می‌کنند. از لحاظ نحوه انتقال بار به زمین شمع‌ها به شمع‌های مقاومتی و شمع‌های اصطکاکی تقسیم بندی می‌شوند. و بالاخره از نظر روش ساخت شمع‌ها را می‌توان به شمع‌های پیش‌ساخته و ساخته شده در محل تقسیم کرد. شمع‌های پیش‌ساخته و ساخته شده در محل از لحاظ جنس و یا نحوه ساخت دارای انواع مختلفی می‌باشند.

از لحاظ نحوه انتقال بار به زمین، گاهی شمع مانند یک ستون بارهای واردہ را از سرتاسر لایه‌های غیر مقاوم زمین عبور داده و از طریق سر خود که به زمین مقاوم رسیده است به زمین انتقال می‌دهد که این شمع‌ها مقاومتی می‌نامند. در مواقعي که زمین خوب در اعماق زیاد و دور از دسترس باشد ممکن است شمع‌ها مقاومت خود را از طریق نیروی اصطکاکی که بین سطوح جانی آنها و زمین به وجود می‌آید کسب می‌کنند. این نوع شمع‌ها را شمع‌های اصطکاکی می‌نامند. در واقع تقریباً در تمام حالات مقاومت، ترکیبی از مقاومت اصطکاکی و مقاومت انتهایی است.

انواع شمع‌ها:

بر حسب شرایط تحت الارضی، سطح آب زیرزمینی و نوع باری که باید حمل شود، انواع مختلفی از شمع‌ها در کارهای ساختمانی مورد استفاده قرار می‌گیرد. شمع‌ها بر حسب مصالحی که از آن ساخته می‌شوند دارای انواع زیر هستند:

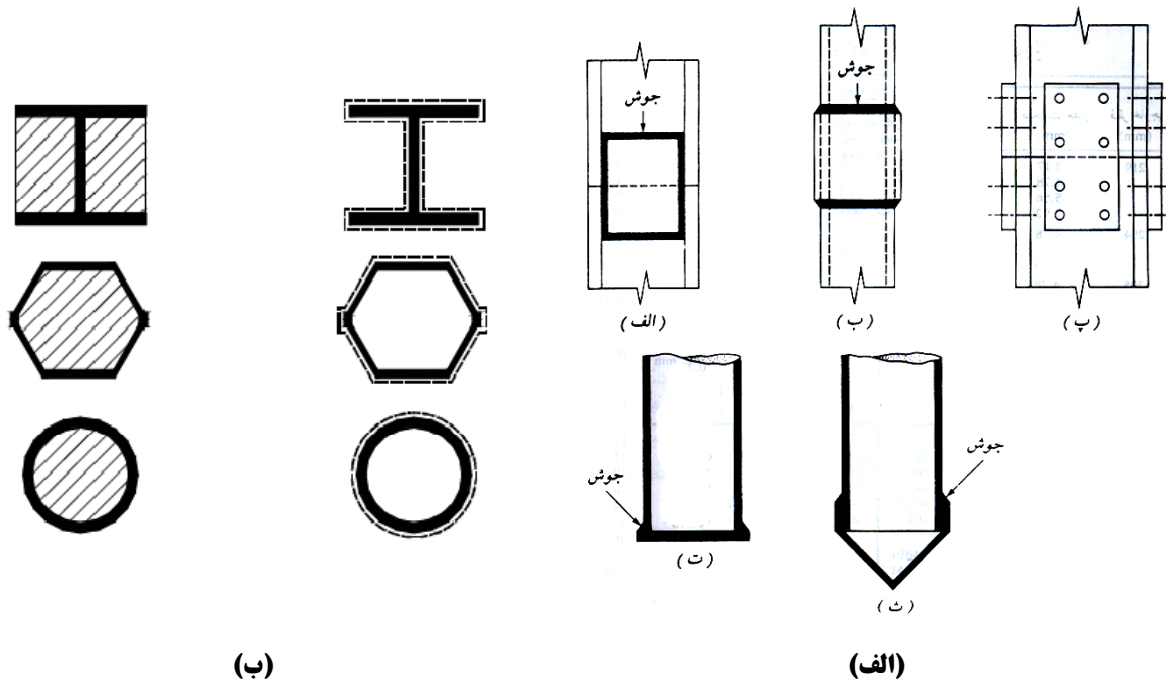
۱. شمع‌های فولادی
۲. شمعی‌های بتنی
۳. شمع‌های چوبی
۴. شمع‌های مرکب

۱-۶-۱ شمع‌های فولادی

انواع معمول شمع‌های فولادی، شمع‌های لوله‌ای و شمع‌های H می‌باشند. شمع‌های لوله‌ای نیز در دو حالت انتهایی بسته و انتهایی باز به زمین کوبیده می‌شوند. هرچند که از تیرآهن‌های I و بال بهن نیز می‌توان برای شمعکوبی استفاده کرد، لیکن تیرآهن‌ها با نیمرخ H به علت مساوی بودن ضخامت بال و جان معمولاً ترجیح داده می‌شوند.

در صورتی که طول مورد نیاز برای شمع بزرگتر از طول یک شاخه شود، شمع‌های فولادی را به وسیله جوش و یا پرج به یکدیگر وصله می‌کنند. در شکل ۱۳-۱-الف جزیات یک وصله جوشی برای شمع‌های H نشان داده شده است. در شکل ۱۳-۱-ب نیز جزیات یک وصله جوشی برای شمع‌های لوله‌ای مشاهده می‌شود. در صورت استفاده از پرج، از جزئیاتی مثل ۱۳-۱-پ برای وصله شمع‌های H استفاده می‌شود.

وقتی که انتظار لایه ای سخت نظری شن متراکم، شیل و سنگ نرم می رود در نوک شمع فولادی از کفشک^۱ استفاده می شود. در اشکال ۱-۱۳-ت و ث دو حالت تخت و مخروطی برای کفشک نوک شمع های لوله ای نشان داده شده است. در زمین های باتلاقی، خاک های نباتی، مناطق ساحلی و سایر خاک های خورنده، املاح خاک و آب می توانند شمع های فولادی را تحت حملات شیمیایی قرار داده و خروдگی ایجاد نمایند. خاک هایی که pH آن ها بزرگتر از ۷ است خورنده نیستند. برای جبران کاهش ضخامت به علت خوردگی بر ضخامت محاسباتی، معمولاً یک ضخامت اضافی در نظر گرفته می شود. برای جلوگیری از خوردگی، در روی شمع ها می توان از یک لایه پوشش اپوکسی استفاده کرد. این پوشش که در کارخانه روی شمع ها زده می شود، در هنگام حمل و نقل و کوبیدن شمع، به سختی آسیب پذیر است. گاهی موقع برای جلوگیری از خوردگی شمع فولادی، از پوشش بتُنی استفاده می شود. استفاده از حفاظت کاتود یک روش مطمئنی برای جلوگیری از خوردگی شمع است.



شکل ۱۳-۱ شمع های فولادی

۲-۶-۱ شمع های بتُنی

این نوع شمع ها به دو دسته تقسیم می شوند. شمع های بتُنی پیش ساخته و شمع های ساخته شده در محل که در زیر به شرح هر یک از انها می پردازیم:

شمع های بتُنی پیش ساخته:

شمع های بتُنی پیش ساخته را می توان تقریباً به هر شکل و اندازه ای در کارخانه ساخت. مقاطع معمول این نوع شمع ها مربع، دایره و چند ضلعی است. شمع های بتُنی پیش ساخته معمولاً با طول ۱۸ متر که می توانند باری را در حدود ۱۰۰۰ را

^۱ Driving point or shoe

تحمل کنند. محدودیتی از نظر خمش داشته و لذا در موقع حمل انها باید دقیق باشد که جلوگیری از شکستن آنها به کار برداشته باشد. در سر شمع های بتني پیش ساخته برای جلوگیری از تخریب شمع در موقع کوبیده شدن کلاهک فلزی نصب می کنند.

مزایای استفاده از شمع های بتني:

- (الف) برخلاف شمع های چوبی که بهتر است همیشه در زیر آب قرار داشته باشد استفاده از شمع های بتني در داخل و خارج آب تقریباً یکسان است.
- (ب) محاسبه آنها آسان و نسبتاً دقیق می باشد.
- (پ) شمع های بتني پیش ساخته را قبل از کوبیدن می توان مورد بررسی و معاینه قرار داد.
- (ت) قابلیت تحمل شمع های بتني به مراتب بیشتر از شمع های چوبی است.
- (ج) خطر خوردگی به وسیله حشرات و حیوانات کوچک در شمع های بتني وجود ندارد.

معایب استفاده از شمع های بتني:

- (الف) قطع قسمت انتهایی اضافی آنها به اسانی میسر نیست.
- (ب) برای گرفتن و سخت شدن بتن مدت نسبتاً زیادی لازم است.
- (پ) اگر در موقع کوبیدن به مانع سختی نظیر سنگ برخورد کند خواهد شکست.
- (ج) کوبیدن آنها احتیاج به وسائل مخصوصی با وزنه های سنگین دارد. علاوه بر این کوبیدن شمع ها ممکن است به ساختمان های مجاور اسیب وارد کند.
- (د) اضافه کردن و اتصال شمع های بتني به همدیگر تقریباً غیر ممکن است.
- (ه) وجود مواد و املاح مخصوص در آب گاهی باعث خرابی بتن و خوردگی فولادهای مصرفی در آنها می شود.

شمع های بتني ساخته شده در محل

معایب شمع های پیش ساخته شده باعث شده است که استفاده از آنها به میزان قابل توجهی کاهش یابد و به جای آنها از شمع های بتني ساخته شده در محل که به انواع زیر ساخته می شود استفاده شوند.

- (الف) شمع های چند قسمتی
- (ب) شمع های بتني ریخته شده در محل با استفاده از جدارهای فلزی
- (ج) شمع های بتني ریخته شده در محل بدون استفاده از جدارهای فلزی

۳-۶ شمع های چوبی

از جمله پر مصرف ترین نوع شمع ها هستند. مقطع آنها معمولاً به شکل مربع و به ابعاد $22.5 \times 22.5 \text{ cm}$ تا $65 \times 65 \text{ cm}$ به طول ۱۲ متر ساخته می شود. این شمع ها از تنہ درختی با چوب سخت نظیر کاج و بلوط درست شده است و دو سر آنها برای جلوگیری از خوردگی شن در موقع کوبیدن با کلاهک فلزی مسلح می سازند.

شمع های چوبی از جمله مقطع دایره ای را معمولاً بدون کندن پوست بکار می بردند تا نیروی اصطکاک حاصله بین سطح جانبی شمع و زمین به حداقل مقدار ممکنه افزایش یافته و شمع قابلیت تحمل فشار زیادی داشته باشد. قطر شمع

های چوبی استوانه ای ۲۰ تا ۲۵ سانتی متر است. شمع های چوبی نسبت به شمع های دیگر ارزانتر و از لحاظ برش و اتصال آسانتر و حمل و نقل و اجرای آنها نیز نسبتاً راحت است. حداکثر طول شمع ها را به فواصل ۸۰ تا ۱۲۰ سانتی متر از همدیگر و به صورت یک در میان می کویند. پس از آنکه شمع به اندازه کافی در زمین فرو رفت انتهای آن را با ارده مخصوص قطع می کنند به طوریکه همگی در یک سطح قرار می گیرند. برای آنکه فشار یکنواختی به شمع ها وارد آید می توان آنها را با چوب های افقی بهم وصل کرد و روی آنها قرار داد. امروزه روش های مختلفی برای جلوگیری از پوسیدگی چوب در آب و یا در خشکی وجود دارد که با استفاده از آنها به میزان قابل توجهی از خطر پوسیدگی و حمله حشرات کاسته می شود.

۴-۶-۱ شمع های مرکب

در شمع های مرکب، قسمت فوقانی و تحتانی شمع از دو مصالح مختلف ساخته می شوند. به عنوان مثال، شمع های مرکب ممکن است از فولاد و بتن و یا چوب و بتن ساخته شوند. شمع های مختلف فولاد و بتن مرکب از قسمت تحتانی فولاد و قسمت فوقانی بتن درجا می باشند. از نوع شمع وقتي مورد استفاده قرار می گيرد كه طول شمع لازم برای تامين ظرفيت باربری از ظرفيت باربری بتن درجای ساده تجاوز كند. شمع های مختلف چوب و بتن دارای قسمت تحتانی چوبی می باشند كه به طور دائم در سفره آب زيرزميني قرار دارد و قسمت فوقانی آن ها از بتن است. در هر صورت ايجاد وصلة در محل تلاقی دو مصالح مشکل بوده و به همين علت است که شمع های مختلف دارای كاربرد وسعي نمي باشند.



شکل ۱۴-۱ شمع های چوبی شناور مربوط به یک ساختمان صنعتی کوچک (Kemfert, 2006)

۷-۱ اجرای فونداسیون ها، گودبرداری و مخاطرات اجرایی

چطور خطرات گودبرداری ساختمانی را کاهش دهیم؟ سازمان پيشگيري و مدريت بحران شهر تهران مطلبی درباره چگونگی گودبرداری ايمن و بدون خطر، تلفات و خسارات برای همسایگان و کارگران منتشر كرده است که در ادامه می خوانيد:

اندازه کوچک قطعات زمین و فاصله عرضی صفر ساختمان‌ها از یکدیگر در بسیاری از نقاط تهران باعث شده گودبرداری امری دلهره‌آور و نگران کننده برای مالکان ساختمان‌ها و همسایگان شود. در سال‌های اخیر با افزایش تراکم و تعداد طبقات و نیاز به تأمین پارکینگ و سایر سطوح خدماتی در ساختمان‌ها، عمق گودبرداری نیز بیشتر شده است. اما در بیشتر موارد از همان روش‌های سنتی که در گودهای کم عمق گذشته استفاده می‌شود. متأسفانه بسیاری هنوز فکر می‌کنند که به کارگیری تمهیدات ایمنی لازم در گودبرداری هزینه و زمان بیهوده‌ای را به کار تحمیل می‌کند، در حالیکه گودبرداری اصولاً جزو کارهای پیچیده و بسیار خطرناک مهندسی محسوب می‌شود و به ویژه در گودهای با عمق زیادتر نیازمند بررسی‌های همه جانبی، دقت و نظارت و در نهایت صرف وقت و هزینه قابل ملاحظه‌ای است تا جان و مال مردم از این طریق به خطر نیافتد. با این حال عدم آشنایی به اصول فنی، سهل‌انگاری و یا سودجویی غیرمسئلانه منجر به ایجاد حادثه می‌شود. در ادامه نشانه‌های یک گودبرداری سالم و یا خطرناک را می‌خوانید.

۱-۷-۱ خطرهای ناشی از گودبرداری

موارد ایمنی مربوط به گودبرداری را می‌توان در سه دسته عمده زیر قرار داد:

۱. ایمنی کارکنان داخل و اطراف گود و عابران و وسائل نقلیه در مقابل حوادث احتمالی به ویژه خطر ریزش گود.
۲. خطر آسیب‌دیدگی و تخریب ساختمان‌های مجاور گود در اثر گودبرداری یا ریزش گود.
۳. خطر آسیب‌دیدگی تاسیسات و شبیان‌های شهری در اثر گودبرداری یا ریزش گود.

۲-۷-۱ نشانه‌های خطرناک بودن گود

موارد زیر علامت خطرناک بودن گود بوده و بررسی‌ها و احتیاط‌های همه جانبی بیشتری را ضروری می‌کنند:

(الف) ضعیف و یا حساس بودن ساختمان مجاور: مواردی نظیر عدم وجود اسکلت، ضعیف بودن ملات دیوارها و علائم ضعف اجرایی ساختمان، وجود ترک و شکستگی یا نشست و شکمدادگی دیوارها، از این جمله‌اند. وجود دیوار مشترک بین ساختمان مورد نظر برای تخریب و ساختمان مجاور آن نیز غالباً می‌تواند منبع ایجاد مشکل باشد. در پاره‌ای موارد ساختمان مجاور دارای ارزش تاریخی و فرهنگی بوده و هر گونه نشست می‌تواند باعث خسارات جبران‌ناپذیر به آن شود. در بعضی موارد دیوار مجاور به ساختمان مورد نظر برای تخریب تکیه داده است و با انجام تخریب ممکن است بدون هرگونه خاکبرداری ساختمان مجاور ریزش کند.

به خاطر داشته باشید که ضعیف بودن ساختمان مجاور تنها در درسرها و بررسی‌ها و احتیاط‌های لازم از طرف صاحب‌کار و افرادی که در مراحل مختلف طرح و اجرای ساختمان کار می‌کنند را بیشتر می‌کند و هیچ عذری برای خراب شدن آن به دست نمی‌دهد. به عبارت دیگر در دادگاه‌هایی که برای رسیدگی به تخریب ساختمان‌های مجاور در اثر فعالیت‌های ساختمانی انجام می‌شود، مسئول اجرای ساختمان نمی‌تواند به بهانه اینکه ساختمان مجاور، خود ضعیف بوده از زیر مسئولیت‌های ریزش و خرابی ایجاد شده شانه خالی کند و جواب قاضی در این گونه موارد این است که شما باید به تناسب ضعف ساختمان مجاور اقدامات حفاظتی و احتیاطی بیشتری به کار می‌بستید.

(ب) ضعیف بودن خاک: معمولاً هر چه خاک محل ضعیفتر باشد خطر بیشتری برای ریزش گود و تخریب ساختمان‌های مجاور وجود دارد. خاک‌های دستی بارزترین نمونه خاک‌های ضعیف هستند. توضیح آنکه در گذشته بسیاری از نقاطی که اکنون در داخل شهر تهران هستند، خارج از شهر محسوب می‌شدند و کامیون‌های حامل خاک و نخاله بار خود را در آنجا تخلیه می‌کردند. بعدها با ضمیمه شدن این محل‌ها به داخل شهر، اغلب این خاک‌ها و نخاله‌ها در همان جا بدون تراکم مهندسی تسطیح شده‌اند و اکنون خاک دستی را تشکیل می‌دهند.

همچنین در بسیاری از موارد محل به صورت تپه و ماهور و یا بستر مسیل بوده و با خاک یا نخاله به صورت غیرمهندسی تسطیح شده است. همچنین در بعضی بخش‌های جنوبی تهران به ویژه مناطق ۱۶ و ۱۲ در گذشته گودهایی عرضأ عمیق به منظور تهییه مواد اولیه ساخت آجر وجود داشته که بسیاری از آنها اکنون با خاک دستی پر شده‌اند. رسوبات سست جوان که غالباً در اطراف مسیل‌ها و پایی دامنه‌ها وجود دارند نیز از جمله خاک‌های ضعیف محسوب می‌شوند.

امکان زیادی وجود دارد که سازنده ساختمانی که در مجاورت زمین محل احداث پروژه قرار دارد، در زمان ساخت، خاک ضعیف را جا به جا نکرده و پی ساختمان را برروی همان خاک سست قرار داده باشد. در این صورت ساختمان مجاور تا هنگامی که گودی در کنار آن ایجاد نشده استوار است اما به محض اینکه با گودبرداری و لوکومعم اطراف آن خالی شد، خاک ضعیف موجود در زیر پی آن ریزش کرده و باعث خرابی ساختمان مجاور خواهد شد.

(ج) عمیق بودن گود: معمولاً هرچه عمق گود بیشتر شود خطر بیشتری کارکنان و ساختمان‌های مجاور را تهدید می‌کند. در سال‌های اخیر با افزایش تراکم ساختمانی، نیاز به پارکینگ و انباری و سطوح مشاع دیگر افزایش یافته و باعث افزایش تعداد طبقات زیرزمین شده است. باید توجه شود که با افزایش عمق گود، خطر ریزش آن به مراتب افزایش می‌یابد و اگر در گذشته می‌شد که در گودهای کم عمق بدون بررسی‌های همه‌جانبه و طرح‌های مهندسی دقیق، تنها با عقد قراردادی با مباشر ماشین‌آلات خاکبرداری و با حضور چند کارگر و بنا اقدام به گودبرداری نمود، اکنون با افزایش عمق گودها و افزایش ارزش ساختمان‌ها و تأسیسات مجاور، گودبرداری غیرفنی بسیار خطرناک بوده و خسارات جانی و مالی جبران‌ناپذیری را در پی دارد.

(د) مدت بازماندن گود: معمولاً با افزایش زمان بازماندن گود حتی اگر بارندگی یا تغییرات جوی مطرح نباشد خطر ریزش گود بیشتر می‌شود، اما افزایش زمان بازماندن گود به ویژه در فصل‌های بارندگی و رطوبت (زمستان و بهار)، با وقوع بارش‌هایی گاه سنگین و سیل‌آسا همراه است که با اشباع خاک و با جاری شدن آبهای سطحی خطر ریزش گود را به مراتب افزایش می‌دهد. به طوری که بسیاری از ریزش‌های گود در گذشته به فاصله چند ساعت تا چند روز بعد از شروع بارندگی روی داده است.

(و) آب‌های سطحی و زیرسطحی: بالا بودن سطح عمومی آب‌های زیرزمینی در منطقه معمولاً عملیات آبکشی جهت پایین انداختن سطح آب زیرزمینی را ضروری می‌سازد. معمولاً وجود سطح آب زیرزمینی بالا خطر ریزش گود را افزایش می‌دهد به ویژه بعد از چند روز از انجام عملیات گودبرداری و رسیدن سطح آب زیرزمینی به تعادل. همچنین وجود جریان‌های آب زیرزمینی از طرقی نظیر نهرهای مدفعون یا قنات‌ها می‌تواند در افزایش خطر ریزش گود بسیار مؤثر باشد. جریان‌های آب‌های سطحی نیز از عواملی هستند که می‌توانند باعث فرسایش خاک گود و اشباع شدن آن شده و به افزایش خطر ریزش گود کمک کنند. دور نگهداشتمن جریان آب‌های سطحی موجود یا محتمل (مثلًا در اثر بارندگی) از مهم‌ترین و اصلی‌ترین قدم‌های اولیه حفاظت گود است.

۳-۷-۱ اقدامات قابل انجام برای کاهش خطر گودبرداری ها:

۱. اگر سرمایه گذار و یا صاحب کار ساختمن در حال ساخت هستید:

حتماً بررسی های مکانیک خاک را از طریق شرکت های معتبر و به صورت کامل و دقیق انجام دهید. از مهندس محاسب خود بخواهید که طرح گودبرداری و حفاظت گود را با استفاده از اطلاعات گزارش مکانیک خاک و با دقت زیاد انجام دهد. همچنین از وی بخواهید که ساختمن ها و تأسیسات مجاور گود مورد نظر را دقیقاً بررسی کند و در صورت نیاز اقدامات حفاظتی برای آنها را پیشنهاد کند.

از مهندس ناظر و مجری خود بخواهید که حتماً گزارش مکانیک خاک و نیز نقشه های اجرایی طراحی گود را کنترل کرده و در صورت وجود نقص، اشکال یا ابهام در آنها از تهیه کنندگان آنها بخواهید که موارد را برطرف کنند.

نقشه ها و طراحی های گود باید براساس گزارش بررسی های مکانیک خاک و توصیه های مشاور ژئوتکنیک تهیه شده باشند و مراحل کار، روش انجام گودبرداری (دستی، ماشینی) و مشخصات سازه های نگهبان و دیگر اقدامات حفاظتی شیب را به خوبی نشان دهند. بهتر است که قبل از اجرای کار جلسه مشترکی با حضور مهندسین ناظر و مجری و محاسب و نماینده شرکت تهیه کننده گزارش مکانیک خاک برگزار کنید و مراحل و اشکالات و خطرات را مرور کنید. بهتر است در این جلسه پیمانکار یا مسئول فنی خاک برداری و مسئول اجرای سازه نگهبان نیز حضور داشته باشد.

۲. اگر در مجاورت ساختمن شما قرار است تخریب و گودبرداری انجام شود:

قبل از صدور پروانه و شروع گودبرداری باید بررسی های مکانیک خاک مناسبی انجام شده باشد. ساختمن شما باید مورد بررسی قرار گرفته و مهندس محاسب و یا ناظر با توجه به نوع بنا و عمق قرارگیری پی ساختمن شما نسبت به کف پی مورد نظر راجع به نیاز و نحوه حفاظت و مقاوم سازی آن اظهار نظر کرده و در صورت نیاز طرح های لازم را ارائه کرده باشد. در نقشه های اجرایی، نحوه گودبرداری و حفاظت از گود و یا سازه نگهبان باید به خوبی نشان داده شده باشد و این اقدامات برای محافظت از گود و ساختمن های مجاور کافی باشند.

دوره باز بودن گود باید زمانبندی مشخصی داشته باشد (زمان شروع گودبرداری، زمان برپایی سازه نگهبان، زمان خاتمه گودبرداری). مهندس ناظر و در صورت لزوم نماینده شرکت مکانیک خاک باید بر عملیات گودبرداری نظارت کافی اعمال کنند.

گودبرداری و اجرای سازه نگهبان باید مطابق نقشه های اجرایی و مشخصات اجرایی (دستی، ماشینی) و اصول فنی پیش انجام شود. در صورت مشاهده هر گونه اقدام خطرناک مراتب را به مسئولین گزارش نمایید. در جریان انجام کار گودبرداری سعی کنید همه چیز را به خوبی زیر نظر داشته باشید و به ویژه با در نظر داشتن وضعیت ساختمن خود ایجاد هرگونه ترک، صدای غیرعادی ساختمن، نشت و غیره را بررسی نمایید و در صورت بروز اینگونه موارد فوراً اقدامات لازم را انجام بدهید. این اقدامات حسب شرایط می تواند به صورت تخلیه فوری ساختمن، انعکاس موضوع به مسئولین پروژه و شهرداری جهت انجام اقدامات اصلاحی باشد. در صورتی که عملیات گودبرداری تأسیسات و لوله های شهری گاز، آب، برق و... را به خطر انداخته مراتب را به مراجع مربوطه اطلاع دهید.

مراقب باشید که گودبرداری بیش از حد مجاز به ساختمان شما نزدیک نشود. گاه بعضی با بیدقتری و یا به خاطر سهولت کار خود، زیر ملک شما را نیز خالی می‌کنند.

در صورتی که نقصی در انجام کارها مشاهده کردید، ابتدا از طریق مراجعه به مسئولین فنی ساختمان نظریه مهندس ناظر، مجری یا مالک موضوع را به آرامی و محترمانه در میان بگذارید. در صورت نیاز می‌توانید به ناحیه و منطقه شهرداری و یا دیگر مراجع ذیصلاح مراجعه نمایید.

به یاد داشته باشید که یکی از بهترین راههای کاهش خطرات گودبرداری، اتمام زودتر عملیات داخل گود و این و پرکردن مجدد آن است. بنابراین مراقب باشید دخالت‌های شما موجب توقف و یا طولانی شدن زیاد و بیهووده کار نشود.

۳. در صورتی که داخل گود کار می‌کنید:

به خاطر داشته باشید که ریزش دیوارهای گود می‌تواند ظرف چند ثانیه شما را به دام انداخته و در عرض چند دقیقه هلاک کند. وزن هر متر مکعب خاک $1/6$ تا 2 تن است. اگر در زیر خاک ریزش کرده مدفون شوید در عرض کمتر از 3 دقیقه خفه می‌شوید و حتی اگر زنده بیرون آید، احتمالاً بار خاک خدمات داخلی شدیدی به بدن شما وارد آورده است. ریزش گود تنها خطر گودبرداری نیست و کمبود اکسیژن، هوای سمی، گازهای قابل انفجار و خطوط برق مدفون نیز ممکن است جزء خطرات باشند.

در داخل گود به ویژه در محلهایی که خطر سقوط اشیاء وجود دارد:
▪ حتماً از کلاه ایمنی استفاده کنید.

- در صورتی که در معرض برخورد با ترافیک عبوری هستید از پوشش‌های براق و شبرنگ استفاده کنید.
- مواضع خطر سقوط قطعات سست خاک یا سنگ باشید.
- در زیر بارهای آویزان نایستید و یا کار نکنید.
- از ماشین‌آلات خاکبرداری فاصله بگیرید.
- در صورتی که کارگرانی در پایین‌دست گود حضور دارند، بر روی دیوارها و یا سطوح مشرف به گود کار نکنید.
- وارد گودی که نشانه تجمع آب دارد نشوید؛ مگر آنکه به خوبی محافظت شده باشد.
- در صورتی که داخل گود مشغول کندن دیواره یا پای آن هستید، حتماً باید فردی مطلع در بیرون از محوطه خطر، مراقب وضعیت پایداری گود و کار شما باشد.
- حتی‌المقدور از بریدن داخل پای دیوار یا شب و ایجاد شب منفی (نیم طاقی) جهت اجرای پی‌ها جداً خودداری کنید.
- در صورتی که مجبور به این کار هستید اولاً سعی کنید این طول حداقل بوده و ثانیاً در حین کار باید فردی مطلع (ترجیحاً مهندس ناظر) مراقب وضعیت پایداری دیواره و کار شما باشد. حتماً از کلاه و دیگر وسایل ایمنی استفاده کنید و سعی کنید کار را در زیر یک میز محافظ فلزی مقاوم انجام دهید.

۴. در صورتی که از طرف شهرداری یا دیگر نهادها، مسئول کنترل طرح و اجرای ساختمان هستید:

- برای گودبرداری های عمدہ (گودبرداری های با عمق بیشتر از عمق دیوارها یا پی های ساختمان مجاور و به فاصله نزدیکتر از عمق گودبرداری از مرز زمین) بهتر است که سازنده ساختمان حداقل ۳۰ روز قبل از شروع گودبرداری موضوع را به طور کتبی به مالکین اطلاع داده و رونوشت آن را به شهرداری ارائه نماید.
- قبل از صدور پروانه ارائه نقشه های سازه نگهبان و کنترل آن ها توسط شهرداری ضروری است. کنترل سازه نگهبان طرف معابر عمومی بهتر است توسط معاونت فنی و عمرانی انجام شود.
- در گودهای با عمق بیش از ۳ متر قبل از صدور پروانه، ارائه گزارش بررسی های مکانیک خاک انجام شده از طریق شرکت های معتبر توسط مالک و کنترل آن ها توسط شهرداری منطقه ضروری است.
- سازنده ساختمان را موظف کنید که در نزدیکی محل کارگاه تابلویی با فرم یکسان برای اعلام مشخصات عمومی گودبرداری نصب کند که شامل اطلاعات زیر باشد:
- تاریخ شروع گودبرداری(هفته)، تاریخ تکمیل گودبرداری(هفته)، تاریخ حفاظت گود(هفته)، تاریخ خاتمه دوره باز بودن گود (هفته)، عمق گودبرداری، روش حفاظت گود، نام مهندس ناظر پروژه، نام مهندس طراح پروژه، نام مشاور ژئوتکنیک پروژه، نام مهندس طراح گود، نام پیمانکار اجرای گود، نام مهندس ناظر گودبرداری.
- در صورتی که برای حفاظت گود یا ساختمان مجاور نیاز به انجام کارهای ساختمانی عمدہ در زمین یا ساختمان مجاور باشد، نیاز به اخذ رضایت از مالک آن و یا صدور پروانه جدایگانه ای خواهد بود.

۱-۷-۴ بازرگانی ها:

گود و محلهای اطراف آن و نیز سیستم های حفاظتی باید هر روزه توسط فردی مجرب از نظر وجود هرگونه شواهد خطرناک نظری گسیختگی گود، گسیختگی سیستم های حفاظتی و یا سازه نگهبان گود یا جریان آب، بازرگانی شوند. بازرگانی باید قبل از شروع شیفت کار و در صورت نیاز در تمام ساعت کار انجام شود. همچنین بعد از هر بارندگی یا شرایط خطرناک دیگر نیز الزامی است. این بازرگانی ها فقط هنگامی مورد نیازند که خطری افراد شاغل در گود و ساختمان های مجاور را تهدید کند.

۱-۷-۵ بورسی های مکانیک خاک چیست؟

بورسی های مکانیک خاک انجام برسی های محلی در مورد زمین شناسی عمومی، مشخصات خاک محل و سطح آب های زیرزمینی می باشد و به ویژه باید وجود و عمق خاک های مسئله داری نظری خاک های دستی را مشخص نمایند. توصیه های فنی در مورد نوع پی، مقاومت مجاز خاک زیر پی و نشست های مورد انتظار و پارامترهای طراحی دیوارهای حائل دیگر بخش های ضروری گزارش مکانیک خاک را تشکیل می دهند. همچنین با توجه به عمق گودبرداری مورد نیاز و مشخصات ساختمان ها و دیگر تأسیسات مجاور نظری، خطوط گاز، فاضلاب ... باید خطر گودبرداری ارزیابی شده و روش گودبرداری، شبی ایمنی گودبرداری، مراحل گودبرداری، نیاز به سازه نگهبان، نوع سازه نگهبان و روش طراحی و اجرای آن به تفصیل بیان شود. برای این کار لازم است که مشخصات ساختمان ها و تأسیسات مجاور به تفصیل برداشت شده و در گزارش ارائه گردد.

البته گاه می توان مشخصات ساختمان ها و تأسیسات مجاور را در این مرحله به صورت تخمینی تعیین کرد و تعیین دقیق آنها را به مرحله طراحی گودبرداری واگذار نمود که در این صورت مشاور باید این موضوع را به روشنی در گزارش بیان

نماید. همچنین خطرات احتمالی نظیر چاهها، قنات و حفره‌های زیرزمینی دیگر باید شناسایی شده و عمق، موقعیت و تأثیر آنها بر ساختمان و نحوه مقاومسازی آنها جهت رفع خطر به تفصیل بیان گردد. از موارد دیگری که در گزارش بیان می‌شود تعیین نوع زمین جهت برآورد تأثیر آن بر نیروهای زلزله طراحی ساختمان است که تأثیر زیادی در اینمی لرزه‌ای و هزینه‌های ساختمان دارد.

مشاور باید با توجه به شیب زمین و مشخصات زمین‌شناسی محل اسکان بروز ناپایداری‌هایی نظیر رانش زمین، ریزش سنگ، جریان گل و نظایر آنها را به طور اجمالی بررسی نموده و در صورتی که خطرات فوق در محل مطرح باشند، به تفصیل این موارد را بررسی نموده و توصیه‌های اجرایی در مورد رفع خطرات آنها بر ساختمان ارائه نماید. همچنین مشاور باید با توجه به بررسی کلی و اجمالی عکس‌های هوایی و نقشه‌های پایه امکان وجود خطراتی نظیر گسل فعال و روانگرایی حین زلزله را بررسی نموده و در صورت نیاز بررسی‌های تفصیلی‌تری را در مورد آنها انجام دهد.

در حال حاضر شهرداری فقط برای ساختمان‌های ۶ طبقه و بیشتر (در تهران) انجام بررسی‌های مکانیک خاک را الزامی کرده ولی بهتر است که شما اگر ساختن ساختمانی با تعداد طبقات کمتری (۳ طبقه به بالا) را هم در نظر دارید، به ویژه اگر عمق گودبرداری بیش از ۱/۵ متر باشد، حتماً بررسی‌های مکانیک خاک را انجام دهید زیرا این بررسی‌ها اگر به درستی انجام شوند، اینمی ساختمان و عملیات ساختمانی را تضمین کرده و حتی می‌توانند از طریق تعیین دقیق مقاومت خاک و نوع زمین تأثیر زیادی در بهینه کردن و جلوگیری از افزایش هزینه‌ها در موارد غیرضروری داشته باشند.

- سعی کنید شرکت انجام دهنده بررسی‌ها را از میان شرکت‌های معتبر انتخاب کنید و مراقب باشید که بررسی‌ها به طور کامل و دقیق انجام شده و صوری برگزار نشود.
- معمولاً برای انجام بررسی‌های مکانیک خاک، شرکت انجام دهنده بررسی‌ها بعد از بررسی عکس‌های هوایی و نقشه‌های پایه محل و بازدید و بررسی محلی، گمانه یا گمانه‌هایی را حفر و از خاک نمونه‌برداری می‌کند و نمونه‌ها را برای انجام آزمایش به آزمایشگاه می‌فرستد. همچنین همراه با حفاری، آزمایش‌هایی نیز در محل انجام می‌شود.
- حتماً باید فرد متخصصی از شرکت در هنگام حفاری‌ها و انجام آزمایش‌های محلی حاضر باشد و شرایط حفاری، آزمایش‌های محلی و نمونه برداری را کنترل کند. بعد از انجام آزمایش‌های آزمایشگاهی شرکت باید گزارش بررسی‌ها را تهیه و ارائه کند.
- دقت کنید که گزارش به طور کامل تهیه شده باشد و در صورت لزوم گزارش را جهت کنترل به فردی متخصص ارائه دهید و رفع نواقص آن را از شرکت بخواهید. به ویژه باید توصیه‌های کاملی در مورد انجام گودبرداری و حفاظت گود از ارائه شده باشد. به خاطر داشته باشید که هرگونه نقص در این قسمت می‌تواند مخارج زیادی را در جریان گودبرداری به شما تحمیل کرده و یا باعث ریزش گود و ایجاد خسارت شود. مهندس محاسب ساختمان باید این گزارش را در طراحی پی و نحوه گودبرداری مورد استفاده قرار دهد. بنابراین از وی بخواهید که در حد موارد استفاده خود از گزارش، کیفیت و محتویات آن را کنترل کند و در صورتیکه اشکال یا ابهامی به نظر وی رسید جهت برطرف کردن به شرکت مکانیک خاک اعلام کند. بنابراین بهتر است تصفیه حساب با شرکت مکانیک خاک را به کنترل کیفیت آن توسط مهندس محاسب، مأمورین کنترل شهرداری و یا متخصصین دیگر موکول کنید.
- باید توجه شود گاه قسمت‌های ضعیفی در خاک وجود دارند که با حفر گمانه‌ها به خوبی وجود آنها مشخص نمی‌شود. تغییرات ضخامت خاک دستی و یا نهرها و مسیلهای پر شده از این دسته هستند. در این گونه موارد بررسی عکس‌های

هوایی قدیمی که پستی و بلندی‌ها یا مسیل‌های قدیمی را نشان می‌دهند می‌تواند در شناسایی قسمت‌های ضعیف مؤثر باشد. همچنین نظارت یا کنترل یک زمین‌شناس یا متخصص خاک بعد از عملیات گودبرداری و ترجیحاً در زمان گودبرداری برای تشخیص این نقاط ضعف مؤثر خواهد بود.



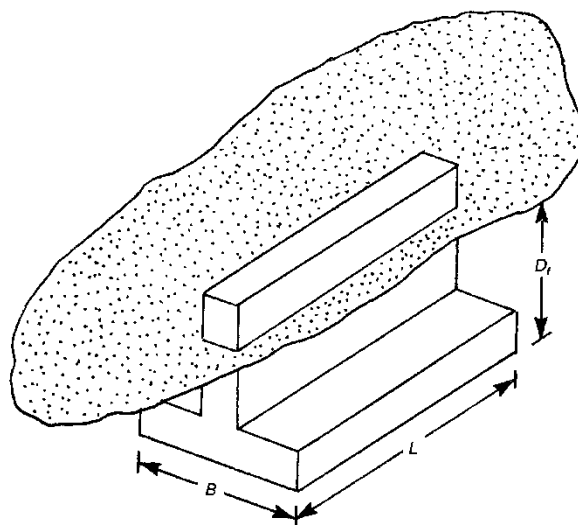
منابع

۱. پی‌های گسترده، تحلیل، طراحی و عملکرد، تالیف: دکتر ابوالفضل اسلامی، دکتر ملک محمد رنجبر، مهندس طه ریاضی، مهندس مهدی ویس کرمی، انتشارات دانشگاه گیلان، ۱۳۸۵.
۲. اصول مهندسی ژئوتکنیک، جلد دوم: مهندسی پی. مولف: براجا ام. داس، ترجمه شاپور طاحونی، چاپ هفتم بهار ۱۳۸۲
۳. مهندسی بی نگارش دکتر محمد علی روشن ضمیر
۴. مبحث ۷ مقررات ملی ساختمان
۵. اجزای ساختمان سیاوش کباری
۶. فونداسیون‌های سطحی، ظرفیت باربری و نشتی، تالیف: براجا ام. داس، ترجمه: عبدالمتین ستایش، رحمان محسنی آستانی، مقداد رمضانزاده بادلی.
۷. طراحی ساختمان‌های بتنی مسلح، تالیف: شاپور طاحونی، انتشارات دانشگاه تهران، چاپ چهارم، ۱۳۷۹
۸. روزنامه همشهری - ۱۶/۰۵/۱۳۸۷ به نقل از www.omran.net
۹. پروژه کلاسی خانم مریم رحیمی، دانشجوی کارشناسی عمران موسسه شمس گنبد. نیمسال دوم ۸۸-۸۹
۱۰. سایت‌های تخصصی عمران:

 - <http://www.pishtaz-group.com/rahsazi/shamkub.htm>
 - <https://www.iran-far.com/showthread.php?t=18612&page=3>
 - <http://civil10.blogfa.com>

فصل ۲:

ظرفیت باربری فونداسیون های سطحی بدون خروج از مرکزیت



جزوه درس مهندسی پی (کارشناسی عمران)

استاد: عبدالمتین ستایش



برای ارسال نظرات و پیشنهادات به سایت شخصی اینجانب رجوع نموده و یا نظرات و یا پیشنهادات خود را به
آدرس پست الکترونیک زیر ارسال نمایید:

Website: www.ams.ir Email: a_matin_s@yahoo.com

ویرایش آبان ۹۰ (ویرایش سوم)

فهرست مطالب فصل دوم:

مقدمه	۱-۲
انواع گسیختگی های خاک در بار نهایی	۲-۲
نشست در بار نهایی	۳-۲
ظرفیت باربری نهایی و مجاز	۴-۲
نظریه ظرفیت باربری ترزاقی	۵-۲
نظریه ظرفیت باربری ترزاقی برای گسیختگی برشی موضوعی	۶-۲
نظریه ظرفیت باربری مایرهوف	۷-۲
کلیاتی در رابطه با معادلات ضرایب ظرفیت باربری فونداسیون های سطحی	۸-۲
دیگر نظریه های ظرفیت باربری	۹-۲
تأثیر اثرات مقیاسی در ظرفیت باربری	۱۰-۲
تأثیر سفره آب زیرزمینی بر ظرفیت باربری نهایی فونداسیون های سطحی	۱۱-۲
معادله عمومی ظرفیت باربری	۱۲-۲
ظرفیت باربری مجاز نسبت به گسیختگی	۱۳-۲
منابع و مراجع	۱۴-۲

۱-۲ | مقدمه |

در طی پنجاه سال گذشته تئوری های ظرفیت باربری متعددی برای تخمین ظرفیت باربری نهایی فونداسیون های سطحی پیشنهاد شده است. در این فصل بعضی از نتایج مهم توسعه یافته تا به امروز به طور مختصر مورد بحث قرار می گیرند. همچنین فرض می شود که خاک زیر فونداسیون تا عمق بسیار زیادی امتداد یافته و فونداسیون در معرض بار قائمی قرار دارد که بر مرکز سطح آن وارد شده و هیچ گونه خروج از مرکزیتی ایجاد نمی نماید. ترازاقی^۱ فونداسیون های سطحی را فونداسیونی تعریف نمود که عمق استقرار آن یا همان D_f کوچکتر یا مساوی عرض آن B باشد ($D_f/B \leq 1$). البته تحقیقات بعدی نشان دادند که نسبت D_f/B در فونداسیون های سطحی می تواند به بزرگی^۲ ۳ تا^۳ ۴ باشد.

۲-۲ | انواع گسیختگی های خاک در بار نهایی |

بسته به عوامل متعددی که مهمترین آنها تراکم یا سفتی و عمق استقرار فونداسیون هستند، سه نوع گسیختگی برشی در خاک فونداسیون می تواند رخدید که عبارتند از:

۱. گسیختگی برشی کلی^۴
۲. گسیختگی برشی موضعی^۵
۳. گسیختگی برشی سوراخ کننده^۶

آشنایی با طبیعت گسیختگی برشی خاک فونداسیون برای ما دارای اهمیت زیادی است زیرا بسته به وضعیت و نوع گسیختگی برشی خاک، روابط مورد استفاده برای تخمین ظرفیت باربری خاک متفاوت خواهد بود. در این بخش هر یک از این نوع گسیختگی ها را مورد بررسی قرار می دهیم.

۲-۲-الف: گسیختگی برشی کلی

شکل ۲-۱-الف فونداسیونی سطحی با عرض B را نشان می دهد که در عمق D_f نسبت به سطح زمین بر روی ماسه مترکم (یا خاک رسی سخت) قرار گرفته است. اگر این فونداسیون در معرض بار Q که به تدریج افزایش می یابد قرار گیرد، بار واحد سطح $q = Q/A$ (که A برابر مساحت فونداسیون می باشد) افزایش یافته و فونداسیون متحمل نشست های بیشتری خواهد شد. اگر در نشستی برابر با $S = S_{\text{f}}$ مقدار بار q برابر با q_{f} گردد خاک زیر فونداسیون دچار گسیختگی برشی نهایی خواهد شد. سطح گسیختگی خاک در شکل ۲-۱-الف و دیاگرام q در برابر S در شکل ۲-۱-ب نشان داده شده است. این نوع گسیختگی، گسیختگی برشی کلی و^۷ q ظرفیت باربری نهایی^۸ نامیده می شود. توجه شود که در این نوع گسیختگی، مقدار حداکثر (پیک) $q_{\text{f}} = q_{\text{p}}$ را به طور واضح در دیاگرام بار - نشست می توان مشاهده نمود.

¹ Karl Von Terzaghi (1883-1963)

² General shear failure

³ Local shear failure

⁴ Punching shear failure

⁵ Ultimate bearing capacity

بعضی از مشخصه های گسیختگی برشی عمومی فونداسیون عبارتند از:

- یک سطح گسیختگی ممتد و مشخص بین لبه فونداسیون و سطح زمین تشکیل می شود.
- خاک های متراکم و سفت (صفت متراکم معمولاً برای خاک های دانه ای و سفت برای خاک های ریزدانه به کار گرفته می شود) که تراکم پذیری کمی دارند متحمل این گونه گسیختگی می شوند.
- برآمدگی (تورم) ناشی از توده خاک برش خورده در مجاورت فونداسیون قابل مشاهده است.
- گسیختگی با کچ شدن فونداسیون همراه است.
- گسیختگی ناگهانی و فاجعه بار است.
- ابتدا در لبه فونداسیون حالت تعادل پلاستیک به وقوع پیوسته و به تدریج به سمت پایین و بیرون گسترش می یابد.
- در خاک های با زاویه اصطکاک داخلی بالا ($\varphi > 36^\circ$) و عدد نفوذ استاندارد بزرگ ($N > 30$) و تراکم نسبی بزرگ ($D_r > 70\%$) گسیختگی برشی کلی در کرنش های کوچک ($5\% < \delta < 10\%$) رخ می دهد.
- مقدار حداکثر (پیک) در روی منحنی فشار-نشست ($s-q$) به راحتی قابل مشاهده است.

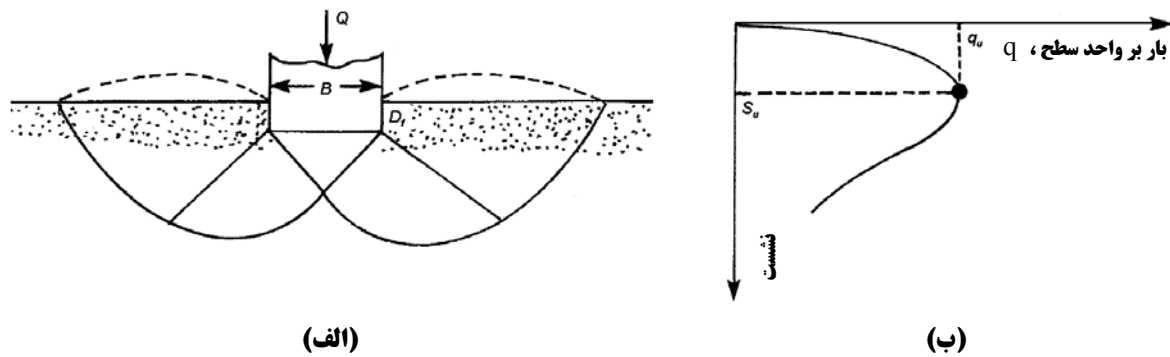
۲-۲-ب: گسیختگی برشی موضعی

اگر فونداسیون نشان داده شده در شکل ۱-۲-الف بر روی لایه ای ماسه ای با تراکم متوسط یا خاک رسی با قوام متوسط قرار گرفته باشد (شکل ۲-۲-الف) دیاگرام q در برابر S مشابه شکل ۲-۲-ب خواهد بود. توجه شود که مقدار q به همراه نشست تا مقدار $q_u = q_f$ افزایش می یابد که این بار، بار گسیختگی اولیه^۱ نامیده می شود. در این زمان سطح گسیختگی توسعه یافته، مشابه سطح نشان داده شده توسط خطوط ممتد در شکل ۲-۲-الف خواهد بود. اگر بار فونداسیون باز هم افزایش یابد، شبیب دیاگرام بار - نشست تند تر و نامنظم تر شده و به تدریج سطح گسیختگی خاک به سمت بیرون و بالا (که در شکل ۲-۲-ب با خط چین نشان داده شده است) پیشرفت می نماید. هنگامی که q برابر با q_u می شود (ظرفیت برابری نهایی) سطح گسیختگی به سطح زمین می رسد. پس از این بار، دیاگرام q در برابر S تقریباً شکل خطی به خود می گیرد و بار حداکثر هرگز مشاهده نمی شود. این نوع گسیختگی ظرفیت برابری، گسیختگی برشی موضعی نامیده می شود.

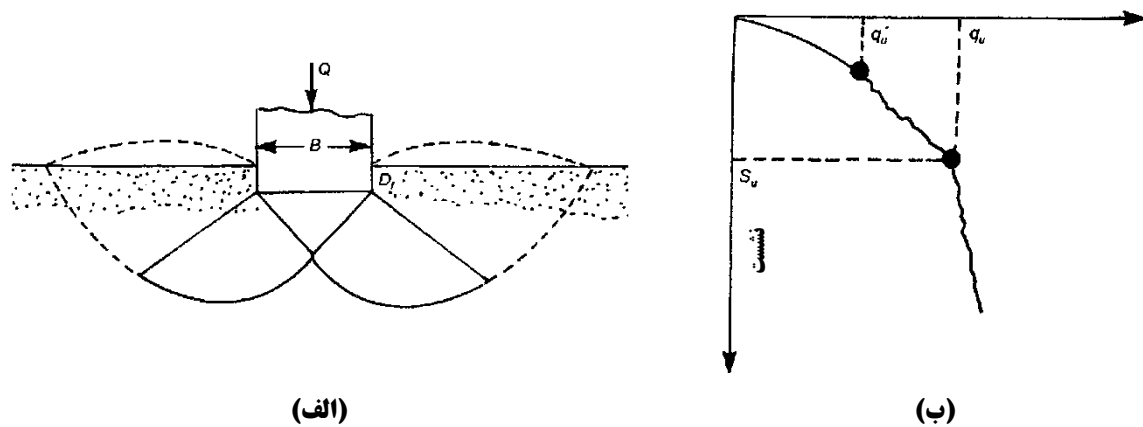
بعضی از مشخصه های گسیختگی برشی موضعی عبارتند از:

- فشردگی قابل ملاحظه در زیر فونداسیون و توسعه جزئی تعادل پلاستیک قابل مشاهده است.
- گسیختگی ناگهانی نبوده و فونداسیون کچ نمی شود.
- سطح گسیختگی به سطح زمین نمی رسد و تورم اندکی در خاک اطراف فونداسیون مشاهده می شود.
- سطح گسیختگی به خوبی قابل تشخیص نیست.
- گسیختگی با نشست زیاد همراه است.
- در روی منحنی فشار-نشست ($s-q$) مقدار حداکثر وجود ندارد.
- در خاک های با زاویه اصطکاک داخلی متوسط ($\varphi < 28^\circ$) و عدد نفوذ استاندارد کم ($N < 25$) و تراکم نسبی پایین ($D_r > 20\%$) گسیختگی برشی کلی در کرنش های نسبتاً بزرگ ($20\% < \delta < 10\%$) رخ می دهد.

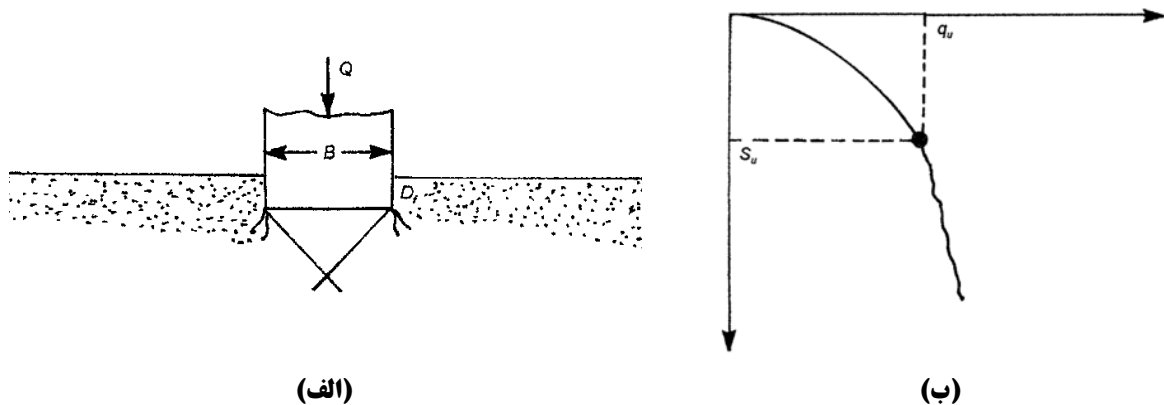
¹ First failure load



شکل ۱-۲ گسیختگی برشی کلی در خاک



شکل ۲-۲ گسیختگی برشی موضعی در خاک



شکل ۲-۳ گسیختگی برشی سوراخ کننده در خاک

۴-۲-پ: گسیختگی برشی سوراخ کننده

شکل ۲-۳-۲-الف همان فونداسیون را بر روی ماسه شل یا خاک رسی نرم نشان می دهد. در این حالت، دیاگرام بار-نشست مشابه شکل ۲-۳-۲-ب خواهد بود و مقدار حداقل بار برابر واحد سطح، q_u هرگز مشاهده نمی شود. ظرفیت باربری نهایی $q_{u''}$ به عنوان نقطه ای تعریف می شود که در آن نسبت $\Delta S/\Delta q$ بیشترین مقدار را اختیار نموده و پس از آن ثابت می ماند. این نوع گسیختگی خاک، گسیختگی برشی سوراخ کننده نامیده می شود. در این حالت سطح گسیختگی هرگز تا سطح زمین امتداد نمی یابد.

بعضی از مشخصه های گسیختگی برشی سوراخ کننده عبارتند از:

- این نوع گسیختگی در خاک های با تراکم پذیری بالا رخ می دهد.
- تورم خاک در اطراف فونداسیون وجود ندارد.
- گسیختگی با نشست بسیار زیاد همراه است.
- در منحنی $S - q$ ، نشست پیوسته بدون افزایش در میزان فشار q رخ می دهد.

تفاوت های پایه بین گسیختگی برشی عمومی و گسیختگی برشی سوراخ کننده اند.

جدول ۱-۲ تفاوت بین گسیختگی برشی عمومی و سوراخ کننده

گسیختگی برشی عمومی	گسیختگی برشی سوراخ کننده
در خاک های شل و نرم رخ می دهد	در خاک های متراکم و سفت رخ می دهد
$\phi > 28^\circ, N < 5, D_f < 20\%, C_u < 50 \text{ kPa}$	$\phi > 36^\circ, N > 30, D_f > 70\%, C_u > 100 \text{ kPa}$
در کرنش های بزرگ ایجاد می شود ($> 20\%$)	در کرنش های کوچک ایجاد می شود ($< 5\%$)
در منحنی $S - q$ مقدار حداکثر وجود ندارد	مقدار حداکثر در منحنی $S - q$ وجود دارد
در همسایگی فونداسیون خاک متروم شده و بالا آمدگی مشاهده نمی شود.	در همسایگی فونداسیون خاک متروم می شود.
محدوده گسترش دستخورده گی در سطح زمین وسیع است.	محدوده گسترش دستخورده گی در سطح زمین وسیع است.
در شالوده های عمیق مشاهده می شود.	در شالوده های سطح مشاهده می شود.
نشست قابل ملاحظه ای ایجاد می شود.	نشست کم وجود دارد ولی فونداسیون کج می شود.

طبیعت گسیختگی خاک در بار نهایی تابعی از عوامل متعددی از جمله مقاومت و تراکم پذیری نسبی خاک، نسبت عمق (D_f) به عرض فونداسیون (B) و نسبت عرض به طول (B/L) فونداسیون می باشد. این مسئله به طور صریح توسط وسیک که آزمایش های گسترده ای بر روی مدل های آزمایشگاهی در ماسه به انجام رسانده، توضیح داده شده است. خلاصه ای از یافته های وسیک با اندکی تفاوت در شکل ۴-۲ نشان داده شده است. در این شکل D_f تراکم نسبی ماسه بوده و شاعع هیدرولیکی فونداسیون R به صورت زیر تعریف می شود:

$$R = \frac{A}{P} \quad (1-2)$$

پارامترهای این رابطه عبارتند از:

$$A = \text{مساحت فونداسیون} = B \times L$$

$$P = \text{محیط فونداسیون} = 2(B + L)$$

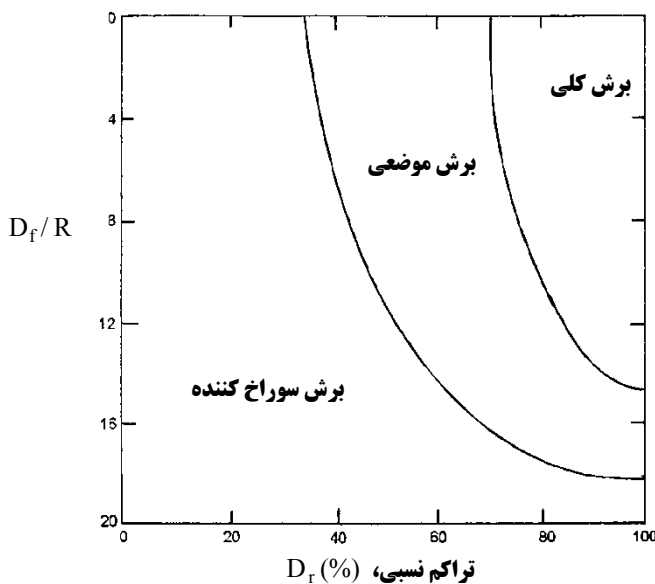
بنابراین ،

$$R = \frac{BL}{2(B + L)} \quad (2-2)$$

در یک فونداسیون مرتع شکل داریم $L = B$ ، بنابراین:

$$R = \frac{B}{4} \quad (3-2)$$

با توجه به شکل ۴-۲ می توان مشاهده نمود که زمانی که تقریباً $D_f / R \geq 18$ ، گسیختگی برشی سوراخ کننده در تمام موارد بدون توجه به تراکم نسبی ماسه رخ خواهد داد.

شکل ۴-۲ طبیعت گسیختگی در خاک با توجه به تراکم نسبی ماسه (D_r) و نسبت D_f / R

۳-۲ نشست در بار نهایی

میزان نشست فونداسیون در بار نهایی S_u ، کاملاً متغیر بوده و به عوامل متعددی بستگی دارد. با استفاده از نتایج آزمایشات انجام یافته بر روی مدل های آزمایشگاهی فونداسیون های سطحی ($D_f / B = 0$) در خاک ماسه ای که توسط وسیک ارائه شده و در قالب شکل ۵-۲ نمایش داده شده اند، می توان درک بهتری از این مسئله داشت. با توجه به این شکل می توان مشاهده نمود که برای یک فونداسیون مشخص، کاهش تراکم نسبی ماسه باعث افزایش نشست در بار نهایی می گردد.

بر مبنای نتایج آزمایشات آزمایشگاهی و محلی، محدوده تقریبی مقادیر S_u در انواع مختلف خاک ها در جدول زیر ارائه شده است.

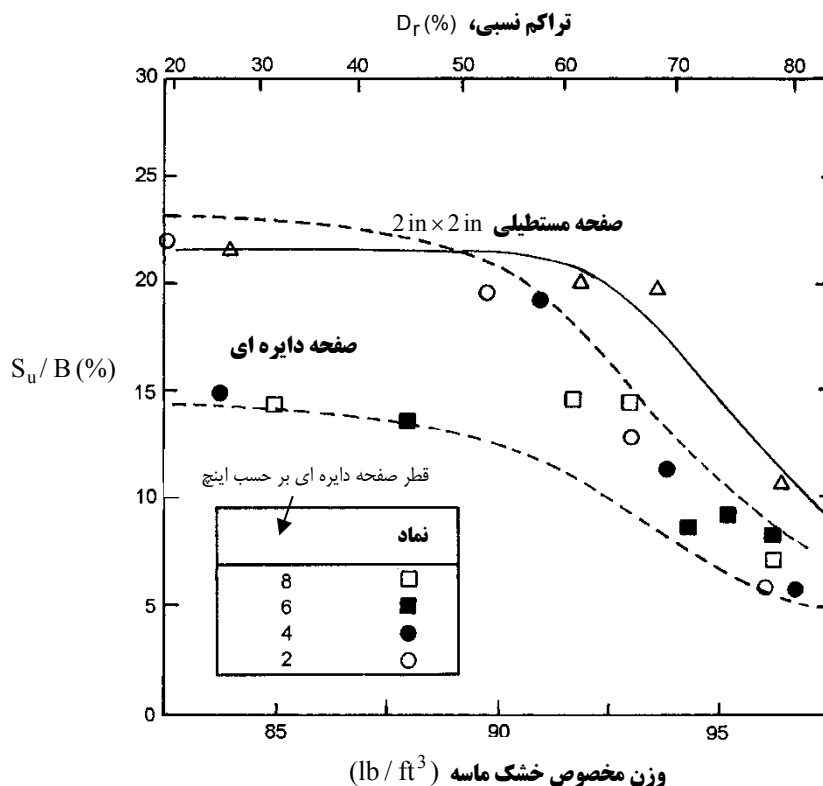
$\frac{S_u}{B} (\%)$	$\frac{D_f}{B}$	خاک
۱۲ تا ۱۵	صفر	ماسه
۲۸ تا ۲۵	بزرگ	ماسه
۸ تا ۶	صفر	رس
۲۰ تا ۱۵	بزرگ	رس

۴-۲ ظرفیت باربری نهایی و مجاز

برای اینکه فونداسیون عملکرد مطلوبی داشته باشد، باید مطمئن شد که بار واحد سطح فونداسیون از یک مقدار حدی تجاوز ننموده و باعث گسیختگی برشی در خاک نمی شود. این مقدار حدی ظرفیت باربری مجاز، q_{all} می باشد. با در نظر گرفتن ظرفیت باربری نهایی و عدم قطعیت های موجود در تخمین و ارزیابی پارامترهای مقاومت برشی خاک، ظرفیت باربری مجاز، q_{all} را می توان به صورت زیر تعریف نمود:

$$q_{all} = \frac{q_u}{FS} \quad (4-2)$$

معمولًا ضریب اطمینانی در محدوده ۳ تا ۴ اختیار می‌گردد. البته بر مبنای شرایط نشست حدی، عوامل دیگری نیز وجود دارند که باید در محاسبه ظرفیت باربری مجاز در نظر گرفته شوند. نشست کل فونداسیون، S_u مجموع نشست های زیر می‌باشد:



شکل ۲-۵ تغییرات S_u/B برای فونداسیون سطحی در روی ماسه (وسیک)

- ۱ نشست آنی یا الاستیک^۱، S_u و
- ۲ نشست تحکیمی اولیه و ثانویه لایه رسی^۲، S_c (قرار گرفته در زیر سطح آب زیر زمینی) در صورتی که این لایه در عمق نزدیک به فونداسیون قرار داشته باشد.

اکثر آبین نامه های ساختمانی، محدوده نشست های مجازی برای ساختمان تعیین می نمایند که ممکن است بسیار کمتر از نشست بدست آمده متناظر با q_{all} طبق رابطه (۴-۲) باشد. بنابراین ظرفیت باربری متناظر با نشست مجاز نیز باید در نظر گرفته شود.

۲-۵ نظریه ظرفیت باربری ترزاقی

در سال ۱۹۲۱ پراندل نتایج مطالعات خود را در ارتباط با نفوذ یک جسم صلب در داخل یک مصالح نرمتر منتشر ساخت. ترزاقی در سال ۱۹۴۸ تئوری گسیختگی خمیری پراندل را توسعه داده و نظریه معروفی برای محاسبه ظرفیت باربری نهایی یک فونداسیون نواری صلب با سطح زبر بر روی خاک همگن که تا عمق بسیار زیاد امتداد می یابد پیشنهاد نمود که تا به

¹ Elastic or immediate settlement

² Primary and secondary consolidation settlement

امروز مقبولیت بسیاری یافته است. همانطور که بیان شد، ترزاقي فونداسیون سطحی را فونداسیونی تعریف نمود که عمق استقرار آن D_f برابر یا کوچکتر از عرض آن B باشد. سطح گسیختگی در خاک تحت بار نهایی (یعنی q_u ، در واحد سطح فونداسیون) چنانکه در این روش توسط ترزاقي فرض شده در شکل ۶-۲ نشان داده شده است. با مراجعه به شکل ۶-۲ نواحی گسیختگی خاک زیر فونداسیون را می توان به سه **ناحیه اصلی** تقسیم نمود که عبارتند از:

۱. ناحیه abc. ناحیه مثلثی الاستیک بلافاصله در زیر فونداسیون. زاویه وجوده ac و bc گوه با افق برابر است با $\phi = \arctan \gamma$ (زاویه اصطکاک خاک).
۲. ناحیه bcf. این ناحیه، ناحیه برشی شعاعی پرانتل نامیده می شود.
۳. ناحیه bfg. این ناحیه، ناحیه مقاوم (پاسیو) رانکین نام دارد. سطوح لغزش در این ناحیه زوایای $(45 - \frac{1}{2}\phi)$ با افق می سازد.

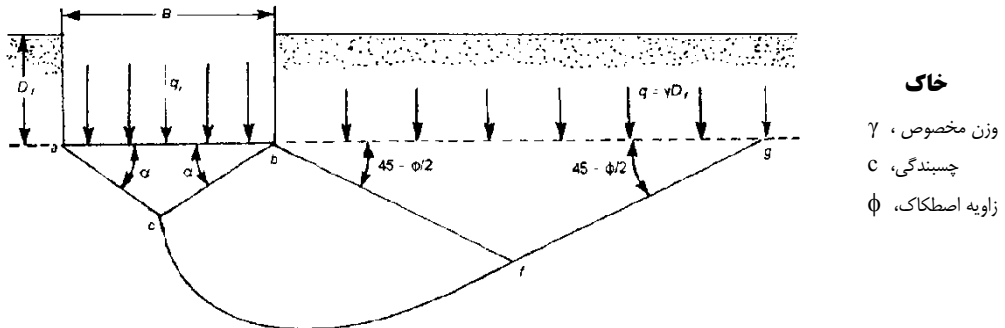
توجه نمایید که ناحیه برشی شعاعی پرانتل و ناحیه مقاوم رانکین در سمت چپ ناحیه الاستیک مثلثی abc نیز وجود دارد ولی در شکل ۲.۱ نشان داده نشده است. خط cf کمان اسپیرال لگاریتمی است که توسط رابطه زیر تعریف می شود:

$$r = r_0 e^{\theta \tan \phi} \quad (5-2)$$

خطوط bf و fg خطوطی مستقیم می باشند. خط fg در واقع تا سطح زمین امتداد می یابد ولی ترزاقي فرض نمود که خاک قرار گرفته در بالای تراز کف فونداسیون را می توان با سرباری به بزرگی $q = \gamma D_f$ جایگزین نمود.

با استفاده از اصول تعادل، ترزاقي بار نهایی واحد سطح فونداسیون نواری (یعنی همان ظرفیت باربری نهایی q_u) برای خاکی با چسبندگی، اصطکاک و وزن مشخص را به صورت زیر پیشنهاد نمود:

$$q_u = cN_c + qN_q + \frac{1}{2}\gamma BN_\gamma \quad (6-2)$$



شکل ۶-۲ سطح گسیختگی در بار نهایی در فونداسیون نواری صلب زیر چنانکه توسط ترزاقي فرض شده است

که در رابطه فوق N_c ، N_q و N_γ = ضرایب ظرفیت باربری هستند و

$$N_q = \frac{e^{2\left(\frac{3\pi}{4} - \frac{\phi}{2}\right)\tan\phi}}{2\cos^2\left(45 + \frac{\phi}{2}\right)} \quad (7-2)$$

$$N_c = \cot\phi(N_q - 1) \quad (8-2)$$

$$N_\gamma = \frac{1}{2}K_{p\gamma}\tan^2\phi - \frac{\tan\phi}{2} \quad (9-2)$$

به طور نظری هنگامی که نسبت L/B برابر صفر است (یعنی هنگامی که $L=\infty$) خاک زیر فونداسیون حالت کرنش مسطح خواهد داشت ولی در اکثر موارد عملی هنگامی که $B/L=1/6$ تا $B/L=1/5$ می باشد، تئوری کرنش مسطح نتایج نسبتاً خوبی به دست می دهد.

آشنایی با فرضیات به کار رفته در هر یک از نظریه های ظرفیت باربری برای ما دارای اهمیت است زیرا در عمل باید با محدودیت های هر رابطه آشنا باشیم تا با توجه به شرایط موجود و قضاوت مهندسی از مناسب ترین رابطه استفاده نماییم. بعضی از فرضیات به کار رفته در نظریه ظرفیت باربری ترازاقی عبارتند از:

- خاک همگن و همسانگرد و متراکم است (گسیختگی از نوع برشی عمومی است)
- مقاومت برشی خاک توسط معیار موهر کولمب بیان می شود.
- فونداسیون نواری بوده و دارای سطح زبر است. به عبارت دیگر مسئله از نوع دو بعدی بوده و حالت کرنش صفحه ای وجود دارد.
- ناحیه مثلثی الاستیک دارای وجود صاف بوده که زاویه Φ نسبت به افق می سازد.
- خاک بالای تراز کف فونداسیون با سریاری به بزرگی $D_f = q$ جایگزین شده و از مقاومت برشی خاک در این سطح صرف نظر شده است.
- روش برهمنهی معتبر است.
- تراز آب زیرزمینی وجود ندارد.
- بار به صورت قائم و بر مرکز سطح فونداسیون وارد می شود (خروج از مرکزیت وجود ندارد).
- فونداسیون و زمین افقی هستند.
- تعادل حدی به طور همزمان در تمام نقاط خاک به جود می آید به عبارت دیگر مقاومت برشی کامل در یک زمان در تمام نقاط بوجود می آید.
- فشار مقاوم (پاسیو) سه مولفه دارد: P_{PC} ایجاد شده در اثر چسبندگی، P_{Pq} ایجاد شده در اثر سریار و $P_{P\gamma}$ ایجاد شده در اثر وزن ناحیه برشی.

تغییرات ضرایب ظرفیت باربری با زاویه اصطکاک خاک Φ که توسط معادلات (۲-۲)، (۷-۲)، (۸-۲) و (۹-۲) بیان شدند در جدول ۲-۲ ارائه شده است. مقادیر مربوط به N_γ توسط کومبوز کار بدست آمده اند.

جدول ۲-۲ ضرایب ظرفیت باربری ترازاقی - معادلات (۲.۳۲)، (۲.۳۳) و (۲.۳۴)

Φ	N_c	N_q	N_γ	Φ	N_c	N_q	N_γ	Φ	N_c	N_q	N_γ
0	5.70	1.00	0.00	17	14.60	5.45	2.18	34	52.64	36.50	38.04
1	6.00	1.10	0.01	18	15.12	6.04	2.59	35	57.75	41.44	45.41
2	6.30	1.22	0.04	19	16.57	6.70	3.07	36	63.53	47.16	54.36
3	6.62	1.35	0.06	20	17.69	7.44	3.64	37	70.01	53.80	65.27
4	6.97	1.49	0.10	21	18.92	8.26	4.31	38	77.50	61.55	78.61
5	7.34	1.64	0.14	22	20.27	9.19	5.09	39	85.97	70.61	95.03
6	7.73	1.81	0.20	23	21.75	10.23	6.00	40	95.66	81.27	115.31
7	8.15	2.00	0.27	24	23.36	11.40	7.08	41	106.81	93.85	140.51
8	8.60	2.21	0.35	25	25.13	12.72	8.34	42	119.67	108.75	171.99
9	9.09	2.44	0.44	26	27.09	14.21	9.84	43	134.58	126.50	211.56
10	9.61	2.69	0.56	27	29.24	15.90	11.60	44	151.95	147.74	261.60
11	10.16	2.98	0.69	28	31.61	17.81	13.70	45	172.28	173.28	325.34
12	10.76	3.29	0.85	29	34.24	19.98	16.18	46	196.22	204.19	407.11
13	11.41	3.63	1.04	30	37.16	22.46	19.13	47	224.55	241.80	512.84
14	12.11	4.02	1.26	31	40.41	25.28	22.65	48	258.28	287.85	650.87
15	12.86	4.45	1.52	32	44.04	28.52	26.87	49	298.71	344.63	831.99
16	13.68	4.92	1.82	33	48.09	32.23	31.94	50	347.50	415.14	1072.80

کریزک (Krizek) روابط تجربی ساده ای برای تخمین ضرایب ظرفیت باربری ترزاقی N_c , N_q و N_γ با حداکثر اختلاف ۱۵٪ ارائه داده است که عبارتند از:

$$N_c = \frac{228 + 4.3\varphi}{40 - \varphi} \quad (10-2-\text{الف})$$

$$N_q = \frac{40 + 5\varphi}{40 - \varphi} \quad (10-2-\text{ب})$$

$$N_\gamma = \frac{6\varphi}{40 - \varphi} \quad (10-2-\text{ج})$$

که در این رابطه φ زاویه اصطکاک خاک بر حسب درجه می باشد.

معادلات (۱۰-۲-الف)، (۱۰-۲-ب) و (۱۰-۲-ج) برای φ های بین ۰ تا ۳۵ درجه معتبر می باشد. بنابراین با جایگزینی معادلات

(۱۰-۲) در (۶-۲) نتیجه می شود:

$$q_u = \frac{(228 + 4.3\varphi)c + (40 + 5\varphi)q + 3\varphi\gamma B}{40 - \varphi} \quad (\varphi = 35^\circ \text{ تا } \varphi = 0^\circ) \quad (11-2)$$

۵-۱-الف: اثر شکل فونداسیون

یکی از عواملی که بر ظرفیت باربری فونداسیون ها تاثیر گذار است، شکل فونداسیون است. رابطه ظرفیت باربری ترزاقی بر مبنای شکل فونداسیون نواری ارائه شده است. به عبارت دیگر از این رابطه تنها می توان برای تعیین ظرفیت باربری فونداسیون های نواری استفاده نمود. برای فونداسیون هایی که در پلان شکلی مستطیلی یا دایره ای دارند در بارنهایی حالت کرشم سطح در خاک وجود نخواهد داشت. ترزاقی و دیگر محققین بر مبنای یافته های تجربی، روابط زیر را برای تعیین ظرفیت باربری فونداسیون های دایره ای، مربع و مستطیلی ارائه نمودند:

$$q_u = 1.3cN_c + qN_q + 0.4\gamma BN_\gamma \quad \text{فونداسیون مربعی (B} \times \text{B)} \quad (12-2)$$

$$q_u = 1.3cN_c + qN_q + 0.3\gamma BN_\gamma \quad \text{فونداسیون دایره ای (B = قطر)} \quad (13-2)$$

$$q_u = (1 + 0.3\frac{B}{L})cN_c + qN_q + (1 - 0.2\frac{B}{L}) \times 0.5\gamma BN_\gamma \quad \text{فونداسیون مستطیلی (B} \times \text{L)} \quad (14-2)$$

۶-۲ | نظریه ظرفیت باربری ترزاقی برای گسیختگی برشی موضعی

همانطور که می دانیم رابطه ظرفیت باربری ترزاقی با فرض گسیختگی برشی کلی در خاک بدست آمده است در صورتی که خاک های نسبتاً شل و نرم معمولاً متحمل گسیختگی برشی موضعی یا سوراخ شونده می شوند. برای گسیختگی برشی موضعی در خاک، ترزاقی روابط زیر را پیشنهاد نمود:

$$q'_u = c'N'_c + qN'_q + \frac{1}{2}\gamma BN'_\gamma \quad \text{فونداسیون های نواری (B/L = 0)} \quad (15-2)$$

$$q'_u = 1.3c'N'_c + qN'_q + 0.4\gamma BN'_\gamma \quad \text{فونداسیون مربعی (B} \times \text{B)} \quad (16-2)$$

$$q'_u = 1.3c'N'_c + qN'_q + 0.3\gamma BN'_\gamma \quad \text{فونداسیون دایره ای (B = قطر)} \quad (17-2)$$

$$q_u = (1 + 0.3\frac{B}{L})c'N'_c + qN'_q + (1 - 0.2\frac{B}{L}) \times 0.5\gamma BN'_\gamma \quad \text{فونداسیون مستطیلی (B} \times \text{L)} \quad (18-2)$$

به طوریکه N'_c, N'_q, N'_{γ} و $c' = \frac{2}{3}$ ضرایب ظرفیت باربری اصلاح شده و c' می باشد.

ضرایب ظرفیت باربری اصلاح شده را می توان با جایگزینی $\varphi' = \tan^{-1}(\frac{2}{3} \tan \varphi)$ به جای φ در معادلات (۷-۲)، (۸-۲) و (۹-۲) بدست آورد. تغییرات N'_c, N'_q, N'_{γ} با φ در جدول ۳-۲ نشان داده شده اند.

وسيك روش زير را برای محاسبه φ' جهت تخمين N'_c و N'_q برای فونداسيون هاي قرار گرفته بر روی ماسه پيشنهاد نموده است:

$$\varphi' = \tan^{-1}(k \tan \varphi) \quad (19-2)$$

$$k = 0.67 + D_r - 0.75 D_r^2 \quad (0 \leq D_r \leq 0.67) \quad \text{برای} \quad (20-2)$$

در اين رابطه D_r تراكم نسبی ماسه می باشد. به عبارت ديگر در روش وسيك نوع گسيختگي برشی تابعی از تراكم نسبی است.

جدول ۳-۲ ضرایب ظرفیت باربری اصلاح شده ترزاقی - N'_q و N'_c

ϕ	N_c	N_q	N_{γ}	ϕ	N_c	N_q	N_{γ}	ϕ	N_c	N_q	N_{γ}
0	5.70	1.00	0.00	17	10.47	3.13	0.76	34	23.72	11.67	7.22
1	5.90	1.07	0.005	18	10.90	3.36	0.88	35	25.18	12.75	8.35
2	6.10	1.14	0.02	19	11.36	3.61	1.03	36	26.77	13.97	9.41
3	6.30	1.22	0.04	20	11.85	3.88	1.12	37	28.51	15.32	10.90
4	6.51	1.30	0.055	21	12.37	4.17	1.35	38	30.43	16.85	12.75
5	6.74	1.39	0.074	22	12.92	4.48	1.55	39	32.53	18.56	14.71
6	6.97	1.49	0.10	23	13.51	4.82	1.74	40	34.87	20.50	17.22
7	7.22	1.59	0.128	24	14.14	5.20	1.97	41	37.45	22.70	19.75
8	7.47	1.70	0.16	25	14.80	5.60	2.25	42	40.33	25.21	22.50
9	7.74	1.82	0.20	26	15.53	6.05	2.59	43	43.54	28.06	26.25
10	8.02	1.94	0.24	27	16.03	6.54	2.88	44	47.13	31.34	30.40
11	8.32	2.08	0.30	28	17.13	7.07	3.29	45	51.17	35.11	36.00
12	8.63	2.22	0.35	29	18.03	7.66	3.76	46	55.73	39.48	41.70
13	8.96	2.38	0.42	30	18.99	8.31	4.39	47	60.91	44.54	49.30
14	9.31	2.55	0.48	31	20.03	9.03	4.83	48	66.80	50.46	59.25
15	9.67	2.73	0.57	32	21.16	9.82	5.51	49	73.55	57.41	71.45
16	10.06	2.92	0.67	33	22.39	10.69	6.32	50	81.31	65.60	85.75

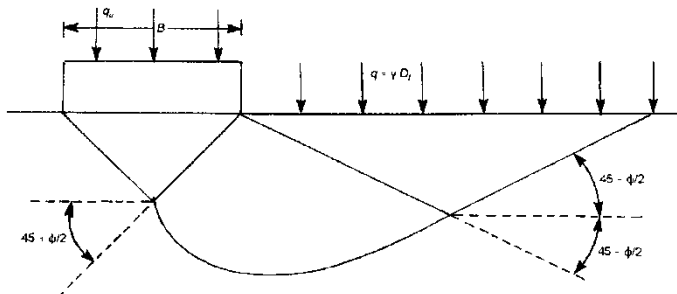
با توجه به اينكه روش پيشنهادي ترزاقی محافظه کارانه بوده و از طرف ديگر روش وسيك حاشيه اطمینان کمي در نظر گرفته است، چنانچه زاویه اصطکاک داخلی خاک $\varphi \leq 36^\circ$ باشد، می توان از درون يابی خطی برای تعیین مقادیر ضرایب ظرفیت باربری استفاده نمود. حالت های مختلف ضرایب ظرفیت باربری در جدول ۴-۲ نشان داده شده است. به اين محدوده تغییرات زاویه اصطکاک خاک ناحیه مختلط نيز می گويند زيرا نوع گسيختگي برشی خاک در اين حالت مشخص نيسیست.

جدول ۴-۲ ضرایب ظرفیت باربری فونداسیون برای شرایط گسيختگي برشی عمومی، برشی و مختلط

گسيختگي برشی موضعی	ناحیه مختلط	گسيختگي برشی عمومی
$\varphi < 28^\circ$	$28^\circ \leq \varphi \leq 36^\circ$	$\varphi > 36^\circ$
N'_c, N'_q, N'_{γ}	$N_c^m, N_q^m, N_{\gamma}^m$	N_c, N_q, N_{γ}

۷-۲ نظریه ظرفیت باربری مایر هو夫

از زمان یافته های بنیادی ترازاقی تا به امروز مطالعات تجربی بسیاری برای تخمین ظرفیت باربری نهایی فونداسیون های سطحی به انجام رسیده است. بر مبنای این مطالعات مشخص شده است که فرض ترازاقی در رابطه با سطح گسیختگی در خاک در بار نهایی اساساً صحیح است اما زاویه α که وجوده ac و bc در گوه شکل ۶-۲ با افق می سازد به زاویه $45 + \phi/2$ نزدیک تر است تا به ϕ . در این حالت طبیعت سطح گسیختگی در خاک همانند شکل ۷-۲ خواهد بود.



شکل ۷-۲ سطح گسیختگی اصلاح شده خاک در بار نهایی برای فونداسیون سطحی

مایر هو夫 در سال ۱۹۵۱ با اصلاح بعضی از فرضیات ترازاقی، نظریه ای برای تخمین ظرفیت باربری فونداسیون های سطحی زبر و فونداسیون های عمیق پیشنهاد نمود که در آن اثر شکل و عمق فونداسیون در افزایش ظرفیت باربری نهایی در نظر گرفته شده است. این رابطه که معادله عمومی ظرفیت باربری نامیده می شود به صورت زیر است:

$$q_u = cN_c\lambda_{cs}\lambda_{cd} + q N_q\lambda_{qs}\lambda_{qd} + \frac{1}{2}\gamma B N_\gamma\lambda_{\gamma s}\lambda_{\gamma d} \quad (21-2)$$

چنانکه داریم:

N_q و N_c = ضرایب ظرفیت باربری

B = عرض فونداسیون

$\lambda_{\gamma s}, \lambda_{qs}, \lambda_{cs}$ = ضرایب شکل

$\lambda_{\gamma d}, \lambda_{qd}, \lambda_{cd}$ = ضرایب عمق

در حال حاضر برای طراحی فونداسیون های سطحی از رابطه ظرفیت باربری نهایی ارائه شده توسط معادله (۲۱-۲) استفاده می شود. ضرایب ظرفیت باربری مایر هو夫 را می توان به صورت زیر تقریب زد:

$$N_c = (N_q - 1) \cot \phi \quad (22-2)$$

$$N_q = e^{\pi \tan \phi} \left(\frac{1 + \sin \phi}{1 - \sin \phi} \right) = \tan^2 \left(45 + \frac{\phi}{2} \right) e^{\pi \tan \phi} \quad (23-2)$$

$$N_\gamma = (N_q - 1) \tan (1.4 \phi) \quad (24-2)$$

مقادیر N_c و N_q و N_γ که به ترتیب از معادلات (۲۲-۲)، (۲۳-۲) و (۲۴-۲) بدست آمده اند در جدول ۷-۵ ارائه شده است.

ضرایب شکل و عمق مایرهوف را می توان با استفاده از روابط زیر محاسبه نمود:

$$\left\{ \begin{array}{l} \lambda_{cs} = 1 + 0.2 \left(\frac{B}{L} \right) \tan^2 \left(45 + \frac{\phi}{2} \right) \\ \lambda_{qs} = \lambda_{ys} = 1 + 0.1 \left(\frac{B}{L} \right) \tan^2 \left(45 + \frac{\phi}{2} \right) \end{array} \right. \quad (25-2)$$

$$\left\{ \begin{array}{l} \lambda_{cs} = 1 + 0.2 \left(\frac{D_f}{B} \right) \tan \left(45 + \frac{\phi}{2} \right) \\ \lambda_{cd} = \lambda_{qd} = 1 + 0.1 \left(\frac{D_f}{B} \right) \tan \left(45 + \frac{\phi}{2} \right) \end{array} \right. \quad (27-2)$$

جدول ۲-۵ ضرایب ظرفیت باربری مایرهوف - معادلات (۲۴-۲)، (۲۳-۲) و (۲۲-۲)

ϕ	N_c	N_q	N_γ	ϕ	N_c	N_q	N_γ	ϕ	N_c	N_q	N_γ
0	5.14	1.00	0.00	17	12.34	4.77	1.66	34	42.16	29.44	31.15
1	5.38	1.09	0.002	18	13.10	5.26	2.00	35	46.12	33.30	37.15
2	5.63	1.20	0.01	19	13.93	5.80	2.40	36	50.59	37.75	44.43
3	5.90	1.31	0.02	20	14.83	6.40	2.87	37	55.63	42.92	53.27
4	6.19	1.43	0.04	21	15.82	7.07	3.42	38	61.35	48.93	64.07
5	6.49	1.57	0.07	22	16.88	7.82	4.07	39	67.87	55.96	77.73
6	6.81	1.72	0.11	23	18.05	8.66	4.82	40	75.31	64.20	93.69
7	7.16	1.88	0.15	24	19.32	9.60	5.72	41	83.86	73.90	113.99
8	7.53	2.06	0.21	25	20.72	10.66	6.77	42	93.71	85.38	139.32
9	7.92	2.25	0.28	26	22.25	11.85	8.00	43	105.11	99.02	171.14
10	8.35	2.47	0.37	27	23.94	13.20	9.46	44	118.37	115.31	211.41
11	8.80	2.71	0.47	28	25.80	14.72	11.19	45	133.88	134.88	262.74
12	9.28	2.97	0.60	29	27.86	16.44	13.24	46	152.10	158.51	328.73
13	9.81	3.26	0.74	30	30.14	18.40	15.67	47	173.64	187.21	414.32
14	10.37	3.59	0.92	31	32.67	20.63	18.56	48	199.26	222.31	526.44
15	10.98	3.94	1.13	32	35.49	23.18	22.02	49	229.93	265.51	674.91
16	11.63	4.34	1.38	33	38.64	26.09	26.17	50	266.89	319.07	873.84

۸-۲ کلیاتی در رابطه با معادلات ضرایب ظرفیت باربری فونداسیون های سطحی

تا به این لحظه مهندسین ژئوتکنیک، روش برهمنگی را به عنوان ابزاری مناسب برای تخمین ظرفیت باربری نهایی فونداسیون های زیر سطحی پذیرفته اند. برای فونداسیون های نواری زبر، طبیعت گسیختگی خاک چنانچه در شکل ۸-۲ نشان داده شده است نیز مقبولیت زیادی یافته است. همچنین معادلات رایسنر و پرانتل برای محاسبه N_c و N_q که همانند روابط ارائه شده توسط مایرهوف می باشند نیز تا به امروز به طور گستردگی ای برای محاسبه ظرفیت باربری نهایی مورد استفاده قرار گرفته اند. ولی تا کنون اختلاف نظرها و مباحثات زیادی در رابطه با مقادیر N_γ وجود داشته است. همانسانجام رابطه ای تقریبی برای N_γ به صورت زیر پیشنهاد نموده است:

$$N_\gamma = 1.5 N_c \tan^2 \phi = 1.5(N_q - 1) \tan \phi \quad (29-2)$$

در معادله پیشین، رابطه ارائه شده برای N_c و N_q همان روابطی هستند که با استفاده از راه حل پرانتل بدست می‌آید [معادلات (۲۲-۲) و (۲۳-۲)]. کاکوت و کریزل^۱ فرض نمودند که گوه خاک مثلثی الاستیک در زیر یک فونداسیون زیر نواری همانند شکل ۲-۸ می‌باشد. با انتگرال گیری از معادله دیفرانسیل بوزینسک این محققین مقادیر عددی مختلفی برای N_q متناظر با مقادیر مختلف زاویه اصطکاک خاک ϕ ارائه نمودند. وسیک مقادیر ارائه شده توسط این محققین را با استفاده از رابطه زیر تقریب زده است:

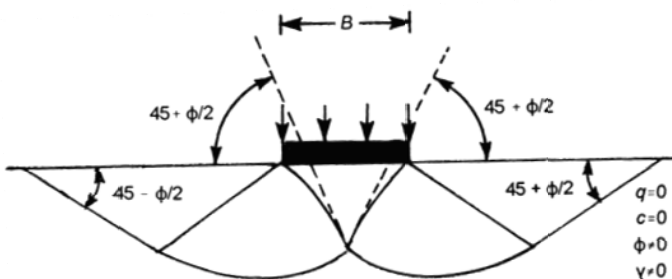
$$N_y = 2(N_a + 1) \tan \phi$$

چنانکه N_q توسط معادله $(21-2)$ بدست می آید.

معادله (۳۰-۲) خطایی کمتر از ۵ درصد به ازاء $\varphi < 40^\circ$ در مقایسه با حل دقیق حاصل می‌نماید. لوندگران و مورتنسن برای بعضی موارد خاص، روش‌هایی عددی (با استفاده از تئوری پلاستیسیته) برای محاسبه دقیق خطوط گسیختگی و همچنین ضریب ظرفیت باربری (N_y) ارائه نمودند. شکل ۸-۲ طبیعت خطوط گسیختگی برای این حالت را نشان می‌دهد. چن نیز راه حلی برای محاسبه N_y ارائه داد که در آن از قضیه حد بالای تحلیل حدی پیشنهاد شده توسط درآگر و پرائگ استفاده نمود. بیاز و همکاران نیز رابطه زیر را برای N_y پیشنهاد نمودند:

$$N_g = 1.8(N_a - 1) \tan \phi \quad (31-2)$$

مقایسه ای از مقادیر N_7 که توسط مایرهاوف، ترازاقی، کاکوت و کریزل و هانسن پیشنهاد شده اند در جدول ۶-۲ نشان داده شده است. در شکل ۶-۲ نیز مقادیر N_7 بدست آمده از نظریه های مختلف با یکدیگر مقایسه شده اند.



شکل ۲-۸ طبیعت خطوط گسیختگی در خاک زیر فونداسیون نواری - استفاده از تئوری پلاستیسیته برای محاسبه N_y

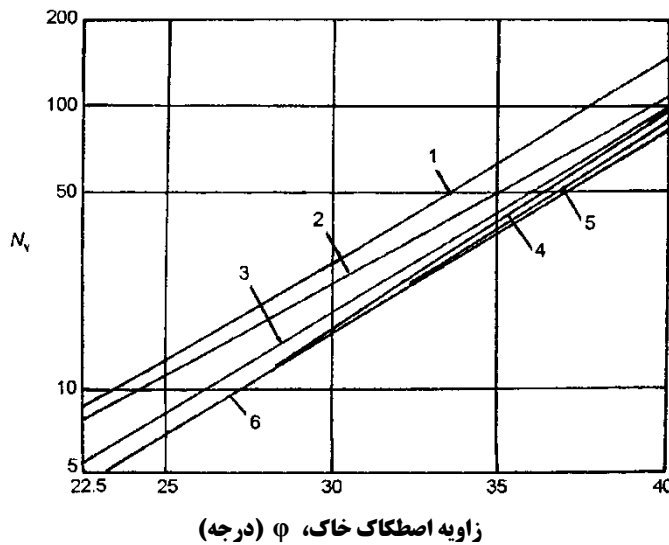
دلیل اصلی این مسئله که نظریه های مختلفی برای محاسبه N_y مطرح شده اند و همچنین فقدان همبستگی این تئوری ها با مقادیر تجربی، مشکل بودن انتخاب یک مقدار مشخصه برای زاویه اصطکاک خاک به منظور محاسبه ظرفیت باربری می باشد. پارامتر φ بستگی به عوامل بسیاری دارد که بعضی از آن ها عبارتند از حالت تنش اصلی میانگین، ناهمسانگردی زاویه اصطکاک و انحنای پوش گسیختگی موهر-کولمب. اینگرا و باچر^۲ روش های نظری محاسبه N_y را با نتایج بدست آمده از آزمایشات انجام یافته توسط محققین مختلف برای فونداسیون های با نسبت عرض به طول $L/B = 1$ و $L/B = 6$ مقایسه نمودند. طبق این تحقیق مشخص شد زمانیکه زاویه اصطکاک های بدست آمده در دستگاه سه محوری برای محاسبه مقادیر تجربی N_y به کار گرفته می شوند، مقدار آن ها به میزان قابل توجهی بزرگتر از مقادیر بدست آمده نظری می باشد.

1 Caquot and Kerisel

² Ingra and Baecher

جدول ۶-۲ مقایسه مقادیر N_γ

زاویه اصطکاک خاک (درجه) ϕ	N_γ			
	ترزاقی [معادله (۹-۲)]	مایرهوف [معادله (۲۲-۲)]	وسیک [معادله (۲۴-۲)]	هانسن [معادله (۲۳-۲)]
0	0.00	0.00	0.00	0.00
1	0.01	0.002	0.07	0.00
2	0.04	0.01	0.15	0.01
3	0.06	0.02	0.24	0.02
4	0.10	0.04	0.34	0.05
5	0.14	0.07	0.45	0.07
6	0.20	0.11	0.57	0.11
7	0.27	0.15	0.71	0.16
8	0.35	0.21	0.86	0.22
9	0.44	0.28	1.03	0.30
10	0.56	0.37	1.22	0.39
11	0.69	0.47	1.44	0.50
12	0.85	0.60	1.69	0.63
13	1.04	0.74	1.97	0.78
14	1.26	0.92	2.29	0.97
15	1.52	1.13	2.65	1.18
16	1.82	1.38	3.06	1.43
17	2.18	1.66	3.53	1.73
18	2.59	2.00	4.07	2.08
19	3.07	2.40	4.68	2.48
20	3.64	2.87	5.39	2.95
21	4.31	3.42	6.20	3.50
22	5.09	4.07	7.13	4.13
23	6.00	4.82	8.20	4.88
24	7.08	5.72	9.44	5.75
25	8.34	6.77	10.88	6.76
26	9.84	8.00	12.54	7.94
27	11.60	9.46	14.47	9.32
28	13.70	11.19	16.72	10.94
29	16.18	13.24	19.34	12.84
30	19.13	15.67	22.40	15.07
31	22.65	18.56	25.99	17.69
32	26.87	22.02	30.22	20.79
33	31.94	26.17	35.19	24.44
34	38.04	31.15	41.06	28.77
35	45.41	37.15	48.03	33.92
36	54.36	44.43	56.31	40.05
37	65.27	53.27	66.19	47.38
38	78.61	64.07	78.03	56.17
39	95.03	77.73	92.25	66.75
40	115.31	93.69	109.41	79.54
41	140.51	113.99	130.22	95.05
42	171.99	139.32	155.55	113.95
43	211.56	171.14	186.54	137.10
44	261.60	211.41	224.64	165.58
45	325.34	262.74	271.76	200.81



شکل ۹-۲ مقایسه ضریب ظرفیت باربری N_γ (توجه: منحنی ۱- چن، منحنی ۲- وسیک، منحنی ۳- ترزاقی، منحنی ۴- مایر ھوف، منحنی ۵- لوندگرن و مورتنسن، منحنی ۶- هانسن)

در قسمت قبل پیشنهاد شد که از زاویه اصطکاک بدست آمده تحت شرایط کرنش مسطح Φ_p به جای Φ_t برای محاسبه ظرفیت باربری استفاده شود. با استفاده از این یافته، وسیک این مسئله را مطرح نمود که احتمالاً این موضوع می‌تواند توجیهی برای اختلاف بین نتایج نظری و تحریکی در فونداسیون های مستطیلی طویل فراهم نماید. البته این یافته کمکی در تفسیر نتایج بدست آمده در فونداسیون های مربعی و دایره ای نمی‌نماید. کو و داویدسون^۱ نیز بیان نمود که در صورت استفاده از زوایای اصطکاک بدست آمده از شرایط کرنش مسطح در روابط معمول محاسبه ظرفیت باربری، مقادیر ظرفیت باربری فونداسیون های سطحی زیر در ماسه متراکم می‌تواند تا مقدار بسیار زیادی دست بالا بدست آید. برای جلوگیری از مباحثه بیشتر مایر ھوف رابطه زیر را پیشنهاد نمود:

$$\Phi = \left[1.1 - 0.1 \left(\frac{B}{L} \right) \right] \Phi_t \quad (32-2)$$

Φ_t = زاویه اصطکاک در آزمایش سه محوری

۹-۲ دیگر نظریه های ظرفیت باربری

هو نظریه ای پیشنهاد نمود که مطابق آن، زاویه α در گوه مثلثی زیر فونداسیون (شکل ۹-۶ را ببینید) تابعی از پارامترهای مختلف می‌باشد. به عبارت دیگر:

$$\alpha = f(\gamma, \Phi, q) \quad (32-2)$$

مقادیر حداقل و حداکثر α را می‌توان به صورت زیر بدست آورد:

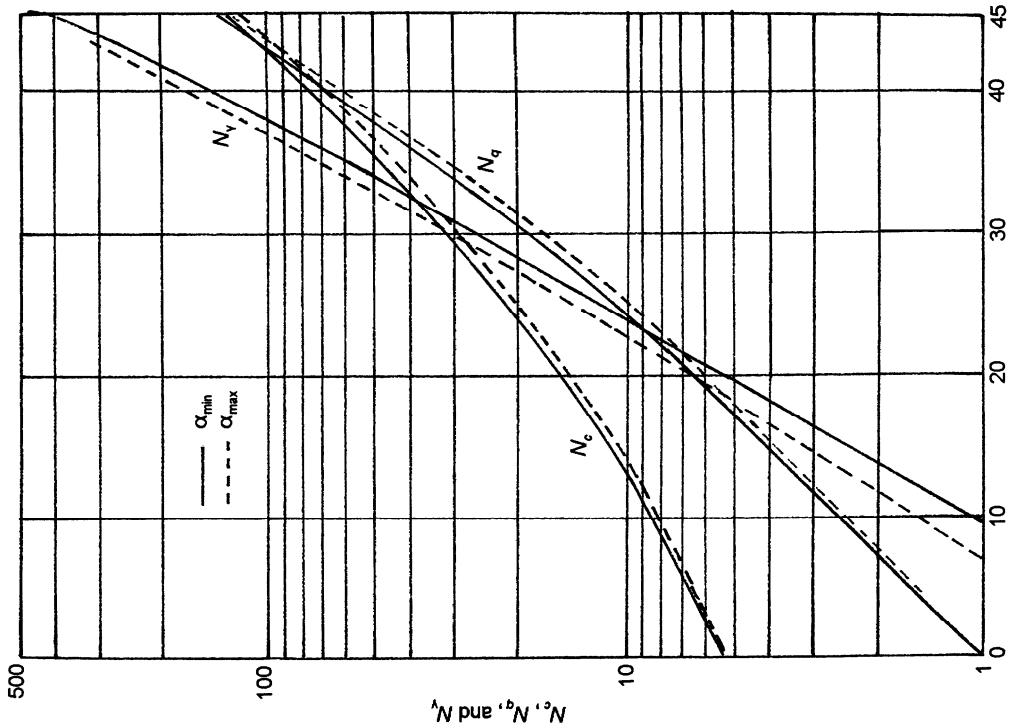
$$\Phi < \alpha_{\min} < 45 + \frac{\Phi}{2}$$

۹

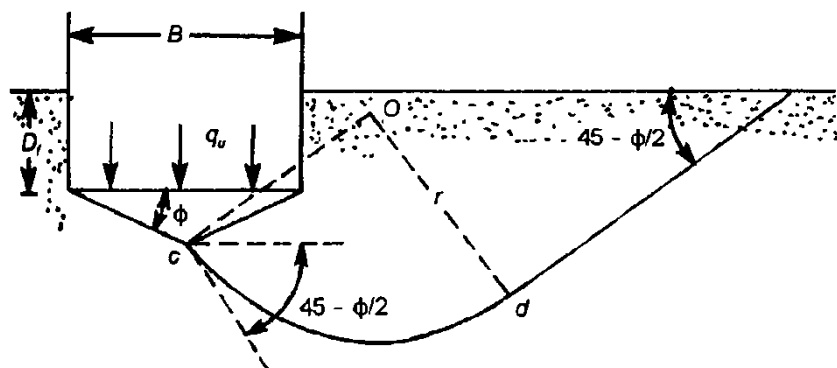
$$\alpha_{\max} = 45 + \frac{\Phi}{2}$$

^۱ Ko and Davidson

مقادیر N_c , N_q و N_γ بدست آمده به این روش در شکل ۱۰-۲ نشان داده شده است.



شکل ۱۰-۲ ضرایب ظرفیت باربری هو



شکل ۱۱-۲ طبیعت سطح گسیختگی در نظریه ظرفیت باربری بالا

بالا^۱ نظریه ای برای محاسبه ظرفیت باربری پیشنهاد نمود که برای یک سطح گسیختگی فرضی در خاک به کار گرفته می شود (شکل ۱۱-۲). در این سطح گسیختگی، منحنی cd کمانی از دایره ای با شعاع r فرض شده است. در این روش حل معادله ظرفیت باربری با استفاده از معادله کوتتر^۲ با هدف محاسبه توزیع تنش های قائم و مماسی در روی سطح لغزش به دست آمده است. طبق این روش رابطه ظرفیت باربری برای یک فونداسیون نواری به صورت زیر می باشد:

$$q_u = cN_c + qN_q + \frac{1}{2}\gamma BN_\gamma \quad (۳۳-۲)$$

^۱ Balla

^۲ Kotter's equation

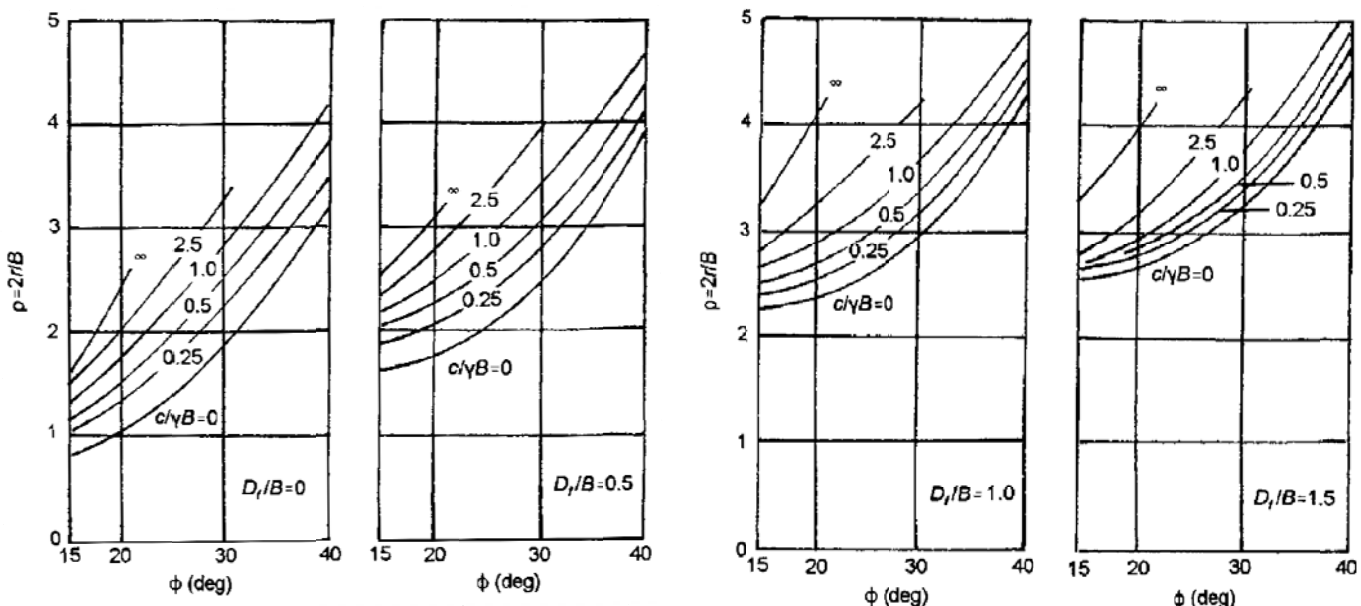
ضرایب ظرفیت باربری را می توان به صورت زیر بدست آورد:

۱. مقادیر γ / B و D_f / B را بدست آورید.
۲. با استفاده از مقادیر بدست آمده در گام ۱، به شکل ۱۲-۲ رجوع نموده و مقدار $\rho = 2r/B$ را استخراج نمایید.
۳. با استفاده از مقادیر مشخص ρ ، با رجوع به شکل های ۱۳-۲، ۱۴-۲ و ۱۵-۲، مقادیر $c/\gamma B$ ، N_c ، N_q و N_u را بدست آورید.

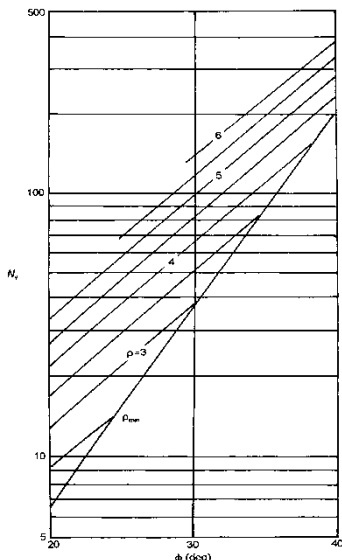
۱۰-۲ | تأثیر اثرات مقیاسی در ظرفیت باربری

مسئله تخمین ظرفیت باربری نهایی چنانچه اثرات مقیاسی را نیز در نظر بگیریم باز هم پیچیده تر خواهد شد. نظریه اثرات مقیاسی که در سال های اخیر مورد توجه زیادی قرار گرفته است بیان می دارد که با افزایش ابعاد فونداسیون، ظرفیت باربری نهایی کاهش می یابد. این مسئله در خاک های درشت دانه بارز تر است. طبیعت عمومی کاهش N_u با افزایش عرض فونداسیون B در شکل ۱۶-۲ نشان داده شده است. مقدار N_u در ابتدا با افزایش B کاهش یافته و در مقادیر بزرگتر B تقریباً ثابت می ماند. کاهش N_u در فونداسیون های بزرگتر در نهایت می تواند باعث کاهش چشمگیر ظرفیت باربری نهایی شود که می تواند به یکی از دلایل زیر باشد:

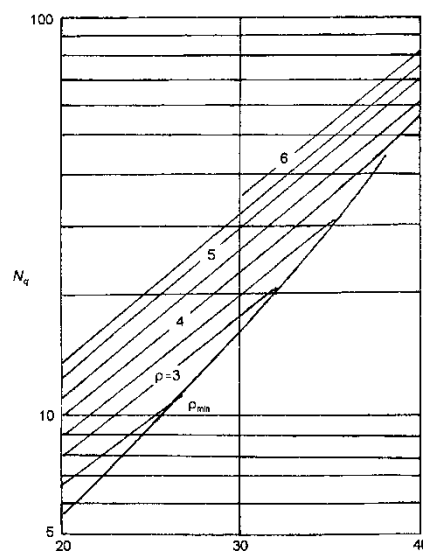
۱. برای فونداسیون های با ابعاد بزرگ، گسیختگی در راستای خطوط لغزش در خاک پیشرونده است و مقاومت برشی بسیج شده متوسط (و همچنین ϕ) در راستای خط لغزش با افزایش B کاهش می یابد.
۲. نواحی ضعیفی در خاک زیر فونداسیون وجود دارند.
۳. انحنای پوش موهر-کولمب



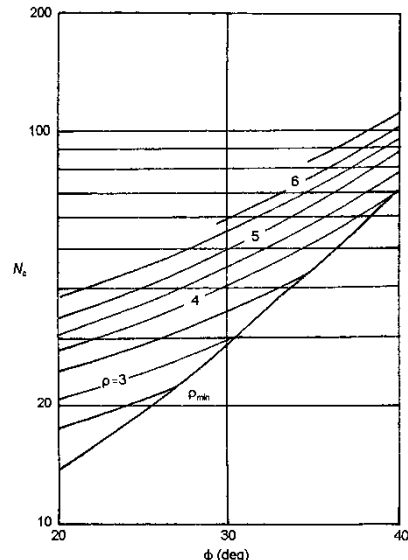
شکل ۱۲-۲ تغییرات ρ با زاویه اصطکاک خاک برای محاسبه ضرایب ظرفیت باربری بالا



شکل ۱۵-۲ ضریب ظرفیت باربری باز



شکل ۱۴-۲ ضریب ظرفیت باربری بالا



شکل ۱۳-۲ ضریب ظرفیت باربری بالا

۱۱-۲ | تأثیر سفره آب زیرزمینی بر ظرفیت باربری نهایی فونداسیون های سطحی

در بخش های پیشین فرض بر این بود که سفره آب زیر سطح گسیختگی قرار دارد ولی اگر سفره آب زیر زمینی در نزدیکی فونداسیون باشد، جملات ۹ و ۷ در معادلات (۶-۲)، (۱۲-۲)، (۱۴-۲)، (۱۶-۲) تا (۱۹-۲) باید اصلاح شوند. این پدیده را می توان با رجوع به شکل ۱۷-۲ که در آن سفره آب زیر زمینی در عمق d در زیر سطح زمین قرار دارد توصیف نمود.

$d = 0$ I حالات

در حالت $d = 0$ ، جمله $q = \gamma D_f$ باید به $q = \gamma' D_f$ (وزن واحد حجم موثر خاک) تغییر داده شود. همچنین γ در جمله سوم باید با γ' جایگزین گردد.

$0 < d \leq D_f$ II حالات

در این حالت q برابر خواهد بود با $\gamma(d + D_f - d)$ و γ در جمله سوم باید به γ' تغییر داده شود.

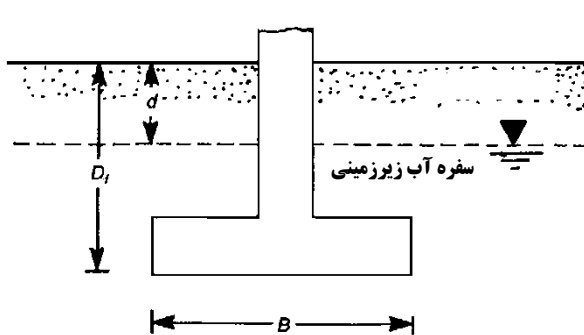
$D_f < d \leq B + D_f$ III حالات

در این حالت سفره آب در زیر فونداسیون قرار دارد. در چنین حالتی $q = \gamma D_f$ و γ در جمله سوم باید با وزن واحد حجم میانگین خاک $\bar{\gamma}$ جایگزین شود به عبارتی،

$$\bar{\gamma} = \gamma' + \left(\frac{d - D_f}{B} \right) (\gamma - \gamma') \quad (34-2)$$

$d > B + D_f$ IV حالات

برای حالت $d > B + D_f$ و $q = \gamma D_f$ در جمله سوم تغییر نمی نماید و این بدین معنی است که سفره آب زیرزمینی تأثیری در ظرفیت باربری نهایی ندارد.



شکل ۲-۱۷ تأثیر سفره آب زیرزمینی بر ظرفیت باربری نهایی

شکل ۲-۱۶ طبیعت تغییرات N_γ با B

۱۲-۲ معادله عمومی ظرفیت بااربی

اکثر ضرایب شکل و عمق موجود در کتاب های فنی، تجربی یا نیمه تجربی هستند. تعدادی از این ضرایب در جدول ۷-۲ ارائه شده اند. توصیه می شود که اگر از معادلات (۲۲-۲)، (۲۳-۲) و (۲۴-۲) به ترتیب برای محاسبه N_c ، N_q و N_γ استفاده شود، ضرایب شکل و عمق مایهوف به کار گرفته شود ولی اگر از معادلات (۲۲-۲)، (۲۳-۲) و (۳۰-۲) به ترتیب برای محاسبه N_c ، N_q و N_γ استفاده شود آنگاه استفاده از ضرایب شکل دبیر و ضرایب عمق هانسن توصیه می شود.

جدول ۷-۲ خلاصه ای از ضرایب شکل و عمق

ضریب	رابطه	مرجع
شكل	$\lambda_{cs} = 1 + 0.2(B/L) \tan^2(45 + \varphi/2)$ $\lambda_{qs} = \lambda_{\gamma s} = 1 + 0.1(B/L) \tan^2(45 + \varphi/2)$ $\lambda_{cs} = 1 + (N_q/N_c)(B/L)$	مایهوف
	توجه: برای محاسبه مقادیر N_q و N_c به ترتیب از معادلات (۲۲-۲) و (۲۳-۲) و ۵-۲ استفاده نمایید	دبیر
	$\lambda_{qs} = 1 + (B/L) \tan \varphi$ $\lambda_{\gamma s} = 1 - 0.4(B/L)$	
عمق	$\lambda_{cd} = 1 + 0.2(D_f/B) \tan(45 + \varphi/B)$ $\lambda_{qd} = \lambda_{\gamma d} = 1 + 0.1(D_f/B) \tan(\varphi/2)$	مایهوف
	$\lambda_{cd} = 1 + 0.4(D_f/B)$	هانسن
	$\lambda_{qd} = 1 + 2 \tan \varphi (1 - \sin \varphi)^2 (D_f/B)$ $\lambda_{\gamma d} = 1$	$D_f/B \leq 1$ برای
	$\lambda_{cd} = 1 + 0.4 \tan^{-1}(D_f/B)$	$D_f/B > 1$ برای
	$\lambda_{qd} = 1 + 2 \tan \varphi (1 - \sin \varphi)^2 \tan^{-1}(D_f/B)$ $\lambda_{\gamma d} = 1$	
	توجه: $\tan^{-1}(D_f/B)$ بر حسب رادیان می باشد	


مثال ۱-۲

فونداسیون سطحی دارای عرض 0.6 m و طول 1.2 m می باشد. عمق استقرار فونداسیون برابر است با $D_f = 0.6\text{ m}$. پارامترهای خاک زیر فونداسیون عبارتند از: $\gamma = 18\text{ kN/m}^3$ ، $c = 48\text{ kN/m}^2$ ، $\phi = 25^\circ$. با استفاده از معادلات خواسته شده، ظرفیت برابری نهایی فونداسیون را محاسبه نمایید.

۱. N_c پیشنهادی پرانتل، N_q پیشنهادی رایسنر، N_γ پیشنهادی وسیک و ضرایب شکل و عمق پیشنهادی دبیر و هانسن
- (جدول ۷-۲)

۲. N_γ پیشنهادی مايرهوف و ضرایب شکل و عمق پیشنهادی مايرهوف ارائه شده در جدول ۷-۲.


حل مسئله

با استفاده از معادله (۲-۳۰) داریم:

$$q_u = c N_c \lambda_{cs} \lambda_{cd} + q N_q \lambda_{qs} \lambda_{qd} + \frac{1}{2} \gamma B N_\gamma \lambda_{\gamma s} \lambda_{\gamma d}$$

(۱) با استفاده از جدول ۵-۲ به ازاء $\phi = 25^\circ$ ، $\gamma = 10.66$ و $N_c = 20.72$ بدست می آیند. همچنین با استفاده از جدول ۷-۲ برای $\phi = 25^\circ$ ، مقدار $N_\gamma = 10.88$ بدست آمده و ضرایب شکل دبیر به صورت زیر محاسبه می گردند:

$$\lambda_{cs} = 1 + \left(\frac{N_q}{N_c} \right) \left(\frac{B}{L} \right) = 1 + \left(\frac{10.66}{20.72} \right) \left(\frac{0.6}{1.2} \right) = 1.257$$

$$\lambda_{qs} = 1 + \left(\frac{B}{L} \right) \tan \phi = 1 + \left(\frac{0.6}{1.2} \right) \tan 25 = 1.233$$

$$\lambda_{\gamma s} = 1 - 0.4 \left(\frac{B}{L} \right) = 1 - 0.4 \left(\frac{0.6}{1.2} \right) = 0.8$$

ضرایب عمق هانسن به صورت زیر می باشند:

$$\lambda_{cd} = 1 + 0.4 \left(\frac{D_f}{B} \right) = 1 + 0.4 \left(\frac{0.6}{0.6} \right) = 1.4$$

$$\lambda_{qd} = 1 + 2 \tan \phi (1 - \sin \phi)^2 \left(\frac{D_f}{B} \right) = 1 + 2 (\tan 25) (1 - \sin 25)^2 \left(\frac{0.6}{0.6} \right) = 1.155$$

$$\lambda_{\gamma d} = 1$$

بنابراین:

$$q_u = (48)(20.72)(1.257)(1.4) + (0.6)(18)(10.66)(1.233)(1.155) + \frac{1}{2}(18)(0.6)(10.88)(0.8)(1) \\ = 1750.2 + 163.96 + 47 \approx 1961\text{ kN/m}^2$$

(۲) با رجوع به جدول ۵-۲ به ازاء $\phi = 25^\circ$ ، $\gamma = 6.77$ و $N_c = 20.72$ ، $N_q = 10.66$ و $N_\gamma = 6.77$ بدست می آیند. حال با رجوع به جدول ۷-۲ ضرایب شکل و عمق مايرهوف به صورت زیر خواهد بود:

$$\lambda_{cs} = 1 + 0.2 \left(\frac{B}{L} \right) \tan^2 \left(45 + \frac{\Phi}{2} \right) = 1 + 0.2 \left(\frac{0.6}{1.2} \right) \tan^2 \left(45 + \frac{25}{2} \right) = 1.246$$

$$\lambda_{qs} = \lambda_{\gamma s} = 1 + 0.1 \left(\frac{B}{L} \right) \tan^2 \left(45 + \frac{\Phi}{2} \right) = 1 + 0.1 \left(\frac{0.6}{1.2} \right) \tan^2 \left(45 + \frac{25}{2} \right) = 1.123$$

$$\lambda_{cd} = 1 + 0.2 \left(\frac{D_f}{B} \right) \tan \left(45 + \frac{\Phi}{2} \right) = 1 + 0.2 \left(\frac{0.6}{0.6} \right) \tan \left(45 + \frac{25}{2} \right) = 1.314$$

$$\lambda_{qd} = \lambda_{\gamma d} = 1 + 0.1 \left(\frac{D_f}{B} \right) \tan \left(45 + \frac{\Phi}{2} \right) = 1 + 0.1 \left(\frac{0.6}{0.6} \right) \tan \left(45 + \frac{25}{2} \right) = 1.157$$

بنابراین:

$$q_u = 48 \times 20.72 \times 1.246 \times 1.314 + 0.6 \times 18 \times 10.66 \times 1.123 \times 1.157 \\ + \frac{1}{2} \times 18 \times 0.6 \times 6.77 \times 1.123 \times 1.157 = 1628.3 + 149.6 + 47.7 = 1825.6 \text{kN/m}^2$$

۱۳-۲ | ظرفیت باربری مجاز نسبت به گسیختگی

ظرفیت باربری مجاز یک فونداسیون مشخص (الف) فونداسیون را در برابر گسیختگی ظرفیت باربری محافظت نموده و (ب) اطمینان حاصل می نماید که فونداسیون متحمل نشستهای نامطلوب نمی شود. سه تعریف برای ظرفیت باربری مجاز نسبت به گسیختگی ظرفیت باربری وجود دارد که عبارتند از:

• ظرفیت باربری مجاز کل:

ظرفیت باربری مجاز کل به صورت زیر تعریف می شود:

$$q_{all} = \frac{q_u}{FS} \quad (35-2)$$

به طوری که

$$q_{all} = \text{ظرفیت باربری مجاز کل}$$

$$FS = \text{ضریب ایمنی}$$

در اکثر مواقع ضریب اطمینان ۳ تا ۴ قابل قبول خواهد بود.

• ظرفیت باربری مجاز خالص:

ظرفیت باربری مجاز خالص، بار نهایی واحد سطح فونداسیون است که خاک می تواند علاوه بر وزن فونداسیون و فشار ناشی از خاک های اطراف تحمل نماید. اگر اختلاف بین وزن واحد حجم بتن فونداسیون و وزن واحد حجم خاک اطراف را در نظر نگیریم، آنگاه:

$$q_{u(net)} = q_u - q \quad (36-2)$$

چنان که:

$$q = \gamma D_f$$

ظرفیت باربری نهایی خالص

حال ظرفیت باربری مجاز خالص را به صورت زیر می توان تعریف نمود:

$$q_{all(net)} = \frac{q_u(net)}{FS} \quad (37-2)$$

استفاده از ضریب اطمینان ۳ تا ۴ در معادله پیشین به طور کلی رضایت بخش خواهد بود.

• ظرفیت باربری مجاز نسبت به گسیختگی برشی، $q_{all(shear)}$

در این حالت یک ضریب اطمینان در مقابل گسیختگی برشی $FS_{(shear)}$ که می تواند در محدوده $1/3$ تا $1/6$ باشد انتخاب می گردد. برای محاسبه $q_{all(shear)}$ می توان به صورت زیر عمل نمود:

۱. چسبندگی تعديل یافته، c_d و زاویه اصطکاک تعديل یافته ϕ_d را به صورت زیر بدست آورید:

$$c_d = \frac{c}{FS_{(shear)}} \quad (38-2)$$

$$\phi_d = \tan^{-1} \left[\frac{\tan \phi}{FS_{(shear)}} \right] \quad (39-2)$$

۲. حال می توان ظرفیت باربری های نهایی کل و خالص را نسبت به گسیختگی برشی به صورت زیر محاسبه نمود:

$$q_{all(shear)-gross} = c_d N_c \lambda_{cs} \lambda_{cd} + q N_q \lambda_{qs} \lambda_{qd} + \frac{1}{2} \gamma B N_\gamma \lambda_{\gamma s} \lambda_{\gamma d} \quad (40-2)$$

$$q_{all(shear)-net} = q_{all(shear)-gross} - q = c_d N_c \lambda_{cs} \lambda_{cd} + q (N_q - 1) \lambda_{qs} \lambda_{qd} + \frac{1}{2} \gamma B N_\gamma \lambda_{\gamma s} \lambda_{\gamma d} \quad (41-2)$$

به طوری که N_c, N_q و N_γ ضرایب ظرفیت باربری هستند که با استفاده از زاویه اصطکاک تعديل یافته ϕ_d بدست آمده اند.

مثال ۲

با رجوع به مسئله ۱-۲-الف موارد زیر را بدست آورید:

الف. ظرفیت باربری مجاز کل. فرض نمایید $FS = 4$

ب. ظرفیت باربری مجاز خالص. فرض نمایید $FS = 4$

ج. ظرفیت باربری مجاز کل و خالص نسبت به گسیختگی برشی. فرض نمایید $FS_{(shear)} = 1.5$

حل مسئله



الف. با توجه به مثال ۱-۲-الف، $q_u = 1961 \text{ kN/m}^2$

$$q_{all} = \frac{q_u}{FS} = \frac{1961}{4} \approx 490 \text{ kN/m}^2$$

ب.

$$q_{all(net)} = \frac{q_u - q}{FS} = \frac{1961 - 0.6 \times 18}{4} \approx 488 \text{ kN/m}^2$$

ج.

$$c_d = \frac{c}{FS_{(shear)}} = \frac{48}{1.5} = 32 \text{ kN/m}^2$$

$$\phi_d = \tan^{-1} \left[\frac{\tan \phi}{FS_{(shear)}} \right] = \tan^{-1} \left(\frac{\tan 25}{1.5} \right) = 17.3^\circ$$

به ازاء $N_\gamma = 3.6$ (جدول ۵-۲) و $N_q = 4.8$ ، $N_c = 12.5$ ، $\phi = 17.3^\circ$

$$\lambda_{cs} = 1 + \left(\frac{N_q}{N_c} \right) \left(\frac{B}{L} \right) = 1 + \left(\frac{4.8}{12.5} \right) \left(\frac{0.6}{1.2} \right) = 1.192$$

$$\lambda_{qs} = 1 + \left(\frac{B}{L} \right) \tan \phi_d = 1 + \left(\frac{0.6}{1.2} \right) \tan 17.3 = 1.156$$

$$\lambda_{\gamma s} = 1 - 0.4 \left(\frac{B}{L} \right) = 1 - 0.4 \left(\frac{0.6}{1.2} \right) = 0.8$$

$$\lambda_{cd} = 1 + 0.4 \left(\frac{D_f}{B} \right) = 1 + 0.4 \left(\frac{0.6}{0.6} \right) = 1.4$$

$$\begin{aligned} \lambda_{qd} &= 1 + 2 \tan \phi (1 - \sin \phi)^2 \left(\frac{D_f}{B} \right) \\ &= 1 + (2)(\tan 17.3)(1 - \sin 17.3) \left(\frac{0.6}{0.6} \right) = 1.308 \end{aligned}$$

$$\lambda_{\gamma d} = 1$$

با استفاده از معادله (۴۰-۲) ،

$$\begin{aligned} q_{all(shear)-gross} &= c_d N_c \lambda_{cs} \lambda_{cd} + q N_q \lambda_{qs} \lambda_{qd} + \frac{1}{2} \gamma B N_\gamma \lambda_{\gamma s} \lambda_{\gamma d} \\ &= (32)(12.5)(1.192)(1.4) + (0.6)(18)(4.8)(1.156) \times (1.308) + \frac{1}{2}(18)(0.6)(3.6)(0.8)(1) \end{aligned}$$

$$667.5 + 78.4 + 15.6 = 761.5 \text{ kN/m}^2$$

با استفاده از معادله (۴۱-۲)

$$q_{all(shear)-net} = 761.5 - q = 761.5 - (0.6)(18) \approx 750.7 \text{ kN/m}^2$$

مثال:

نشان دهید که در فونداسیون های نواری قرار گرفته در روی رس اشباع، ظرفیت باربری مجاز خالص تقریباً برابر با مقاومت فشاری تک محوره رس است. (در ضرایب شکل و عمق مایرهوف استفاده نمایید)

حل مسئله:



در رس اشباع داریم:

$$c = c_u$$

$$\phi = \phi_u = 0 \rightarrow \begin{cases} N_c = 5.14 \\ N_q = 1 \\ N_\gamma = 0 \end{cases}$$

با جایگزینی ضرایب فوق در معادله عمومی ظرفیت باربری مایرهوف داریم:

$$q_u = cN_c \lambda_{cs} \lambda_{cd} + qN_q \lambda_{qs} \lambda_{qd} + 0.5\gamma BN_\gamma \lambda_{ys} \lambda_{yd} = 5.14c_u \lambda_{cs} \lambda_{cd} + q\lambda_{qs} \lambda_{qd}$$

در فونداسیون های نواری ضرایب شکل برابر یک بوده و ضرایب عمق مایرهوف نیز برابر است با:

$$\lambda_{qd} = \lambda_{yd} = 1$$

$$\lambda_{cd} = 1 + 0.2 \frac{D_f}{B}$$

بنابراین معادله اصلاح شده ظرفیت باربری نهایی فونداسیون های نواری قرار گرفته در روی رس اشباع به صورت زیر خواهد بود:

$$q_u = 5.14c_u \left(1 + 0.2 \frac{D_f}{B} \right) + \gamma D_f$$

با توجه به رابطه ظرفیت باربری خالص داریم:

$$q_{net} = q_u - \gamma D_f = 5.14c_u \left(1 + 0.2 \frac{D_f}{B} \right)$$

چنانچه ظریب اطمینان را ۳ در نظر بگیریم و همچنین با توجه به اینکه $c_u = \frac{S_u}{2}$ مقاومت تک محوری رس اشباع) می

باشد داریم:

$$q_{net(all)} = \frac{5.14}{3} \times \frac{S_u}{2} \left(1 + 0.2 \frac{D_f}{B} \right)$$

در اکثر فونداسیون های نواری عمق استقرار فونداسیون کمتر از عرض آن است به عبارت دیگر $\frac{D_f}{B} = 1$. چنانچه $\frac{D_f}{B} \leq 1$. نظر بگیریم آنگاه با جایگزاری در معادله فوق داریم:

$$q_{net(all)} = \frac{5.14 \times 1.2}{6} S_u \approx S_u$$

مثال :

برای یک فونداسیون نواری با پارامترهای زیر، ظرفیت باربری مجاز q_{all} برای واحد سطح فونداسیون را با استفاده از نظریه ظرفیت باربری ترزاقی و ضریب اطمینان ۳ محاسبه نمایید. برای تمام حالات فرض کنید که گسیختگی برشی کلی رخ می دهد.

$\gamma = 16.8 \text{kN/m}^3$	$c = 14 \text{kN/m}^2$	$\phi = 28^\circ$	$D_f = 0.7 \text{m}$	$B = 0.8 \text{m}$	(الف)
$\gamma = 18.2 \text{kN/m}^3$	$c = 14.2 \text{kN/m}^2$	$\phi = 20^\circ$	$D_f = 0.5 \text{m}$	$B = 1.2 \text{m}$	(ب)
$\gamma = 16.98 \text{kN/m}^3$	$c_u = 35.9 \text{kN/m}^2$	$\phi = 0^\circ$	$D_f = 0.62 \text{m}$	$B = 9.62 \text{m}$	(پ)
$\gamma = 19.2 \text{kN/m}^3$	$c = 0$	$\phi = 40^\circ$	$D_f = 3 \text{m}$	$B = 3.5 \text{m}$	(ت)
$\gamma = 18 \text{kN/m}^3$	$c_u = 48 \text{kN/m}^2$	$\phi = 0$	$D_f = 0.6 \text{m}$	$B = 0.8 \text{m}$	(ث)

حل مسئله: 

با توجه به رابطه ظرفیت باربری ترزاوی $q_u = cN_c + qN_q + \frac{1}{2}\lambda BN_\gamma$ داریم

(الف)

$$\phi = 28^\circ \rightarrow N_c = 31.61, N_q = 17.81, N_\gamma = 13.7$$

$$q_{all} = \frac{q_u}{FS} = \frac{1}{3} \left[(14)(31.61) + (0.7 \times 16.8)(17.81) + \frac{1}{2}(16)(0.8)(13.7) \right] = 248 \text{ kN/m}^2$$

(ب)

$$\phi = 20^\circ \rightarrow N_c = 17.69, N_q = 7.44, N_\gamma = 3.64$$

$$q_{all} = \frac{q_u}{FS} = \frac{1}{3} \left[(14.2)(17.69) + (0.5 \times 18.2)(7.44) + \frac{1}{2}(18.2)(1.2)(3.64) \right] = 119.6 \text{ kN/m}^2$$

(پ)

$$\phi = 0 \rightarrow N_c = 5.7, N_q = 1, N_\gamma = 0$$

$$q_{all} = \frac{q_u}{FS} = \frac{1}{3} [c_u N_c + q] = \frac{1}{3} [35.9 \times 5.7 + 0.62 \times 16.98] = 71.72 \text{ kN/m}^2$$

(ت)

$$\phi = 40^\circ \rightarrow N_q = 81.27, N_\gamma = 115.31$$

$$q_{all} = \frac{q_u}{FS} = \frac{1}{3} \left[(3 \times 19.2)(81.27) + \frac{1}{2}(19.2)(3.5)(115.31) \right] = 2851.856 \text{ kN/m}^2$$

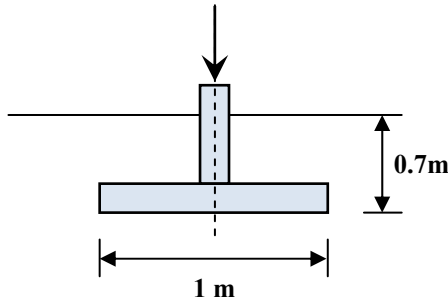
(ث)

$$\phi = 0 \rightarrow N_c = 5.7, N_q = 1, N_\gamma = 0$$

$$q_{all} = \frac{q_u}{FS} = \frac{1}{3} [(48)(5.7) + (0.6)(18)] = 94.8 \text{ kN/m}^2$$

مثال: 

یک فونداسیون نواری صلب به عرض ۱ متر در عمق ۰/۷ متر نسبت به سطح زمین قرار گرفته است. ظرفیت باربری مجاز خاک را با استفاده از نظریه ظرفیت باربری ترزاوی با در نظر داشتن ضریب اطمینان ۳ برای حالات زیر محاسبه نمایید.



(الف) ماسه با تراکم متوسط و زاویه اصطکاک زهکشی شده $\phi = 30^\circ$

(ب) ماسه متراکم با زاویه اصطکاک زهکشی شده $\phi = 38^\circ$

حل (الف)

در این حالت گسیختگی از نوع برشی کلی یا عمومی خواهد بود.

$$c = 0 \rightarrow q_u = qN_q + 0.5\gamma BN_\gamma$$

$$\phi = 0 \rightarrow N_q = 61.55, N_\gamma = 78.61$$

$$q_u = 0.7 \times 18.6 \times 61.55 + 0.5 \times 18.6 \times 1 \times 78.61 = 1532.454 \text{ kN/m}^2$$

$$q_{\text{all}} = \frac{q_u}{3} = \frac{1532.454}{3} = 510.8 \text{kN/m}^2 = 5.1 \text{kg/cm}^2$$

حل (ب) ماسه با تراکم متوسط

در این حالت چون ماسه غیر متراکم است گسیختگی از نوع موضعی خواهد بود.

$$q'_u = qN'_q + 0.5\gamma BN'_\gamma$$

با استفاده از جدول مربوط به ضرایب اصلاح شده یا با استفاده از رابطه $\phi' = \arctan(0.67\phi)$ داریم:

$$N'_q = 8.31$$

$$N'_\gamma = 4.39$$

$$q'_u = 0.7 \times 18.6 \times 8.31 + 0.5 \times 18.6 \times 1 \times 4.39 = 149 \text{kN/m}^2 \rightarrow q_{\text{all}} = \frac{149}{3} = 49.67 = 0.49 \text{kg/cm}^2$$

با توجه به ظرفیت باربری های بدست آمده در حالت های (الف) و (ب) می توان مشاهده نمود که تعیین صحیح پارامترهای مقاومت برشی خاک و تشخیص نوع گسیختگی تاثیر قابل ملاحظه ای در مقدار ظرفیت باربری تخمین زده خاک دارد.

$$\frac{q_u}{q'_u} = \frac{510.8}{49.67} = 10.28$$

مثال:

فونداسیونی نواری به عرض $B = 1.4 \text{m}$ در سطح خاکی ماسه ای با زاویه اصطکاک $\phi = 36^\circ$ قرار گرفته است. مطلوب است محاسبه ظرفیت باربری خاک با استفاده از نظریه های ظرفیت باربری ترزاقی و مایرهوف.

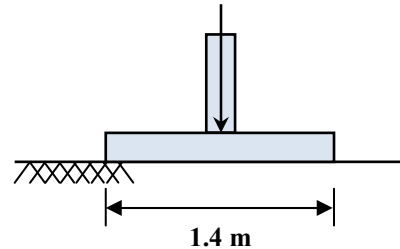
حل: با توجه به رابطه ظرفیت باربری ترزاقی داریم:

$$q_u = CN_c + qN_q + 0.5\gamma BN_\gamma$$

$$c = 0, q = 0 \rightarrow q_u = 0.5\gamma BN_\gamma$$

$$\phi = 36^\circ \rightarrow N_\gamma = 54.36$$

$$q_u = 0.5\gamma BN_\gamma = 0.5 \times 19 \times 1.4 \times 54.36 = 723 \text{kN/m}^2$$



رابطه عمومی ظرفیت باربری مایرهوف به صورت زیر است:

$$q_u = CN_c \lambda_{cs} \lambda_{cd} + qN_q \lambda_{qs} \lambda_{qd} + 0.5\gamma BN_\gamma \lambda_{\gamma s} \lambda_{\gamma d}$$

$$c = 0, q = 0 \rightarrow q_u = 0.5\gamma BN_\gamma \lambda_{\gamma s} \lambda_{\gamma d}$$

فونداسیون نواری $\rightarrow \lambda_{\gamma s=1}$

$$D_f = 0 \rightarrow \lambda_{\gamma d} = 1 + 0.1 \left(\frac{D_f}{B} \right) \tan \left(45 + \frac{\Phi}{2} \right) = 1 + 0.1 \left(\frac{0}{1.4} \right) \tan \left(45 + \frac{36}{2} \right) = 1$$

فونداسیون قرار گرفته در سطح ۱

$$\rightarrow q_u = 0.5\gamma BN_\gamma$$

$$\phi = 36^\circ = 44.43 \rightarrow q_u = 0.5 \times 19 \times 1.4 \times 44.43 = 591 \text{kN/m}^2 = 5.91 \text{kg/cm}^2$$

مثال :

مسئله قبل را برای حالتی حل نمایید که عمق استقرار فونداسیون $D_f = 1m$ می باشد.
حل:

برای رابطه ترزاوی داریم:

$$\phi = 36^\circ \rightarrow N_q = 47.16, N_\gamma = 54.36$$

$$q_u = qN_q + 0.5\gamma BN_\gamma = 1 \times 19 \times 47.16 + 0.5 \times 19 \times 1.4 \times 54.36 = 1619 \text{ kN/m}^2 = 16.19 \text{ kg/cm}^2$$

ظرفیت باربری مایرهوف:

$$q_u = qN_q \lambda_{qd} + 0.5\gamma BN_\gamma \lambda_{\gamma d}$$

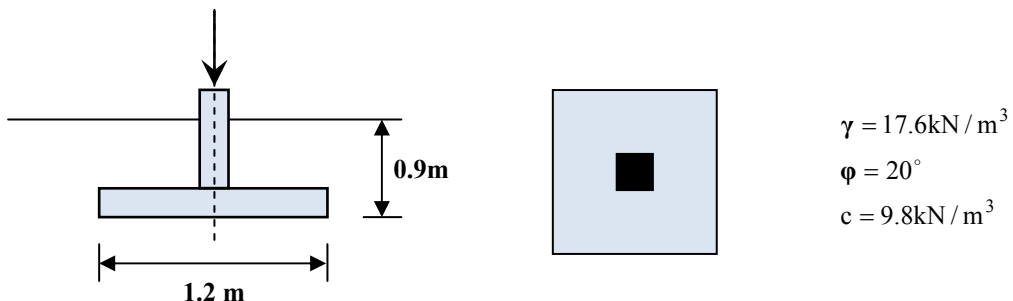
$$\lambda_{qd} = \lambda_{\gamma d} = 1 + 0.1 \left(\frac{D_f}{B} \right) \tan \left(45 + \frac{\Phi}{2} \right) = 1 + 0.1 \left(\frac{1}{1.4} \right) \tan \left(45 + \frac{36}{2} \right) = 1.14$$

$$\phi = 36^\circ \rightarrow N_q = 37.75, N_\gamma = 44.43$$

$$q_u = 1 \times 19 \times 37.75 \times 1.14 + 0.5 \times 19 \times 1.4 \times 44.43 \times 1.14 = 817.66 + 673.67 = 1491.33 \text{ kN/m}^2 = 14.91 \text{ kg/cm}^2$$

مثال :

نمای یک فونداسیون مربع به ابعاد $1.2m \times 1.2m$ در شکل زیر نشان داده شده است. مطلوب است تعیین بار مجاز کلی Q_{all} قابل حمل توسط فونداسیون با استفاده از رابطه ظرفیت باربری ترزاوی.



$$q_u = 1.3cN_c + qN_q + 0.4\gamma BN_\gamma$$

$$\phi = 20^\circ \rightarrow N_c = 17.96, N_q = 7.44, N_\gamma = 3.64$$

$$q_u = (1.3)(9.8)(17.96) + (0.9)(17.6)(7.44) + (0.4)(17.6)(1.2)(3.64) = 374 \text{ kN/m}^2$$

$$q_{all} = \frac{q_u}{3} = \frac{374}{3} = 124.67 \text{ kN/m}^2$$

$$Q_{all} = q_{all} \times A = 124.67 \times 1.2 \times 1.2 = 179.52 \text{ kN}$$

مثال :

مطلوب است محاسبه ظرفیت باربری نهایی خالص یک فونداسیون مستطیل شکل به ابعاد $2m \times 4m$ در عمق ۲ متری در خاک رس اشباع با $c_u = 15 \text{ kPa}$. از رابطه ظرفیت باربری مایرهوف استفاده نمایید.

حل:

$$q_u = cN_c \lambda_{cs} + qN_q \lambda_{qs} + 0.5\gamma BN_\gamma \lambda_{\gamma s} + \lambda_{qd}$$

$$\varphi = 0 \rightarrow N_c = 5.14, N_q = 1, N_\gamma = 0$$

$$\lambda_{cs} = 1 + 0.2 \left(\frac{B}{L} \right)$$

$$\lambda_{qs} = \lambda_{\gamma s} = 1$$

$$\lambda_{qd} = 1 + 0.2 \left(\frac{D_f}{B} \right)$$

$$\lambda_{qd} = \lambda_{\gamma d} = 1$$

$$q_u = 5.14c_u \left(1 + 0.2 \frac{B}{L} \right) \left(1 + 0.2 \frac{D_f}{B} \right) + q$$

$$q_{net} = q_u - q = 5.14c_u \left(1 + 0.2 \frac{B}{L} \right) \left(1 + 0.2 \frac{D_f}{B} \right) = (5.14)(15) \left(1 + 0.2 \times \frac{2}{4} \right) \left(1 + 0.2 \times \frac{2}{2} \right) = 101.772 \text{ kN/m}^2 \approx 1 \text{ kg/cm}^2$$

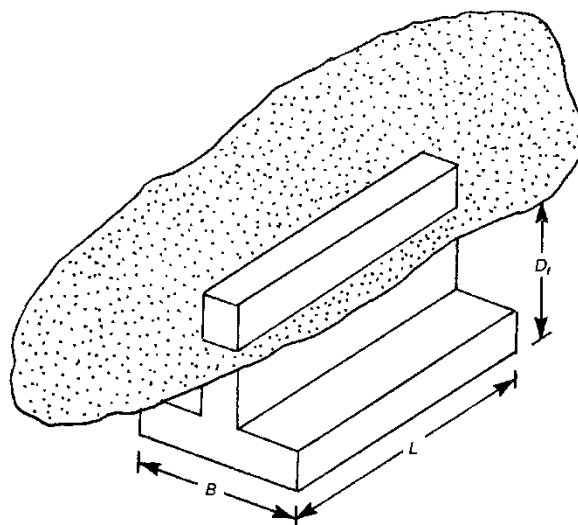
۱۴-۲ منابع و مراجع



۱. فونداسیون های سطحی، ظرفیت باربری و نشست، تالیف: براجا ام. داس، ترجمه: عبدالمتین ستایش، رحمان محسنی آستانی، مقداد رمضانزاده بادلی.
۲. مهندسی پی، طراحی و اجرا، تالیف: دکتر ابوالفضل اسلام، نشریه شماره ک-۴۳۷ چاپ اول، ۱۳۸۵.
3. Bearing capacity of soils, S. K. Prasad., S. J. College of Engineering, Mysore
4. Bowles, J. E. (1977) "Foundation Analysis and Design", Mc Graw Hill Publications, New York.
5. Das, B. M. (2007) "Principles of Foundation Engineering", Thomson India Edition, New Delhi.

فصل ۳:

ظرفیت باربری فونداسیون های سطحی تحت بارهای مایل و برون محور



جزوه درس مهندسی پی (کارشناسی عمران)

استاد: عبدالمتین ستایش



برای ارسال نظرات و پیشنهادات به سایت شخصی اینجانب رجوع نموده و یا نظرات و یا پیشنهادات خود را به

آدرس پست الکترونیک زیر ارسال نمایید:

Website: www.AMS.ir. Email: a_matin_s@yahoo.com

ویرایش اردیبهشت ۹۰ (ویرایش اول)

۱-۳ | مقدمه

به خاطر لنگرهای خمشی و نیروهای افقی که از روسازه به فونداسیون انتقال می‌یابد، فونداسیون‌های سطحی در اکثر موقع در معرض بارهای مایل و برون محور قرار دارند. در چنین شرایطی لازم است که اصلاحاتی در تئوری‌های ظرفیت باربری نهایی ارائه شده در فصل ۲ انجام گیرد که این مسئله موضوع بحث ما در این فصل خواهد بود.

۲-۳ | فشار تماسی بین خاک و فونداسیون

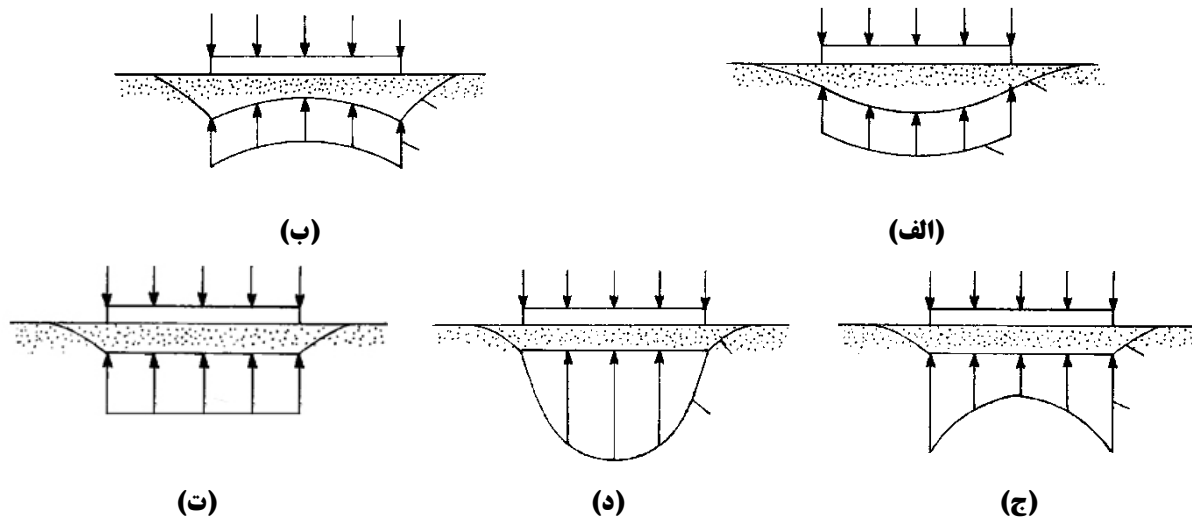
یکی از مهمترین پارامترهایی که اندرکنش پی سطحی و خاک زیر آن را تعریف می‌کند فشار تماسی بین خاک و پی می‌باشد. اگرچه جمع فشار تماسی در کف پی سطحی باید معادل نیروی وارده از پی به خاک باشد، ولی ضرورتاً توزیع فشار تماسی نباید یکنواخت باشد. مطالعات تحلیلی و اندازه‌گیری‌های محلی دلالت بر این دارند که توزیع واقعی فشار تماسی به پارامترهای زیادی از جمله موارد زیر بستگی دارد:

- خروج از مرکزیت بار (در صورت وجود بار خارج از مرکز و یا لنگر روی پی)
- صلبیت سازه ای پی
- ویژگی‌های تنش کرنش خاک
- زبری کف و اطراف پی

شکل ۱-۳ توزیع فشار تماسی را در کف پی‌های سطحی تحت بار قائم مرکزی را نشان می‌دهد. پی‌های انعطاف‌پذیر کامل به گونه‌ای خم شده تا فشار یکنواختی در زیر آن‌ها حاصل گردد (اشکال ۱-۳-الف و ۱-۳-ب) در حالی که پی‌های صلب کامل به طور یکنواخت نشست نموده ولی توزیع غیر یکنواخت تنش را به همراه دارند (اشکال ۱-۳-ج، ۱-۳-د). پی‌های منفرد سطحی خیلی نزدیک به حالت صلب عمل نموده، و در این صورت توزیع تنش فشاری در زیر آن‌ها یکنواخت نیست. اما تحلیل باربری و نیز نشست بر اساس توزیع تنش واقعی خیلی پیچیده بوده و بنابراین توزیع تنش را معمولاً در محاسبات جهت سهولت، یکنواخت در نظر گرفته (شکل ۱-۳-ت) کما اینکه در مجموع تغییر چندانی در مقادیر انتقالی پارامترهای طراحی در مقاطع بحرانی جهت طراحی به وجود نیامده و خطاهای حاصل از این ساده سازی چندان بزرگ نیست.

پی‌های گسترده دارای نسبت خیلی کوچک ضخامت به عرض بوده و بنابراین خیلی انعطاف‌پذیرتر از پی‌های منفرد و یا مرکب سطحی می‌باشند. از آنجا که برای پی‌های گسترده نیاز به ارزیابی مفصل تر تنش‌ها و نیز جزئیات کامل تر می‌لگردگذاری می‌باشد. بنابراین لزوم یافتن توزیع واقعی تر و دقیق تر تنش در زیر پس گسترده مطرح است.

معمولًاً در تحلیل پی‌های سطحی از اصطکاک جداری در اطراف پی صرف نظر شده و تمامی بار به کف منتقل شده که در نتیجه تحلیل پی‌های سطحی و عمیق را از یکدیگر متمایز می‌سازد.



شکل ۳-۱ توزیع تنش در زیر فونداسیون های سطحی تحت بار قائم مرکزی (الف) پی انعطاف پذیر بر روی رس (ب) پی انعطاف پذیر در ماسه (ج) پس صلب در رس (د) پس صلب در ماسه (ت) حالت ساده شده

الف) فشار تماسی در حالت بار قائم مرکزی

فشار تماسی یا لهیدگی در کف پس سطحی در بارگذاری قائم بدون خروج از مرکزیت به صورت زیر بدست می آید:

$$q = \frac{Q + W_f}{A} \quad (1-3)$$

q = فشار تماسی

Q = بار قائم روی فونداسیون

W_f = وزن فونداسیون و خاک روی آن

A = سطحی کف فونداسیون

ب) فشار تماسی در حالت بار خروج از مرکز یا لنگر روی پی

در این حالت توزیع فشار قائم کف فونداسیون یکنواخت نیست و با فرض توزیع خطی، مقدار آن را می توان از روابط مقاومت مصالح به صورت زیر محاسبه نمود:

$$q_{\max} = \frac{Q}{BL} + \frac{6M}{B^2 L} \quad (2-3)$$

$$q_{\min} = \frac{Q}{BL} - \frac{6M}{B^2 L} \quad (3-3)$$

که در این روابط:

Q = بار قائم روی فونداسیون

M = لنگر وارد بر فونداسیون

L, B = طول و عرض فونداسیون

مطابق شکل ۲-۳، تک نیرو و لنگر را می‌توان طبق رابطه زیر به یک نیروی تنها معادل با برون محوری e تبدیل نمود:

$$e = \frac{M}{Q} \quad (4-3)$$

با قرار دادن مقدار فوق در معادلات ۲-۳ و ۳-۳ به دست می‌آید:

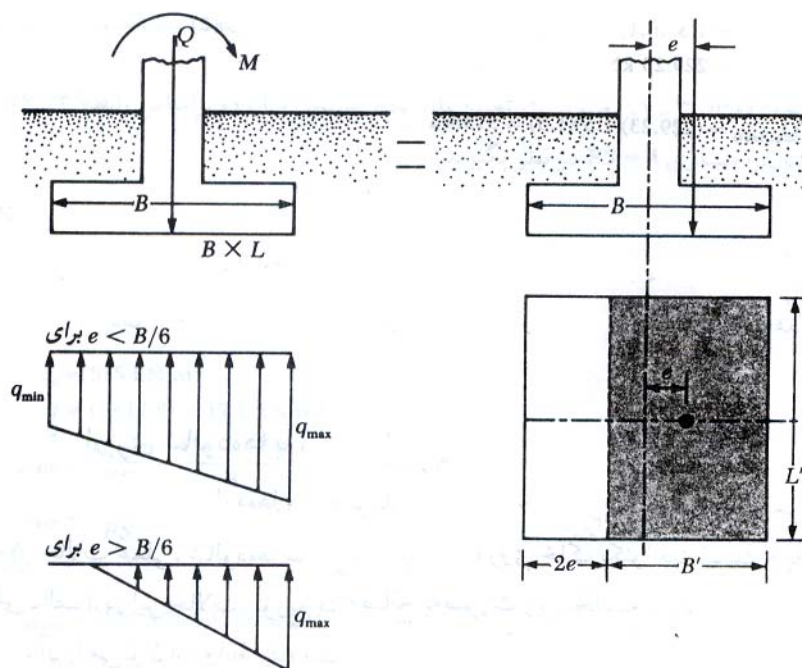
$$q_{\max} = \frac{Q}{BL} \left(1 + \frac{6e}{B} \right) \quad (5-3)$$

$$q_{\max} = \frac{Q}{BL} \left(1 - \frac{6e}{B} \right) \quad (6-3)$$

در معادلات فوق اگر برون محوری e مساوی $B/6$ شود، مقدار q_{\min} مساوی صفر می‌شود. برای $e > B/6$ مقدار منفی می‌شود که نشان دهنده کشش در سطح تماس است. از آنجایی که در سطح تماس، امکان مقاومت کششی وجود ندارد، بین شالوده و زمین جدایی رخ می‌دهد که اصطلاحاً به آن منطقه بدون فشار می‌گویند. برای این حالت با نوشته تعادل نیروها در امتداد قائم، مقدار q_{\max} مطابق رابطه زیر به دست می‌آید:

$$q_{\max} = \frac{4Q}{3L(B-2e)} \quad (7-3)$$

توجه شود که در صورت وجود لنگر در راستای طولی فونداسیون، در روابط قبلی به جای B از L استفاده می‌شود.



شکل ۲-۳ شالوده با برون محوری

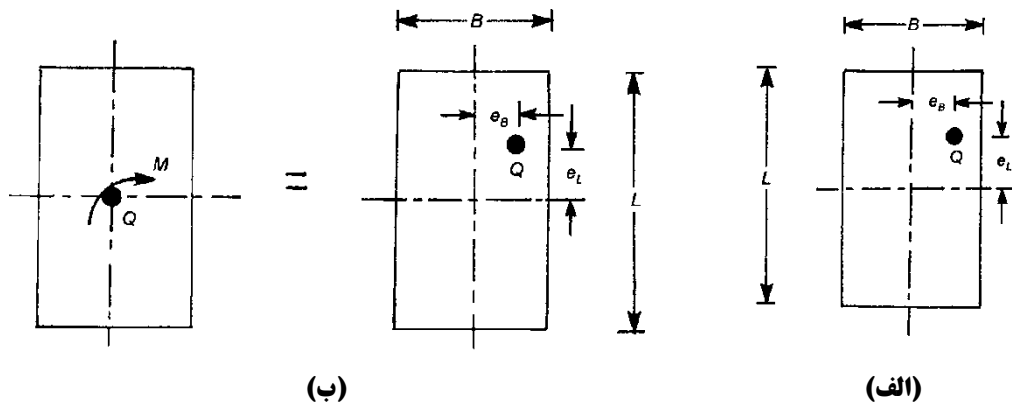
پی تحت لنگر دو طرفه

در بعضی موارد، فونداسیون تحت تاثیر یک بار قائم و لنگر خمی در دو جهت قرار داشته یا در عمل، ستون نسبت به پلان متقارن نبوده و باعث ایجاد خروج از مرکزیت در دو جهت می شود. در این حالت با توجه به شکل ۳-۳ برای فونداسیون مستطیلی داریم:

$$e_L = \frac{M_B}{Q} \quad \text{و} \quad e_B = \frac{M_L}{Q} \quad (8-3)$$

که در این رابطه M_L لنگر حول محور طول و M_B لنگر حول محور عرضی یا محور کوتاه تر فونداسیون می باشد. بدین ترتیب با داشتن خروج از مرکزیت های آمده طبق روابط فوق می توان نوشت:

$$q = \frac{Q}{A} \pm \frac{M_B \cdot e_L}{I_B} \pm \frac{M_L \cdot e_B}{I_L} \rightarrow q = \frac{Q}{A} \left(1 \pm \frac{6e_L}{L} \pm \frac{6e_B}{B} \right) \quad (9-3)$$

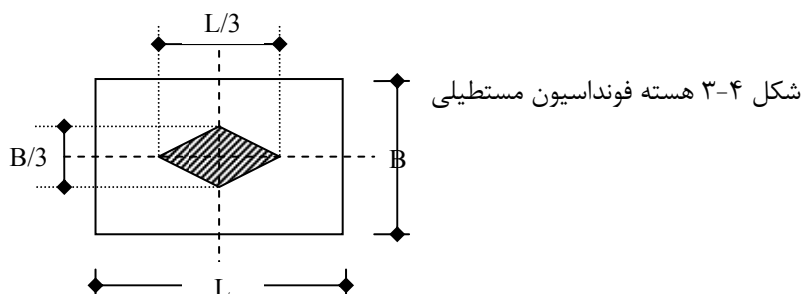


شکل ۳-۳ بار خارج از مرکز بر روی فونداسیون مستطیلی

در این حالت چنانچه بخواهیم تمام نقاط زیر فونداسیون در اثر بارگذاری فشاری قائم خارج از مرکز دو طرفه تحت تنش های فشاری قرار گیرند باید داشته باشیم:

$$\frac{6e_L}{L} \pm \frac{6e_B}{B} \leq 1 \quad (10-3)$$

ناحیه فوق در روی فونداسیون یک لوزی به ابعاد $B/3$ و $L/3$ است که هسته مقطع (کرن^۱) نامیده می شود (شکل ۴-۳).



شکل ۴-۳ هسته فونداسیون مستطیلی

¹ Kern

| ۳-۳ فونداسیون تحت بار مایل |

معادله عمومی ظرفیت باربری نهایی یک فونداسیون مستطیلی را می توان طوری تعمیم داد که بارهای مایل را نیز شامل شود. در این حالت شکل عمومی این معادله به صورت زیر خواهد بود:

$$q_u = cN_c \lambda_{cs} \lambda_{cd} \lambda_{ci} + qN_q \lambda_{qs} \lambda_{qd} \lambda_{qi} + \frac{1}{2} \gamma BN_\gamma \lambda_{\gamma s} \lambda_{\gamma d} \lambda_{\gamma i} \quad (11-3)$$

پارامتر های این رابطه عبارتند از:

$$N_c, N_q, N_\gamma = \text{ضرایب ظرفیت باربری}$$

$$\lambda_{cs}, \lambda_{qs}, \lambda_{\gamma s} = \text{ضرایب شکل}$$

$$\lambda_{cd}, \lambda_{qd}, \lambda_{\gamma d} = \text{ضرایب عمق}$$

$$\lambda_{ci}, \lambda_{qi}, \lambda_{\gamma i} = \text{ضرایب شیب بار}$$

مایرهوف روابط زیر را برای محاسبه ضرایب شیب بار پیشنهاد نمود:

$$\lambda_{ci} = \lambda_{qi} = \left(1 - \frac{\alpha^\circ}{90^\circ} \right)^2 \quad (12-3)$$

$$\gamma_{\gamma i} = \left(1 - \frac{\alpha^\circ}{\Phi^\circ} \right)^2 \quad (13-3)$$

| ۳-۴ فونداسیون تحت بار برونو محور |

هنگامی که فونداسیونی نواری در معرض یک بار برونو محور قرار می گیرد، فرض بر این است که فشار تماسی به صورت خطی از پنجه تا پاشنه تغییر می یابد. البته در بار نهایی، فشار تماسی خطی نیست. در این بخش روابط مختلف تخمین ظرفیت باربری نهایی فونداسیون ها تحت بار برونو محور را مورد بررسی قرار می دهیم.

◀ (الف) روش سطح مؤثر

مایرهوف سطح مؤثر 'A' را به این صورت تعریف نمود: **سطح مؤثر حداقل سطح تماسی است که مرکز سطح آن با محل اعمال بار منطبق است.**

با توجه به مفهوم سطح مؤثر، عرض مؤثر 'B' را به صورت زیر تعریف می نماییم (شکل ۳-۵):

$$B' = B - 2e \quad (14-3)$$

چنان که e خروج از مرکزیت بار می باشد.

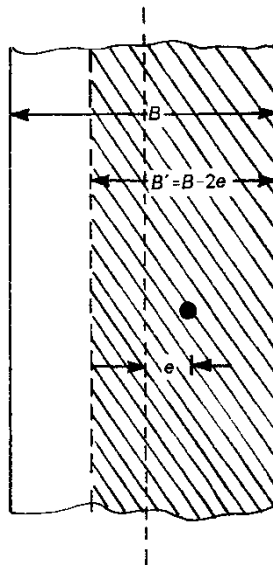
بر طبق این روش، ظرفیت باربری فونداسیون نواری را می توان با این فرض که بار به صورت هم محور بر عرض مؤثر نشان داده شده در شکل ۳-۵ عمل می نماید بدست آورد. بنابراین برای یک فونداسیون نواری با بارگذاری قائم داریم:

$$q_u = cN_c \lambda_{cd} + qN_q \lambda_{qd} + \frac{1}{2} \gamma B'N_\gamma \lambda_{\gamma d} \quad (15-3)$$

توجه شود که ضرایب شکل فونداسیون نواری برابر یک هستند. حال می توان بار نهایی بر واحد طول فونداسیون Q_u را به صورت زیر محاسبه نمود:

$$Q_u = q_u A' \quad (16-3)$$

که در رابطه فوق A' سطح مؤثر بوده و به صورت $B' \times 1 = B' \times 1$ تعریف می شود.



شکل ۳-۵ عرض مؤثر B'

مثال

фонداسیونی نواری با عرض 2 m را در نظر بگیرید. اگر $D_f = 1 m$ باشد، بار نهایی بر واحد طول فونداسیون را با استفاده از روش سطح موثر بدست آورید. پارامترهای خاک عبارتند از $\gamma = 17.5 \text{ kN/m}^3$, $\phi = 40^\circ$, $c = 0$. از ضرایب ظرفیت باربری و عمق مایرهوف استفاده نمایید.

حل مسئله:

به ازاء $c = 0$ با استفاده از معادله داریم:

$$q_u = q N_q \lambda_{qd} + \frac{1}{2} \gamma B' N_\gamma \lambda_{\gamma d}$$

$$B' = B - 2e = 2 - (2)(0.2) = 1.6 \text{ m}$$

با رجوع به جدول ضرایب ظرفیت باربری مایرهوف، $N_\gamma = 93.69$ و $N_q = 64.2$ بدست می آید. همچنین با توجه به ضرایب عمق مایرهوف داریم:

$$\lambda_{qd} = \lambda_{\gamma d} = 1 + 0.1 \left(\frac{D_f}{B} \right) \tan \left(45 + \frac{\Phi}{2} \right) = 1 + 0.1 \left(\frac{1}{2} \right) \tan \left(45 + \frac{40}{2} \right) = 1.107$$

$$q_u = (1 \times 17.5) (64.2) (1.107) + \frac{1}{2} (17.5) (1.6) (93.69) (1.107) = 2695.9 \text{ kN/m}^2$$

$$Q_u = (B' \times 1) q_u = (1.6) (2695.9) \approx 4313 \text{ kN/m}$$

• بار نهایی فونداسیون مستطیلی

روش سطح مؤثر مایر هو夫 که در بخش پیشین به آن پرداختیم را می‌توان طوری تعمیم داد که بتوان بار نهایی فونداسیون های مستطیلی با خروج از مرکزیت را با استفاده از آن بدست آورد. برای بارگذاری خارج از مرکز فونداسیون های مستطیلی همانطور که قبلاً اشاره شد داریم:

$$e_L = \frac{M_B}{Q} \quad (17-3)$$

۹

$$e_B = \frac{M_L}{Q} \quad (18-3)$$

به طوری که:

e_B = خروج از مرکزیت (برون محوری) بار در راستای عرض فونداسیون

e_L = خروج از مرکزیت بار در راستای طول فونداسیون

M_B = مؤلفه لنگر حول محور کوتاه تر فونداسیون

M_L = مؤلفه لنگر حول محور بلند تر فونداسیون

مطابق نظر مایر هو夫 ظرفیت باربری نهایی q_u و بار نهایی Q_u یک فونداسیون مستطیلی با بارگذاری خارج از مرکز (بار قائم) را می‌توان به صورت زیر بدست آورد:

$$q_u = c N_c \lambda_{cs} \lambda_{cd} + q N_q \lambda_{qs} \lambda_{qd} + \frac{1}{2} \gamma B' N_\gamma \lambda_{\gamma s} \lambda_{\gamma d} \quad (19-3)$$

۹

$$Q_u = (q_u) A'$$

به طوری که،

$B'L' = A'$ = سطح مؤثر

B' = عرض مؤثر

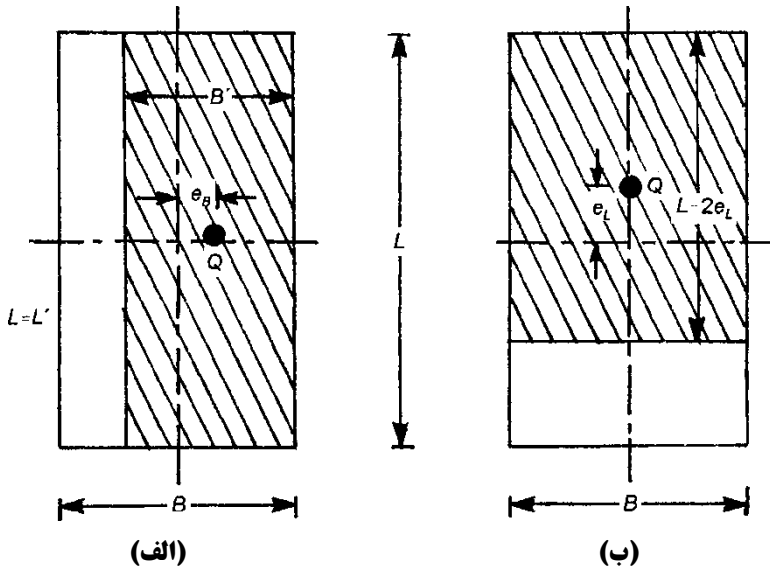
L' = طول مؤثر

توجه شود که در این روش برای محاسبه ضرایب شکل از ابعاد مؤثر و برای محاسبه ضرایب عمق از ابعاد اصلی استفاده می‌نماییم.

• خروج از مرکزیت تک محوره

برای خروج از مرکزیت تک محوره یعنی اگر $e_L = 0$ (شکل ۳-۶-الف)، آنگاه داریم:

$$B' = B - 2e_B ; L' = L ; A' = B'L \quad (20-3)$$



شکل ۳-۶ خروج از مرکزیت تک محوره فونداسیون

البته اگر $e_B = 0$ باشد (شکل ۳-۶-ب)، آنگاه $L - 2e_L$ را محاسبه می نماییم. بدین ترتیب سطح مؤثر برابر خواهد بود با:

$$A' = B(L - 2e_L) \quad (21-3)$$

عرض مؤثر B' ، مقدار کوچکتر از بین B یا $L - 2e_L$ خواهد بود.

• خروج از مرکزیت دو محوره

برای خروج از مرکزیت دو محوره به دو طریق می توان عمل نمود:

۱. استفاده از ابعاد اصلاح شده در رابطه پایه توان باربری.

در این حالت با محاسبه ابعاد مؤثر و با استفاده از رابطه پایه توان باربری به صورت زیر ظرفیت باربری را محاسبه می نماییم:

$$q_u = cN_c\lambda_{cs}\lambda_{cd} + qN_q\lambda_{qs}\lambda_{qd} + \frac{1}{2}\gamma B'N_\gamma\lambda_{\gamma s}\lambda_{\gamma d}$$

$$B' = \min(B - 2e_B, L - 2e_L)$$

$$\Rightarrow Q_u = q_u \times A' = q_u \times B' \times L'$$

۲. استفاده از نمودار های هایتر و آندرس.

در این حالت ابعاد مؤثر B' و L' را از طریق نمودارهای ارائه شده توسط هایتر و آندرس بدست می آوریم. چنانکه این محققین بیان نموده اند برای فونداسیون مستطیلی با خروج از مرکزیت دو محوره چهار حالت می تواند رخ دهد:

($e_B/B \geq 1/6$ و $e_L/L \geq 1/6$)

حالت ۱



این حالت در شکل ۷-۳ نشان داده شده است. برای این حالت:

$$B_1 = B \left(1.5 - \frac{3e_B}{B} \right) \quad (22-3)$$

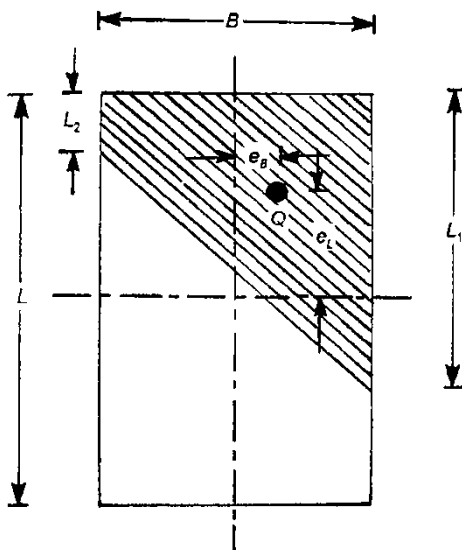
و

$$L_1 = L \left(1.5 - \frac{3e_L}{L} \right) \quad (23-3)$$

بنابراین سطح مؤثر برابر است با:

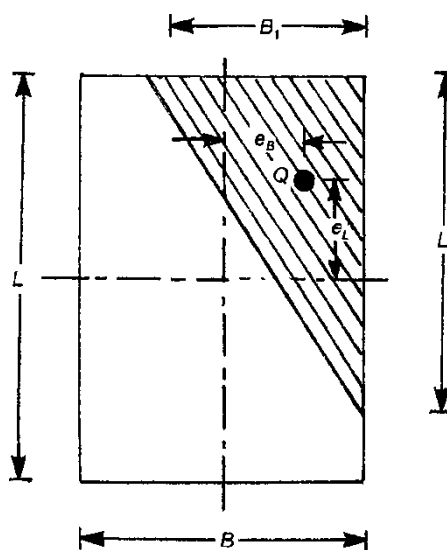
$$A' = \frac{1}{2} B_1 L_1 \quad (24-3)$$

عرض مؤثر' B' برابر است با مقدار کوچکتر B_1 یا L_1 ، به عبارت دیگر $B' = \min(B_1, L_1)$



شکل ۸-۳ سطح مؤثر در حالت

$$0 < e_B/B < 1/6 \text{ و } e_L/L < 0.5$$



شکل ۷-۳ سطح مؤثر در حالت

$$e_B/B \geq 1/6 \text{ و } e_L/L \geq 1/6$$

($0 < e_B/B < 1/6$ و $e_L/L < 0.5$)

حالت ۲

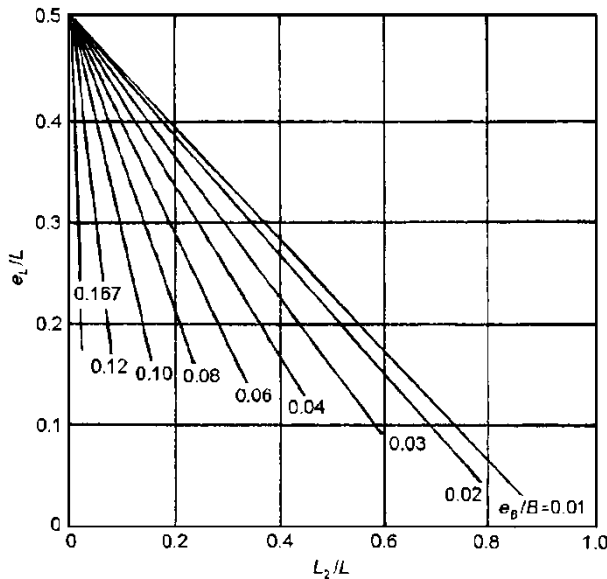


این حالت در شکل ۸-۴ نشان داده شده است با مشخص بودن مقادیر L ، e_B/B ، e_L/L و L_1/L_2 (و بنابراین L_1 و L_2) را می توان از طریق شکل های ۹-۳ و ۱۰-۳ بدست آورد. سطح مؤثر به صورت زیر بدست می آید:

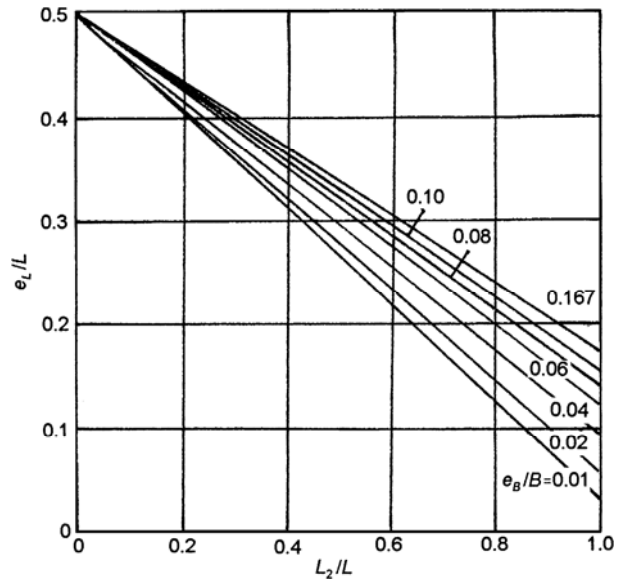
$$A' = \frac{1}{2} (L_1 + L_2) B \quad (25-3)$$

طول مؤثر' L' مقدار بزرگتر از بین L_1 یا L_2 خواهد بود. عرض مؤثر برابر است با:

$$B' = \frac{A'}{L'} \quad (26-3)$$



شکل ۳-۹ دیاگرام e_L/L در برابر L_2/L برای $e_L/L < 0.5$ و $0 < e_B/B < 1/6$



شکل ۳-۹ دیاگرام e_L/L در برابر L_1/L برای $e_L/L < 0.5$ و $0 < e_B/B < 1/6$

حالات ۳ ◀

حالات مورد بررسی در شکل ۱۱-۳ نشان داده شده است. با مشخص بودن مقادیر L و B مقادیر B_1 و B_2 را می توان از طریق اشکال ۱۲-۳ و ۱۳-۳ بدست آورد. بنابراین سطح مؤثر را می توان به صورت زیر بدست آورد:

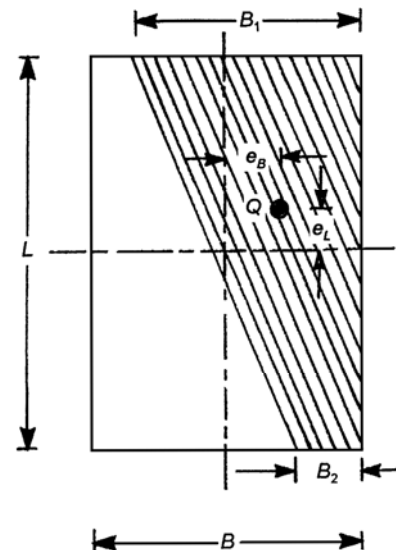
$$A' = \frac{1}{2}(B_1 + B_2)L \quad (27-3)$$

در این حالت طول مؤثر برابر است با:

$$L' = L \quad (28-3)$$

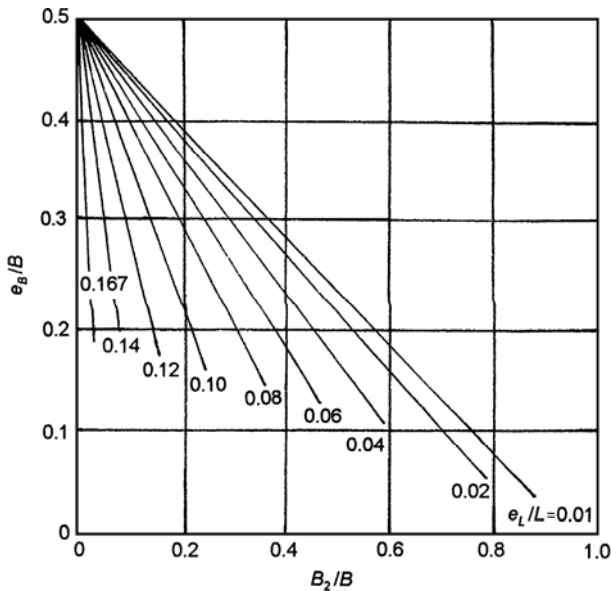
عرض مؤثر را به صورت زیر می توان بدست آورد:

$$B' = \frac{A'}{L} \quad (29-3)$$

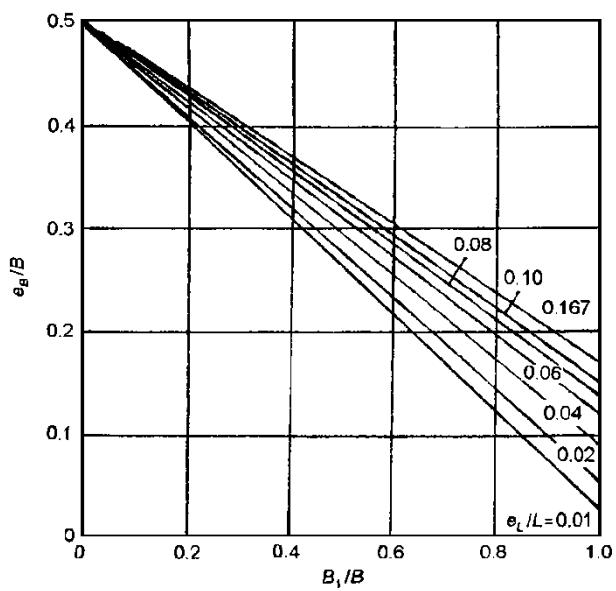


شکل ۱۱-۳ سطح مؤثر برای حالت $e_L/L < 1/6$

و $0 < e_B/B < 0.5$



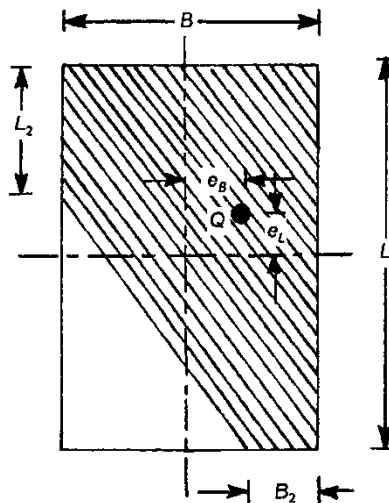
شکل ۳-۳ دیاگرام e_B/B در برابر B_2/B برای $0 < e_B/B < 0.5$ و $e_L/L < 1/6$



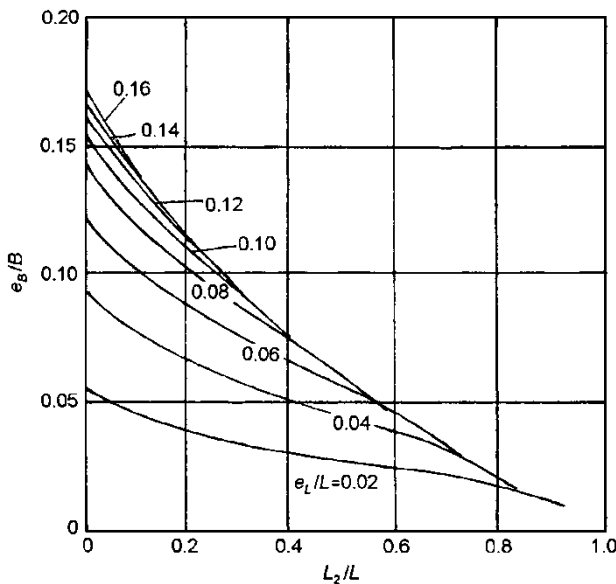
شکل ۱۲-۳ دیاگرام e_B/B در برابر B_1/B برای $0 < e_B/B < 0.5$ و $e_L/L < 1/6$

($e_B / B < 1/6$ و $e_L / L < 1/6$)

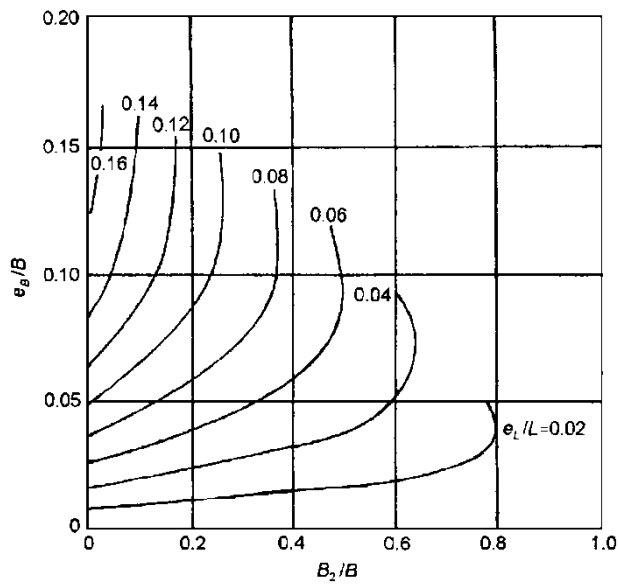
سطح بارگذاری خارج از مرکز فونداسیون در این حالت در شکل ۱۴-۳ نشان داده شده است. در این حالت، منحنی های e_L/L در شکل ۱۵-۳ مقادیر B/B_2 را در روی محور طول بدست می دهند. به طور مشابه در شکل ۱۶-۳ خانواده منحنی های e_L/L که شبیب رو به پایین دارند، مقادیر L/L_2 را در روی محور طول بدست می دهند. با مشخص بودن B_2 و L_2 ، سطح مؤثر 'A' را می توان محاسبه نمود. در این حالت $L'=L'/L$ و $B'=B'/B$.



شکل ۳-۱۴ سطح مؤثر برای حالت $e_B/B < 1/6$ و $e_L/L < 1/6$



شکل ۳-۱۶ دیاگرام e_B/B در برابر L_2/L
برای حالات $e_L/L < 1/6$ و $e_B/B < 1/6$



شکل ۳-۱۵ دیاگرام e_B/B در برابر B_2/B
برای $e_L/L < 1/6$ و $e_B/B < 1/6$

(ب) روش ضریب کاهش

ضریب کاهش به صورت زیر تعریف می شود:

$$R_k = 1 - \frac{q_u(\text{eccentric})}{q_u(\text{centric})} \quad (30-3)$$

به طوری که،

$$\text{ضریب کاهش} = R_k$$

$q_u =$ ظرفیت باربری نهایی فونداسیون نواری با بارگذاری خارج از مرکز

$q_u =$ ظرفیت باربری نهایی فونداسیون نواری بدون خروج از مرکزیت

پورکایاستا و چار^۱ با استفاده از روش قطعات پیشنهاد شده توسط جانبو پایداری یک فونداسیون نواری با بارگذاری برون محور را مطالعه نموده و رابطه ضریب کاهش را به صورت زیر پیشنهاد نمودند:

$$R_k = a \left(\frac{e}{B} \right)^k \quad (31-3)$$

به طوری که a و k توابعی از نسبت عمق مدفون D_f / B (جدول ۳-۱) می باشند.

جدول ۳-۱ تغییرات a و k [معادله (۳۱-۳)]

D_f / B	a	k
0	1.862	0.73
0.25	1.811	0.785
0.5	1.754	0.8
1.0	1.820	0.888

^۱ Purkayastha and Char

بنابراین با ترکیب معادلات (۳۰-۳) و (۳۱-۳) نتیجه می شود:

$$q_{u(\text{eccentric})} = q_{u(\text{centric})}(1 - R_k) = q_{u(\text{centric})} \left[1 - a \left(\frac{e}{B} \right)^k \right] \quad (32-3)$$

به طوری که ،

$$q_{u(\text{centric})} = cN_c \lambda_{dc} + qN_q \lambda_{dq} + \frac{1}{2} \gamma BN_\gamma \lambda_{\gamma d} \quad (33-3)$$

برای فونداسیون مستطیلی با خروج از مرکزیت یک یا دوطرفه می توان از ضرایب کاهش زیر استفاده نمود:

● خاک چسبنده:

$$R_k = \frac{2e}{B} \quad (34-3)$$

● در خاک های دانه ای:

$$R_k = \sqrt{\frac{e}{B}} \quad (35-3)$$

دقیق شود که ضرایب فوق تنها برای $\frac{e}{B} < 0.3$ کاربرد دارند. چنانچه خروج از مرکزیت تک محوره باشد داریم:

$$q_{u(\text{eccentric})} = q_{u(\text{centric})}(1 - R_k) \quad (36-3)$$

اما اگر در هر دو جهت طولی و عرضی خروج از مرکزیت داشته باشیم، ضرایب کاهش را همزمان به صورت زیر به کار می بریم:

$$q_{u(\text{eccentric})} = q_{u(\text{centric})}(1 - R_{kx})(1 - R_{ky}) \quad (37-3)$$

چنانکه:

R_{kx} = ضریب کاهش طولی (خروج از مرکزیت در راستای طولی، به عبارت دیگر لنگر حول محور کوتاه تر)
 R_{ky} = ضریب کاهش عرضی (خروج از مرکزیت در راستای عرضی، به عبارت دیگر لنگر حول محور بلند تر)

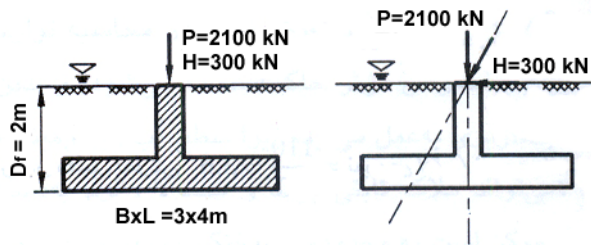
به طور مثال برای یک فونداسیون مستطیلی در روی خاک دانه ای با خروج از مرکزیت دو طرفه داریم:

$$q_{u(\text{eccentric})} = q_{u(\text{centric})}(1 - R_{kx})(1 - R_{ky}) = q_{u(\text{centric})}\left(1 - \sqrt{\frac{e_B}{B}}\right)\left(1 - \sqrt{\frac{e_L}{L}}\right)$$

توجه شود که در روش ضریب کاهش، برای محاسبه $q_{u(\text{centric})}$ از روش مایرهوف استفاده شود.

مثال:

برای فونداسیون نشان داده شده در شکل زیر مطلوب است محاسبه ضریب اطمینان در مقابل گسیختگی ظرفیت باربری با استفاده از نظریه ظرفیت باربری مایرهوف.



$$P = 2100 \text{ kN}, H = 300 \text{ kN}, D_f = 2 \text{ m}, B \times L = 3 \times 4 \text{ m}$$

$$\gamma_{\text{sat}} = 18.5 \text{ kN/m}^3, \phi = 34^\circ$$

خاک ماسه ای

حل:

$$M = 300 \times 2 = 600 \text{ kN} \cdot \text{m}$$

$$Q = 2100 \text{ kN}$$

$$W_{s+f} = 3 \times 4 \times 20 \times 2 = 480 \text{ kN}$$

در رابطه فوق وزن فونداسیون بعلاوه خاک روی آن با در نظر گرفتن وزن مخصوص 20 kN/m^3 برای مجموع آن ها به طور تقریبی محاسبه شده است.

$$e = \frac{M}{Q + W_{s+f}} = \frac{600}{2100 + 480} = 0.23 \text{ m} \rightarrow B' = 3 - 2 \times 0.23 = 2.54 \text{ m}$$

$$i = \arctan \left(\frac{300}{2100 + 480} \right) = 6.63^\circ$$

$$\lambda_{qs} = \lambda_{\gamma s} = 1 + 0.1 \frac{B'}{L} \tan^2(45 + \frac{\phi}{2}) = 1 + 0.1 \frac{2.54}{4} \tan^2(45 + \frac{34}{2}) = 1.2246$$

$$\lambda_{qd} = \lambda_{\gamma d} = 1 + 0.1 \left[\frac{B}{L} \right] \tan(45 + \frac{\phi}{2}) = 1 + 0.1 \left[\frac{3}{4} \right] \tan(45 + \frac{34}{2}) = 1.141$$

توجه شود که برای محاسبه ضرایب شکل از ابعاد موثر و برای محاسبه ضرایب عمق از ابعاد اصلی استفاده شده است.

$$\lambda_{ci} = \lambda_{qi} = \left(1 - \frac{a}{90} \right)^2 = \left(1 - \frac{6.63}{90} \right)^2 = 0.86$$

$$\lambda_{ri} = \left(1 - \frac{a}{\phi} \right)^2 = \left(1 - \frac{6.63}{34} \right)^2 = 0.65$$

$$q_u = q N_q \lambda_{qs} \lambda_{qd} \lambda_{qi} + 0.5 \gamma B' N_\gamma \lambda_{\gamma s} \lambda_{\gamma d} \lambda_{\gamma i}$$

$$q_u = 2(18.5 - 9.81) \times 29.44 \times 1.2246 \times 1.141 \times 0.86 + 0.5(18.5 - 9.81) \times 2.54 \times 31.15 \times 1.2246 \times 1.141 \times 0.65$$

$$= 93 \text{ kN/m}^2$$

$$Q_{\text{ult}} = q_{\text{ult}} \times B' \times L = 931 \times 2.54 \times 4 = 9459 \text{ kN} \rightarrow FS = \frac{Q_{\text{ult}}}{Q} = \frac{9459}{2100} = 4.5$$

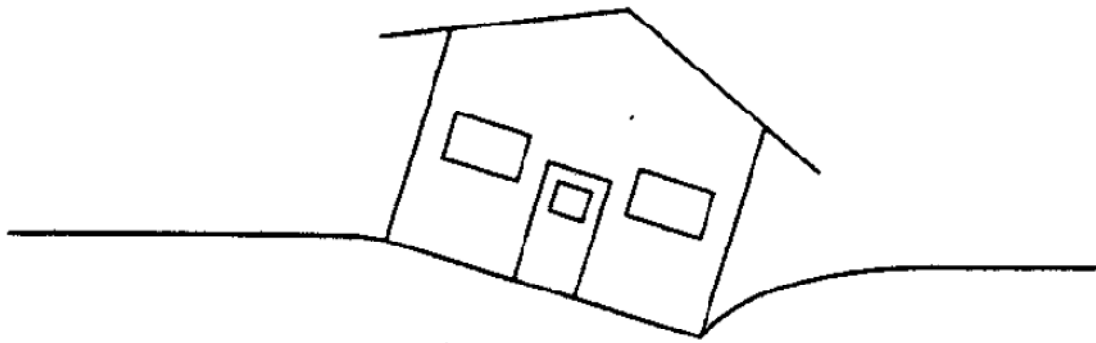


منابع

۱. فونداسیون های سطحی، ظرفیت باربری و نشست، تالیف: براجا ام. داس، ترجمه: عبدالمتین ستایش، رحمان محسنی آستانی، مقداد رمضانزاده بادلی.
۲. مهندسی پی، طراحی و اجرا، تالیف: دکتر ابوالفضل اسلامی، چاپ اول ۱۳۸۵.
۳. اصول مهندسی ژئوتکنیک، جلد دوم: مهندسی پی، مولف: براجا ام. داس، ترجمه: شاپور طاحونی، چاپ هفتم.

فصل ۴:

نشست فونداسیون های سطحی



جزوه درس مهندسی پی (کارشناسی عمران)

استاد: عبدالالمتین ستایش



برای ارسال نظرات و پیشنهادات به سایت شخصی اینجانب رجوع نموده و یا نظرات و یا پیشنهادات خود را به

آدرس پست الکترونیک زیر ارسال نمایید:

Website: www.ams.ir. Email: a_matin_s@yahoo.com

ویرایش اردیبهشت ۹۰

| ۱-۴ | مقدمه

نشست سازه ها بر اثر تغییر شکل و جابجایی زمین، تغییر حجم خاک بستر و یا زیرسازه تحت تنش های حاصل از بارگذاری و باربرداری بوقوع می پیوندد. تغییر شکل تحت تنش موثر ثابت، خوش نامیده می شود در حالی که تغییر شکل تحت افزایش تنش را جابجایی و یا فشردگی می نامند. مجموعه تغییر شکل های فوق در نتیجه تغییر حجم الاستیکی و پلاستیکی دانه ها، تغییر حجم توده خاک در نتیجه خروج آب و هوا از منافذ و جابجایی کلی برشی ذرات و یا توده خاک احداث می شود.

عمدتاً در طراحی پی های سطحی، نشست عامل کنترل کننده در تعیین قابلیت باربری مجاز است. مضافةً اینکه در تعیین توان باربری مجاز عوامل هندسه پی، مقاومت و سختی خاک زیر پی و ملاحظات سرویس پذیری روسازه به دلیل تحمل تغییر شکل ها مطرح بوده و بنابراین موارد، توان باربری و نشست زیر پی در اندرکنش بوده و نمی توان به صورت مجزا به آن ها پرداخت.

خاک ها در محدوده کوچکی از تغییر شکل ها به صورت الاستیک عمل می کنند و در مجموع خاک مصالحی همگن و ایزوتروپ نبوده و عواملی چون تاریخچه تنش، وجود آب و هوا در خاک، تاثیرگذاری بارهای دینامیکی در رفتار دانه های تشكیل دهنده خاک، پیچیدگی در تعریف مناسب و دقیق شرایط مرزی باعث می شود که نتوان همانند دیگر مصالح سازه ای تغییر شکل ها و جابجایی های خاک را به سهولت و با روابط ساده، تعیین و محاسبه نمود. تعیین خصوصیات الاستیکی خاک، یعنی مدول الاستیسیته و ضربی پواسون (E_7) نیز با مشکلات و ابهاماتی همراه است.

نشست پی در خاک های ریزدانه با دقت کمتری نسبت به توان باربری آن ها به دست می آید زیرا تخمین نشست در آن ها به عوامل متعددی وابسته است که توجیه رفتار آن ها نیازمند به قضاؤ مناسب مهندسی است. از مهمترین عوامل در این مورد، شرایط مرزی و درجه اشباع و تخمین میزان فشار پیش تحکیمی بوده که مربوط به حداکثر فشاری است که تا به حال به خاک وارد شده است. در مجموع بنا به دلایل عنوان شده، مقدار نشست حاصل در محاسبات ممکن است تا 100% توان با خطأ باشد. نشست سازه مستقر بر خاک های درشت دانه عموماً با فرمول های تجربی به دست می آید. نشست ها در این خاک ها اغلب به سرعت و در حین ساخت پس از اعمال حداکثر بار اتفاق می افتد. نشست های دراز مدت در مورد این بارها قابل صرف نظر کردن هستند. البته نشست درازمدت ممکن است پس از ساخت در نتیجه عوامل دیگری از قبیل تحمیل بارهای دینامیکی (ترافیک، شمع کوبی، ارتعاشات حاصل از ماشین آلات و) تعیین شرایط سطح آب زیرزمینی، وقوع زلزله، انفجار، وجود و یا تشکیل حفره ها و فضاهای خالی در زیرزمین و سیل حادث گردد که در این گونه موارد روابط و فرمول های تجربی کفايت ننموده و باید معیراهای دیگری در طراحی مدنظر قرار گیرند.

برای خاک های ریزدانه اعم از لای و رس نزدیک به اشباع و یا اشباع، ضربی نفوذپذیری کم می باشد. وقوع نشست در آن ها به علت کندی محو اضافه فشار آب منفذی مربوط به بارگذاری و متعاقب آن کاهش تخلخل نیازمند زمان نسبتاً طولانی بوده و در نتیجه پیش بینی مقدار نشست و زمان لازم در محاسبات، از اهمیت زیادی برخوردار است.

۲-۴ | عوامل موثر در بروز نشست

عوامل زیر موجب نشست در خاک شده که عبارتند از:

۱. بارگذاری و فشردگی خاک بر اثر تنש های فشاری که نسبتاً سریع و به صورت مجموع تغییر شکل های الاستیکی (ارتجاعی) و پلاستیکی (خمیری) می باشد.
۲. بارگذاری و جابجایی ذرات خاک بر اثر اعمال نیروهای برشی، که مثلاً در ماسه های شل موجب کاهش حجم و در ماسه های متراکم موجب افزایش حجم (اتساع) می گردد.
۳. تحکیم خاک یا تحکیم اولیه، بر اثر اعمال بار و متعاقب افزایش فشار آب منفذی در ساختمان خاک اشباع به مرور بخشی از آب داخل منافذ خاک در نتیجه اختلاف فشار، زهکشی و خارج شده، نتیجتاً ذرات خاک جابجا شده تا بخشی از تخلخل به جا مانده از خروج آب را پر نماید. برای خاک های ریزدانه با نفوذپذیری پایین مثل رس ها، پدیده تحکیم کند و ممکن است سالها و حتی تا پایان عمر مفید سازه به طول انجامد (برای مثال، برج پیزا در ایتالیا). همچنین رس ها با درصد رطوبت بالاتر، بیشتر نسبت به رس های با درصد رطوبت کمتر تحکیم می شوند. به علاوه، رس های دارای پتانسیل تغییرات حجمی بر اثر تغییر درصد رطوبت بوده، پس از خشک شدن منقبض و با افزایش رطوبت انبساط و یا تورم حاصل می کنند. ماسه ها دارای نفوذپذیری بیشتر و درصد رطوبت کمتری نسبت به رس ها می باشند. بنابراین تحکیم ماسه ها نسبت به رس ها خیلی سریع تر و به مراتب کمتر از مقادیر مربوط به رس هاست.
۴. خرز یا تحکیم ثانویه: پس از اتمام پدیده تحکیم اولیه ممکن است تغییرات حجمی در خاک تحت اثر تنش موثر ثابت ادامه یافته که اصطلاحاً تحکیم ثانویه و یا خرز نامیده می شود. توجیه چنین پدیده ای کاملاً روشن نبوده ولی میتوان وقوع آن را به خروج آب از منافذ میکروسکوپیک و یا تغییر شکل لزجی نسبت داد. میزان خرز در خاک های پیش تحکیم یافته عموماً ناچیز بوده، در حالی که برای خاک های عادی تحکیم می تواند جدی باشد. به علاوه مقدار این تغییر شکل برای خاک های آلی و یا خاک ها با قابلیت فشردگی زیاد در مقایسه با نشست تحکیمی اولیه، قابل توجه است.
۵. عدم رعایت ملاحظات فنی در ساخت و اجرای روسازه و زیرسازه که در کوتاه مدت و درازمدت با تغییر شکل های مصالح مصرفی در بنا توازن خواهد بود، در صورت ساخت پی بر روی خاکریزها و به خصوص از نوع ریزدانه و غیر متراکم احتمال وقوع نشست های زیاد مطرح می باشد.
۶. اتفاقات در حین حفاری که شامل تورم خاک پس از گودبرداری، نرم شدگی بعضی از خاک ها و سنگ ها بر اثر عوامل محیطی، وقوع پدیده حرکت آب با سرعت زیاد در ماسه و لای، دست خوردگی و حساسیت در رس ها و لایها می باشند.
۷. فعالیت های ساخت و ساز در همسایگی که شامل پایین بردن سطح آب زیرزمینی، گودبرداری، شمع کوبی، انفجار و برقراری سیستم ترافیکی و استقرار کارخانه ها و ماشین آلات ارتعاشی در مجاورت بناست.
۸. عوامل دیگر از قبیل وقوع آب شستگی موضعی و عمومی، تورم و انقباض بر اثر تغییرات رطوبت در خاک و آثار بخ زدگی

از موجبات ذکر شده برای نشست در فوق، موارد ۱ و ۲ را در قالب نشست های آنی و یا الاستیک و مورد ۳ را تحت عنوان نشست تحکیمی و یا وابسته به زمان فرموله نموده و روابطی جهت تعیین آن ها ارائه شده که در ادامه تشریح خواهد شد. برای بقیه اگرچه روابط پراکنده و تجربی ارائه شده است، ولی موارد مشخصی تدوین نگردیده که در این خصوص بیشتر تجارب حاصل و قضاؤت مهندسی و نتایج مشاهدات و اندازه گیری های بدست آمده از رفتار سنجی از جنبه های عملی می تواند راهگشا باشد.

۳-۴ نشست و مقاومت مجاز

در فصول قبل، نظریه های متعددی در رابطه با ظرفیت باربری نهایی فونداسیون های سطحی ارائه نمودیم. در طراحی هر فونداسیونی، گسیختگی ظرفیت باربری به همراه نشست باید مد نظر قرار گیرد لیکن در طراحی اکثر فونداسیون ها رواداری هایی برای میزان نشست های مجاز وجود دارد. در شکل ۱-۴ دیاگرام بار بر واحد سطح فونداسیون S_u در برابر نشست فونداسیون S نشان داده شده است. با توجه به این شکل می توان مشاهده نمود که ظرفیت باربری نهایی در نشست S_u رخ می دهد. حال فرض کنید که S_{all} میزان نشست مجاز فونداسیون و $q_{all(s)}$ ظرفیت باربری مجاز متناظر با آن باشد. اگر FS ضریب اطمینان در برابر گسیختگی ظرفیت باربری باشد، آنگاه ظرفیت باربری مجاز برابر خواهد بود با $q_u/FS = q_{all(b)}$. حال آنکه نشست متناظر با $q_{all(b)}$ برابر است با S' . برای فونداسیون های با عرض B کوچکتر، S' می تواند از S_{all} کوچکتر باشد ولی برای مقادیر بزرگتر B ، $S' < S_{all}$ است. بنابراین برای فونداسیون های با عرض کوچک، ظرفیت باربری کنترل کننده است و در عرض های بزرگتر نشست مجاز کنترل کننده خواهد بود.

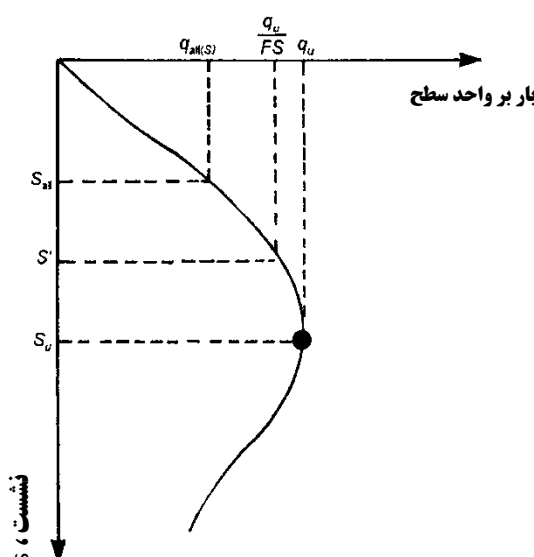
نشست فونداسیون می تواند سه مؤلفه داشته باشد (به نکته ارائه شده آخرین بند صفحه قبل توجه نمایید):

(الف) نشست الاستیک، S_e ، (ب) نشست تحکیمی اولیه، S_c ، (ج) نشست تحکیمی ثانویه، S_s . بنابراین نشست کل S_t برابر خواهد بود با:

$$S_t = S_e + S_c + S_s \quad (1-4)$$

در هر فونداسیون، تعدادی از این مؤلفه ها می تواند صفر و یا قابل چشم پوشی باشد.

نشست های الاستیک در اثر تغییر شکل خاک خشک و همچنین خاک مرطوب و اشباع بدون هیچ گونه تغییری در درصد رطوبت حاصل می شود. نشست تحکیمی اولیه فرآیندی وابسته به زمان است که در خاک های رسی قرار گرفته در زیر سفره آب در نتیجه تغییرات حجمی خاک به خاطر خروج آب منفذی رخ می دهد. نشست تحکیمی ثانویه پس از نشست تحکیمی اولیه در خاک های رسی اشباع رخ می دهد و علت آن هم تغییر شکل پلاستیک ساختار خاک می باشد. روش های محاسبه سه نوع نشست فوق در این فصل مورد بحث قرار می گیرند.

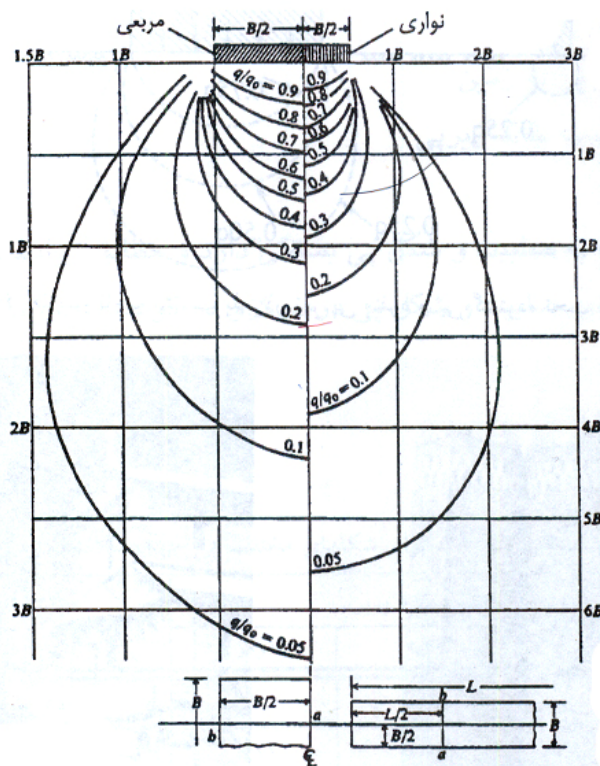


شکل ۱-۴ منحنی بار - نشست فونداسیون سطحی

۴-۴ | توزیع تنش در خاک در اثر اعمال بار فونداسیون

تمام انواع نشست ها توابعی از اضافه تنش اعمالی در روی خاک توسط فونداسیون می باشند. بنابراین آشنایی با روابط محاسبه توزیع تنش در خاک در اثر اعمال بار فونداسیون دارای اهمیت خاصی است. روابط متعددی برای یافتن وضعیت تنش ها در عمق بر اثر بارگذاری ارائه شده که معادلات بوزینسک و وسترگارد عمومیت بیشتری داشته که در کتب مکانیک خاک و یا سایر منابع ژئوتکنیک تشریح شده اند. البته ذکر این نکته ضروری است که داشتن توزیع دقیق تنش در عمق شرط لازم جهت تخمین دقیق نشست بوده ولی کافی نیست.

در عمل بارهای مرکزی روی فونداسیون وارد شده و از کف آن بار گستردگی q_0 در عمق توزیع می گردد. روابط مختلفی برای انواع بارها و شکل های مختلف پی ارائه شده که برای سهولت می توان از نمودارهای ساده شده استفاده نمود. در این خصوص می توان نقاط هم تنش مقطع قائم مرکزی برای پی های مربعی و نواری بر اساس روابط بوزینسک را مورد استفاده قرار داد که در شکل ۲-۴ نمودار مربوط به آن ارائه شده است.



شکل ۲-۴ نقاط هم تنش در عمق و در زیر پی های مربعی و نواری بر اساس روابط بوزینسک

با مشاهده حباب های هم تنش، این نکته مهم را می توان یافت که برای پی های مربع در عمق حدود $2B$ تا $3B$ و فاصله افقی B از مرکز پی، مقدار تنش به 10% آن در کف پی رسیده که تنش های کمتر از آن در محاسبات نشست قابل صرف نظر کردن است. از این ابعاد می توان به عنوان الگو در عمق و گستره مطالعات ژئوتکنیک و همچنین در خصوص مجاور سازی پی و تداخل تنش ها استفاده نمود. (مقادیر عمق و شعاع تاثیر مربوط به تنش قائم کمتر از 10% برای پی های نواری به قرار $4B$ و $1.5B$ از وسط به اطراف است)

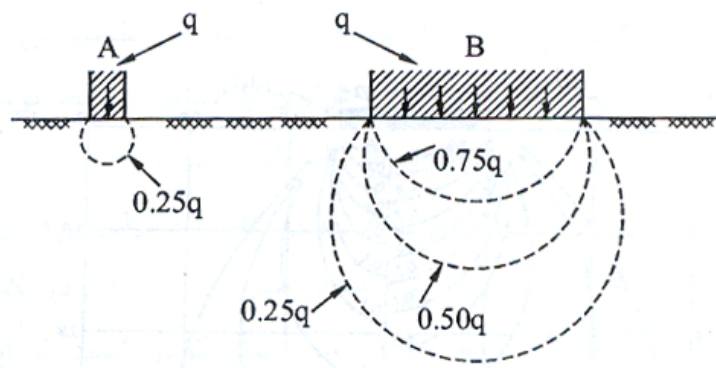
همچنین در محاسبات معمول و طراحی های اولیه می توان از روش تقریبی ۲ به ۱ توزیع تنش در عمق (و یا پاره ای موارد ۱ به ۱) را در نظر گرفت که برای بارگذاری روی پی به ابعاد $L \times B$ در عمق Z تنش ها در سطحی برابر $(B+z) \times (L+z)$ توزیع شده و خواهیم داشت:

$$\Delta\sigma_z = \frac{P}{A} = \frac{q_0 \times B \times L}{(B+z) \times (L+z)} \quad (2-4)$$

این رابطه در مقایسه با رابطه بوزینسک از نتایج قابل قبولی برای $B > z$ برخوردار است. همچنین در منابع مربوط به مکانیک خاک و پی سازی برای انواع پی ها و حالت های مختلف بارگذاری، روابطی ارائه شده که در صورت لزوم در حالت های غیر متعارف می توان به آن ها مراجعه نمود.

محدوده خاک بارگذاری شده در زیر پی بزرگ به مراتب حجمی تراز یک پی کوچک تحت همان شدت بار یا فشار می باشد. در نتیجه میزان نشست در زیر پی بزرگتر بیشتر از میزان نشست در زیر پی کوچک تحت فشار یکسان است. با نزدیکی بیش از حد چند پی عملکردی شبیه پی گسترده در وقوع نشست خواهیم داشت. چنین مفهومی در شکل ۳-۴ نشان داده شده است. لذا در مورد پی های گسترده علی رغم نکات مثبت در بهبود باربری و تخفیف تنش های غیر یکنواخت و رفع اشکالات موضعی نسبت به پی منفرد معمولی نشست بیشتری را به دنبال دارد.

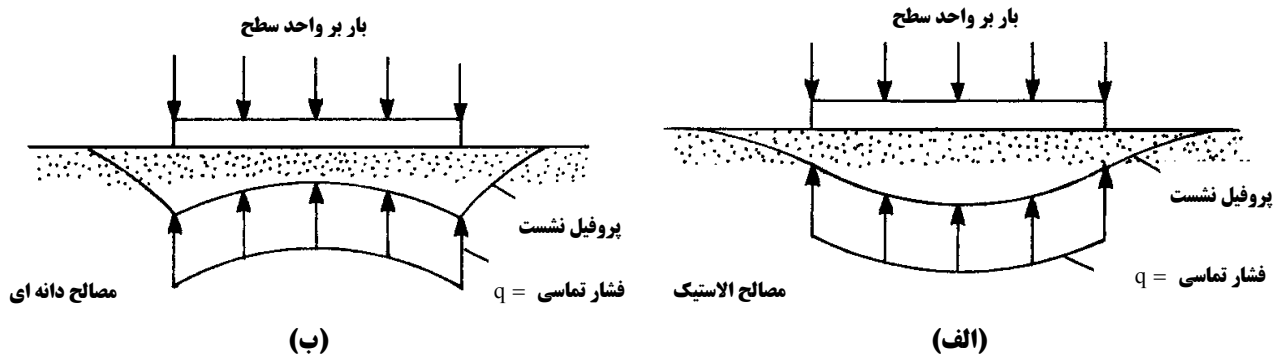
وقوع نشست های غیر یکنواخت که بر اثر لایه بندی و غیر یکنواختی خاک های زیرین، بارگذاری و تنش غیر یکنواخت، اثر همپوشانی تنش های حاصل از چند پی بر یک مقطع در عمق، تفاوت در نوع ساخت و ساز قسمت های مختلف و یا عوامل دیگر ممکن است حاصل شود، باید مورد توجه جدی تری در ارزیابی های نشست پذیری قرار گیرد.



شکل ۳-۴ مقایسه ناحیه نشست پذیر در زیر پی منفرد و پی گسترده تحت فشار یکسان

۵-۴ فونداسیون های انعطاف پذیر و صلب

قبل از بحث درباره روابط مربوط به نشست الاستیک فونداسیون های سطحی، درک مفاهیم بنیادی و تفاوت های بین فونداسیون های انعطاف پذیر و صلب از اهمیت زیادی برخوردار است. هنگامی که فونداسیونی انعطاف پذیر در روی محیط الاستیک در معرض باری با توزیع یکنواخت قرار گیرد، فشار تماسی چنان که در شکل ۴-۴-الف نشان داده است یکنواخت خواهد بود. شکل ۴-۴-الف همچنین پروفیل نشست را نیز نشان می دهد. اگر فونداسیون مشابهی در روی خاک دانه ای قرار گیرد، دچار نشست های الاستیک بزرگتری در لبه ها نسبت به مرکز خواهد شد (شکل ۴-۴-ب) ولی فشار تماسی هنوز یکنواخت خواهد بود. نشست های بزرگتر در لبه به خاطر فقدان محصور شدگی جانبی در خاک می باشد.



شکل ۴-۴ فشار تماسی و نشست فونداسیون انعطاف پذیر: (الف) مصالح الاستیک (ب) مصالح دانه ای

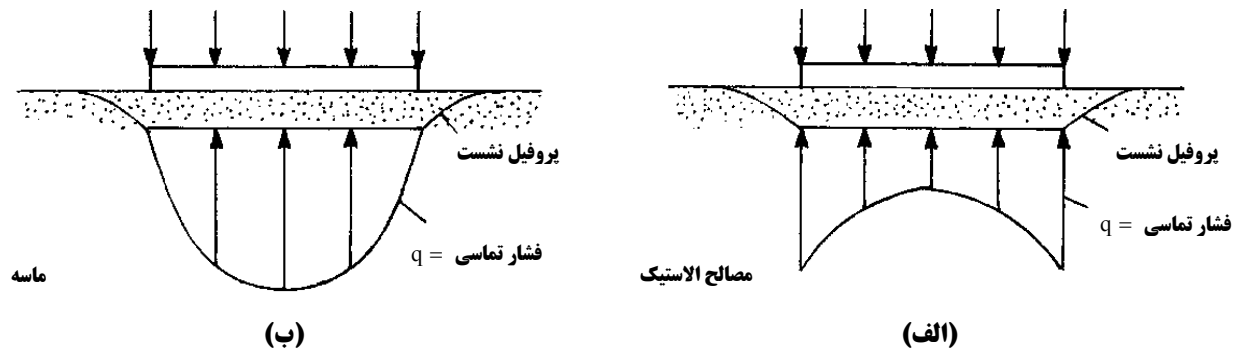
اگر فونداسیون صلبی در روی سطح یک محیط الاستیک قرار گیرد، نشست ها در تمام نقاط یکسان خواهد بود ولی توزیع فشار تماسی مطابق شکل الف. ۵.۱۰ خواهد بود. اگر فونداسیون صلب در روی خاک دانه ای قرار گیرد توزیع فشار تماسی همانند شکل ب. ۵.۱۰ خواهد بود، گرچه در این حالت نشست در تمام نقاط در زیر فونداسیون یکسان می باشد.

به لحاظ نظری، در یک فونداسیون بینهایت صلب قرار گرفته در روی مصالح کاملاً الاستیک، فشار تماسی را به صورت زیر می توان بدست آورد (شکل ۴-۴):

$$\sigma_{z=0} = \frac{2q}{\pi \sqrt{1 - \left(\frac{2x}{B}\right)^2}} \quad (\text{fondasyon نواری}) \quad (۴-۴)$$

$$\sigma_{z=0} = \frac{q}{2 \sqrt{1 - \left(\frac{2x}{B}\right)^2}} \quad (\text{fondasyon دایروی}) \quad (۴-۴)$$

به طوری که q = بار اعمالی بر واحد سطح فونداسیون و B = عرض (یا قطر) فونداسیون



شکل ۵-۴ فشار تماسی و نشست فونداسیون صلب: (الف) مصالح الاستیک (ب) مصالح دانه ای

بوروویکا^۱ [3] روابطی برای محاسبه توزیع فشار تماسی در زیر یک فونداسیون نواری قرار گرفته در روی مصالح کاملاً الاستیک ارائه نموده است. مطابق این نظریه،

$$\sigma_{z=0} = f(K) \quad (۵-۴)$$

^۱ Borowicka

در این رابطه K ضریب سختی نسبی نام دارد و به صورت زیر بدست می‌آید:

$$= \frac{1}{6} \left(\frac{1 - v_s^2}{1 - v_f^2} \right) \left(\frac{E_f}{E_s} \right) \left(\frac{t}{B/2} \right)^3 \quad (6-4)$$

v_s = نسبت پواسون الاستیک

v_f = نسبت پواسون مصالح فونداسیون

t = ضخامت فونداسیون

E_s, E_f = مدول الاستیسیته مصالح الاستیک و فونداسیون

گرچه خاک به طور کامل الاستیک و همگن نیست، از تئوری الاستیسیته می‌توان برای تخمین نشست فونداسیون‌های سطحی در بارهای مجاز استفاده نمود. استفاده مناسب از این نتایج در طراحی، اجرا و نگهداری سازه‌ها نتایج خوبی حاصل نموده است.

۶-۴ نشست ارجاعی فونداسیون‌های انعطاف‌پذیر و صلب

با استفاده از تئوری الاستیسیته، نشست ارجاعی خاک را با استفاده از رابطه زیر می‌توان تخمین زد:

$$S_e = \frac{qB(1 - v^2)}{E_s} I_s \quad (7-4)$$

S_e = نشست ارجاعی

B = عرض پی (یا قطر فونداسیون‌های دایره‌ای)

q = تنش فشاری از فونداسیون به زمین

E_s = مدول الاستیسیته خاک زیر فونداسیون

v = ضریب پواسون خاک

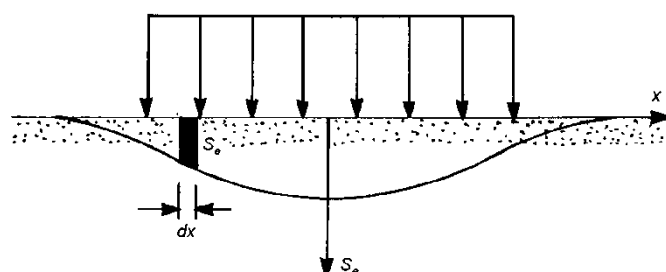
I_s = ضریبی است که به صلبیت و شکل پی بستگی دارد و از جدول ۱-۴ بدست می‌آید.

فرضیات به کار رفته در رابطه فوق عبارتند از:

۱. خاک الاستیک و همگن است

۲. فونداسیون در سطح زمین قرار دارد یعنی $D_f = 0$ (شکل ۶-۴)

۳. خاک زیر فونداسیون و لایه نشست پذیر به صورت نیمه بینهایت در نظر گرفته شده است.



شکل ۶-۴ نحوه محاسبه نشست ارجاعی فونداسیون قرار گرفته در سطح خاک

جدول ۱-۴

شکل فونداسیون	ضریب I_s			
	مرکز	لبه	میانگین	صلب
دایره ای	1	0.64	0.85	0.79
مربعی	1.12	0.56	0.95	0.88
L / B = 2 مستطیل	1.53	0.77	1.3	1.21
L / B = 3 مستطیل	1.78	0.89	1.51	1.42
L / B = 4 مستطیل	1.96	0.98	1.66	1.43
L / B = 5 مستطیل	2.10	1.05	1.83	1.70
L / B = 6 مستطیل	2.22	1.11	1.88	1.75
L / B = 7 مستطیل	2.32	1.15	1.97	1.83
L / B = 8 مستطیل	2.40	1.20	2.04	1.89
L / B = 9 مستطیل	2.44	1.22	2.07	1.93
L / B = 10 مستطیل	2.54	1.27	2.16	2.1
L / B = 100 مستطیل	4.0	2.0	3.40	3.16

در نشست ارجاعی فونداسیون های قرار گرفته در سطح روابط زیر بر قرار می باشد:

• **فونداسیون دایره ای:**

$$(مرکز) S_e \approx 0.636 S_e (\لبه)$$

$$(مرکز) S_e \approx 0.85 S_e (\میانگین)$$

$$S_e (\مرکز) \approx 0.79 S_e (\صلب)$$

$$S_e (\میانگین) \approx 0.93 S_e (\صلب)$$

• **فونداسیون مستطیلی:**

$$(مرکز) S_e \approx 0.5 S_e (\لبه)$$

$$(مرکز) S_e \approx 0.85 S_e (\میانگین)$$

$$S_e (\مرکز) \approx 0.79 S_e (\صلب)$$

$$S_e (\میانگین) \approx 0.93 S_e (\صلب)$$

بنابراین برای فونداسیون های صلب می توان از نشست میانگین نیز استفاده نمود زیرا اختلاف بین مقادیر آن ها ناچیز است.



fondasyon انعطاف پذیر دایره ای که در سطح زمین قرار گرفته است دارای شعاع ۱/۵ متر می باشد. Bar يکنواخت در روی سطح برابر است با 250 kN/m^2 . نشست سطح زمین را در حالت های زیر بدست آورید.

(الف) در زیر مرکز سطح

(ب) در لبه

(ج) میانگین

(د) صلب

فرض کنید که نسبت پواسون برابر است با 0.3 و $E_s = 9500 \text{ kN/m}^2$

حل مسئله:



(الف) با استفاده از معادله (۷-۴)

$$S_e = \frac{qB(1-v^2)}{E_s} = \frac{(250)(2 \times 1.5)(1-0.3^2)}{9500} = 0.0718 \text{ m} = 71.8 \text{ mm}$$

(ب)

$$S_e = \frac{0.636 qB(1-v^2)}{E_s} = (0.636)(71.8) = 45.66 \text{ mm}$$

(ج)

$$S_e = \frac{0.85 q B (1-v^2)}{E_s} = (0.85)(71.8) = 61.03 \text{ mm}$$

(د)

$$S_e = \frac{0.79 q B (1-v^2)}{E_s} = \frac{(0.79)(250)(2 \times 1.5)(1-0.3^2)}{9500} = 0.0568 \text{ m} = 56.8 \text{ mm}$$

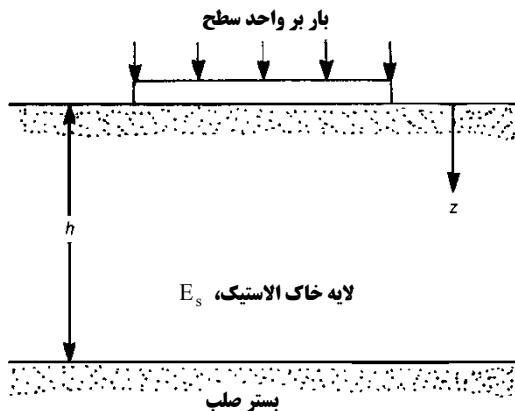
۷-۴ | تأثیر بستر صلب در عمق محدود

در معادلات مربوط به نشستهای الاستیک در بخش پیشین، فرض بر این بود که لایه خاک الاستیک تا عمق بینهایت امتداد می‌یابد. ولی اگر در عمق محدودی به فاصله h در زیر سطح، بستر صلبی مطابق با شکل ۷-۴ وجود داشته باشد، نشست الاستیک لایه خاک تراکم پذیر را به صورت زیر می‌توان محاسبه نمود:

$$S_e = \int_0^\infty \epsilon_z dz - \int_h^\infty \epsilon_z dz$$

که ϵ_z کرنش فشاری قائم در عمق z می‌باشد، به عبارت دیگر:

$$S_e = S_{e(z=0)} - S_{e(z=h)} \quad (8-4)$$



شکل ۸-۴ تأثیر بستر صلب قرار گرفته در عمق محدود بر نشست الاستیک فونداسیون

اگوروف^۱ [5] نشست الاستیک در زیر مرکز سطح دایره‌ای با بارگذاری یکنواخت و شعاع R و سطح مستطیلی با ابعاد $L \times B$ را محاسبه نموده است. او فرض نمود که اصطکاکی بین لایه خاک و بستر صلب وجود ندارد. بر طبق این روش [4] داریم:

^۱ Egorov

• سطح دایره ای:

$$S_e = \frac{Rq}{E_s} (1 - v^2) \alpha_1 \quad (9-4)$$

$$S_e = \frac{Rq}{E_s} (1 - v^2) \alpha_2 \quad (10-4)$$

در این روابط، R شعاع سطح دایره ای می باشد.

• سطح مستطیلی ($B \times L$):

$$S_e = \frac{Bq}{E_s} (1 - v^2) \alpha_3 \quad (11-4)$$

$$S_e = \frac{Bq}{E_s} (1 - v^2) \alpha_4 \quad (12-4)$$

مقادیر α_1 و α_2 برای مقادیر مختلف R/h در جدول ۵.۱۰ ارائه شده اند. به طور مشابه، تغییرات α_3 و α_4 در جدول ۵.۱۱ نشان داده شده است.

جدول ۲-۴ تغییرات α_1 و α_2

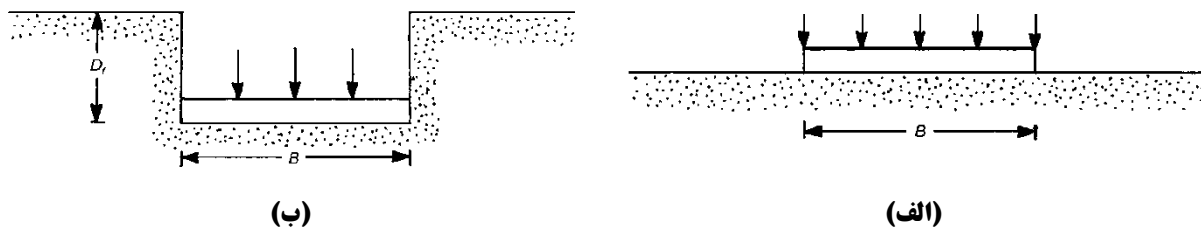
h/R	α_1	α_2
0	0	0
0.5	0.52	0.45
1.0	1.00	0.79
2.0	1.44	1.16
3.0	1.62	1.32
5.0	1.78	1.48
10.0	1.88	1.64

جدول ۳-۴ تغییرات α_3 و α_4

h/B	L/B									
	1		2		3		4		5	
	α_3	α_4								
0	0	0	0	0	0	0	0	0	0	0
0.25	0.25	0.226	0.25	0.23	0.25	0.23	0.25	0.24	0.25	0.238
0.50	0.51	0.403	0.51	0.43	0.51	0.44	0.51	0.44	0.51	0.446
1	0.77	0.609	0.87	0.7	0.88	0.73	0.88	0.75	0.88	0.764
1.5	0.88	0.711	1.07	0.86	1.12	0.91	1.13	0.95	1.13	0.982
2.5	0.98	0.8	1.24	1.01	1.36	1.12	1.44	1.2	1.45	1.256
5	1.05	0.873	1.39	1.16	1.56	1.31	1.75	1.48	1.87	1.619

۸-۴ | تأثیر عمق استقرار فونداسیون

نظریه های ارائه شده در بخش های پیشین برای حالت هایی هستند که در آن ها بارگذاری در سطح لایه خاک (شکل ۹-۴-الف) انجام می گیرد. در عمل فونداسیون ها در عمق مشخصی پایین تر از سطح زمین قرار داده می شوند (شکل ۹-۴-ب). نشست الاستیک یک فونداسیون مدفون همیشه کمتر از زمانی است که فونداسیون در سطح قرار گرفته است. ولی تا به این لحظه مطالعات نظری محدودی در این باره انجام یافته است. به هر حال استفاده از مقادیر نشست های سطحی می تواند در جهت اطمینان باشد.



شکل ۴-۹ تأثیر عمق مدفون بر نشست الاستیک فونداسیون (توجه: طول فونداسیون = L، عرض فونداسیون = B)

۹-۴ پارامترهای الاستیک

برای محاسبه نشست الاستیک یک فونداسیون، باید پارامترهایی همچون مدول الاستیسیته خاک E_s و نسبت پواسون ν خاک را در اختیار داشته باشیم. در اکثر مواقع اگر نتایج آزمایش‌های آزمایشگاهی موجود نباشند، این مقادیر را باید از طریق روابط تجربی تخمین زد. بعضی از مقادیر پیشنهادی نسبت پواسون در جدول ۴-۴ ارائه شده اند.

جدول ۴-۴ مقادیر پیشنهادی نسبت پواسون

نوع خاک	نسبت پواسون، ν
ماسه درشت دانه	0.15 - 0.20
ماسه شل با دانه بندی متوسط	0.20 - 0.25
ماسه ریز دانه	0.25 - 0.30
سیلت ماسه دار و سیلت	0.3 - 0.35
رس اشباع (زهکشی نشده)	0.50
رس اشباع - با پیش تحکیمی پایین (زهکشی شده)	0.2 - 0.4

تراوتمن و کولهاوی^۱ [7] از رابطه زیر برای تخمین نسبت پواسون استفاده نمودند (حالت زهکشی شده):

$$\nu = 0.1 + 0.3 \phi_{rel} \quad (13-4)$$

$$\phi_{rel} = \frac{\phi_{tc} - 25^\circ}{45^\circ - 25^\circ} \quad (0 \leq \phi_{rel} \leq 1) \quad (14-4)$$

ϕ_{tc} = زاویه اصطکاک بدست آمده از آزمایش سه محوری زهکشی شده فشاری

در گذشته روابط همبستگی متعددی بین مدول الاستیسیته ماسه با مقاومت نفوذ استاندارد صحرایی N و مقاومت نفوذ مخروط q_c ارائه شده است. به طور مثال اشمرتمن [8] رابطه زیر را پیشنهاد نموده است:

$$E_s (\text{kN/m}^2) = 766N \quad (15-4)$$

$$E_s (\text{U.S.ton/ft}^2) = 8N \quad (16-4)$$

اشمرتمن و هارتمن^۲ [9] توصیه های زیر را در رابطه با تخمین E_s ماسه با استفاده از مقاومت نفوذ مخروط ارائه نمودند:

$$E_s = 2.5q_c \quad (\text{ Fondasyon های دایره ای و مربعی}) \quad (17-4)$$

$$E_s = 3.5q_c \quad (\text{ Fondasyon نواری، } L/B \geq 10) \quad (18-4)$$

¹ Trautman and Kulhawy

² Schmertmann and Hartman

محدوده عمومی تغییرات مدول الاستیسیته خاک E_s در جدول ۴-۵ ارائه شده است.

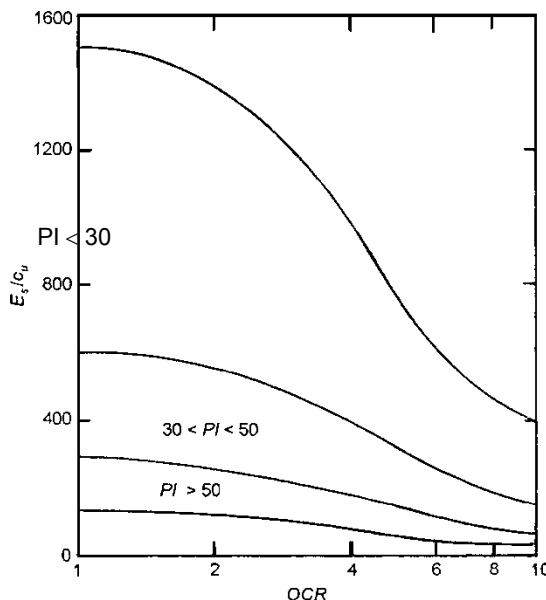
جدول ۴-۵ محدوده عمومی تغییرات مدول الاستیسیته ماسه

E_s (kN/m^2)	نوع خاک
	ماسه درشت دانه و ماسه با دانه بندی متوسط
25000 – 35000	شل
30000 – 40000	تراکم متوسط
40000 – 45000	متراکم
	ماسه ریز دانه
20000 – 25000	شل
25000 – 35000	تراکم متوسط
35000 – 40000	متراکم
	سیلت ماسه دار
8000 – 12000	شل
10000 – 12000	تراکم متوسط
12000 - 15000	متراکم

در بسیاری از موارد، مدول الاستیسیته خاک های رسی اشباع (زهکشی نشده) به مقاومت برشی زهکشی نشده c_u ارتباط داده می شوند. دی آپولونیا و همکاران^۱ [10] با گردآوری نتایج آزمایش های صحرایی متعدد رابطه زیر را ارائه نمودند:

$$\frac{E_s}{c_u} = 1000 \sim 1500 \quad (19-4)$$

دانکن و بوچیگنانی^۲ [11] رابطه ای بین E_s/c_u با نسبت بیش تحکیمی و شاخص خمیری PI رس های مختلف ارائه نمودند که در شکل ۱۰-۴ نشان داده شده است.



شکل ۱۰-۴ رابطه ارائه شده توسط دانکن و بوچیگنانی برای مدول الاستیسیته رس در شرایط زهکشی نشده

¹ D'Appolonia et al.

² Duncan and Buchignani

۱۰-۴ نشست ارجاعی در رس اشباع به روش جانبو و همکاران

جانبو و همکاران، معادله تعیین یافته ای برای تخمین نشست الاستیک میانگین فونداسیون انعطاف پذیر با بارگذاری یکنواخت در روی رس اشباع ($v = 0.5$) ارائه داده اند که مشابه نشست ارجاعی مصالح الاستیک می باشد. در این روش (الف) اثر عمق مدفون D_f و (ب) حضور احتمالی لایه صلب در عمق سطحی زیر فونداسیون چنان که در شکل ۱۱-۴ نشان داده است در نظر گرفته می شود. رابطه نشست در روش جانبو و همکاران به صورت زیر می باشد:

$$S_e = \mu_1 \mu_2 \frac{qB}{E_s} \quad (20-4)$$

چنان که ،

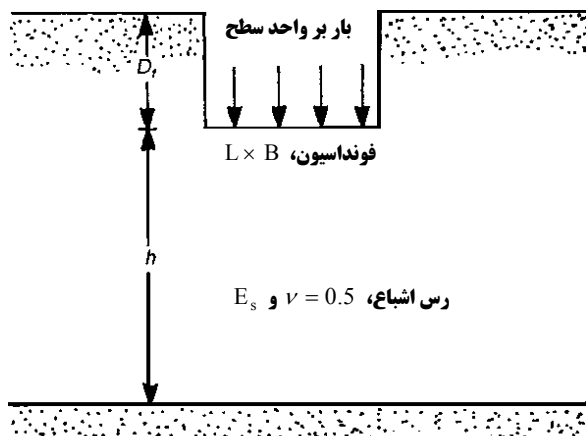
$$\mu_1 = f\left(\frac{D_f}{B}\right)$$

$$\mu_2 = f\left(\frac{h}{B}, \frac{L}{B}\right)$$

طول فونداسیون = L

عرض فونداسیون = B

کریستیان و کاریر^۱ [13] مقادیر بحرانی ضرایب μ_1 و μ_2 را محاسبه نموده و نتایج را در قالب نمودارهای ارائه کردند. مقادیر درون یابی شده μ_1 و μ_2 از این نمودارها در جداول ۶-۷ و ۷-۴ ارائه شده اند.



شکل ۱۱-۴ نشست فونداسیون در روی رس اشباع

جدول ۶-۴ تغییرات μ_1 با D_f/B

20	18	16	14	12	10	8	6	4	2	0	D_f/B	μ_1
0.850	0.854	0.856	0.860	0.863	0.865	0.87	0.875	0.88	0.9	1.0		

^۱ Christian and Carrier

جدول ۷-۴ تغییرات μ_2 با h / B

h / B	دایره	L / B				
		1	2	5	10	∞
1	0.36	0.36	0.36	0.36	0.36	0.36
2	0.47	0.53	0.63	0.64	0.64	0.64
4	0.58	0.63	0.82	0.94	0.94	0.94
6	0.61	0.67	0.88	1.08	1.14	1.16
8	0.62	0.68	0.90	1.13	1.22	1.26
10	0.63	0.70	0.92	1.18	1.30	1.42
20	0.64	0.71	0.93	1.26	1.47	1.74
30	0.66	0.73	0.95	1.29	1.54	1.84

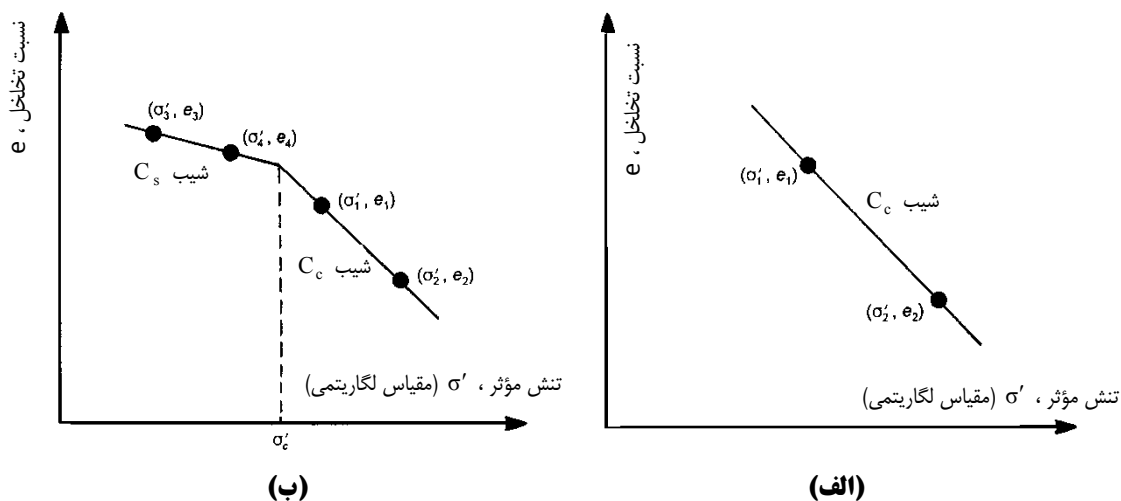
۱۱-۴ مبانی عمومی نشست تحکیمی

نشست تحکیمی فرآیندی وابسته به زمان است که در اثر خروج آب منفذی اضافی در خاک های رسی اشباع قرار گرفته در زیر سفره آب زیر زمینی رخ می دهد و علت آن هم افزایش تنش ناشی از اعمال بار فونداسیون می باشد. برای رس عادی تحکیم یافته، طبیعت تغییرات نسبت تخلخل، e با تنش مؤثر قائم σ' مطابق شکل ۱۲-۴-الف می باشد. دیاگرام مشابهی نیز برای رس های پیش تحکیم یافته در شکل ۱۲-۴-ب نشان داده شده است. در این شکل فشار پیش تحکیمی برابر است با σ'_c و شیب دیاگرام e در بخش عادی Log σ' در برابر e در برابر C_c نامیده می شود که رابطه آن به صورت زیر می باشد:

$$C_c = \frac{e_1 - e_2}{\log\left(\frac{\sigma'_2}{\sigma'_1}\right)} \quad (\text{برای } \sigma'_1 \geq \sigma'_c) \quad (21-4)$$

به طور مشابه شیب دیاگرام e در برابر σ' در بخش بیش تحکیم یافته شاخص تورم نامیده می شود که رابطه آن به صورت زیر می باشد:

$$C_s = \frac{e_3 - e_4}{\log\left(\frac{\sigma'_4}{\sigma'_3}\right)} \quad (\text{برای } \sigma'_4 \leq \sigma'_c) \quad (22-4)$$



شکل ۱۲-۴ طبیعت تغییرات نسبت تخلخل با تنش مؤثر (الف) رس عادی تحکیم یافته (ب) رس بیش تحکیم یافته

برای رس های عادی تحکیم یافته، ترزاوی و پک^۱، رابطه زیر را بین شاخص تراکم و حد روانی ارائه داده اند:

$$C_c = 0.009 (LL - 10) \quad (23-4)$$

که در این رابطه LL حد روانی می باشد.

رابطه پیشین دارای خطابی در حدود $30\% \pm$ است و نباید برای رس های با درجه حساسیت بزرگتر از ۴ استفاده شود. ترزاوی و پک [19] همچنین رابطه مشابهی برای رس های ریمولد^۲ (نمونه هایی که در آزمایشگاه برای انجام آزمایش ساخته می شوند) به صورت زیر ارائه داده اند:

$$C_c = 0.007 (LL - 10) \quad (24-4)$$

روابط همبستگی متعددی بین شاخص تراکم با پارامترهای شاخص خاک ارائه شده اند که بعضی از آن ها در ادامه ارائه می گردند:

$$C_c = 0.01 \omega_N \quad (\text{برای رس شیکاگو}) \quad (25-4)$$

$$C_c = 0.0046 (LL - 9) \quad (\text{برای رس برزیلی}) \quad (26-4)$$

$$C_c = 1.21 + 1.055 (e_0 - 1.87) \quad (\text{برای رسی ماتلی، شهر سائوپاتولو}) \quad (27-4)$$

$$C_c = 0.208 e_0 + 0.0083 \quad (\text{برای رس شیکاگو}) \quad (28-4)$$

$$C_c = 0.0115 \omega_N \quad (29-4)$$

چنان که ،

ω_N = رطوبت طبیعی خاک بر حسب درصد، e_0 = نسبت تخلخل درجا شاخص تورم، C_s خاک در حدود $1/5$ تا $1/10$ شاخص تراکم می باشد.

| مبانی عمومی نشست تحکیمی | ۱۲-۴ |

لایه ای خاک رسی به ضخامت H_c در شکل ۱۳-۴ نشان داده شده است. فرض کنید که نسبت تخلخل اولیه قبل از احداث فونداسیون، e_0 و تنش مؤثر قائم میانگین در لایه رس برابر σ'_c باشد. فونداسیون قرار گرفته در عمق D_f در معرض افزایش فشار خالص میانگین σ قرار دارد. این مسئله باعث افزایش تنش قائم در خاک می شود. اگر افزایش تنش قائم در هر نقطه در زیر مرکز فونداسیون برابر $\Delta\sigma_{av}$ باشد، افزایش تنش قائم $\Delta\sigma_{av}$ در لایه رس را می توان به صورت زیر بدست آورد:

$$\Delta\sigma_{av} = \frac{1}{H_2 - H_1} \int_{z=H_1}^{z=H_2} (\Delta\sigma) dz \quad (30-4)$$

نشست تحکیمی، S_c در اثر این افزایش تنش میانگین را به صورت زیر می توان محاسبه نمود:

$$S_c = \frac{\Delta e}{1 + e_0} = \frac{C_c H_c}{1 + e_0} \text{Log} \left(\frac{\sigma'_c + \Delta\sigma_{av}}{\sigma'_c} \right) \quad (\text{برای رس عادی تحکیم یافته، } \sigma'_c = \sigma'_0) \quad (31-4)$$

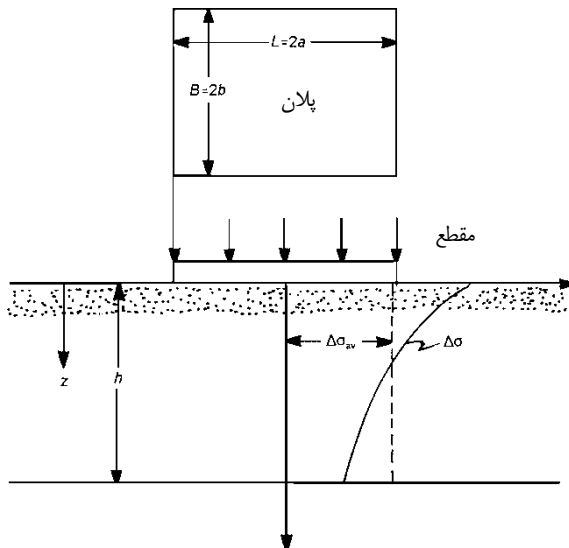
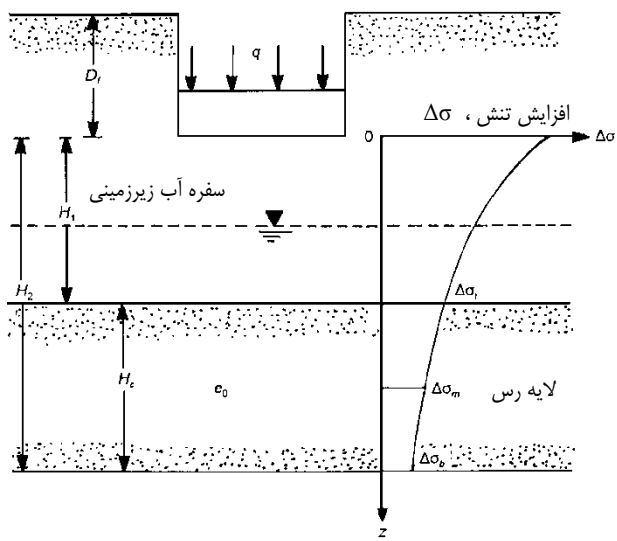
$$S_c = \frac{\Delta e}{1 + e_0} = \frac{C_s H_c}{1 + e_0} \text{Log} \left(\frac{\sigma'_c + \Delta\sigma_{av}}{\sigma'_0} \right) \quad (\text{رس بیش تحکیم یافته و } \sigma'_c \geq \sigma'_0) \quad (32-4)$$

$$S_c = \frac{\Delta e}{1 + e_0} = \frac{C_s H_c}{1 + e_0} \text{Log} \left(\frac{\sigma'_c}{\sigma'_0} \right) + \frac{C_c H_c}{1 + e_0} \text{Log} \left(\frac{\sigma'_c + \Delta\sigma_{av}}{\sigma'_c} \right) \quad (\sigma'_c < \sigma'_0 < \sigma'_0 + \Delta\sigma_{av}) \quad (33-4)$$

چنان که $\Delta e = \text{تغییر در نسبت تخلخل در اثر تحکیم اولیه}$

¹ Terzaghi and Peck

² Remolded Clay

شکل ۴-۱۴ افزایش تنش متوسط ، $\Delta\sigma_{av}$ 

شکل ۴-۱۳ محاسبه نشست تحکیمی اولیه

معادلات فوق را به دو طریق برای محاسبه نشست تحکیمی اولیه می‌توان به کار بست. این دو روش عبارتند از:

روش A

بر طبق این روش، σ'_0 تنش مؤثر میانگین موجود در خاک است (یعنی تنش مؤثر در وسط لایه رس). مقدار $\Delta\sigma_{av}$ را می‌توان به صورت زیر محاسبه نمود (شکل ۴-۱۳):

$$\Delta\sigma_{av} = \frac{1}{6}(\Delta\sigma_t + 4\Delta\sigma_m + \Delta\sigma_b) \quad (۳۴-۴)$$

چنان که $\Delta\sigma_t$ ، $\Delta\sigma_m$ و $\Delta\sigma_b$ = افزایش تنش به ترتیب در بالا، وسط و پایین لایه رس می‌باشد.

افزایش تنش میانگین $\Delta\sigma_{av}$ ، از $z=0$ تا $z=H$ در زیر مرکز یک سطح مستطیلی انعطاف پذیر با بارگذاری یکنواخت

(شکل ۴-۴) توسط گریفیتس¹ [21] با استفاده از انتگرال گیری بدست آمده است، یعنی ،

$$\Delta\sigma_{av} = q I_{av} \quad (۳۵-۴)$$

چنان که ،

$$I_{av} = f\left(\frac{a}{h}, \frac{b}{h}\right) \quad (۳۶-۴)$$

a, b =نصف طول و نصف عرض فونداسیون

تغییرات I_{av} به صورت تابعی از a/h و b/h در شکل ۱۵-۴ ارائه شده است. توجه به این مسئله مهم است که محاسبه شده با استفاده از این شکل برای افزایش تنش میانگین از $z=0$ تا $z=h$ (شکل ۴-۴) می‌باشد. برای محاسبه افزایش تنش میانگین در لایه رسی چنان که در شکل ۱۶-۴ نشان داده شده است ،

$$I_{av(h_1/h_2)} = \frac{h_2 I_{av(h_2)} - h_1 I_{av(h_1)}}{h_2 - h_1}$$

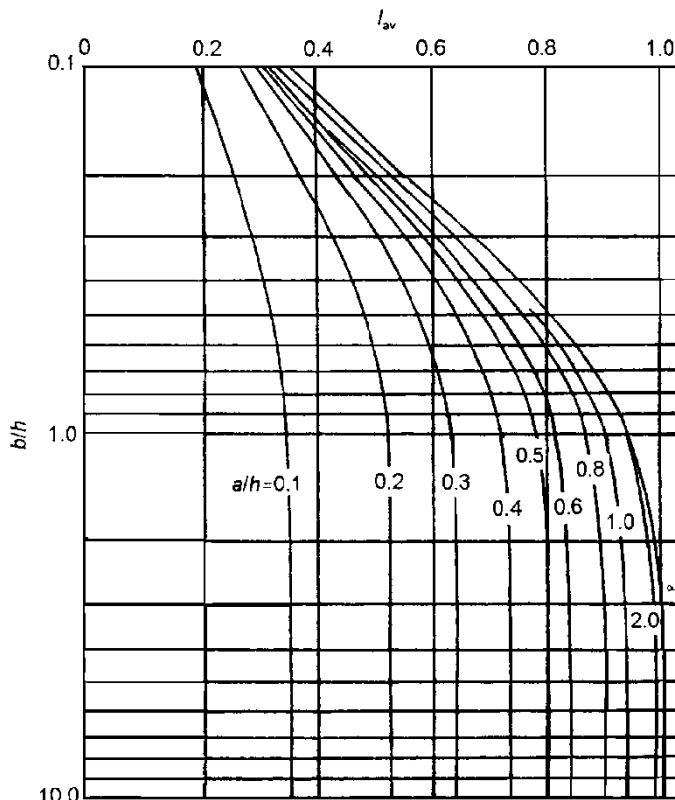
¹ Griffiths

به طوری که ،

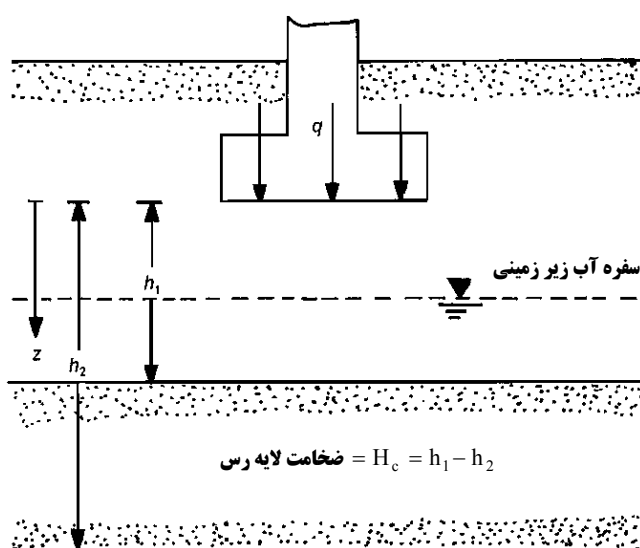
$$I_{av(h_2)} = f\left(\frac{a}{h_2}, \frac{b}{h_2}\right) \quad , \quad I_{av(h_1)} = f\left(\frac{a}{h_1}, \frac{b}{h_1}\right) \quad , \quad h_2 - h_1 = H_c$$

بنابراین ،

$$\Delta\sigma_{av} = q \left[\frac{h_2 I_{av(h_2)} - h_1 I_{av(h_1)}}{H_c} \right] \quad (۳۷-۴)$$



شکل ۴-۱۵ تغییرات I_z با a/h و b/h

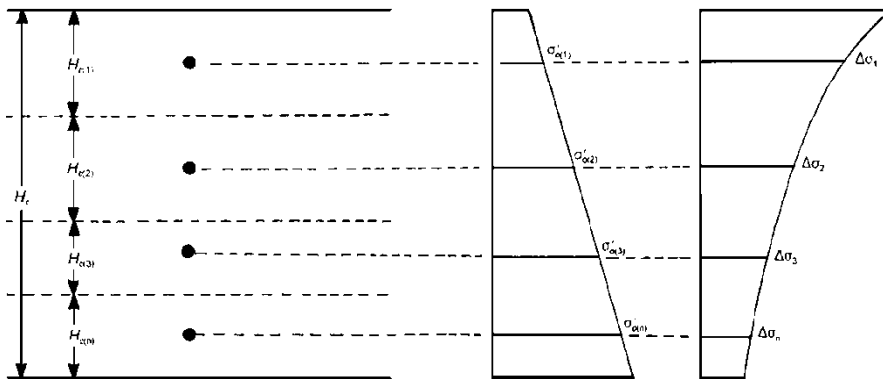


شکل ۴-۱۶ افزایش نش متوسط در لایه رس

روش B ◀

در این روش لایه خاک رس را می توان به لایه های متعدد به ضخامت های $H_{c(1)}, H_{c(2)}, \dots, H_{c(n)}$ تقسیم نمود (شکل ۱۷-۴). بدین ترتیب تنש های مؤثر درجا در وسط هر لایه برابر خواهد بود با $\sigma'_{c(1)}, \sigma'_{c(2)}, \dots, \sigma'_{c(n)}$. افزایش تنش میانگین در هر لایه را می توان تقریباً برابر افزایش تنش قائم در وسط هر لایه خاک در نظر گرفت [یعنی $\Delta\sigma_{av(1)} \approx \Delta\sigma_1, \Delta\sigma_{av(2)} \approx \Delta\sigma_2, \dots, \Delta\sigma_{av(n)} \approx \Delta\sigma_n$]. بنابراین نشست تحکیمی کل لایه برابر خواهد بود با :

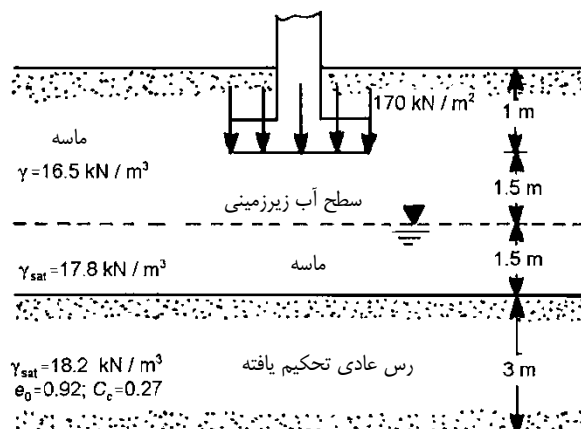
$$S_c = \sum_{i=1}^{i=n} \frac{\Delta e_i}{1+e_{c(i)}} H_i \quad (۳۸-۴)$$



شکل ۱۷-۴ محاسبه نشست تحکیمی با استفاده از روش B

مثال

با رجوع به شکل ۱۸-۴ و با استفاده از روش A، نشست تحکیمی اولیه فونداسیونی با ابعاد $(B \times L) = 1.5m \times 3m$ را بدست آورید.



شکل ۱۸-۴

حل مسئله:

با استفاده از معادله (۵.۸۹)

$$S_c = \frac{C_c H_c}{1+e_c} \log \left(\frac{\sigma'_c + \Delta\sigma_{av}}{\sigma'_c} \right)$$

با در اختیار داشتن پارامترهای $e_o = 0.92$, $H_c = 3m$, $C_c = 0.27$

$$\sigma'_o = (1+1.5)(16.5) + (1.5)(17.8 - 9.81) + \frac{3}{2}(18.2 - 9.81) = 65.82 \text{ kN/m}^2$$

$$a = \frac{L}{2} = \frac{3}{2} = 1.5 \text{ m}$$

$$b = \frac{B}{2} = \frac{1.5}{2} = 0.75 \text{ m}$$

$$h_1 = 1.5 + 1.5 = 3 \text{ m}$$

$$h_2 = 1.5 + 1.5 + 3 = 6 \text{ m}$$

$$\frac{a}{h_1} = \frac{1.5}{3} = 0.5; \frac{b}{h_1} = \frac{0.75}{3} = 0.25$$

با رجوع به شکل ۵.۳۱

به طور مشابه ،

$$\frac{a}{h_2} = \frac{1.5}{6} = 0.25; \frac{b}{h_2} = \frac{0.75}{6} = 0.125$$

با رجوع به شکل ۵.۳۱

حال با توجه به معادله (۵.۹۵) داریم:

$$\Delta\sigma_{av} = q \left[\frac{h_2 I_{av(h_2)} - h_1 I_{av(h_1)}}{H_c} \right] = 170 \left[\frac{(6)(0.34) - (3)(0.54)}{3} \right] = 23.8 \text{ kN/m}^2$$

$$S_c = \frac{(0.27)(3)}{1+0.9} \log \left(\frac{65.82 + 23.8}{65.82} \right) = 0.057 \text{ m} = 57 \text{ mm}$$



مسأله قبل را با استفاده از روش B حل نمایید (توجه: لایه رس را به سه لایه هریک به ضخامت ۱ متر تقسیم نمایید).



با ایجاد جدولی به صورت زیر انجام محاسبات راحت تر خواهد شد:

محاسبه σ'_o :

شماره لایه	ضخامت لایه، H_i (متر)	عمق تا وسط لایه رس (متر)	σ'_o (kN/m ²)
1	1	$1+1.5+1.5+0.5=4.5$	$(1+1.5)16.5+(1.5)(17.8-9.81)+(0.5)(18.2-9.81)=57.43$
2	1	$4.5+1=5.5$	$57.43+(1)(18.2-9.81)=65.82$
3	1	$5.5+1=6.5$	$65.82+(1)(18.2-9.81)=74.21$

محاسبه $\Delta\sigma_{av}$:

شماره لایه	ضخامت لایه، H_i (متر)	عمق تا وسط لایه از زیر فونداسیون، z (متر)	^a L/B	^b z/B	^c $\frac{\Delta\sigma_{(av)}}{q}$	^c $\Delta\sigma_{av}$
1	1	3.5	2	2.33	0.16	27.2
2	1	4.5	2	3.0	0.095	16.15
3	1	5.5	2	3.67	0.07	11.9

^a $B = 1.5 \text{ m}; L = 3 \text{ m}$

^b ۵.۳

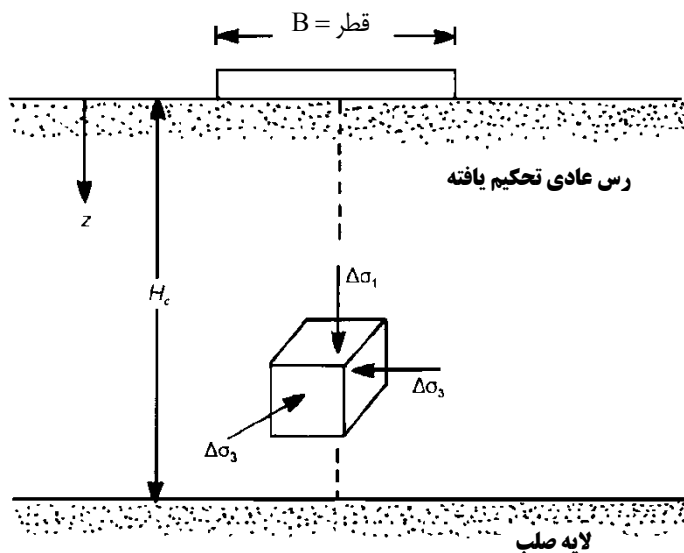
^c $q = 170 \text{ kN/m}^2$

$$\begin{aligned}
 S_c &= \sum \frac{C_c H_i}{1+e_o} \log \left[\frac{\sigma'_{c(i)} + \Delta\sigma_{av(i)}}{\sigma'_{c(i)}} \right] \\
 &= \frac{(0.27)(1)}{1+0.9} \left[\log \left(\frac{57.43 + 27.2}{57.43} \right) + \log \left(\frac{65.82 + 16.15}{65.82} \right) + \log \left(\frac{74.21 + 11.19}{74.21} \right) \right] \\
 &= (0.142)(0.168 + 0.096 + 0.065) = 0.047 \text{ m} = 47 \text{ mm}
 \end{aligned}$$

۱۳-۴ تأثیر حالت سه بعدی در نشست تحکیمی اولیه

روش ارائه شده در بخش پیشین مربوط به نشست تک بعدی بوده و زمانی که عرض فونداسیون در مقایسه با ضخامت لایه تراکم پذیر، H_c بزرگ است و همچنین زمانی که مصالح تراکم پذیر بین دو لایه خاک سخت تر قرار دارد نتایج خوبی بدست می‌دهد. دلیل این مسئله این است که در حالت های فوق مقدار کرنش های افقی نسبتاً کوچک هستند.

برای این که تأثیر حالت سه بعدی خاک در محاسبات نشست در نظر گرفته شود، اسکمپتون و بیروم^۱ تصحیحی برای نشست های تحکیمی یک بعدی رس های عادی تحکیم یافته ارائه داده اند. برای فونداسیونی دایره ای (قطر = B) در روی لایه ای رس عادی تحکیم یافته به ضخامت H_c رابطه اصلاحی به صورت زیر است:



شکل ۱۹-۴ تأثیر حالت سه بعدی در نشست تحکیمی اولیه (فونداسیون دایره ای با قطر B)

$$S_c = \mu_{c(NC)} \times S_{c(oed)}$$

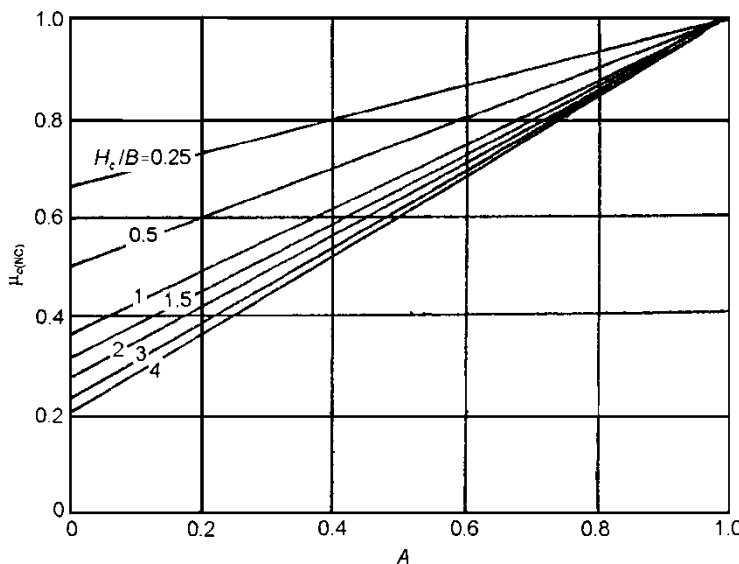
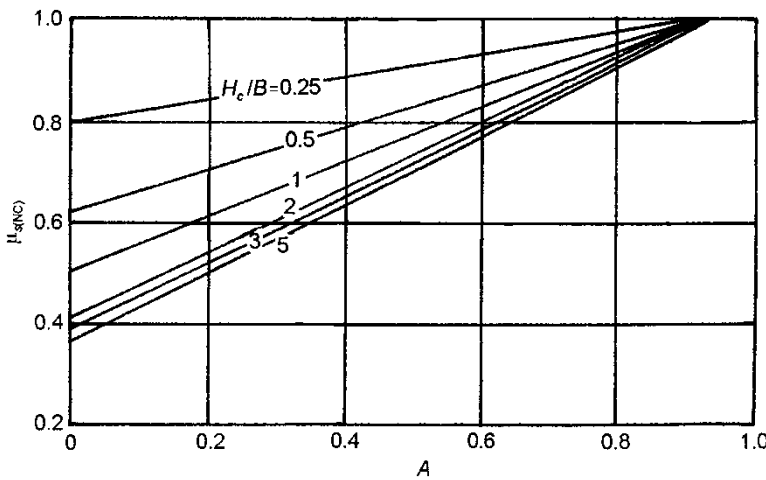
تغییرات $\mu_{c(NC)}$ با A و H_c/B در شکل ۲۰-۴ نشان داده شده است.

به طور مشابه برای فونداسیون نواری داریم:

$$S_c = \mu_{s(NC)} \times S_{s(oed)}$$

نمودار $\mu_{s(NC)}$ با A برای مقادیر مختلف H_c/B در شکل ۲۱-۴ نشان داده شده است.

^۱ Skempton and Bjerrum

شکل ۲۰-۴ تغییرات $\mu_{c(NC)}$ با H_c / B و A (فونداسیون دایره ای)شکل ۲۱-۴ تغییرات $\mu_{s(NC)}$ با H_c / B و A (فونداسیون نواری)

لئوناردز^۱ [23] ضریب تصحیح $\mu_{c(OC)}$ مربوط به تأثیر تحکیم در حالت سه بعدی را برای فونداسیون دایره ای قرار گرفته در روی رس بیش تحکیم یافته به صورت زیر ارائه نمود:

$$S_e = \mu_{c(OC)} S_{c(oed)} \quad (39-4)$$

چنان که

$$\mu_{c(OC)} = f \left(OCR, \frac{B}{H_c} \right) \quad (40-4)$$

$$OCR = \frac{\sigma'_c}{\sigma'_o} \quad (41-4)$$

σ'_c = فشار پیش تحکیمی

σ'_o = تنش تحکیمی مؤثر موجود

مقادیر درون یابی شده $\mu_{c(OC)}$ از نتایج کارهای لئوناردز [24] در جدول ۸-۴ ارائه شده است.

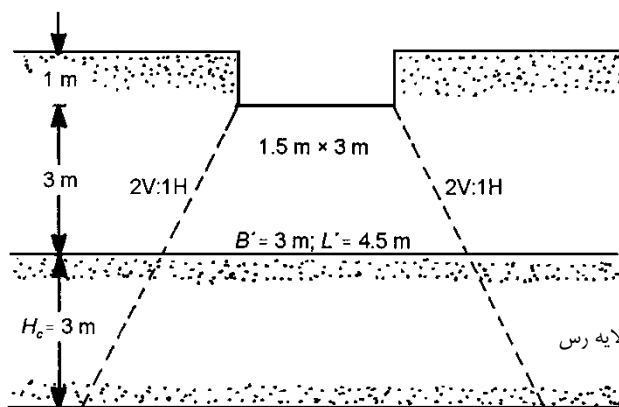
^۱ Leonards



با رجوع به مثال قبل و با فرض این که پارامتر فشار آب منفذی A برای رس برابر ۰.۶ است، با در نظر گرفتن اثرات سه بعدی، نشست تحکیمی را محاسبه نمایید.

جدول ۴-۸- تغییرات $\mu_{c(OC)}$ با B/H_c

OCR	$\mu_{c(OC)}$		
	$B / H_c = 4.0$	$B / H_c = 1.0$	$B / H_c = 0.2$
1	1	1	1
2	0.986	0.957	0.929
3	0.972	0.914	0.842
4	0.964	0.871	0.771
5	0.950	0.829	0.707
6	0.943	0.800	0.643
7	0.929	0.757	0.586
8	0.914	0.729	0.529
9	0.900	0.700	0.493
10	0.886	0.671	0.457
11	0.871	0.643	0.429
12	0.864	0.629	0.414
13	0.857	0.614	0.400
14	0.850	0.607	0.386
15	0.843	0.600	0.371
16	0.843	0.600	0.357



شکل ۴-۴

حل مسئله



توجه نمایید که معادله (۵.۱۰) و شکل ۵.۳۶ تنها برای حالت متقارن محوری معتبر هستند گرچه می‌توان از یک روش تقریبی نیز استفاده نمود. با رجوع به شکل ۵.۴۰ اگر فرض نماییم که بار فونداسیون به صورت هرمی با شیب ۲ به ۱ (قائم - ۱ افقی) توزیع می‌شود، آنگاه ابعاد سطح بارگذاری شده در بالای لایه رس برابر خواهد شد با:

$$B' = 1.5 + \frac{1}{2}(3) = 3 \text{ m}$$

$$L' = 3 + \frac{1}{2}(3) = 4.5 \text{ m}$$

قطر دایره معادل B_{eq} را به صورت زیر می توان محاسبه نمود:

$$\frac{\pi}{4} B_{eq}^2 = B' L'$$

یا

$$B_{eq} = \sqrt{\frac{\pi}{4} B' L'} = \sqrt{\left(\frac{\pi}{4}\right)(3)(4.5)} = 4.15 \text{ m}$$

$$\frac{H_c}{B} = \frac{3}{4.15} = 0.723$$

با رجوع به شکل ۵.۳۶ به ازاء $A = 0.6$ و $H_c / B = 0.723$ ، مقدار $\mu_{c(NC)} \approx 0.76$ بدست می آید. بنابراین ،

$$S_c = S_{c(oed)} \mu_{c(NC)} = (57)(0.76) = 43.3 \text{ mm}$$

۱۴-۴ نشت تحکیمی ثانویه

تحکیم ثانویه پس از به اتمام رسیدن تحکیم اولیه و اساساً تحت تنش مؤثر ثابت مطابق با شکل ۲۳-۴ رخ می دهد. شیب دیگر نسبت تخلخل در برابر لگاریتم زمان برابر است با C_a . به عبارت دیگر ،

$$C_a = \frac{\Delta e}{\log\left(\frac{t_2}{t_1}\right)} \quad (42-4)$$

نشست تحکیمی ثانویه S_s را به صورت زیر می توان محاسبه نمود:

$$S_s = \frac{C_a H_c}{1 + e_p} \log\left(\frac{t_2}{t_1}\right) \quad (43-4)$$

چنان که ،

e_p = نسبت تخلخل در پایان تحکیم اولیه و t_1, t_2 = زمان

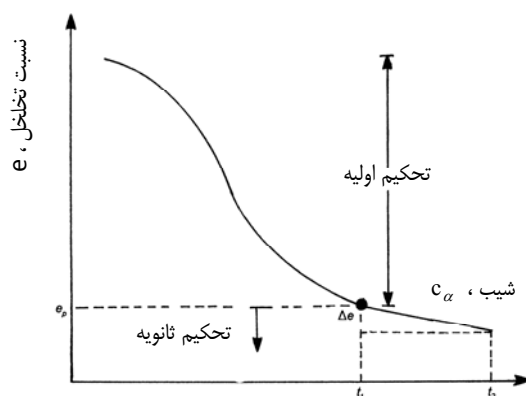
مقدار شاخص تراکم ثانویه می تواند محدوده گسترده ای را شامل شود که بعضی از مقادیر آن عبارتند از:

رس های بیش تحکیم یافته > 0.001

و یا بیشتر خاک های آلی 0.025

رس های عادی تحکیم یافته $0.004 - 0.025$

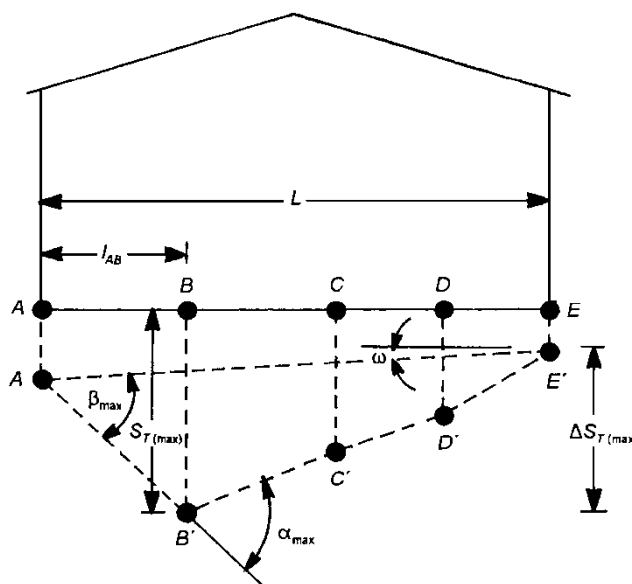
در اکثر موارد، تحکیم ثانویه در مقایسه با نشت تحکیمی اولیه کوچک می باشد. اگر چه این نشت در خاک های رسی خیلی پلاستیک و خاک های آلی می تواند قابل توجه باشد.



شکل ۲۳-۴ نشت تحکیمی ثانویه

| ۱۵-۴ مفهوم عمومی نشست تفاضلی |

در اکثر موارد، خاک زیر فونداسیون همگن نیست و بار وارد بر فونداسیون های سطحی یک سازه مشخص می تواند تغییرات گسترده ای داشته باشد. درنتیجه در نقاط مختلف یک سازه می توان انتظار نشست های مختلفی را داشت. نشست تفاضلی نقاط مختلف یک سازه می تواند باعث آسیب دیدن روسازه گردد. بنابراین باید ضوابط مشخصی برای تعیین نشست تفاضلی و مقادیر حدی این پارامترها وضع گردد تا سازه عملکرد مطلوبی داشته باشد. بدین جهت بورلند و ورت^۱ [24] پارامترهای مهم مربوط به نشست های تفاضلی را چنان که در شکل ۲۴-۴ نشان داده شده است بیان نمودند.



شکل ۲۴-۴ تعاریف پارامترهای نشست تفاضلی

این شکل سازه ای را نشان می دهد که نقاط مختلف فونداسیون آن در A,B,C,D,E هر یک متحمل نشست هایی شده اند. نشست در A برابر است با AA'، در B برابر است با BB' بر این شکل می توان پارامترهای زیر را تعریف نمود:

$$S_T = \text{نشست کل یک نقطه مشخص از سازه}$$

$$\Delta S_T = \text{اختلاف نشست بین دو بخش سازه}$$

$$\alpha = \text{شیب دو نقطه متواالی}$$

$$\beta = \text{اعوجاج زاویه ای} = \frac{\Delta S_{T(ij)}}{l_{ij}} \quad (\text{توجه شود که } l_{ij} = \text{فاصله بین نقاط } i \text{ و } j)$$

$$\omega = \text{کج شدگی سازه}$$

$$\Delta = \text{خیز نسبی}$$

$$\Delta / L = \text{نسبت خیز}$$

از سال ۱۹۵۰ تاکنون محققین و آیین نامه های ساختمانی متعدد ، مقادیر مجاز مختلفی برای پارامترهای فوق توصیه نموده اند. بعضی از این مقادیر توصیه شده در ادامه ارائه شده است.

¹ Burland and Worth

۱۶-۴ مفهوم عمومی نشست تفاضلی

در سال ۱۹۵۶، اسکمپتون و مک دونالد^۱ [25] مقادیر حدی زیر را برای حداکثر نشست، حداکثر نشست تفاضلی و حداکثر اعوجاج زاویه ای برای استفاده در آیین نامه های ساختمانی پیشنهاد نمودند.

		نشست حداکثر $S_{T(\max)}$
.....	در ماسه
.....	در رس
		حداکثر نشست تفاضلی،
.....	فونداسیون منفرد در ماسه
.....	فونداسیون منفرد در رس
.....	بی گسترده در ماسه
.....	بی گسترده در رس
$1/300$	حداکثر اعوجاج زاویه ای β_{\max}

پولشنین و توکار^۲ [26] بر مبنای تجربه حرفه ای، نسبت های خیز مجاز سازه ها را به صورت تابعی از H / L ($L =$ طول، $H =$ ارتفاع سازه) به صورت زیر ارائه داده اند:

برای $L / H \leq 2$	$\Delta / L = 0.0003$
برای $L / H = 8$	$\Delta / L = 0.001$

آیین نامه شوروی سابق (۱۹۵۵) نیز، مقادیر مجاز زیر را توصیه نموده است.

Δ / L	L / H	نوع سازه
(برای ماسه)	0.0003	ساختمان های چند طبقه و منازل مسکونی
(برای رس)	0.0004	
(برای ماسه)	0.0005	≥ 5
(برای رس)	0.0007	
(برای ماسه و رس)	0.001	کارخانه های یک طبقه

بیرون [27] زوایای اعوجاج حدی زیر (β_{\max}) را برای سازه های مختلف ارائه نموده است.

β_{\max}	رده آسیب های احتمالی
1/150	$\langle L / H > 4$ حد ایمن برای دیوار های آجری انعطاف پذیر
1/150	خطر آسیب سازه ای در اکثر سازه ها
1/150	ترک پانل ها و دیوارهای آجری
1/250	کچ شدگی قابل روئیت ساختمان های صلب بلند
1/300	ترک خودگی اوپله دیوارهای پانلی
1/500	حد ایمن برای جلوگیری از وقوع ترک در سازه ها
1/600	خطر برای چارچوب های دارای عضو قطری

¹ Skempton and MacDonald

² Polschin and Tokar

گرنت و همکاران روابط همبستگی ارائه شده در جدول زیر را بین β_{max} و $S_{T(max)}$ برای ساختمان های مختلف توصیه نموده اند:

همبستگی	نوع فونداسیون	نوع خاک
$S_{T(max)}(mm) = 30000 \beta_{max}$	فونداسیون سطحی منفرد	رس
$S_{T(max)}(mm) = 35000 \beta_{max}$	گسترده	رس
$S_{T(max)}(mm) = 15000 \beta_{max}$	فونداسیون سطحی منفرد	ماسه
$S_{T(max)}(mm) = 18000 \beta_{max}$	گسترده	ماسه

با استفاده از همبستگی های فوق، اگر حداکثر مقدار مجاز β مشخص باشد، مقدار $S_{T(max)}$ مجاز را می توان محاسبه نمود.

کمیته استاندارد اروپا اخیراً مقادیری حدی برای حالت های حدی خدمت پذیری [29] و حداکثر جابجایی مجاز فونداسیون ها [30] ارائه نموده است. این مقادیر مطابق جدول ۵.۲۰ می باشند.

جدول ۵.۲۰ توصیه های کمیته استاندارد اروپا در رابطه با پارامترهای نشست های تقاضلی

توضیح	مقدار	پارامتر	مورد
فونداسیون سطحی منفرد	25 mm	S_T	مقادیر حدی خدمت پذیری [29]
فونداسیون گسترده	50 mm		
چارچوب با پوشش صلب	5 mm	ΔS_T	
چارچوب با پوشش انعطاف پذیر	10 mm		
چارچوب های باز	20 mm		
----	1/500	β	
فونداسیون سطحی منفرد	50	S_T	حداکثر جابجایی مجاز فونداسیون [30]
فونداسیون سطحی منفرد	20	ΔS_T	
----	$\approx 1/500$	β	

۱۴-۴ | تعدیل و تقلیل جایجایی ها و نشست ها

توسعه در جوامع امروزی متضمن ساخت و ساز بر روی مصالح حاشیه ای از قبیل خاک های نرم، تورمی و فروریزشی و یا خاکریزها بوده که مستعد نشست پذیری و تغییرات حجمی نسبتاً بالایی هستند. لذا جهت ساخت روی زمین های مسئله دار، در گام اول مطالعات ژئوتکنیک و بررسی پارامترهای خاک بخصوص پارامترهای مربوط به سختی آن می باشد. عمق بررسی ها محدوده تاثیر گذاری تنفس توسط روسازی را شامل می شود که حداقل ۲ تا ۳ برابر عرض پی های مربعی (وقتی که $B < 2 L$)، چهار برابر عرض پی های نواری و یا خاکریزها و یا تا عمقی که به خاک تراکم پذیر ختم شود، باید انجام شود. اگر محاسبات و شواهد نشان دهد که خاک زیر پی با فشارهای مربوط قابلیت نشست پذیری و فشردگی زیادی را داشته باشد، در آن صورت باید یکی از راه حل های زیر را قبل از احداث بنا به کار گرفت:

۱. اجرای تثبیت و بهسازی خاک
۲. استفاده از روش های مناسب پی سازی
۳. تجدید نظر در طراحی روسازه
۴. پذیرش مخاطره نشست و جایجایی، به کارگیری و اقدامات ترمیمی

۱۴-۴ بهسازی خاک

بهسازی خاک شامل روش های مختلف تغییر خصوصیات خاک بوده که نهایتاً منجر به افزایش مقاومت، کاهش تغییرات حجمی و تامین رفتار خاص خاک را به همراه دارد.

خاک های نرم و شل دارای پایداری حجمی پایین و مقاومت کم بوده و ممکن است مشکل از ماسه و لای شل، رس اشباع، خاک های آلی و یا ترکیبی از مصالح فوق باشد. اکثر روش های بهسازی، در مورد این خاک ها جهت تعیین نشست کارایی داشته، گرچه به کارگیری یک روش خاص بستگی به عوامل اقتصادی، کارایی در خاک موجود، دسترسی به تجهیزات و مصالح و مهارت ها و اثرباری در محیط زیست دارد. ضمناً دو دسته دیگر خاک های مسئله دار به قرار خاک های انبساطی و خاک های فروبریزشی بود که در مورد خاک های انبساطی مهمترین عامل جهت جلوگیری از تورم، کنترل میزان رطوبت آنهاست. اگرچه روش های برداشت و جایگزینی خاک، پیش بارگذاری، تثبیت با آهک و استفاده از موائع رطوبتی سطحی در آنها توصیه می شود. خاک های فروبریزشی یا رمیند و قار می گیرند، بافت داخلی شان بهم ریخته و نشست زیادی نموده که از رایج ترین روش ها جهت اجرای پی بر روی آنها می توان به غرقاب نمودن و تراکم آنها اشاره نمود که با روش تراکم هیدرولیکی معروف است.

موارد رایج چند روش بهسازی جهت تقلیل نشست به شرح زیر است:

(الف) حفاری و برداشت خاک

اگر عمق خاک های نرم و شل کمتر از ۶ متر بوده، می توان متناسب با نوع پروژه، آنها را گودبرداری و با مصالح مناسبی از قرضه جایگزین نمود و یا اینکه پس از برداشت، این خاک ها را ضمن کاهش رطوبت با مصالح درشت تر، آهک و یا سیمان، خاکستر آتشفسانی و یا افزودنی های شیمیایی تلفیق نمود. اگر آب زیرزمینی بالاتر از کف حفاری باشد، باشد از مصالح درشت دانه استفاده نمود. ضمن جایگزینی می توان از تراکم مکانیکی با استفاده از روش های دینامیکی و یا ویبره ای استفاده نمود.

(ب) پیش فشردن

با کمک پیش بار می توان خاک بستر را متراکم نمود. در بسیاری از حالت ها، پیش بار باید سنگین تر از بار دایمی سازه باشد. پیش بار باید عده مقادیر مربوط به تحکیم اولیه پس از ساخت و بخشی از تحکیم ثانویه را جبران نماید. مضافاً به اینکه تا حدودی توان باربری را نیز افزایش می دهد.

استفاده از زهکشی های طبیعی (زهکش های قائم ماسه ای) و یا مصنوعی و فتیله ای موجب تسريع در نشست تحکیمی خواهد شد. مطالعات ژئوتکنیک جهت تعیین فشار پیش تحکیمی ضروری بوده تا از کارایی پیش بارگذاری (اعمال فشار بیش از آنچه قبل از خاک وارد شده) اطمینان حاصل شود. اگر خاک، فشاری بیشتر از پیش بار را قبل از تجربه کرده باشد، پیش فشردنگی ثمری نخواهد داشت.

(ج) ستون های سنگی و یا ستون های ثبیت شده خاکی

جهت تقلیل نشست می توان چاه هایی را در زمین حفر و آن ها را با استفاده از مصالح با سختی بالاتر مسلح نمود. احداث ستون های سنگی و یا خاکی سفت و سخت به قطر های ۱۲۰-۴۰ سانتی متر رایج بوده، استفاده از یک پوشش سطحی ماسه ای و یا شنی و یا خاک مسلح نیم صلب، اغلب روی ستون های سنگی قرار داده شده تا پدیده انتقال بار به ستون های سنگی بهبود یابد. ستون های سنگی و یا خاکی برای خاک ها با درجه حساسیت بیش از ۵ توصیه نمی شود. پس از اجرای این ستون ها در زمین می توان در محاسبات مربوط به ثبیت پارامترهای سختی اعم از E , m_v و یا m_r را به صورت معادل یافته و یا میانگین وزن دار استفاده نمود.

(د) استفاده از جت تزریق

با این روش، تزریق محلول های سیمان و آهک که با فشار همراه است، تقریباً جایگزین فضاهای خالی هر نوع خاک می شود، و یا تغییر بافت خاک در نتیجه بهم ریختن توسط جت آب به همراه مواد افزودنی خواهد شد. این روش، غالباً برای زیرسازی فونداسیون موجود جهت تقلیل نشست های یکنواخت و غیر یکنواخت همانند اجرای دیوارهای جداکننده برای ستون ها، کانال ها و سدها به کار گرفته می شود. همچنین این روش، جهت ساخت و سازهای جدید و جهت بهسازی خاک های نرم استفاده می شود. در مجموع با بهم ریختن خاک های شل و نرم و جایگزینی آن ها با مصالح اصلاح شده و یا پرنودن خلل و فرج ها با مصالح اضافی موجب افزایش مقاومت، کاهش تغییرات حجمی و نیز کاهش نفوذپذیری می شود.

(ه) تراکم دینامیکی

در این روش، وزنه های ۵ تا ۲۰ تنی از ارتفاع ۵ متری در فواصل معینی روی زمین رها می شود. ارتعاشات و ضربات ناشی از سقوط وزنه موجب بهم ریختگی بافت موجود خاک، روانگرایی موضعی در خاک ها، جابجایی خاک های ریزدانه و درشت دانه در وضعیت متراکم تر و در نهایت به حداقل رساندن فضاهای خالی تغییرات حجمی تحت بارهای سرویس و افزایش باربری خاک خواهد شد.

(و) خاکریزی سازه ای

در عمل و در بسترها نرم و شل و عموماً اشباع خاک درشت دانه یا قطعات سنگی به مقدار مناسب روی خاک های باتلاقی و نرم ریخته شده تا موجب گسیختگی و جابجایی آن ها گردد. خاک نرم بستر دچار جابجایی در جهت حداقل مقاومت خواهد شد که اغلب در جلو قسمت خاکریزی شوده، بدین ترتیب و با برداشتن گل و لای برآمده از ریختن و افزایش مصالح درشت تر، و تراکم از نوع رفت و آمد ماشین آلات سنگین به حدی نزدیک می شویم که استفاده بیشتر از مصالح درشت دانه اثری از خروج گل و لای نداشته و در نهایت به ثبیت بستر منجر خواهد شد. به علاوه، وجود خاکریز با ضخامت معین به عنوان بستر و پی گسترده موجب خواهد شد که تنفس های حاصل از روسازه به هنگامی که به مصالح نرم تر بستر منتقل می شود از شدت آن ها به مراتب کاسته شود.

روش های پی سازی

برخی از طراحی های پی و روش های اجرایی می تواند اثر تغییرات حجمی و نشست های یکنواخت و غیر یکنواخت را به حداقل برساند که مواردی از آن ها به شرح زیر است:

(الف) استفاده از تیر کلاف

استفاده از پی های منفرد مجاور با تیر کلاف می تواند موجب افزایش صلبیت سیستم فونداسیون شده و در تعديل نشست های غیر یکنواخت موثر باشد. به خصوص اینکه پی های منفرد را در گوشه پلان و لبه پلان فونداسیون بنا داشته و عموماً اعمال بار به صورت خارج از مرکز برابر پی خواهد داشت.

(ب) پی های شناور

اجزای پی از جمله پی های گسترده و منفرد می تواند پس از گودبرداری در اعمق مناسبی مستقر شده به گونه ای که فشار به کار رفته توسط روسازه به خاک کف پی تقریباً با تمام و یا قسمتی از وزن خاک برداشته شده بالانس گردد. تغییرات حجمی مشاهده شده از نوع فشردگی مجدد الاستیکی بوده و خاک کف گود باید مقابل دست خوردگی و فرسایش محافظت گردد. در مجموع چون میزان خاک حفاری شده با تمام و یا قسمتی از وزن روسازه متعادل می شود، مشکلات نشست نسبت به حالت اولیه کمتر مطرح می باشد. در مکان هایی که سطح آب زیرزمینی بالا است، استفاده از پی شناور و اجرای آن ممکن است با مشکلاتی همراه باشد.

(ج) افزایش مساحت پی ها به همراه اجزای سخت کننده

با وسیع تر نمودن پی ها در پلان می توان فشارهای وارده را بر بستر کمتر و در نهایت نشست های یکنواخت غیر یکنواخت را تقلیل داد. از کاملترین پی سطحی، پی های گسترده دالی یا گسترده تقویت شده از یکسری تیرهای شبکه ای به عنوان سخت کننده در زیر و یا روی دال بوده که می تواند بار روسازه به خاک بستر را با سختی مناسبی انتقال داده و از توان برابری خاک کف به نحو بھینه ای بهره برداری شود. به علاوه، سختی و صلبیت پی های گسترده که توزیع یکنواخت تنش در زیر پی را به دنبال داشته، می تواند موجب کاهش تنش های غیر یکنواخت در خاک ها و همچنین تخفیف نشست های غیر یکنواخت گردد. افزون بر این، پی های گسترده بر اثر پدیده پل زدن اشکالات و عوارض موضعی را پوشش می دهند.

(د) جک های تراز کننده

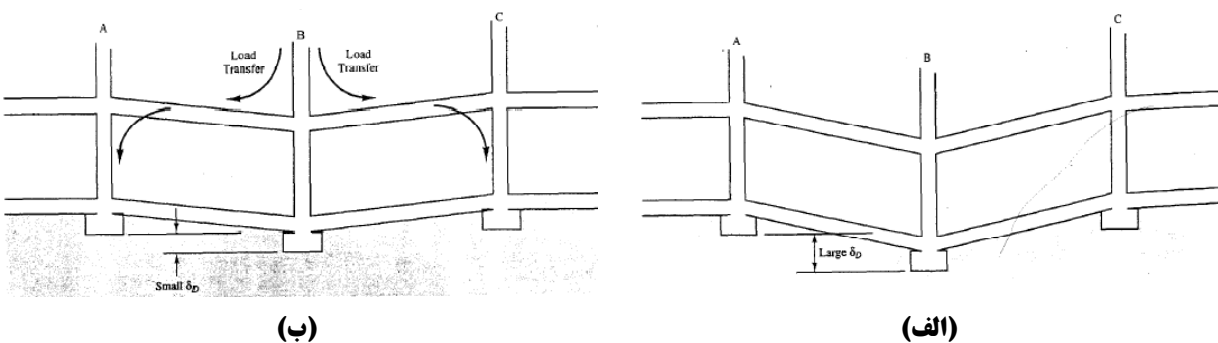
برخی سازه ها ممکن است توسط جک هایی روی پی های منفرد نگه داری شده بقsmی که رقوم نگه داری در فواصل زمانی معین تعیین شده تا از آسیب دیدگی اعضای روسازه بر اثر نشست های غیر عادی یکنواخت جلوگیری گردد. تدقیق تنظیم تراز نمودن روسازه توسط جکها نیاز به ثبت رقوم و نقشه برداری منظم و پیوسته دارد تا بتوان جهت و مقدار ترازیابی را تنظیم نمود.

(۵) پی های عمیق

بارهای روسازه می تواند توسط پی های عمیق و یا شمع ها به لایه های مناسب تر، سخت تر و مقاومت تر زیرین انتقال یافته تا روسازه از نشست های زیادی و کمبود مقاومت لایه های سطحی در امان باشد. البته تلفیق مناسب پی گسترده و شمع در زیر آن می تواند در کنترل نشست موثر بوده و به علاوه، وجود شمع های معمولی و یا شمع های بتني از نوع ستون های سنگی و یا آهکی می تواند در زیر پی، مصالحی مرکب را به وجود آورده که مدول الاستیسیته شمع ها و یا ستون ها چند برابر خاک اطراف بوده و خاک زیر پی سخت تر شده و نشست کاهش یابد. مضافةً اینکه وجود گروه شمع موجب انتقال بار مرده در تراز پایین تر به صورت بلوکی شده که کاهش نشست ها را به دنبال دارد.

۱۵-۴ | اقدامات سازه ای

صلبیت روسازه به عنوان عامل مهمی در کنترل نشست های غیریکنواخت می باشد. مثلاً اسکلت های فلزی بدون مهاربندی می تواند از نوع سازه با انعطاف پذیری بالا در مقابل اسکلت با مهاربندی و توام با دیوار برشی محسوب شود. در سازه انعطاف پذیر، هر فونداسیون منفرد مستقل از دیگر پی ها عمل نموده و نشست هر پی روی دیگر پی ها بی تاثیر خواهد بود. چنین وضعیتی در شکل ۲۵-۴ مجسم شده است. به عنوان مثال دیگر، اگر یک پی تمایل به نشست بیشتر در مقایسه با پی های مجاور داشته باشد، اسکلت صلب تر و سخت تر با تغییر جهت در نحوه و ظرفیت انتقال بار موجب تعديل در نشست خواهد شد. سازه ها ممکن است در مقابله با تحمل جابجایی های غیریکنواخت، عملکرد انعطاف پذیری داشته باشند مثلاً با به کارگیری درزهای اجرایی در روسازه و یا با استفاده از مصالح فرم پذیر ساخته شوند. استفاده از قاب های چوبی و یا فلزی، نماهای فلزی، پانل های چوبی و یا کف های آسفالتی می توانند نشست های غیر یکنواخت بزرگ یا انحرافات زاویه ای تاحدود ۱/۱۵۰ را تحمل نمایند.



شکل ۲۵-۴ اثر صلبیت روسازه بر نشست های غیر یکنواخت

(الف) روسازه خیلی انعطاف پذیر، قابلیت انتقال بار کم و متعاقب آن نشست های غیر یکنواخت بزرگتر (ب) روسازه صلب، قابلیت انتقال بار بیشتر متعاقب آن مقابله در برابر نشست های غیر یکنواخت زیاد

۱۵-۴ | اقدامات ترمیمی

اگر در پاره ای موارد، عواقب تغییرات حجمی خاک از جمله نشست، تورم یا فروریزش و یا بهم ریختگی خاک بستر مشکلات جدی را بدنبال داشته باشد، و نتوان با روش های بهسازی، پی سازی و سازه ای با آن ها مقابله نمود، به کارگیری اقدامات

پیشگیرانه ممکن است به نتایج غیر اقتصادی منجر شده که توجیه پذیر نباشد. در این صورت، در پاره‌ای موارد می‌توان مخاطره وقوع نشست‌ها و جابجایی‌ها را پذیرفت و راه حل‌های بازسازی و مرمت را تعقیب نمود که در این صورت، هزینه‌های اقدامات مربوط به تعمیر ممکن است از هزینه‌های اولیه احداث بی‌تجاوز کند.

ضمناً میزان خسارت به وجود آمده که نیاز به مرمت داشته باشد، بستگی به طرز تلقی مالکان و یا اشخاص ذینفع داشته که تا چه حدی تغییر شکل‌ها و جابجایی‌ها را تحمل نمایند. روش‌های زیر معمولاً در مرمت پی‌ها استفاده شده است:

(الف) زیر شمع زدن یا ریز شمع‌ها

این روش، با استفاده از روش‌های حفاری درجا، حفاری و استفاده از شمع پیش ساخته، حفاری و دیوارسازی، استفاده از ریزشمع‌ها و یا شمع‌های ریشه‌ای و یا شمع‌های رانده شده توسط جک امکان پذیر است. استفاده از روش بستگی به نوع خاک، چگونگی کار با فونداسیون موجود و دسترسی به پی‌می باشد.

(ب) استفاده از تزریق

تزریق تراکمی با استفاده از سیمان، مواد شیمیایی، خاک ریزدانه، آهک با آب و یا کلرید کلسیم، سیلیکات سدیم، پلیمرها و رزین‌ها انجام می‌گیرد. تزریق تراکمی مثلاً با سیمان شامل ۱۲٪ نسبت وزنی سیمان با آب و خاک انجام شده که ماده تزریقی در چاله‌ها و مجاری حفاری شده پمپاژ می‌گردد که فشار پمپاژ در این خصوص تا 35kg/cm^2 بالغ می‌شود. در منابع مختلف بهسازی با استفاده از روش‌های تزریق جزئیات مفصل تری ارائه شده است.

(ج) جک زدن

استفاده از جک زدن و بالا آوردن و یا تنظیم پی جابجا شده معمولاً از روش‌های دیگر سریع‌تر است. پس از بلند نمودن پی می‌توان از مصالح تزریقی مانند سیمان پرتلند، آهک هیدراته، خاکستر آتشفسانی، آسفالت، گل حفاری و غیره جهت ثبتیت استفاده نمود. اگر ضخامت لازم برای پر نمودن در زیر پی کم باشد می‌توان از مصالح تزریقی روان‌تر و اگر ضخامت مربوط زیاد باشد، از مصالح سفت تر از قبیل ملات و بتن با اسلام‌پ پایین و حداقل استفاده نمود. مرمت تا حدود ۱ فوت یا 30cm در زیر پی‌ها تجربه شده است. جک زدن مناسب معمولاً موجب بسط و بروز ترک در فونداسیون نخواهد شد اما ترک‌های موجود ممکن است بیشتر باز شوند. تنها با تجربه کافی می‌توان نقاط و مکان‌های پایین افتاده را بالا آورد، در حالی که نقاط جابجا نشده را در همان سطح نگهداشت.

(د) قبول مخاطره نشست

پذیرش عوارض حاصل از نشست‌های یکنواخت و غیر یکنواخت ممکن است به میزان جابجایی‌ها و نمایان شدن انواع ترک‌ها و کجی‌ها و سپس تعمیر و ترمیم اجزای روسازه توأم باشد. البته اقدام فوق هنگامی کارایی دارد که سازه با اهمیت زیاد نبوده و نشست‌ها و جابجایی‌ها محدود به خسارت‌های معماری و سرویس دهی و عدم خسارت سازه‌ای را شامل شوند.

منابع



۱. فونداسیون های سطحی، ظرفیت باربری و نشست، تالیف: براجا ام. داس، ترجمه: عبدالمتین ستایش، رحمان محسنی آستانی، مقداد رمضانزاده بادلی.
۲. مهندسی پی، طراحی و اجرا، تالیف: دکتر ابوالفضل اسلام، شریه شماره ک-۴۳۷-۱۳۸۵ چاپ اول.

فصل ۶:

فشار جانبی خاک و دیوارهای حائل

جزوه درس مهندسی پی (کارشناسی عمران)

استاد: عبدالمتین ستایش



برای ارسال نظرات و پیشنهادات به سایت شخصی اینجانب رجوع نموده و یا نظرات و یا پیشنهادات خود را به آدرس پست الکترونیک زیر ارسال نمایید:

Website: www.ams.ir, Email: a_matin_s@yahoo.com

۱-۶ | مقدمه |

سازه های حائل خاک نظیر دیوارهای حائل، دیوارهای زیرزمین و دیوارهای ساحلی که در مهندسی پی برای حفاظت جداره شیروانی های خاکی مورد استفاده قرار می گیرند، تحت تاثیر فشارهای رانشی خاک قرار دارند. طرح صحیح این دیوارها ایجاد می کند که شناخت دقیقی از فشار جانبی ایجاد شده بین خاک و سازه داشته باشیم.

در این فصل مبانی نظری فشار جانبی خاک ها را معرفی نموده و پایداری دیوارهای حائل را مورد بررسی قرار می دهیم. دیوار حائل، دیواری است که تکیه گاه جانبی برای جداره های قائم و یا نزدیک به قائم خاک بوجود می آورد. از دیوار حائل در بسیاری از پروژه های ساختمانی نظیر راهسازی، پلسازی، محوطه سازی، ساختمان سازی و به طور کلی هرجا که احتیاج به تکیه گاه جانبی برای جدار قائم خاکبرداری باشد، استفاده می شود.

۲-۶ | انواع دیوار حائل |

بر حسب مصالح و هندسه مورد استفاده، دیوار حائل دارای انواع زیر می باشد:

۱. دیوار حائل وزنی
۲. دیوار حائل نیمه وزنی
۳. دیوار حائل طره ای
۴. دیوار حائل پشت بند دار

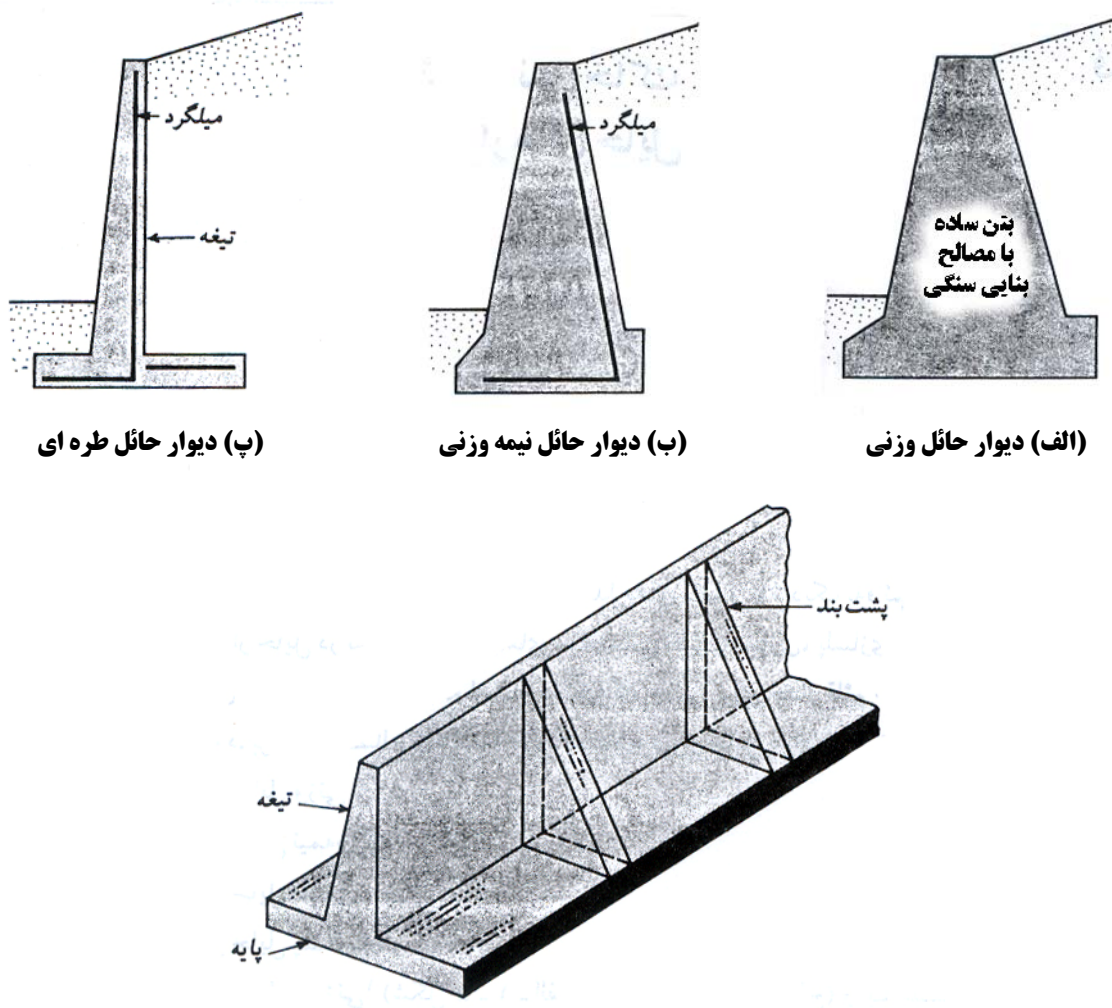
دیوارهای حائل وزنی (شکل ۱-۶-الف) از بتن ساده (غیر مسلح) و یا مصالح بنایی (بخصوص سنگ با ملات ماسه سیمان) ساخته می شوند. پایداری این دیوارها در مقابل فشار جانبی، در درجه اول بستگی به وزن آن ها دارد. گاهی موقع با استفاده از مقدار محدودی میلگرد، از عرض دیوار حائل وزنی مقداری کاسته می شود. این میلگردها در خمث با مصالح بنایی مشارکت می کنند. به چنین دیوارهای دیوارهای نیمه وزنی می گویند (شکل ۱-۶-ب).

دیوارهای حائل طره ای (شکل ۱-۶-پ) از بتن مسلح ساخته می شوند و متتشکل از دیوار تیغه و دال پایه می باشند. حداقل ارتفاع اقتصادی این دیوارها ۶ تا ۸ متر است.

دیوارهای حائل پشت بند دار (شکل ۱-۶-ت) مشابه دیوارهای حائل طره ای هستند با این اختلاف که در فواصل منظم دارای پشت بند هایی عمود بر دیوار تیغه می باشند. پشت بند ها، تیغه و دال را به یکدیگر می دوزند و در نتیجه با ایجاد رفتار دو طرفه از مقدار نیروی برشی و لنگر خمشی آنها می کاهمند.

در طراحی دیوار حائل، برای طراح باید پارامترهای پایه خاک، یعنی وزن مخصوص، زاویه اصطکاک و چسبندگی هم برای خاکریز پشت دیوار و هم برای خاک زیر پایه معلوم باشد. از پارامترهای مربوط به خاکریز پشت، طراح فشار جانبی و از پارامترهای مربوط به خاک زیر پایه، طراح ظرفیت باربری مجاز خاک را برای تحمل فشار زیر پایه به دست می آورد.

در طراحی دیوار حائل دو مرحله وجود دارد. اول با معلوم شدن فشار جانبی، پایداری کل سازه کنترل می‌شود. کنترل پایداری شامل کنترل در مقابل واژگونی، لغزش و ظرفیت باربری خاک زیر شالوده می‌باشد. در مرحله دوم طراحی سازه ای اجزاء مختلف دیوار در مقابل نیروهای وارد انجام می‌شود. نتیجه این مرحله تعیین ضخامت دیوارها و مقادیر میلگردها می‌باشد.



(ت) دیوار حائل پشت بند دار

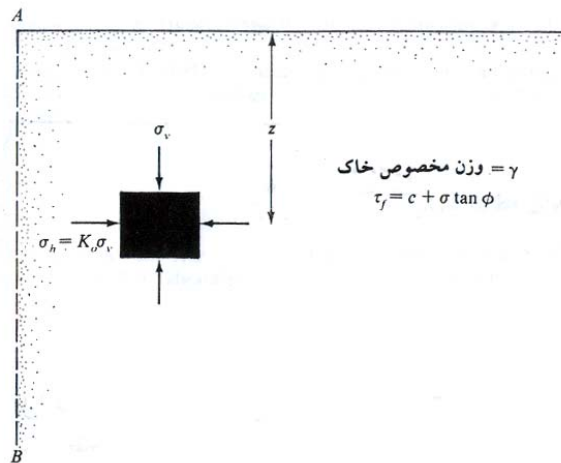
شکل ۱-۶ انواع دیوار حائل

۳-۶ فشار خاک در حالت سکون

توده خاکی مطابق شکل ۲-۶ در نظر گرفته می‌شود. سمت چپ این توده خاک، محدود به دیوار بدون اصطکاک AB می‌باشد که تا عمق بینهایت ادامه دارد. یک جزء کوچک در عمق z ، تحت فشار قائم σ_v و فشار افقی σ_h قرار دارد. برای حالت تحت مطالعه، σ_v و σ_h هم می‌توانند فشار موثر و هم می‌توانند فشار کل باشند. هیچگونه تنفس برشی در صفحات قائم و افقی وجود ندارد.

اگر دیوار **AB** ساکن باشد، یعنی هیچگونه حرکتی به سمت چپ یا راست نسبت به وضعیت اولیه نداشته باشند، توده خاک در حالت تعادل الاستیک خواهد بود. در چنین حالتی، نسبت تنش افقی به تنش قائم، ضریب فشار جانبی خاک در حالت سکون نامیده شده و با K_o نشان داده می شود:

$$K_o = \frac{\sigma_h}{\sigma_v} \quad (1-6)$$



شکل ۲-۶ فشار خاک در حالت سکون

چون $\sigma_v = \gamma \cdot z$ است، می توان نوشت:

$$\sigma_h = K_o (\gamma \cdot z) \quad (2-6)$$

ضریب فشار جانبی K_o به صورت زیر بدست می آید:

$$(3-6) \quad K_o = 0.95 - \sin \phi$$

خاک رسی عادی تحکیم یافته

$$(4-6) \quad K_o = (0.95 - \sin \phi) \times \sqrt{OCR}$$

خاک رس پیش تحکیم یافته

$$(5-6) \quad K_o = 1 - \sin \phi$$

ماسه شل و معمولی

$$(6-6) \quad K_o = 1 - \sin \phi + \left(\frac{\gamma_d}{\gamma_{dmin}} - 1 \right) \times 5.5$$

ماسه متراکم

$$\left. \begin{array}{l} \text{خاک چسبنده} \\ \text{خاک دانه ای} \end{array} \right\} = K_o$$

که در این روابط:

ϕ = زاویه اصطکاک داخلی خاک

OCR = نسبت پیش تحکیم

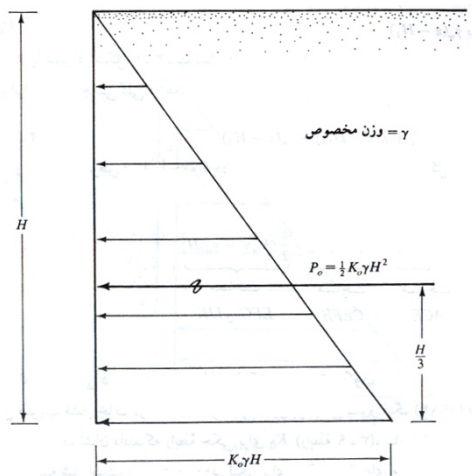
γ_d = وزن مخصوص خشک ماسه

γ_{dmin} = حداقل وزن مخصوص خشک ماسه

فشار جانبی در حالت سکون برای خاک خشک

شکل ۳-۶ توزیع فشار خاک در حالت سکون بر روی دیواری به ارتفاع H را نشان می‌دهد. نیروی کل بر واحد عرض دیوار P_0 ، مساوی سطح زیر نمودار فشار می‌باشد. بنابراین:

$$P_0 = \frac{1}{2} K_o \gamma H^2 \quad (7-6)$$



شکل ۳-۶ توزیع فشار خاک در حال سکون بر روی دیوار

فشار جانبی در حالت سکون برای خاک غوطه ور یا نیمه غوطه ور

شکل ۴-۶-الف یک دیوار به ارتفاع H را نشان می‌دهد. سطح آب زیرزمینی در عمق H_1 از سطح زمین قرار دارد. برای $z \leq H_1$ فشار جانبی خاک در حالت سکون از رابطه $\sigma_h = K_o \gamma z$ به دست می‌آید. تغییرات σ_h با عمق توسط مثلث ACE در شکل ۴-۶-الف نشان داده شده است. لیکن برای $z \geq H_1$ (یعنی زیر سطح آب زیرزمینی)، فشار جانبی وارد بر دیوار، با استفاده از مولفه‌های تنش موثر و فشار آب حفره‌ای به صورت زیر محاسبه می‌شود:

$$\sigma'_v = \sigma_v' = \gamma H_1 + \gamma'(z - H_1) \quad (8-6)$$

که در آن $\gamma_w - \gamma_{sat}$ وزن مخصوص غوطه ور (موثر) خاک است. بنابراین فشار جانبی موثر در حالت سکون برابر است با:

$$\sigma'_h = K_o \sigma'_v = K_o [\gamma H_1 + \gamma'(z - H_1)] \quad (9-6)$$

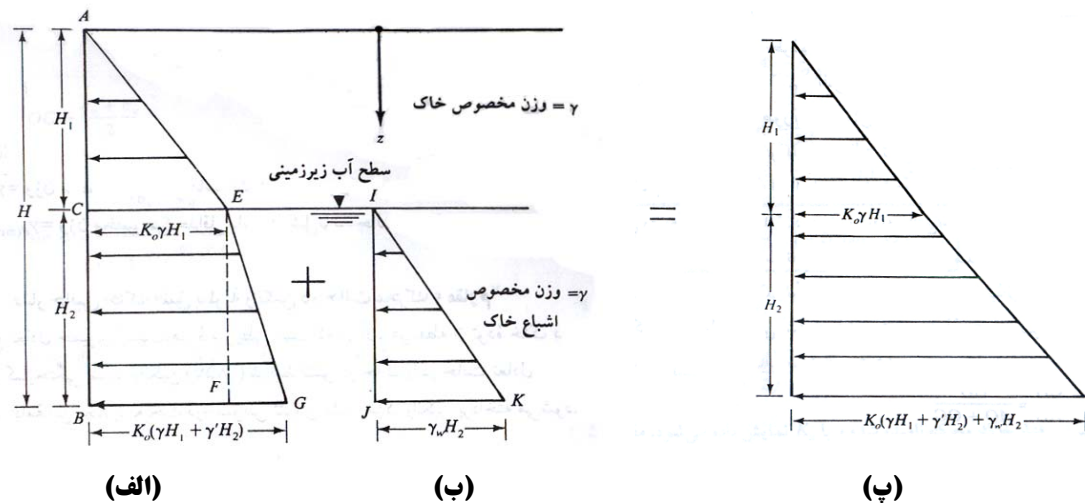
تغییرات σ'_h با عمق در شکل ۴-۶-الف توسط ذوزنقه CEGB نشان داده شده است. با استفاده از اصول استاتیک سیالات، فشار جانبی به علت فشار آب حفره‌ای برابر است با:

$$u = \gamma_w(z - H_1) \quad (10-6)$$

تغییرات u با عمق در شکل ۴-۶-ب نشان داده شده است.

بنابراین فشار جانبی کلی در عمق $z \geq H_1$ برابر است با:

$$\sigma_h = \sigma'_h + u = K_o [\gamma H_1 + \gamma'(z - H_1)] + \gamma_w(z - H_1) \quad (11-6)$$



شکل ۶-۴ توزیع فشار جانبی خاک در حال سکون برای خاک نیمه غوطه ور

برای دیوار حائل نشان داده در شکل، مطلوب است تعیین نیروی جانبی خاک در حالت سکون وارد بر واحد طول دیوار و همچنین تعیین محل برآیند این نیرو.

$$c = 0 \rightarrow K_o = 1 - \sin \varphi = 1 - \sin 30 = 0.5$$

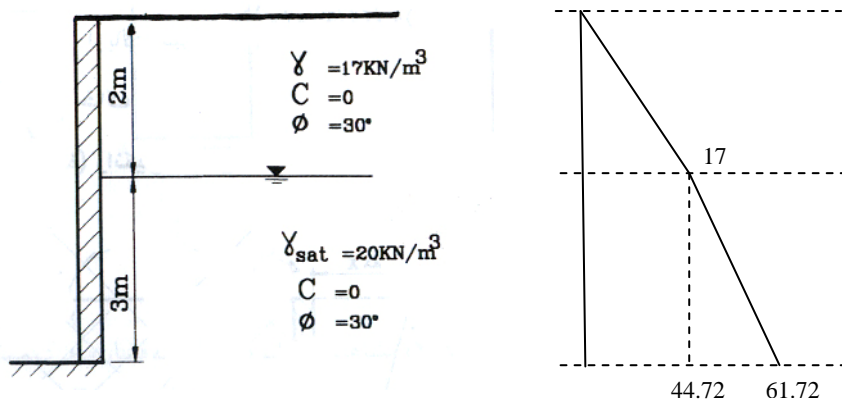
$$0 \leq z \leq 2 \rightarrow \sigma_v = \gamma z = 17z$$

$$2 \leq z \leq 5 \rightarrow \sigma_v = q + \gamma' z = 17 \times 2 + (20 - 9.81)z = 34 + 10.19z$$

$$0 \leq z \leq 2 \rightarrow \sigma_a = \sigma'_a = 0.5(17z) = 8.5z$$

$$0 \leq z \leq 3 \rightarrow \sigma_a = 0.5[17 \times 2 + (20 - 9.81)z] = 34 + 10.19z = 17 + 5.1z$$

$$0 \leq z \leq 3 \rightarrow u_w = \gamma_w \cdot z = 9.81z \rightarrow \sigma_a = \sigma'_a + u = 17 + 14.91z$$



با جایگذاری مقدار ارتفاع \mathbb{Z} در معادلات فوق توزیع فشار جانبی در ارتفاع دیوار مطابق شکل فوق بدست می‌آید.

$$P_o = (17 \times 2 \times 0.5) + (17 + 61.72) \times 3 \times 0.5 = 135.05 \text{ kN/m}$$

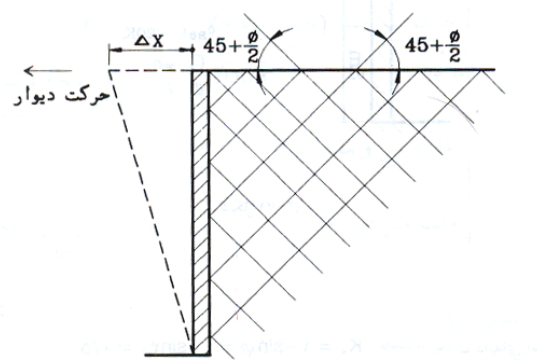
تعیین محل اثر برآیند نیرو (لنگر گیری نسبت به بالای دیوار):

$$\bar{z} = \frac{(17 \times 2 \times 0.5 \times 4/3) + (17 \times 3 \times 3.5) + (44.72 \times 3 \times 0.5 \times 4)}{(17 \times 2 \times 0.5) + (17 \times 3) + (44.72 \times 3 \times 0.5)} = 3.48\text{m}$$

۶-۶ فشار جانبی خاک طبق نظریه رانکین در حالت محرك

چنانچه مطابق شکل ۶-۵ دیوار حرکتی در جهت نیروی وارد از طرف خاک پشت آن داشته باشد، فشار محرك ایجاد می گردد. در این حالت دیوار از خاک پشتش دور شده و فشار در پشت دیوار نسبت به حالت سکون کاهش می یابد. برای دیوار با سطح تماس بدون اصطکاک (طبق تئوری رانکین) در صورتی که $\Delta x = 0$ (میزان حرکت رو به جلوی دیوار) باشد، فشار افقی σ_h در عمق z مساوی $K_0 \sigma_v$ خواهد بود لیکن اگر $\Delta x > 0$ باشد $K_0 \sigma_v$ کوچکتر از σ_h خواهد شد و سرانجام در فشار جانبی σ_a توده خاک گسیخته خواهد شد بطوريکه سطوح لغزش در خاک زاویه $(45 + \phi/2)$ با افق می سازد. σ_a را فشار محرك رانکین می نامند و طبق رابطه زیر محاسبه می شود:

$$\sigma_a = K_a \sigma_v - 2c \sqrt{K_a} \quad (12-6)$$



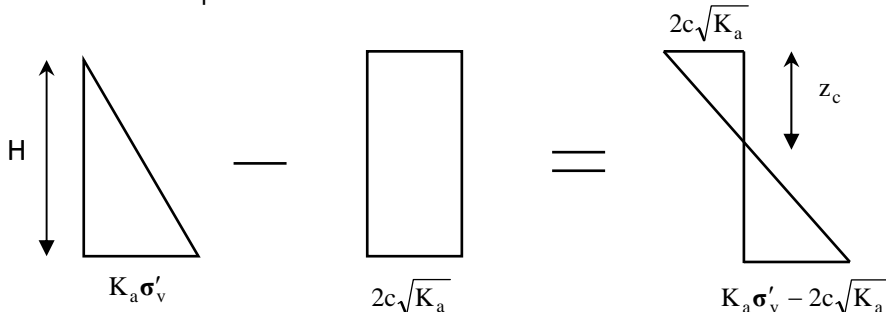
شکل ۶

در این رابطه

σ_v' = فشار قائم در نقطه مورد نظر که در صورت وجود آب به σ_v' (تنش موثر) تبدیل خواهد شد.

K_a = ضریب فشار محرك رانکین که از رابطه زیر تعیین می شود:

$$K_a = \tan^2(45 - \phi/2) = \frac{1 - \sin \phi}{1 + \sin \phi} \quad (13-6)$$



شکل ۶

همانطور که در نمودار شکل ۶-۶ مشاهده می شود در $z=0$ فشار محرك مساوی $2c \sqrt{K_a}$ می باشد که یک تنش کششی است و این تنش کششی با عمق کاهش یافته در $z=z_c$ مساوی صفر می شود. z_c را عمق ترک کششی می گویند و به صورت زیر بدست می آید:

$$\sigma_a = 0 \rightarrow \sigma_v K_a - 2c \sqrt{K_a} = 0 \rightarrow z_c = \frac{2c}{\gamma \sqrt{K_a}}$$

حال اگر بخواهیم نیروی محرك رانکین وارد بر واحد طول دیوار را بدست آوریم، دو حالت قابل تشخیص است:

۱. قبل از وقوع ترک کششی:

$$P_a = \frac{1}{2} \sigma_v K_a H - 2cH\sqrt{K_a} \quad (14-6)$$

۲. بعد از وقوع ترک کششی:

$$P_a = \frac{1}{2}(H - z_c)(\sigma_v K_a - 2c\sqrt{K_a}) \quad (15-6)$$

لازم به توضیح است که در هر دو حالت فوق لایه خاک در نظر گرفته شده است.

نکته:

در تئوری رانکین علاوه بر اینکه اصطکاک بین دیوار و سطح تماس در نظر گرفته نمی شود، قائم بودن دیوار و افقی بودن سطح خاک نیز جزء مفروضات می باشد.

نکته:

برای ایجاد فشار محرك دیوار باید تغییر مکان جانبی کافی به سمت خارج داشته باشد. مقدار این تغییر مکان لازم، برای خاکریز دانه ای بین ۱۰٪ تا ۴۰٪ و برای خاک چسبنده بین ۱۰٪ تا ۴۰٪ ارتفاع دیوار می باشد.

مثال:

با توجه به شکل زیر با فرض امکان تغییر مکان جانبی کافی برای دیوار، نیروی وارد بر واحد طول دیوار، قبل و بعد از وقوع ترک را محاسبه نمایید.

$$K_{a[1]} = \tan^2\left(45 - \frac{\Phi}{2}\right) = \tan^2(45 - 15) = \frac{1}{3}$$

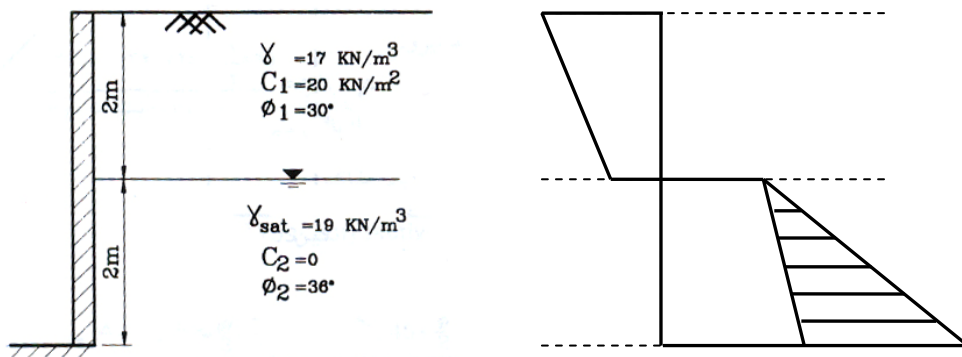
$$K_{a[2]} = \tan^2(45 - 18) = 0.26$$

$$\sigma_v = \sigma'_v = 17z \quad 0 \leq z \leq 2$$

$$\sigma'_v = 17 \times 2 + (19 - 9.81)z = 34 + 18.19z \quad 0 \leq z \leq 3$$

تنش موثر قائم در لایه ۱:

تنش موثر قائم در لایه ۲:



فشار محرك در لایه ۱:

$$\sigma_a = K_a \sigma'_v - 2c\sqrt{K_a} = 1/3 \times 17z = 1/3 \times (17z) - 2 \times 20 \times \sqrt{1/3} = 5.67z - 23.09$$

فشار محرك در لایه ۲:

$$\sigma_a = K_a \sigma'_v = 0.26 \times [34 + 18.19z] = 8.84 + 4.7294z$$

فشار آب حفره ای جانبی در لایه ۲:

$$u = \gamma_w \cdot z$$

با جایگذاری مقدار z در معادلات فوق توزیع فشار جانبی در ارتفاع دیوار بدست می‌آید.
محاسبه نیروی وارد بر واحد طول دیوار:

(الف) قبل از وقوع ترک کششی:

$$P_a = \left(\frac{-23.9 - 11.76}{2} \right) \times 2 + (8.84 + 33.24) \left(\frac{2}{2} \right) = 7.23 \text{kN/m}$$

(ب) بعد از وقوع ترک کششی:

$$z_c = \frac{2c}{\gamma \sqrt{K_a}} = \frac{2 \times 20}{17 \times 0.577} = 4.075 \text{m}$$

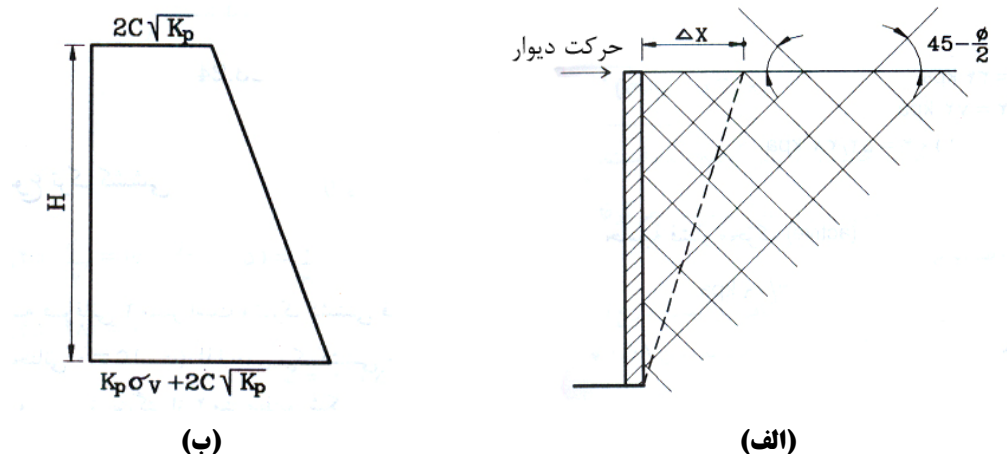
چون عمق لایه فوقانی ۲ متر است و ترک کششی فقط در این ناحیه رخ می‌دهد لذا عمق ترک کششی حداقل می‌تواند ۲ متر باشد. بنابراین نمودار فشار تا عمق ۲ متر مساوی صفر و در عمق بزرگتر از ۲ متر مطابق شکل خواهد بود. در نتیجه:

$$P_a = (8.84 + 33.24) \left(\frac{2}{2} \right) = 42.08 \text{kN/m}$$

| ۵-۶ | فشار جانبی خاک طبق نظریه رانکین در حالت مقاوم (Passive)

چنانچه دیوار بر عکس حالت محرک، به سمت توده خاکی حرکت کند (شکل ۷-۶)، فشار مقاوم در خاک ایجاد می‌شود. در این حالت با نزدیک شدن دیوار به توده خاک، فشار خاک در پشت دیوار نسبت به حالت سکون افزایش می‌یابد و بیشتر از $K_0 \sigma_v$ خواهد شد. با افزایش Δx (میزان حرکت دیواره به سمت توده خاک) فشار افقی σ_h همچنان افزایش می‌یابد تا بالاخره در σ_p خاک گسیخته شود به طوری که سطوح لغزش در خاک زاویه $(45 - \frac{\phi}{2})^\circ$ با افق می‌سازد. σ_p را فشار مقاوم رانکین می‌نامند و طبق رابطه زیر محاسبه می‌شود:

$$\sigma_p = \sigma_v K_p + 2c \sqrt{K_p} \quad (16-6)$$



شکل ۷-۶ فشار مقاوم رانکین

که در این رابطه:

σ_v' = فشار قائم در نقطه مورد نظر که در صورت وجود آب به σ_v' (تنش موثر) تبدیل خواهد شد.

K_p = ضریب فشار مقاوم رانکین که از رابطه زیر تعیین می‌گردد:

$$K_p = \tan^2(45 + \phi/2) \quad (17-6)$$

برای بدست آوردن نیروی مقاوم رانکین وارد برو واحد طول دیوار با محاسبه سطح زیر نمودار ارتفاع-فشار خواهیم داشت:

$$P_p = \frac{1}{2} \sigma_v K_p H + 2cH\sqrt{K_p} \quad (18-6)$$

نکته:

مقدار تغییرمکان جانبی کافی برای ایجاد فشار مقاوم رانکین به شرح زیر می‌باشد:

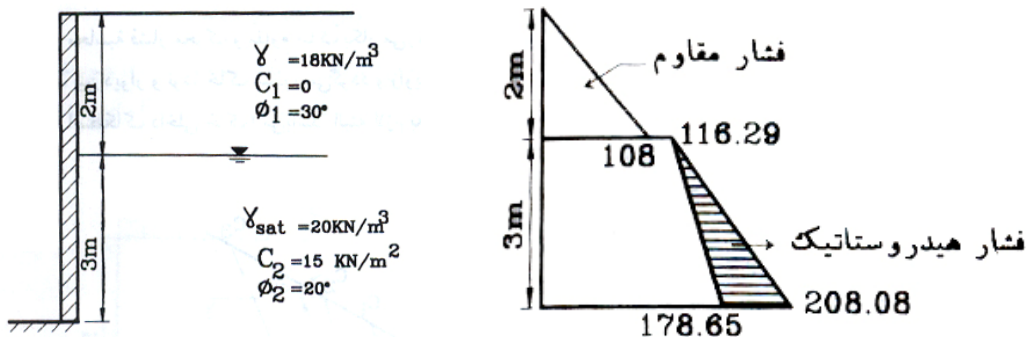
مساهه متراکم $0.005H$ ماسه شل

رس سفت $0.01H$ رس نرم

در این روابط H ارتفاع دیوار حائل می‌باشد.

مثال:

در شکل زیر دیواری به ارتفاع ۵ متر نشان داده شده است. مطلوب است تعیین فشار مقاوم رانکین برای واحد طول دیوار.



محاسبه ضریب فشار مقاوم K_p :

$$K_{p[1]} = \tan^2\left(45 + \frac{\phi}{2}\right) = \tan^2(45 + 15) = 3$$

$$K_{p[2]} = \tan^2(45 + 10) = \tan^2(45 + 10) = 2.04$$

محاسبه فشار قائم:

$$0 \leq z \leq 2 \rightarrow \sigma_v = \gamma z = 18z$$

$$0 \leq z \leq 3 \rightarrow \sigma_v' = q + \gamma' z = 18 \times 2 + (20 - 9.81)z = 36 + 10.19z$$

محاسبه فشار مقاوم (Passive)

$$\sigma_p = \sigma_v K_p + 2c\sqrt{K_p}$$

$$0 \leq z \leq 2 \rightarrow \sigma_p = 3 \times 18z = 54z$$

$$0 \leq z \leq 3 \rightarrow \sigma_p = 2.04(36 + 10.19z) + 2 \times 15\sqrt{2.04} \rightarrow 73.44 + 20.79z + 42.85 = 116.29 + 20.79z$$

$$0 \leq z \leq 3 \rightarrow u = \gamma_w z = 9.81z$$

با قرار دادن مقدار در معادلات فوق توزیع فشار مقاوم در ارتفاع دیوار بدست می‌آید.

مثال:


مطلوب است محاسبه نیروی محرک رانکین بر واحد عرض دیوار نشان داده شده در شکل ۸-۶-الف. همچنین محل برآیند را نیز تعیین نمایید.

$$c = 0 \rightarrow \sigma_a = K_a \sigma_v = K_a \gamma z$$

$$K_a = \frac{1 - \sin \phi}{1 + \sin \phi} = \tan^2(45 + \frac{\phi}{2}) = \tan^2(45 + 15) = \frac{1}{3}$$

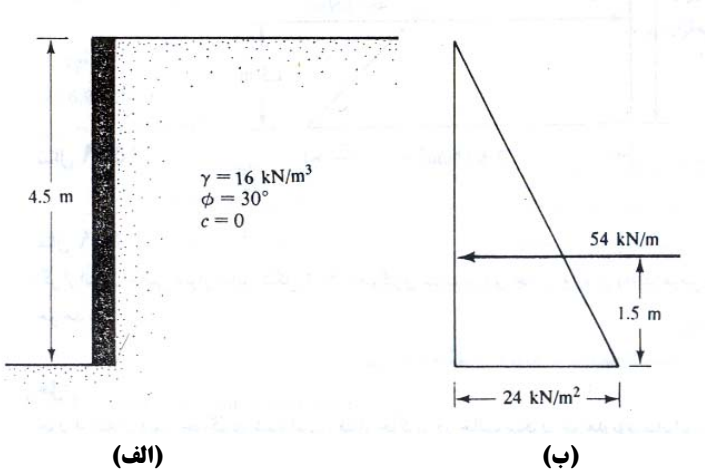
در عمق $z = 0$ ، $\sigma_a = 0$ و در عمق $z = 4.5$ داریم:

$$\sigma_a = \frac{1}{3} \times 16 \times 4.5 = 24 \text{ kN/m}^2$$

توزیع فشار محرک در شکل ۸-۶-ب نشان داده شده است. فشار محرک کل برای واحد عرض دیوار برابر خواهد شد با:

$$P_a = \frac{1}{2} \times 4.5 \times 24 = 54 \text{ kN/m}$$

با توجه به اینکه توزیع فشار خطی است، محل برآیند در یک سوم ارتفاع از پای دیوار یعنی $1/5$ متری آن قرار خواهد داشت.



شکل ۸-۶

مثال:


برای دیوار حائل شکل ۸-۹ فشار مقاوم رانکین بر واحد عرض دیوار چقدر خواهد بود؟

$$c = 0$$

$$\sigma_p = K_p \sigma_v = K_p \cdot \gamma z$$

$$K_p = \frac{1 + \sin \phi}{1 - \sin \phi} = \frac{1 + 0.5}{1 - 0.5} = 3$$

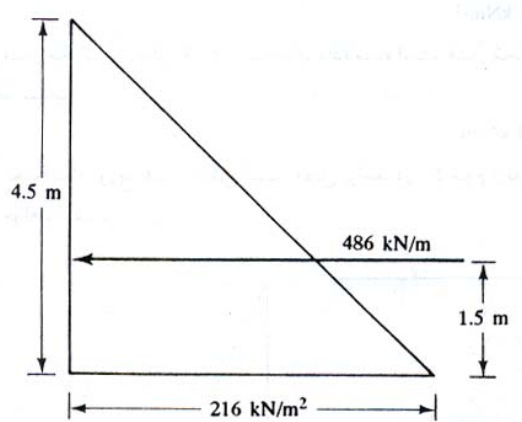
در عمق $z = 0$ ، $\sigma_p = 0$ و در عمق $z = 4.5 \text{ m}$ داریم:

$$\sigma_p = 3 \times 16 \times 4.5 = 216 \text{ kN/m}^2$$

در شکل زیر توزیع فشار مقاوم در پشت دیوار نشان داده شده است. با محاسبه مساحت زیر این نمودار، فشار کل برای واحد عرض دیوار به دست می آید:

$$P_p = \frac{1}{2} \times 4.5 \times 216 = 486 \text{ kN/m}$$

محل تاثیر برآیند فوق در ثلث ارتفاع از قاعده دیوار یعنی $1/5$ متری آن است.


مثال:

اگر از انتقال جانبی دیوار حائل شکل ۸-۶ جلوگیری شود. نیروی جانبی وارد بر واحد عرض دیوار چقدر خواهد بود؟

حل: چون از انتقال دیوار جلوگیری شده است، فشار خاکریز در حالت سکون خواهد بود بنابراین:

$$\sigma_h = K_o \sigma_v = K_o \gamma z$$

$$K_o = 1 - \sin \phi$$

یا

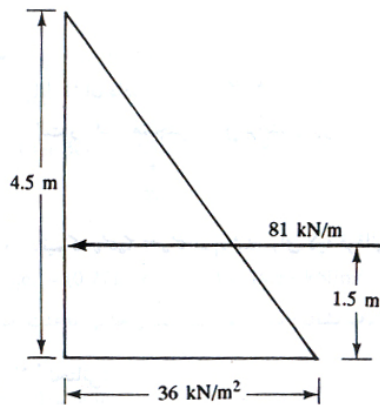
$$K_o = 1 - \sin 30 = 0.5$$

در عمق $z = 4.5\text{m}$ و در عمق $z = 0$ $\sigma_h = 0$ خواهیم داشت:

$$\sigma_h = 0.5 \times 4.5 \times 16 = 36\text{kN/m}^2$$

نمودار توزیع فشار در شکل زیر نشان داده شده است. فشار برابر است با:

$$P_o = \frac{1}{2} \times 4.5 \times 36 = 81\text{kN/m}$$


مثال:

دیوار حائلی به ارتفاع ۴ متر با خاکریزی از ماسه خشک مفروض است. سطح خاکریز افقی و مشخصات آن به قرار زیر است:

$$\phi = 37^\circ$$

$$\gamma = 16.98\text{kN/m}^3$$

$$\gamma_{d(\min)} = 15.41\text{kN/m}^3$$

اگر از حرکت جانبی دیوار جلوگیری شده باشد، مطلوب است تعیین:

(الف) تعیین نیروی جانبی وارد بر واحد عرض دیوار با استفاده از رابطه

$$K_o = (1 - \sin \phi) + [\gamma_d / \gamma_{d(\min)} - 1] \times 5.5$$

حل:

(الف) با استفاده از رابطه ۶ داریم:

$$K_o = 1 - \sin \phi = 1 - \sin 37 = 0.398$$

حال با استفاده از (الف) می توان نوشت:

$$P_o = \frac{1}{2} K_o \gamma H^2 = 0.5(0.398)(16.98)(4)^2 = 54.06 \text{ kN/m}$$

(ب) با استفاده از رابطه (ب) داریم:

$$K_o = (1 - \sin \phi) + \left[\frac{\gamma_d}{\gamma_{d(\min)}} - 1 \right] 5.5 = (1 - \sin 37) + \left[\frac{16.98}{15.41} - 1 \right] 5.5 = 0.398 + 0.56 = 0.958$$

$$P_o = \frac{1}{2} K_o \gamma H^2 = 0.5(0.958)(16.98)(4)^2 = 130.13 \text{ kN/m}$$

مثال:

برای دیوار حائل نشان داده شده در شکل ۹-۶-الف مطلوب است تعیین نیروی محرک بر واحد عرض دیوار در حالت رانکین. همچنین محل برآیند را نیز بدست آورید.

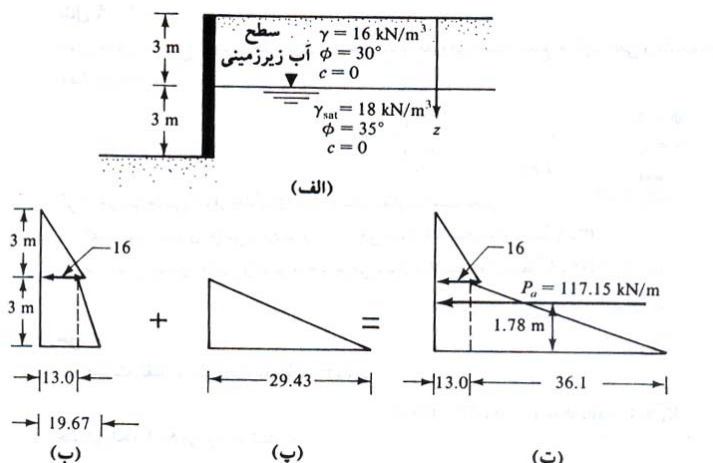
حل:

با $c = 0$ می دانیم که $\sigma'_a = K_a \sigma'_v$ می باشد. برای لایه فوقانی خاک، ضریب فشار محرک رانکین برابر است با:

$$K_a = K_{a(1)} = \frac{1 - \sin 30}{1 + \sin 30} = \frac{1}{3}$$

برای لایه تحتانی:

$$K_a = K_{a(2)} = \frac{1 - \sin 35}{1 + \sin 35} = \frac{0.4264}{1.5736} = 0.271$$



شکل ۹-۶

در $z = 3$ (بالاصله بالای سطح آب زیرزمینی) خواهیم داشت:

$$\sigma'_v = 3 \times 16 = 48 \text{ kN/m}^2$$

بنابراین:

$$\sigma_a = \sigma'_a = K_{a(1)} \sigma'_v = \frac{1}{3} \times 48 = 16 \text{ kN/m}^2$$

در $z = 3$ (بلافاصله در زیر سطح آب زیرزمینی)

$$\sigma_v = \sigma'_v = 3 \times 16 = 48 \text{kN/m}^2$$

و

$$\sigma_a = \sigma'_a = K_{a(2)} \sigma'_v = 0.271 \times 48 = 13 \text{kN/m}^2$$

در عمق $z = 6\text{m}$

$$\sigma'_v = 3 \times 16 + 3(19 - 9.81) = 72.57 \text{kN/m}^2$$

و

$$\sigma'_a = K_{a(2)} \sigma'_v = 0.271 \times 72.57 = 19.67 \text{kN/m}^2$$

تغییرات σ'_a با عمق در شکل ۹-۶-ب نشان داده شده است. فشار جانبی به علت آب حفره ای به صورت زیر محاسبه می شود:

$$z = 0, u = 0$$

$$\text{در عمق } z = 3\text{m}, u = 0$$

$$z = 6\text{m}, u = 3 \times \gamma_w = 3 \times 9.81 = 29.43 \text{kN/m}^2$$

تغییرات u با عمق در شکل ۹-۶-پ و تغییرات σ_a (تنش محرك کل) در شکل ۹-۶-ت نشان داده شده است. بنابراین:

$$P_a = \frac{1}{2} \times 3 \times 16 + 3 \times 13 + \frac{1}{2} \times 3 \times 36.1 = 24 + 39 + 54.15 = 117.15 \text{kN/m}$$

با لنگر گیری حول پای دیوار، محل برآیند به دست می آید:

$$\bar{z} = \frac{24 \left(3 + \frac{3}{5}\right) + 39 \left(\frac{3}{2}\right) + 54 \left(\frac{3}{3}\right)}{117.15} = 1.78 \text{m}$$

مثال:

یک دیوار حائل با خاکریزی از رس اشباع نرم در شکل ۱۰-۶-الف نشان داده شده است. برای شرایط زهکشی نشده خاکریز $(\varphi = 0)$ مطلوب است:

(الف) حداقل عمق ترک کششی

(ب) P_a قبل از وقوع ترک کششی

(پ) P_a بعد از وقوع ترک کششی

حل: چون $\varphi = 0$ است، $K_a = \tan^2(45) = 1$ و $c_u = c_u$ خواهد بود. بنابراین می توان نوشت:

$$\sigma_a = \gamma z - 2c_u$$

$$\text{در عمق } z = 0, \quad \sigma_a = -2(16.77) = -33.54 \text{kN/m}^2$$

$$\text{در عمق } z = 6\text{m}, \quad \sigma_a = 15.72 \times 6 - 2(16.77) = 60.78 \text{kN/m}^2$$

(الف) عمق ترک کششی برابر است با:

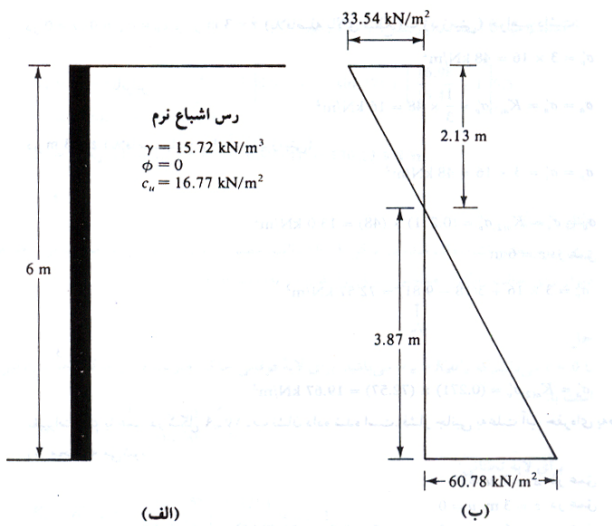
$$z_c = \frac{2c_u}{\gamma} = \frac{2 \times 16.77}{15.72} = 2.13 \text{m}$$

(ب) قبل از وقوع ترک کششی:

$$P_a = \frac{1}{2} \gamma H^2 - 2c_u H = \frac{1}{2} (15.77) 6^2 - 2(16.77) \times 6 = 282.96 - 201.24 = 81.72 \text{kN/m}$$

(پ) بعد از وقوع ترک کششی:

$$P_a = \frac{1}{2} (6 - 2.13)(60.78) = 117.6 \text{kN/m}$$



١٠-٦ شکل

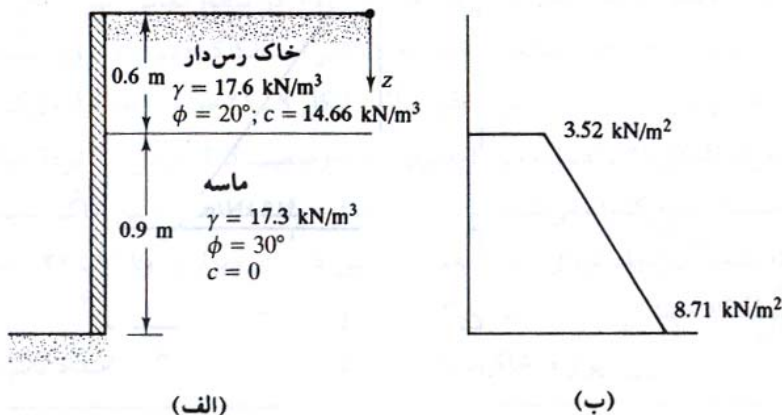
مثال:

برای دیوار حائل نشان داده شده در شکل ۱۱-۶ مطلوب است تعیین P_a بعد از تشکیل ترک کششی. حل:

برای لایه فوقانی:

$$K_a = K_{a(1)} = \tan^2(45 - \frac{20}{2}) = 0.49$$

$$z_c = \frac{2c}{\gamma \sqrt{K_a}} = \frac{2 \times 14.66}{17.6 \sqrt{0.49}} = 2.83$$



شکل ۶-۱۱

با توجه به اینکه عمق لایه رسی $6/0$ متر می باشد، ترک کششی در تمام ضخامت آن به وجود می آید.

$$K_a = K_{a(2)} = \tan^2\left(45 - \frac{30}{2}\right) = \frac{1}{3}$$

$$z = 0.6m$$

$$\sigma_v = \sigma'_v = 0.6 \times 17.6 = 10.56 \text{ kN/m}^2$$

در نتیجه:

$$\sigma_a = \sigma'_a = \sigma'_v K_{a(2)} = 10.56 \times \frac{1}{3} = 3.52 \text{kN/m}^2$$

$$z = 1.5 \text{ m}$$

$$\sigma_v = \sigma'_v = 0.6 \times 17.6 + 0.9 \times 17.3 = 26.13 \text{ kN/m}^2$$

$$\sigma_a = \sigma'_a = \sigma'_v K_{a(2)} = 26.13 \times \frac{1}{3} = 8.71 \text{ kN/m}^2$$

در شکل ۱۱-۶-ب، نمودار توزیع فشار بعد از وقوع ترک نشان داده شده است. از این نمودار داریم:

$$P_a = \left(\frac{1}{2}\right)(3.52 + 8.71)(0.9) = 5.504 \text{ kN/m}$$

مثال:

در شکل ۱۲-۶-الف یک دیوار حائل بدون اصطکاک نشان داده شده است. مطلوب است تعیین فشار مقاوم P_p در روی خاکریز و محل برآیند نیروی مقاوم.

حل:

$$\phi = 26^\circ$$

$$K_p = \frac{1 + \sin \phi}{1 - \sin \phi} = \frac{1 + \sin 26}{1 - \sin 26} = \frac{1.4384}{0.5616} = 2.56$$

$$\sigma_p = K_p \sigma_v + 2c\sqrt{K_p}$$

$$\sigma_v = 10 \text{ kN/m}^2 \text{ در عمق } z = 0,$$

$$\sigma_p = 2.56 \times 10 + 2 \times 8 \times \sqrt{2.56} = 25.6 + 25.6 = 51.2 \text{ kN/m}^2$$

$$\sigma_v = 10 + 4 \times 15 = 70 \text{ kN/m}^2 \text{ در عمق } z = 4 \text{ m},$$

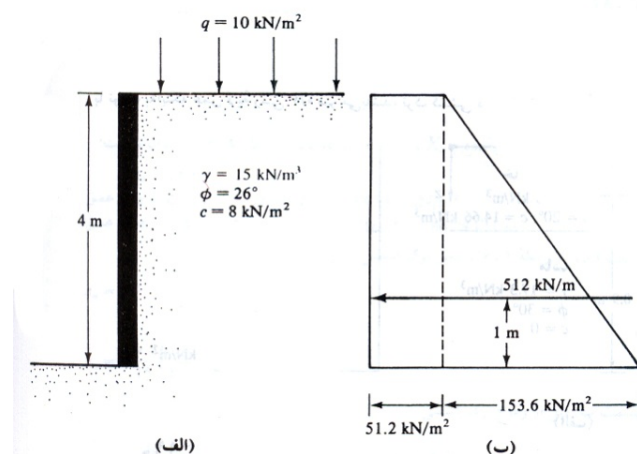
$$\sigma_p = 2.56 \times 70 + 2 \times 8 \times \sqrt{2.56} = 204.8 \text{ kN/m}^2$$

توزیع فشار در شکل ۱۲-۶-ب نشان داده شده است. نیروی مقاوم بر واحد عرض دیوار برابر است با:

$$P_p = 51.2 \times 2 + 0.5 \times 4 \times 153.6 = 204.8 + 307.2 = 512 \text{ kN/m}$$

محل برآیند با لنگرگیری نمودار فشار در حول پای دیوار به دست می آید:

$$\bar{z} = \frac{(25.6 + 25.6)\left(\frac{4}{2}\right) + \frac{1}{2} \times 153.6 \times \frac{4}{3}}{512.18} = \frac{102.4 + 409.6}{512} = 1 \text{ m}$$



شکل ۱۲-۶

۶-۶ | فشار محرك و مقاوم رانکين برای خاکریز با سطح شیبدار

اگر خاکریز یک دیوار حائل بدون اصطکاک، خاک دانه‌ای باشد ($c = 0$) و سطح خاکریز زاویه α با افق بسازد (شکل ۱۳-۶) ضریب فشار محرك خاک، K_a به شکل زیر تعریف می‌شود:

$$K_a = \cos \alpha \frac{\cos \alpha - \sqrt{\cos^2 \alpha - \cos^2 \phi}}{\cos \alpha + \sqrt{\cos^2 \alpha - \cos^2 \phi}} \quad (19-6)$$

که در آن ϕ زاویه اصطکاک داخلی خاک است.

در عمق مشخص z ، فشار محرك رانکین به صورت زیر تعریف می‌شود:

$$\sigma_a = \gamma z K_a \quad (20-6)$$

که با توجه به آن نیروی وارد بر واحد طول دیوار برابر می‌شود با:

$$P_a = \frac{1}{2} K_a \gamma H^2$$

مطابق شکل ۱۳-۶ امتداد نیروی برآیند P_a زاویه α با افق می‌سازد و نقطه اثر آن، به فاصله $H/3$ از پای دیوار قرار دارد. در جدول ۶-۱ مقادیر ضریب فشار محرك K_a برای مقادیر مختلف α و ϕ ارائه شده است.

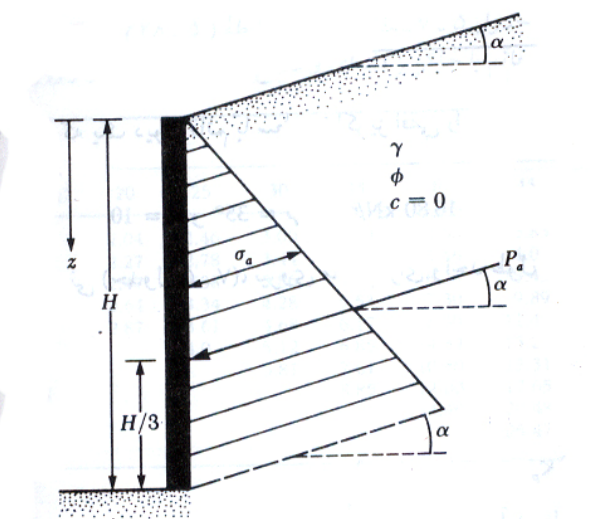
به روشهای مشابه نیروی مقاوم رانکین برای دیواری بدون اصطکاک با ارتفاع H و خاکریز دانه‌ای با سطح شیبدار، طبق رابطه زیر تعریف می‌شود:

$$P_p = \frac{1}{2} \gamma H^2 K_p$$

که در آن K_p ضریب فشار مقاوم رانکین بوده و طبق رابطه زیر تعریف می‌شود:

$$K_p = \cos \alpha \frac{\cos \alpha + \sqrt{\cos^2 \alpha - \cos^2 \phi}}{\cos \alpha - \sqrt{\cos^2 \alpha - \cos^2 \phi}} \quad (21-6)$$

همانند حالت نیروی محرك، امتداد نیروی برآیند P_p با خط افق زاویه α می‌سازد و نقطه اثر آن به فاصله $H/3$ از پای دیوار قرار داد. در جدول ۲-۶ مقادیر ضریب فشار مقاوم K_p برای مقادیر مختلف α و ϕ ارائه شده است.



شکل ۱۳-۶ فشار محرك رانکین (دیوار بدون اصطکاک و خاکریز دانه‌ای با سطح شیبدار)

جدول ۱-۶ ضریب فشار محرك رانکین

$\downarrow \alpha$ (deg)	φ (deg) →						
	28	30	32	34	36	38	40
0	0.361	0.333	0.307	0.283	0.260	0.238	0.217
5	0.366	0.337	0.311	0.286	0.262	0.240	0.219
10	0.380	0.350	0.321	0.294	0.270	0.246	0.225
15	0.409	0.373	0.341	0.311	0.283	0.258	0.235
20	0.461	0.414	0.374	0.338	0.306	0.277	0.250
25	0.573	0.494	0.434	0.385	0.343	0.307	0.275

جدول ۲-۶ ضریب فشار مقاوم رانکین

$\downarrow \alpha$ (deg)	φ (deg) →						
	28	30	32	34	36	38	40
0	2.770	3.000	3.255	3.537	3.852	4.204	4.599
5	2.715	2.943	3.196	3.467	3.788	4.136	4.527
10	2.551	2.775	3.022	3.295	3.598	3.937	4.316
15	2.284	2.502	2.740	3.003	3.293	3.615	3.977
20	1.918	2.132	2.362	2.612	2.886	3.189	3.526
25	1.434	1.664	1.894	2.135	2.394	2.676	2.987

۷-۶ فشار جانبی خاک طبق نظریه کولمب در حالت محرك

در محاسبات فشار جانبی خاک طبق نظریه رانکین از اصطکاک بین خاک و دیوار طرف نظر می شود. در سال ۱۷۷۶ کولمب نظریه ای برای محاسبات فشار جانبی خاک های دانه ای ارائه داد که در آن اصطکاک بین دیوار و خاک منظور می گردد.

پارامترهای به کار رفته در این نظریه در شکل ۱۴-۶ نشان داده شده اند. وجه پشتی دیوار حائل نشان داده شده در این شکل زاویه β با افق می سازد. خاکریز این دیوار دانه ای (غیر چسبنده) بوده و سطح آن زاویه α با افق می سازد. زاویه اصطکاک خاک و دیوار نیز δ در نظر گرفته شده است.

با توجه به این شکل:

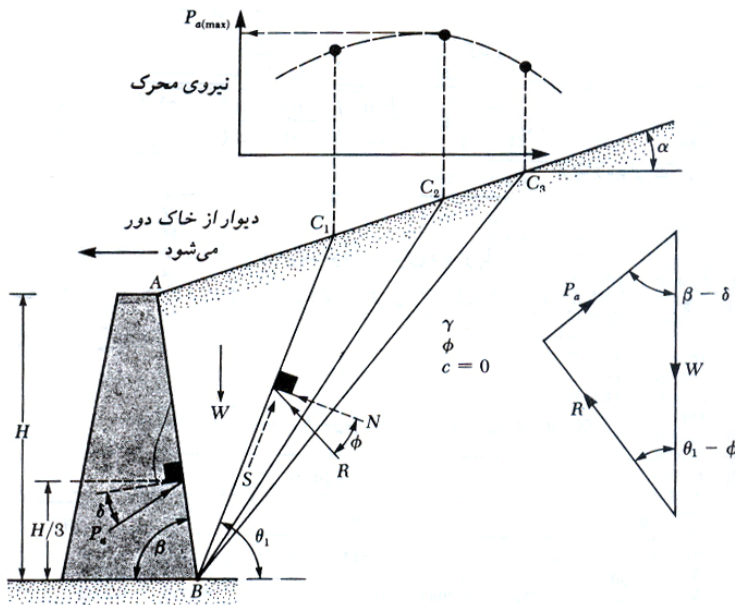
$$W = \text{وزن گوہ گسیختگی}$$

$$R = \text{برآیند نیروی قائم و نیروی برشی مقاوم در امتداد سطح لغزش است که زاویه } \varphi \text{ با امتداد قائم بر سطح لغزش می سازد.}$$

$$P_a = \text{نیروی محرك برای واحد طول دیوار که زاویه } \delta \text{ با قائم بر وجه پشتی دیوار می سازد.}$$

مقدار حداقل P_a طبق نظریه محرك کولمب را با استفاده از رابطه زیر می توان بدست آورد:

$$P_a = \frac{1}{2} K_a \gamma H^2$$



شکل ۱۴-۶ فشار محرک کولمب

که در این رابطه K_a ضریب فشار محرک کولمب بوده و به صورت زیر بدست می آید:

$$K_a = \frac{\sin^2(\beta + \phi)}{\sin^2 \beta \cdot \sin(\beta - \delta) \left[1 + \sqrt{\frac{\sin(\phi + \delta) \cdot \sin(\phi - \delta)}{\sin(\beta - \delta) \cdot \sin(\alpha + \beta)}} \right]^2} \quad (22-6)$$

در این رابطه H ارتفاع دیوار است.

در جدول ۳-۶ مقادیر ضریب فشار محرک کولمب برای دیوار با وجه پشتی قائم ($\beta = 90^\circ$) و خاک ریز با سطح افقی ($\alpha = 0^\circ$) ارائه شده است. نقطه اثر P_a در ثلث ارتفاع دیوار از پای دیوار قرار دارد و با افق زاویه δ می سازد.

جدول ۳-۶ مقادیر ضریب فشار محرک کولمب برای $\alpha = 0^\circ$ و $\beta = 90^\circ$

ϕ (deg)	δ (deg)					
	0	5	10	15	20	25
28	0.3610	0.3448	0.3330	0.3251	0.3203	0.3186
30	0.3333	0.3189	0.3085	0.3014	0.2973	0.2956
32	0.3073	0.2945	0.2853	0.2791	0.2755	0.2745
34	0.2827	0.2714	0.2633	0.2579	0.2549	0.2542
36	0.2596	0.2497	0.2426	0.2379	0.2354	0.2350
38	0.2379	0.2292	0.2230	0.2190	0.2169	0.2167
40	0.2174	0.2098	0.2045	0.2011	0.1994	0.1995
42	0.1982	0.1916	0.1870	0.1841	0.1828	0.1831

در طراحی دیوارهای حائل، مقدار δ بین $\frac{1}{2}\phi$ تا $\frac{2}{3}\phi$ انتخاب می شود. در جدول ۴-۶ ضریب فشار محرک کولمب برای مقادیر مختلف ϕ ، α و β با $\delta = \frac{2}{3}\phi$ ارائه شده است. این جدول برای مقاصد طراحی خیلی مفید است.

جدول ۴-۶ مقادیر ضریب فشار محرك کولمب

(توجه: $\delta = \frac{2}{3}\phi$ فرض شده است)

α (deg)	ϕ (deg)	β (deg)					
		90	85	80	75	70	65
0	28	0.3213	0.3588	0.4007	0.4481	0.5026	0.5662
	30	0.2973	0.3349	0.3769	0.4245	0.4794	0.5435
	32	0.2750	0.3125	0.3545	0.4023	0.4574	0.5220
	34	0.2543	0.2916	0.3335	0.3813	0.4367	0.5017
	36	0.2349	0.2719	0.3137	0.3615	0.4170	0.4825
	38	0.2168	0.2535	0.2950	0.3428	0.3984	0.4642
	40	0.1999	0.2361	0.2774	0.3250	0.3806	0.4468
	42	0.1840	0.2197	0.2607	0.3081	0.3638	0.4303
5	28	0.3431	0.3845	0.4311	0.4843	0.5461	0.6191
	30	0.3165	0.3578	0.4043	0.4575	0.5194	0.5926
	32	0.2919	0.3329	0.3793	0.4324	0.4943	0.5678
	34	0.2691	0.3097	0.3558	0.4088	0.4707	0.5443
	36	0.2479	0.2881	0.3338	0.3866	0.4484	0.5222
	38	0.2282	0.2679	0.3132	0.3656	0.4273	0.5012
	40	0.2098	0.2489	0.2937	0.3458	0.4074	0.4814
	42	0.1927	0.2311	0.2753	0.3271	0.3885	0.4626
10	28	0.3702	0.4164	0.4686	0.5287	0.5992	0.6834
	30	0.3400	0.3857	0.4376	0.4974	0.5676	0.6516
	32	0.3123	0.3575	0.4089	0.4683	0.5382	0.6220
	34	0.2868	0.3314	0.3822	0.4412	0.5107	0.5942
	36	0.2633	0.3072	0.3574	0.4158	0.4849	0.5682
	38	0.2415	0.2846	0.3342	0.3921	0.4607	0.5438
	40	0.2214	0.2637	0.3125	0.3697	0.4379	0.5208
	42	0.2027	0.2441	0.2921	0.3487	0.4164	0.4990
15	28	0.4065	0.4585	0.5179	0.5869	0.6685	0.7671
	30	0.3707	0.4219	0.4804	0.5484	0.6291	0.7266
	32	0.3384	0.3387	0.4462	0.5134	0.5930	0.6895
	34	0.3091	0.3584	0.4150	0.4811	0.5599	0.6554
	36	0.2823	0.3306	0.3862	0.4514	0.5295	0.6239
	38	0.2578	0.3050	0.3596	0.4238	0.5006	0.5949
	40	0.2353	0.2813	0.3349	0.3981	0.4740	0.5672
	42	0.2146	0.2595	0.3119	0.3740	0.4491	0.5416
20	28	0.4602	0.5205	0.5900	0.6715	0.7690	0.8810
	30	0.4142	0.4728	0.5403	0.6196	0.7144	0.8303
	32	0.3742	0.4311	0.4968	0.5741	0.6667	0.7800
	34	0.3388	0.3941	0.4581	0.5336	0.6241	0.7352
	36	0.3071	0.3609	0.4233	0.4970	0.5857	0.6948
	38	0.2787	0.3308	0.3916	0.4637	0.5587	0.6580
	40	0.2529	0.3035	0.3627	0.4331	0.5185	0.6243
	42	0.2294	0.2784	0.3360	0.4050	0.4889	0.5931

 مثال:

برای دیوار شکل ۱۴-۶ با داده های زیر نیروی محرك واحد طول دیوار را با استفاده از نظریه فشار محرك کولمب محاسبه

$$. c = 0, \alpha = 0, \beta = 90^\circ, H = 4.6\text{m}, \gamma = 16.5\text{kN/m}^3, \phi = 30^\circ, \delta = \frac{2}{3}\phi$$

حل:

$$P_a = \frac{1}{2} K_a \gamma H^2$$

از جدول ۶-۲ مقدار $K_a = 0.297$ بدست می آید. در نتیجه:

$$P_a = 0.5 \times 0.297 \times 16.5 \times 4.6^2 = 51.85\text{kN/m}$$

۸-۶ پایداری دیوارهای حائل

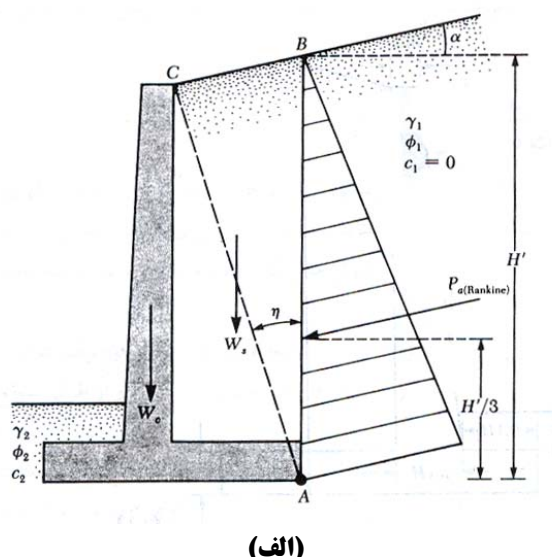
در بخش های قبلی، نظریه های پایه برای محاسبه فشار جانبی خاک ارائه شد. برای کاربرد این نظریه ها در طراحی، باید فرض های ساده کننده چندی به خدمت گرفته شود. در حالت دیوارهای حائل طره ای، اگر برای کنترل پایداری از نظریه رانکین استفاده شود، لازم است مطابق شکل ۱۵-۶-الف خط قائم **AB** از نقطه **A** واقع در لبه خارجی پاشنه رسم شود. فرض می شود که شرایط محرک رانکین در امتداد صفحه **AB** برقرار است. در نتیجه به کمک رابطه رانکین می توان فشار جانبی را در وجه **AB** محاسبه نمود. در محاسبات پایداری باید نیروی $P_{a(Rankine)}$ ، وزن خاک بالای پاشنه W_s و وزن بتن W_c در نظر گرفته شوند.

اگر تیغه دیوار حائل، ممانعتی در مقابل ناحیه برشی محدود شده توسط خط **AC** ایجاد ننماید، فرض برقراری فشار محرک رانکین در امتداد وجه **AB** به طور نظری صحیح است. رابطه η که خط **AC** با قائم می سازد، توسط رابطه زیر تعریف می شود:

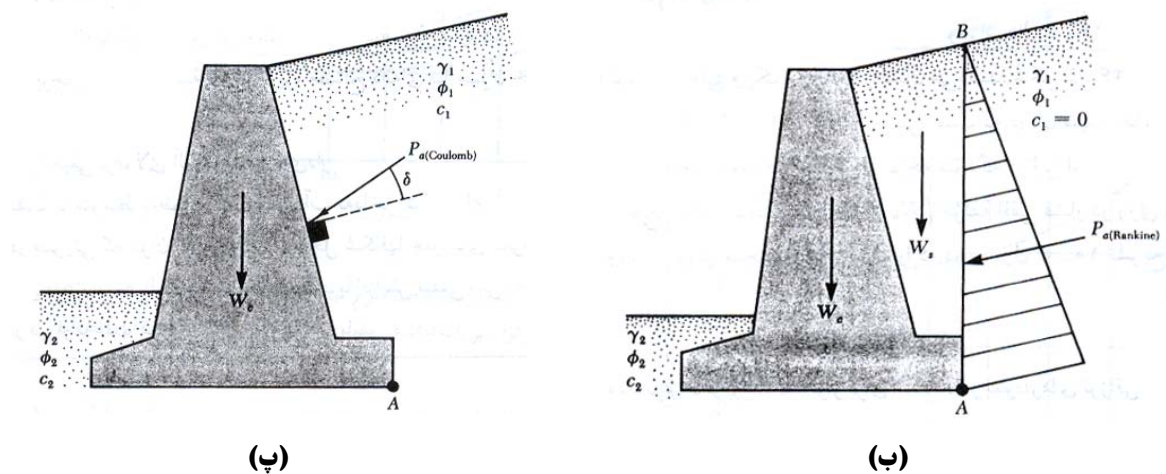
$$\eta = 45 + \frac{\alpha}{2} - \frac{\Phi}{2} - \sin^{-1} \left(\frac{\sin \alpha}{\sin \Phi} \right) \quad (23-6)$$

مطابق شکل ۱۵-۶-ب برای دیوارهای حائل وزنی نیز می توان تحلیل مشابهی انجام داد. در این حالت مطابق شکل ۱۵-پ از نظریه کولمب هم می توان استفاده کرد. اگر از نظریه فشار محرک کولمب استفاده شود، فقط لازم است نیروهای $P_{a(Coulomb)}$ و وزن W_c دیوار در محاسبات پایداری در نظر گرفته شوند.

در طراحی دیوارهای حائل معمولی، با اتخاذ تدبیر لازم برای زهکشی می توان از فشار هیدرواستاتیک آب زیرزمینی اجتناب کرد (البته به شرط اطمینان از برقرار بودن دائمی سیستم زهکشی).



شکل ۱۵-۶ فرضیات تعیین فشار جانبی خاک (الف) دیوار حائل طره ای (ب و پ) دیوار حائل وزنی



شکل ۶-۱۵ فرضیات تعیین فشار جانبی خاک (الف) دیوار حائل طرہ ای (ب و پ) دیوار حائل وزنی

| ۹-۶ | کنترل پایداری

برای کنترل پایداری دیوارهای حائل، انجام گام‌های زیر ضروری است:

۱. کنترل در مقابل واژگونی در حول پنجه
۲. کنترل در مقابل لغزش در امتداد پایه
۳. کنترل برای ظرفیت برابر پایه
۴. کنترل برای نشت
۵. کنترل برای پایداری کلی

در این بخش روش‌های کنترل واژگونی، لغزش و جابجایی و ظرفیت برابری مورد بحث قرار می‌گیرند.

کنترل برای واژگونی

در شکل ۶-۱۵ نیروهای وارد بر یک دیوار حائل طرہ ای و دیوار حائل وزنی با فرض فشار محرك رانکین موثر برآ سطح قائم مار بر انتهای پاشنه دیوار نشان داده شده است. P_p فشار مقاوم در جلوی پنجه می‌باشد که مقدار آن از رابطه زیر بدست می‌آید:

$$P_p = \frac{1}{2} K_p \gamma_2 D^2 + 2c_2 \sqrt{K_p} D \quad (24-6)$$

γ_2 = وزن مخصوص خاک واقع در جلوی پنجه

$\tan^2(45 + \phi/2)$ = ضریب فشار مقاوم رانکین

c_2, ϕ_2 = به ترتیب زاویه اصطکاک داخلی و چسبندگی خاک جلوی پنجه

ضریب اطمینان در مقابل واژگونی در حول نقطه C واقع در نوک پنجه، به صورت زیر تعریف می‌شود:

$$FS_{overturning} = \frac{\Sigma M_R}{\Sigma M_o} \quad (25-6)$$

که در آن:

$$C = \Sigma M_o$$

$$C = \Sigma M_R$$

لنگر واژگونی از رابطه زیر بدست می آید:

$$\Sigma M_o = P_h \left(\frac{H'}{3} \right) \quad (26-6)$$

که در آن $P_h = P_a \cos \alpha$ می باشد.

برای محاسبه لنگر مقاوم ΣM_R (با صرفنظر کردن از P_p ، جدولی مطابق جدول زیر می توان تهیه نمود. وزن خاک بالای پاشنه و وزن دیوار و پایه هر دو در لنگر مقاوم شرکت می کنند. نیروی P_v یعنی مولفه قائم نیروی محرک P_a نیز جزء نیروهای شرکت کننده در لنگر مقاوم است. مقدار نیروی P_v برابر است با:

$$P_v = P_a \sin \alpha \quad (27-6)$$

لنگر نیروی P_v در حول C برابر است با:

$$M_v = P_v B = P_a \sin \alpha \cdot B$$

که در آن B عرض پایه دیوار می باشد.

با معلوم شدن ΣM_R ، ضریب اطمینان در مقابل واژگونی را می توان از رابطه زیر محاسبه نمود:

$$FS_{overturning} = \frac{M_1 + M_2 + M_3 + M_4 + M_5 + M_6 + M_v}{P_a \cos \alpha \frac{H'}{3}} \quad (28-6)$$

حداقل ضریب اطمینان معمول در مقابل واژگونی بین ۱/۵ تا ۲ می باشد.

بعضی از طراحان برای تعیین ضریب اطمینان در مقابل واژگونی از رابطه زیر استفاده می نمایند:

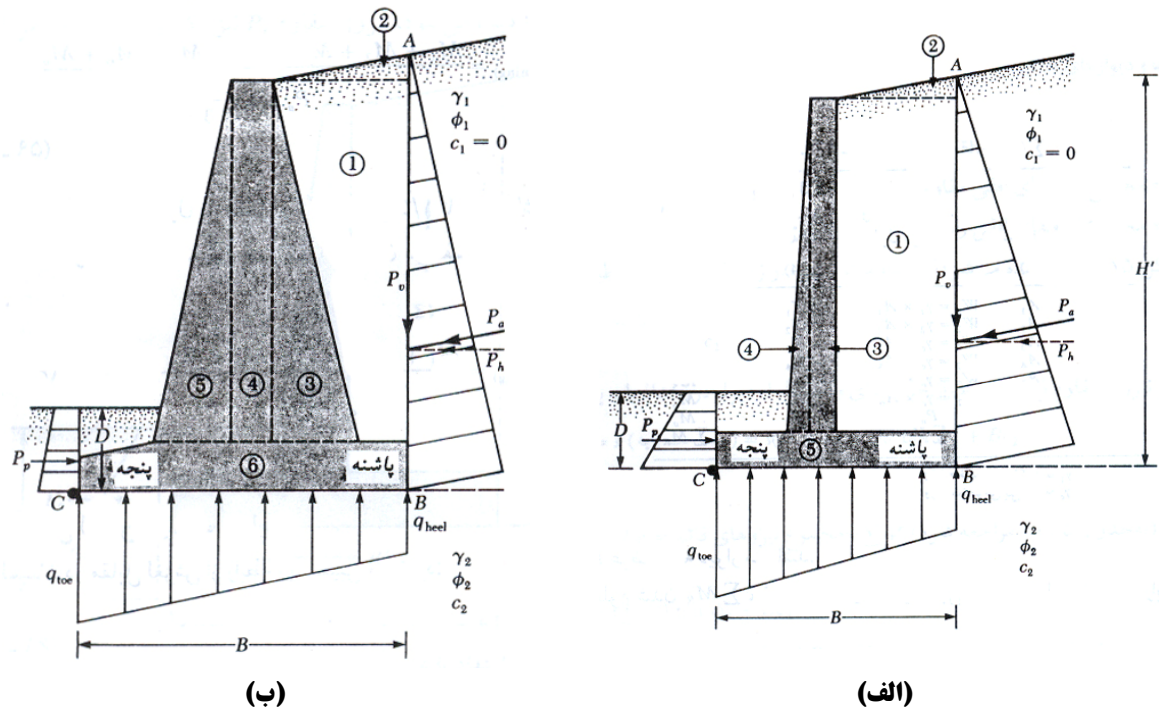
$$FS_{overturning} = \frac{M_1 + M_2 + M_3 + M_4 + M_5 + M_6}{P_a \cos \alpha \frac{H'}{3} - M_v} \quad (29-6)$$

جدول ۵-۶

قطعه	مساحت	وزن (بر واحد طول) دیوار	بازوی لنگر نسبت به نقطه C	لنگر در حول C
(۱)	(۲)	(۳)	(۴)	(۵)
1	A_1	$W_1 = \gamma_1 \times A_1$	X_1	M_1
2	A_2	$W_2 = \gamma_2 \times A_2$	X_2	M_2
3	A_3	$W_2 = \gamma_c \times A_3$	X_3	M_3
4	A_4	$W_2 = \gamma_c \times A_4$	X_4	M_4
5	A_5	$W_2 = \gamma_c \times A_5$	X_5	M_5
6	A_6	$W_2 = \gamma_c \times A_6$	X_6	M_6
		P_v	B	M_v
		ΣV		ΣM_R

γ_1 = وزن مخصوص خاکریز

γ_c = وزن مخصوص بتن



شکل ۱۶-۶ کنترل برای واژگونی با فرض توزیع فشار رانکین

کنترل در مقابل لغزش در امتداد پایه

ضریب اطمینان در مقابل لغزش از رابطه زیر تعیین می شود:

$$FS_{sliding} = \frac{\Sigma F_{R'}}{\Sigma F_d} \quad (30-6)$$

که در آن:

$\Sigma F_{R'} =$ مجموع نیروهای افقی مقاوم

$\Sigma F_d =$ مجموع نیروهای افقی رانشی

با مراجعه به شکل ۲۹-۵، مشاهده می شود که مقاومت برشی در زیر پایه را می توان طبق رابطه زیر نشان داد:

$$s = \sigma \tan \phi_2 + c_2 \quad (31-6)$$

بنابراین حداکثر نیروی مقاوم قابل حصول از خاک برای واحد طول دیوار در امتداد پایه برابر است با:

$$R' = s \times (B \times 1) = B \sigma \tan \phi_2 + B c_2$$

لیکن

$$B \sigma = \Sigma V = \text{مجموع نیروهای قائم}$$

بنابراین:

$$R' = (\sum V) \tan \phi_2 + B c_2$$

همانطور که در شکل ۱۷-۶ دیده می‌شود، نیروی مقاوم P_p نیز یک نیروی مقاوم افقی است. P_p را می‌توان از رابطه زیر تعیین نمود:

$$\Sigma F_{R'} = (\Sigma V) \tan \phi_2 + Bc_2 + P_p$$

تنها نیروی رانش افقی، مولفه افقی نیروی محرک P_a می‌باشد. بنابراین:

$$\Sigma F_d = P_a \cos \alpha$$

با ترکیب روابط فوق خواهیم داشت:

$$FS_{sliding} = \frac{(\Sigma V) \tan \phi_1 + Bc_2 + P_p}{P_a \cos \alpha} \quad (32-6)$$

حداقل ضریب اطمینان در مقابل لغزش $1/5$ است.

در اغلب موارد از نیروی مقاوم P_p در محاسبات مربوط به ضریب اطمینان در مقابل لغزش صرفنظر می‌گردد. برای اینمی بیشتر، از زاویه اصطکاک ϕ_2 نیز کاسته می‌شود. مقدار زاویه اصطکاک کاهش یافته در حدود نصف تا دو سوم زاویه ϕ_2 می‌باشد. به روشهای مشابه، چسبندگی c_2 به حدود $0.67c_2$ تا 0.5 کاهش می‌یابد. بنابراین:

$$FS_{sliding} = \frac{(\Sigma V) \tan(k_1 \phi_1) + Bk_2 c_2 + P_p}{P_a \cos \alpha} \quad (33-6)$$

مقادیر ضرایب کاهش دهنده k_1 و k_2 در حدود $0/5$ تا $0/67$ می‌باشند. در صورتی که نتوان به ضریب اطمینان $1/5$ در مقابل لغزش دست یافت، از یک زبانه برشی در زیر پایه استفاده می‌شود (این زبانه در شکل ۱۷-۶ توسط خط چین نشان داده شده است). این شکل نشان می‌دهد که نیروی مقاوم در نوک پنجه بدون استفاده از زبانه برابر است با:

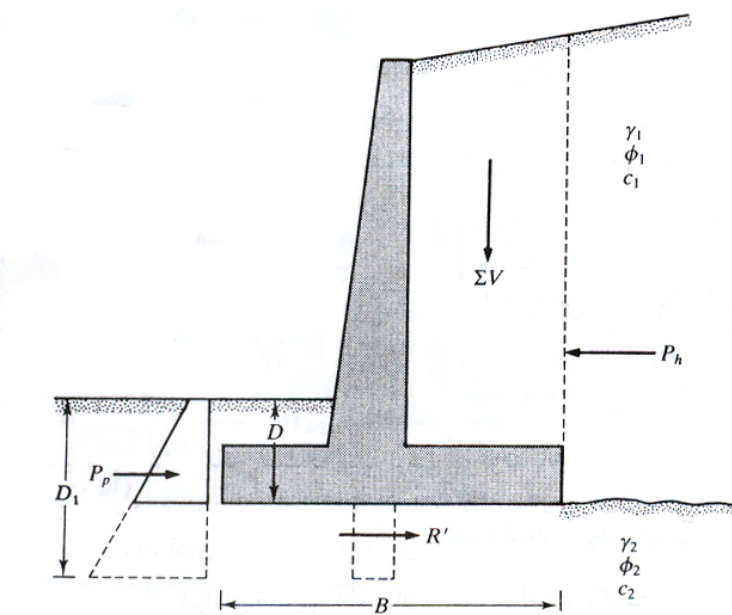
$$P_p = \frac{1}{2} \gamma_2 D^2 K_p + 2c_2 D \sqrt{K_p}$$

در صورت تعبیه زبانه برشی، نیروی مقاوم برای واحد طول دیوار برابر است با:

$$P_p = \frac{1}{2} \gamma_2 D_1^2 K_p + 2c_2 D' \sqrt{K_p}$$

$$K_p = \tan^2(45 + \phi_2 / 2)$$

چون $D_1 > D$ می‌باشد، آشکار است که زبانه برشی می‌تواند باعث افزایش ضریب اطمینان در مقابل لغزش شود. در صورت استفاده، زبانه برشی در زیر تیغه دیوار ساخته می‌شود، به طوری که آرماتورهای دیوار وارد آن شده و در آن مهار می‌شوند.



شکل ۱۷-۶ کنترل لغزش در امتداد پایه

کنترل برای ظرفیت باربری

فشارهای قائم انتقال یافته از طرف پایه دیوار به خاک، باید برای ظرفیت باربری خاک کنترل شوند. با فرض تغییرات خطی، توزیع فشار در شکل ۱۸-۶ نشان داده شده است. فشار حداقل در پنجه و فشار حداقل در پاشنه پایه دیوار به وجود می‌آید. مقادیر این فشارها را می‌توان به طریق زیر محاسبه نمود.

مجموع نیروهای قائم موثر بر پایه دیوار مساوی ΣV (ستون ۳ از جدول ۱۱-۵) و نیروی افقی کل مساوی $P_a \cos \alpha$ می‌باشد. اگر R نیروی برآیند باشد:

$$\bar{R} = \overrightarrow{\Sigma V} + (\overrightarrow{P_a \cos \alpha}) \quad (34-6)$$

لنگر خالص این نیروها در حول نقطه C برابر است با:

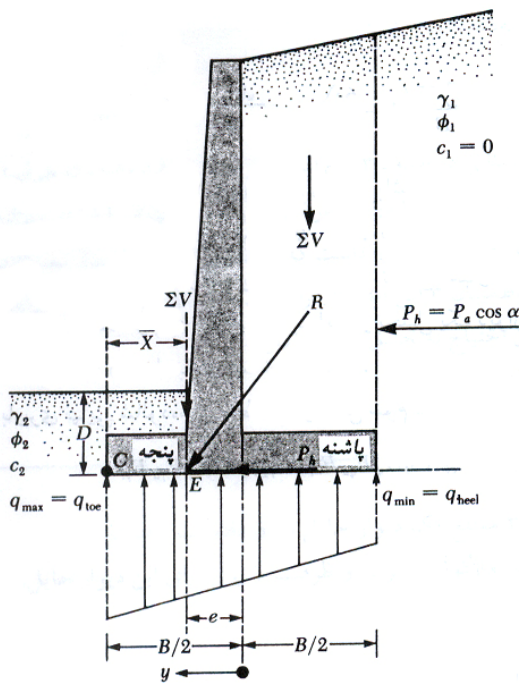
$$M_{net} = \Sigma M_R - \Sigma M_o \quad (35-6)$$

توجه شود که مقادیر ΣM_R و ΣM_o قبلًا تعیین شده اند (ستون ۵ از جدول ۱۵-۶). اگر امتداد برآیند R ، قاعده دیوار را در E قطع کند، فاصله CE را می‌توان به صورت زیر تعیین نمود (شکل ۱۸-۶)

$$\overline{CE} = \bar{X} - \frac{M_{net}}{\Sigma V} \quad (36-6)$$

بنابراین برون محوری نیروی R به صورت زیر بیان می‌شود:

$$e = \frac{B}{2} - \overline{CE} \quad (37-6)$$



شکل ۱۸-۶ کنترل ظرفیت باربری

با استفاده از رابطه ترکیب تنش‌ها در مقاومت مصالح، توزیع تنش در زیر پایه به طریق زیر محاسبه می‌شود:

$$q = \frac{\Sigma V}{A} \pm \frac{M_{\text{net}} Y}{I} \quad (38-6)$$

که در آن:

$$M_{\text{net}} = \text{لنگر} = (\Sigma V)e$$

$$I = \text{ممان اینرسی پایه دیوار برای واحد طول دیوار} \text{ که مقدار آن برابر است} \text{ با } \frac{1}{12}(l)(B^3) \quad (38-6)$$

برای تعیین فشار حداکثر و حداقل، مقدار y در رابطه ۳۸-۶ مساوی $B/2$ قرار داده می‌شود:

$$q_{\max} = q_{\text{toe}} = \frac{\Sigma V}{B \times 1} + \frac{e(\Sigma V)\frac{B}{2}}{\left(\frac{1}{12}\right)B^3} = \frac{\Sigma V}{B} \left(1 + \frac{6e}{B}\right) \quad (39-6)$$

$$q_{\min} = q_{\text{heel}} = \frac{\Sigma V}{B} \left(1 - \frac{6e}{B}\right) \quad (40-6)$$

توجه شود که ΣV شامل وزن خاک می‌باشد. وقتی که مقدار برون محوری e از $B/6$ بزرگ‌تر شود، مقدار q_{\min} منفی می‌گردد. این بدان معناست که مقداری تنش کششی در انتهای پاشنه بوجود می‌آید. از آنجایی که در سطح تماس، مقاومت در مقابل کشش وجود ندارد، این تنش کششی عملاً وجود خارجی ندارد. اگر در تحلیل یک دیوار $e > B/6$ بدهست آید، ابعاد دیوار باید اصلاح شده و محاسبات باید تجدید شود.

رابطه ظرفیت باربری نهایی شالوده های سطحی در فصل دوم به صورت زیر بیان شد:

$$q_u = c_2 N_c \lambda_{cd} \lambda_{ci} + q N_q \lambda_{qd} \lambda_{qi} + 0.5 \gamma_2 B' N_\gamma \lambda_{\gamma d} \lambda_{\gamma i}$$

که در آن:

$$q = \gamma_2 D$$

$$B' = B - 2e$$

$$\lambda_{cd} = 1 + 0.4 \frac{D}{B'}$$

$$\lambda_{qd} = 1 + 2 \tan \varphi_2 (1 - \sin \varphi_2)^2 \frac{D}{B'}$$

$$\lambda_{ci} = \lambda_{qi} = \left(1 - \frac{\Psi^\circ}{90^\circ} \right)^2$$

$$\lambda_{\gamma i} = \left(1 - \frac{\Psi^\circ}{\varphi^\circ} \right)^2$$

$$\Psi^\circ = \tan^{-1} \left(\frac{P_a \cos \alpha}{\Sigma V} \right)$$

توجه شود که تمامی ضرایب شکل λ_{es} , λ_{qs} , $\lambda_{\gamma s}$ برای این حالت مساوی ۱ می باشند، زیرا پایه دیوار یک شالوده نواری است.

برای محاسبه ظرفیت باربری نهایی، ضریب اطمینان در مقابل ظرفیت باربری نهایی از رابطه زیر بدست می آید:

$$FS = \frac{q_u}{q_{max}} \quad (\text{ظرفیت باربری})$$

معمولأً ضریب اطمینانی در حدود ۳ لازم است. در فصل اول اشاره شد که ظرفیت باربری شالوده های سطحی در نشستی در حدود ۱۰ درصد عرض شالوده به دست می آید. در دیوارهای حائل عرض B بزرگ است. بنابراین می توان انتظار داشت که بار نهایی q_u در نشست بزرگی رخ دهد. استفاده از ضریب اطمینان ۳ این اطمینان را نمی دهد که نشست شالوده در محدوده قابل قبولی باشد. چنین مواردی احتیاج به تحقیق بیشتری دارد.



در شکل ۱۹-۶ مقطع یک دیوار حائل نشان داده شده است. مطلوب است محاسبه ضریب اطمینان در مقابل واژگونی، لغزش و ظرفیت باربری برای این دیوار حائل.

حل:

با مراجعه به شکل ۱۹-۶ داریم:

$$H' = H_1 + H_2 + H_3 = 2.6 \tan 10^\circ + 6 + 0.7 = 0.458 + 6 + 0.7 = 7.158m$$

$$P_a = 0.5 \gamma_1 K_a H'^2 =$$

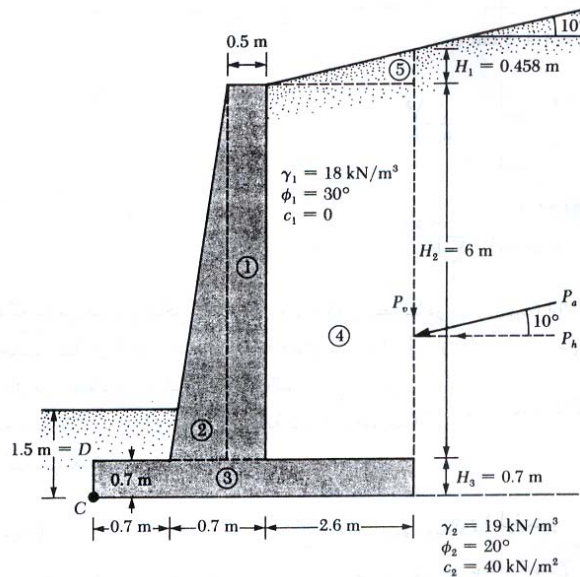
$$\varphi = 30^\circ, \alpha = 10^\circ \rightarrow K_a = 0.35$$

در نتیجه:

$$P_a = 0.5 \times 18 \times 7.158^2 \times 0.35 = 161.4 \text{ kN/m}$$

$$P_v = P_a \sin 10^\circ = 161.4(\sin 10^\circ) = 28.03 \text{ kN/m}$$

$$P_h = P_a \cos 10^\circ = 161.4(\cos 10^\circ) = 158.95 \text{ kN/m}$$



توجه: سطح آب زیرزمینی ۴ متر زیر سطح تحتانی شالوده است.

شکل ۱۹-۶

ضریب اطمینان در مقابل واژگونی

محاسبه لنگر مقاوم:

شماره قسمت	مساحت (m ²)	وزن واحد طول (kN/m)	لنگر نسبت به C (m)	لنگر (kN.m)
1	$6 \times 0.5 = 3$	70.74	1.15	81.35
2	$0.5 \times 0.2 \times 6$	15.15	0.833	11.79
3	$4 \times 0.7 = 2.8$	66.02	2.0	132.4
4	$6 \times 2.6 = 15.6$	280.80	2.7	758.16
5	$0.5 \times 2.6 \times 0.458 = 0.595$	10.71	3.13	33.52
		$P_v = 28.03 \text{ kN/m}$	4.0	112.12
		$\Sigma V = 470.45$		$\Sigma M_R = 1128.98$

لنگر واژگونی:

$$M_o = P_h \left(\frac{H'}{3} \right) = 158.95 \left(\frac{7.158}{3} \right) = 379.25 \text{ kN.m}$$

$$FS = \frac{\sum M_R}{M_o} = \frac{1128.98}{379.25} = 2.98 > 2 \text{ OK}$$

ضریب اطمینان در مقابل لغزش

$$FS = \frac{(\Sigma V) \tan(k_1 \phi_1) + B k_2 c_2 + P_p}{P_a \cos \alpha} \text{ (لغزش)}$$

$$k_1 = k_2 = 2/3$$

$$P_p = \frac{1}{2} K_p \gamma_2 D^2 + 2c_2 \sqrt{K_p} D$$

$$K_p = \tan^2 \left(45 + \frac{\Phi_2}{2} \right) = \tan^2 (45 + 10) = 2.04$$

$$D = 1.5m$$

$$P_p = \frac{1}{2} (2.04)(19)(1.5^2) + 2(40)(\sqrt{2.04})(1.5) = 43.61 + 171.39 = 215 \text{ kN/m}$$

$$\text{FS (لغزش)} = \frac{(470.45) \tan \left(\frac{2 \times 20}{3} \right) + 4 \left(\frac{2}{3} \right) (40) + 215}{158.95} = \frac{111.5 + 106.67 + 215}{158.95} = 2.73 > 1.5 \text{ OK}$$

بعضی طراحان در محاسبه نیروی مقاوم در مقابل پنجه، مقدار D را مساوی ضخامت پایه در نظر می‌گیرند.

ضرب اطمینان در مقابل ظرفیت باربری

$$e = \frac{B}{2} - \frac{\sum M_R - \sum M_o}{\sum V} = \frac{4}{2} - \frac{1128.98 - 379.25}{470.45} = 0.406m < \frac{B}{6} = \frac{4}{6} = 0.666m$$

$$q = \frac{\sum V}{B} \left(1 \pm \frac{6e}{B} \right) = \frac{470.45}{4} \left(1 \pm \frac{6 \times 0.406}{4} \right) \rightarrow \begin{cases} q_{\max} = 189.2 \text{ kN/m}^2 \\ q_{\min} = 45.99 \text{ kN/m}^2 \end{cases}$$

ظرفیت باربری نهایی خاک را می‌توان از رابطه زیر بدست آورد:

$$q_u = c_2 N_c \lambda_{cd} \lambda_{ci} + q N_q \lambda_{qd} \lambda_{qi} + 0.5 \gamma_2 B' N_\gamma \lambda_{\gamma d} \lambda_{\gamma i}$$

$$\Phi_2 = 20^\circ \rightarrow N_c = 14.83, N_q = 6.4, N_\gamma = 5.39$$

$$q = \gamma_2 D = 19 \times 1.5 = 28.5 \text{ kN/m}^2$$

$$B' = B - 2e = 4 - 2 \times 0.406 = 3.188m$$

$$\lambda_{cd} = 1 + 0.4 \left(\frac{D}{B'} \right) = 1 + 0.4 \left(\frac{1.5}{3.188} \right) = 1.188$$

$$\lambda_{qd} = 1 + 2 \tan \Phi_2 (1 - \sin \Phi_2)^2 \left(\frac{D}{B'} \right) = 1 + 0.315 \left(\frac{1.5}{3.188} \right) = 1.148$$

$$\lambda_{\gamma d} = 1$$

$$\lambda_{ci} = \lambda_{qi} = \left(1 - \frac{\Psi^\circ}{90^\circ} \right)^2$$

$$\Psi = \tan^{-1} \left(\frac{P_a \cos \alpha}{\sum V} \right) = \tan^{-1} \left(\frac{158.95}{470.45} \right) = 18.67^\circ$$

بنابراین:

$$\lambda_{ci} = \lambda_{qi} = \left(1 - \frac{18.67}{90} \right)^2 = 0.628$$

$$\lambda_{\gamma i} = \left(1 - \frac{1\Psi}{\Phi} \right)^2 = \left(1 - \frac{18.67}{20} \right)^2 \approx 0$$

در نتیجه:

$$\begin{aligned} q_u &= 40 \times 14.83 \times 1.188 \times 0.628 + 28.5 \times 6.4 \times 1.148 \times 0.628 + 0.5 \times 19 \times 5.93 \times 3.188 \times 1 \times 0 \\ &= 44.57 + 131.50 + 0 = 176.07 \text{ kN/m}^2 \end{aligned}$$

$$FS = \frac{q_u}{q_{\text{toe}}} = \frac{176.07}{189.2} = 0.93 > 3 \quad \text{OK}$$

مثال:

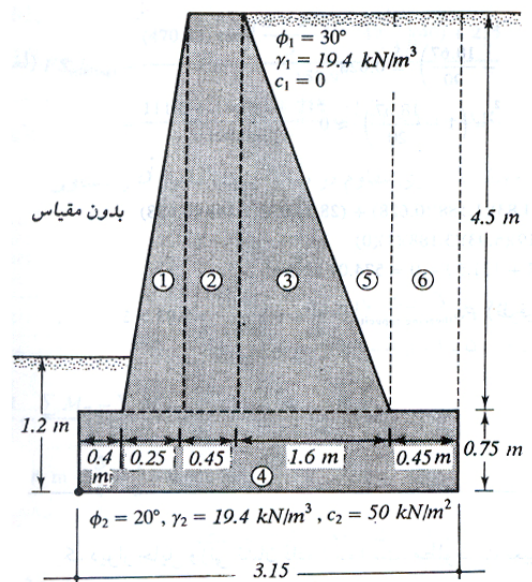
در شکل ۲۰-۶ یک دیوار حاصل وزنی نشان داده شده است. مطلوب است تعیین:

(الف) ضریب اطمینان در مقابل واژگونی

(ب) ضریب اطمینان در مقابل لغزش

(پ) فشار خاک در پنجه و پاشنه

(وزن مخصوص بتن را ۲۴ کیلونیوتن بر متر مکعب در نظر بگیرید).



شکل ۲۰-۶

حل:

$$H' = 4.5 + 0.75 = 5.25 \text{ m}$$

$$K_a = \tan^2 \left(45 - \frac{\phi_1}{2} \right) = \tan^2 \left(45 - \frac{30}{2} \right) = \frac{1}{3}$$

$$P_a = \frac{1}{2} \gamma \times H'^2 K_a = 0.5 \times 19.4 \times 5.25^2 \times 0.33 = 88.23 \text{ kN/m}$$

$$\alpha = 0$$

$$P_h = P_a = 88.23 \text{ kN/m}$$

$$P_v = 0$$

قسمت الف: ضریب اطمینان در مقابل واژگونی

محاسبه لنگر مقاوم:

شماره قسمت	وزن (kN/m)	بازو تا نقطه C (m)	لنگر حول C kN·m/m
1	$0.5 \times 0.25 \times 4.5 \times 24 = 13.5$	0.57	7.70
2	$0.45 \times 4.5 \times 24 = 48.60$	0.88	42.77
3	$0.5 \times 1.6 \times 4.5 \times 24 = 86.4$	1.63	140.83
4	$3.15 \times 0.75 \times 24 = 56.70$	1.58	89.59
5	$0.5 \times 1.6 \times 4.5 \times 19.4 = 39.29$	2.17	151.55
6	$0.45 \times 4.5 \times 19.4 = 39.29$	2.93	115.12
$\sum V = 314.33$			547.56

لنگر واژگونی:

$$M_o = \frac{H'}{3} P_a = \frac{5.25}{3} \times 88.23 = 154.40$$

$$\text{ضریب اطمینان واژگونی} = \frac{547.56}{154.40} = 3.25$$

قسمت ب: ضریب اینمی در مقابل لغزش

با فرض $k_1 = k_2 = 2/3$ داریم:

$$FS_{sliding} = \frac{\sum V \tan\left(\frac{2}{3}\right)\phi_2 + B\left(\frac{2}{3}\right)c_2}{P_a} = \frac{314.33 \times \tan(0.67 \times 20) + 3.15 \times 0.67 \times 50}{88.23} = \frac{74.88 + 105.53}{88.23} = 2.04$$

قسمت پ: فشار خاک در نوک پنجه و پاشنه:

$$e = \frac{B}{2} - \frac{\sum M_R - \sum M_o}{\sum V} = \frac{3.15}{2} - \frac{547.56 - 154.40}{314.33} = 0.32m$$

$$q_{toe} = \frac{\sum V}{B} \left[1 + \frac{6e}{B} \right] = \frac{314.33}{3.15} (1 + 6 \times 0.32 / 3.15) = 160.61 \text{kN/m}^2$$

$$q_{heel} = \frac{\sum V}{B} \left[1 - \frac{6e}{B} \right] = \frac{314.33}{3.15} (1 - 6 \times 0.32 / 3.15) = 38.96 \text{kN/m}^2$$

مثال قبل را با استفاده از روش کولمب با فرض $\phi = 30^\circ$ و $c = 2/3$ تکرار نمایید:

حل:

با مراجعه به شکل ۶-۲۱، فشار کولمب محاسبه می شود:

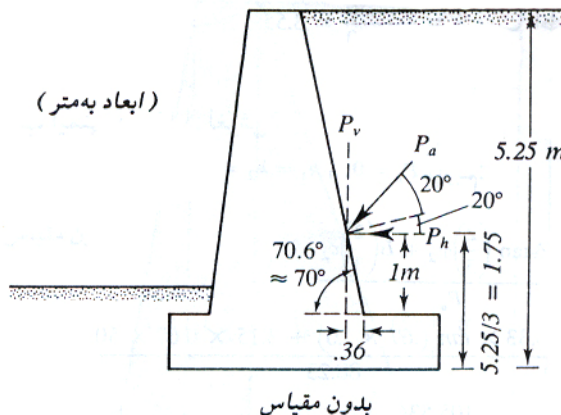
$$\delta = \frac{2}{3} \phi = \frac{2}{3} \times 30 = 20^\circ$$

از جدول $K_a = 0.4797 (\alpha = 0^\circ, \beta = 70^\circ)$

$$P_a = 0.5 \times 19.4 \times 5.25^2 \times 0.4794 = 128.17 \text{kN/m}$$

$$P_h = P_a \cos 40 = 128.17 \cos 40 = 98.18 \text{kN/m}$$

$$P_v = P_a \sin 40 = 128.17 \sin 40 = 82.39 \text{kN/m}$$



شکل ۲۱-۶

قسمت الف: ضریب اینمنی در مقابل واژگونی

لنگر مقاوم:

با مراجعه به اشکال ۲۰-۶ و ۲۱-۶ و استفاده از جدول مثال قبل داریم:

شماره قسمت	وزن (kN/m)	بازو تا نقطه (m)	لنگر حول C kN·m/m
1	13.5	0.57	7.70
2	48.60	0.88	42.77
3	86.4	1.63	140.83
4	56.7	1.58	89.59
P _v	82.39	2.34	192.79
	287.59		473.68

لنگر واژگونی

$$M_o = P_h \frac{H'}{3} = 98.18 \times \frac{5.25}{3} = 171.82 \text{ kN.m/m}$$

$$F_s = \frac{473.68}{171.82} = 2.76 \quad (\text{واژگونی})$$

قسمت ب: ضریب اطمینان در مقابل لغزش:

$$FS_{sliding} = \frac{\sum V \tan\left(\frac{2}{3}\right)\phi_2 + B\left(\frac{2}{3}\right)c_2}{P_h} = \frac{287.59 \tan(0.67 \times 20) + 3.15(0.67 \times 50)}{98.18} = 1.77$$

قسمت پ: فشار خاک در نوک پنجه و پاشنه:

$$e = \frac{B}{2} - \frac{\sum M_R - \sum M_o}{\sum V} = \frac{3.15}{2} - \frac{473.68 - 171.82}{287.59} = 0.53$$

$$q_{toe} = \frac{\sum V}{B} \left[1 + \frac{6e}{B} \right] = \frac{287.59}{3.15} \left(1 + \frac{6 \times 0.53}{3.15} \right) = 183.47 \text{ kN/m}^2$$

$$q_{heel} = \frac{\sum V}{B} \left[1 - \frac{6e}{B} \right] = \frac{287.59}{3.15} \left(1 - \frac{6 \times 0.53}{3.15} \right) = -0.87 \text{ kN/m}^2 \approx 0$$

مراجع

۱. اصول مهندسی ژئوتکنیک، جلد اول: مکانیک خاک، براجا. ام. داس ترجمه شاپور طاحونی، چاپ هفتم ۱۳۸۰.
۲. اصول مهندسی ژئوتکنیک، جلد دوم: مهندسی بی، براجا. ام. داس ترجمه شاپور طاحونی، چاپ هفتم ۱۳۸۰.
۳. مجموعه سوالات طبقه بندی شده آزمون کارشناسی ارشد مکانیک خاک، تالیف: ساسان امیر افشاری، چاپ سوم ۱۳۸۲.